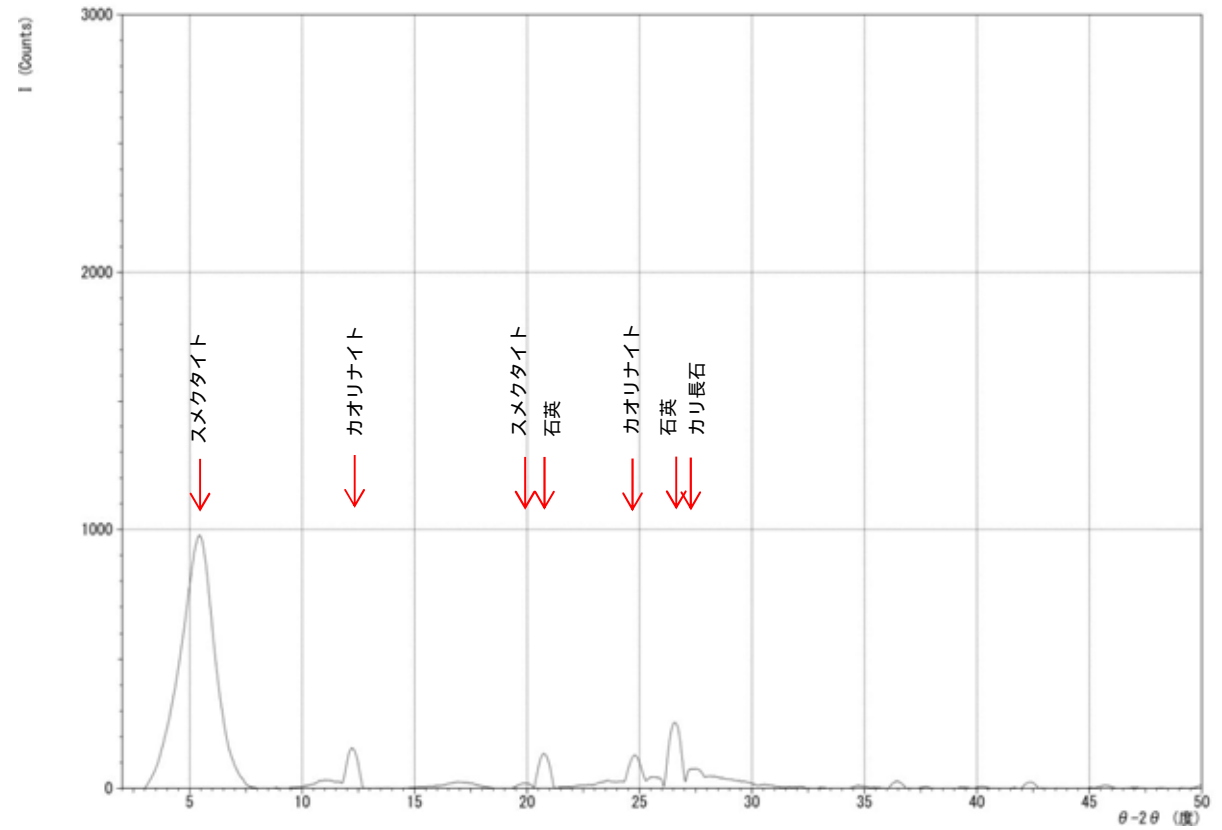
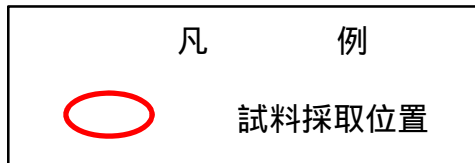


2.2 (5) その他破砕帯

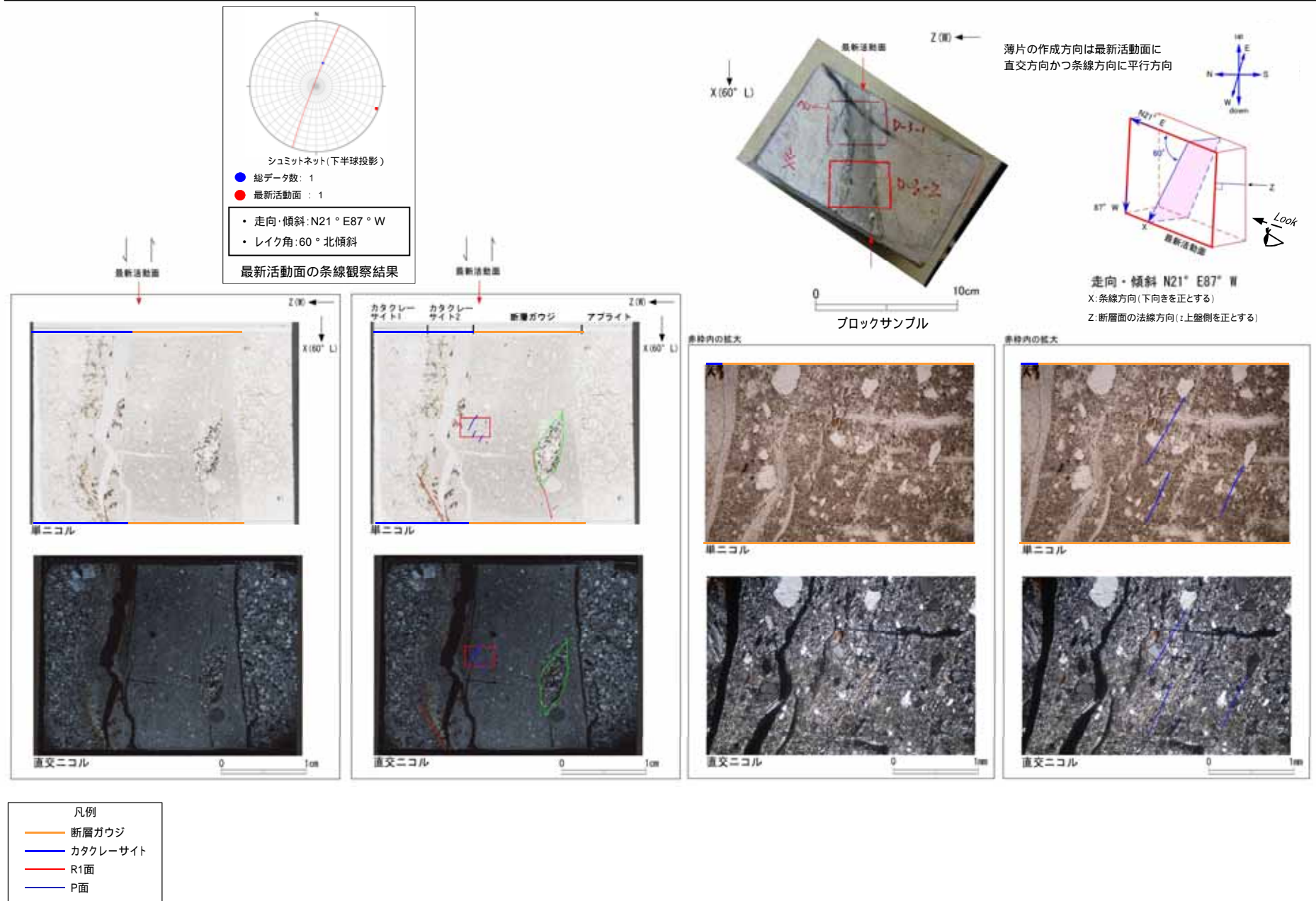
D - 5 破砕帯 X線回析分析(1号炉原子炉建屋付近)(H27-D5-1)



2.2 (5) その他破砕帯

D - 5 破砕帯 薄片試料観察(1号炉原子炉建屋付近)(H27-D5-1)

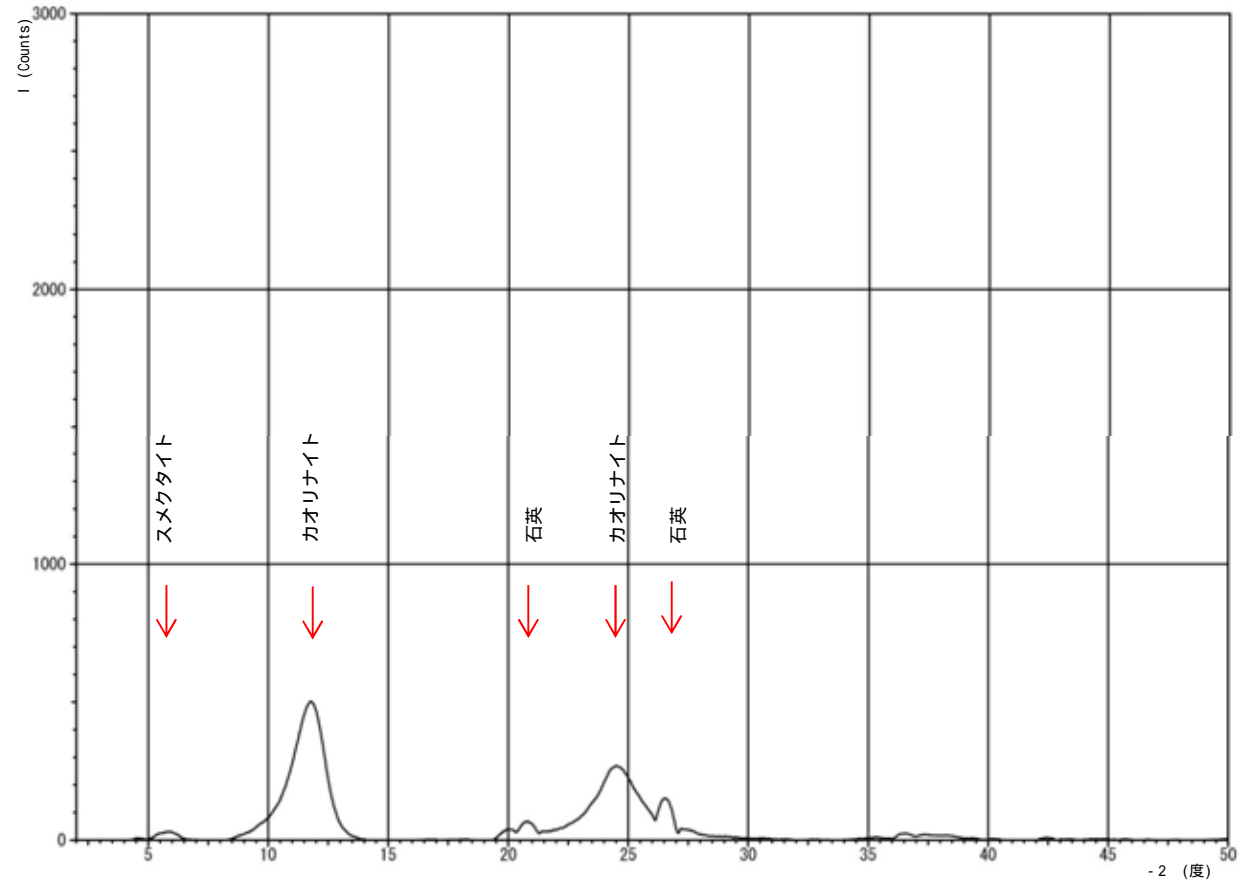
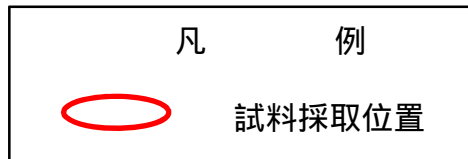
H24-B11-1のボーリングコア(深度88.93m)から採取した薄片試料の観察結果によれば最新活動面の変位センスは、右ずれを伴う正断層成分が卓越する。



2.2 (5) その他破砕帯

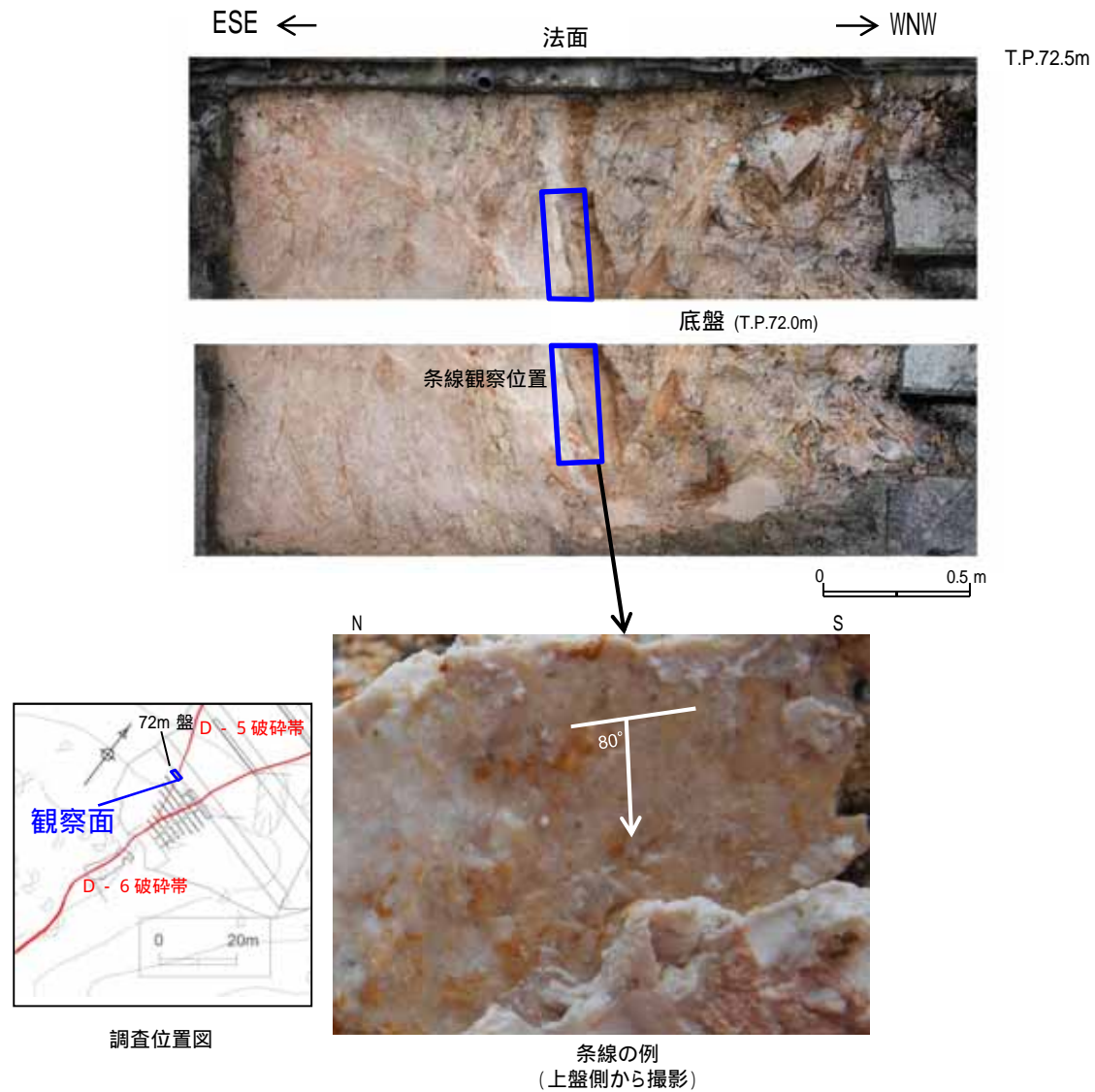
D - 5 破砕帯 X線回折分析(1号炉原子炉建屋南方斜面(72m盤))

ESE WNW



2.2 (5) その他破砕帯

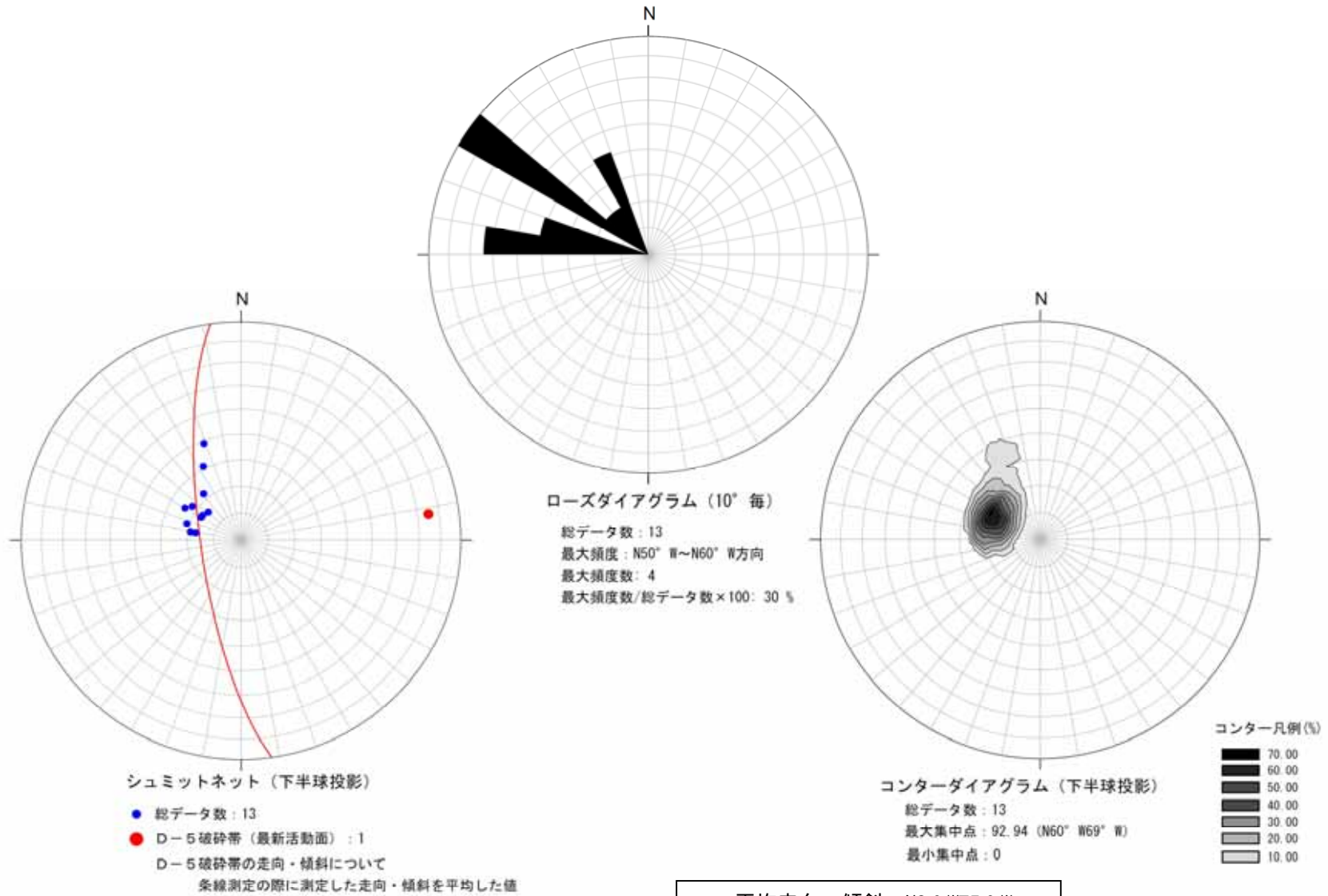
D - 5 破砕帯 条線観察(1号炉原子炉建屋南方斜面(72m盤))



- 走向・傾斜: N8° W75° W
- レイク角: 80° 北傾斜

2.2 (5) その他破砕帯

D - 5 破砕帯 条線観察 (1号炉原子炉建屋南方斜面(72m盤))

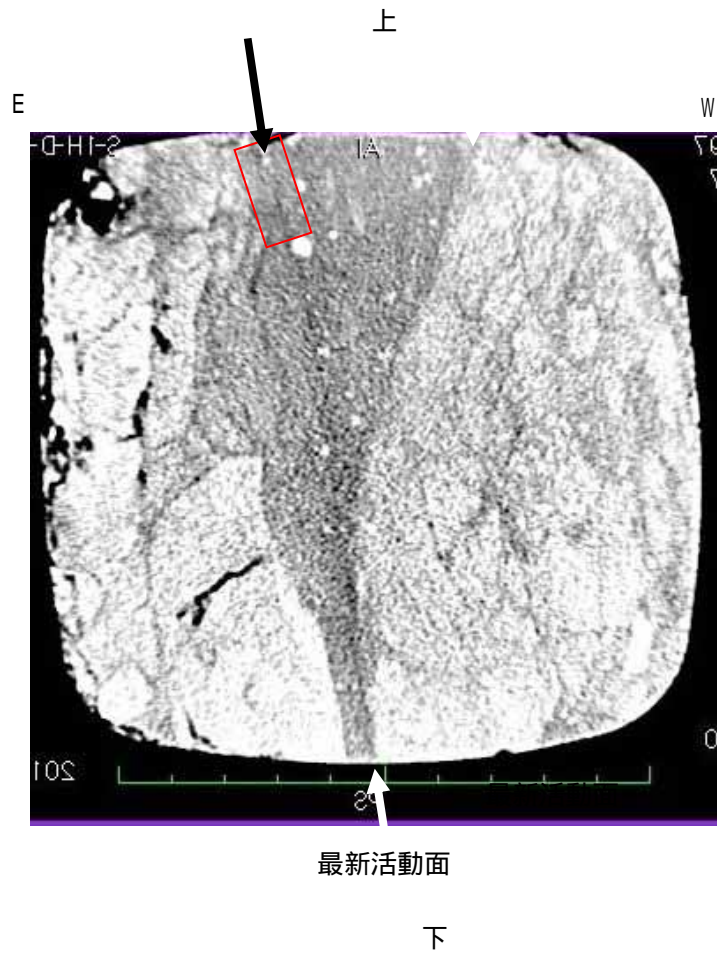


- ・ 平均走向・傾斜 : N8° W75° W
- ・ 平均レイク角 : 80° 北傾斜

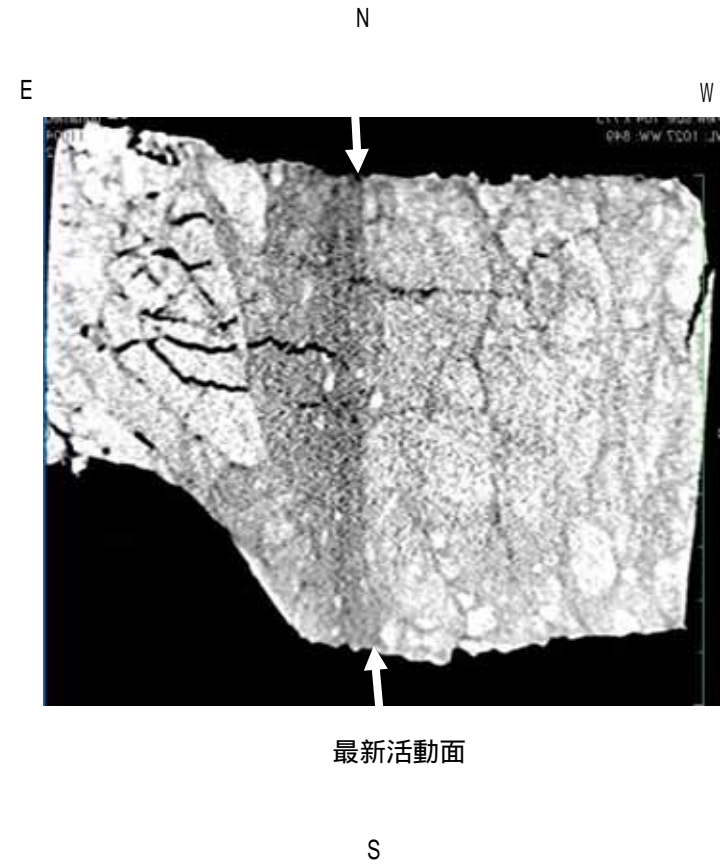
最新活動面について複数の条線方向を統計的に整理した結果、縦ずれ成分が卓越する。

2.2 (5) その他破砕帯

D - 5 破砕帯 電子顕微鏡観察(1号炉原子炉建屋南方斜面(72m盤))(その1)



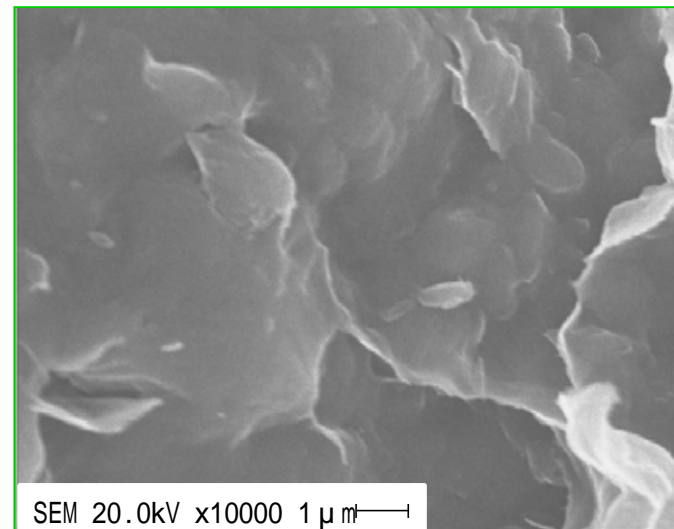
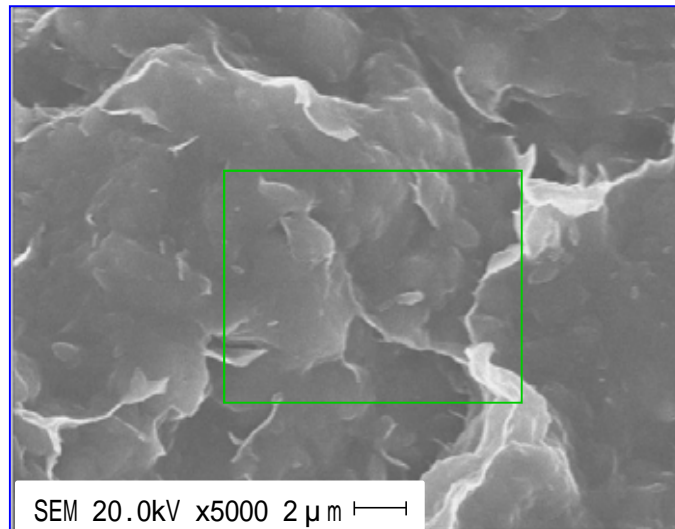
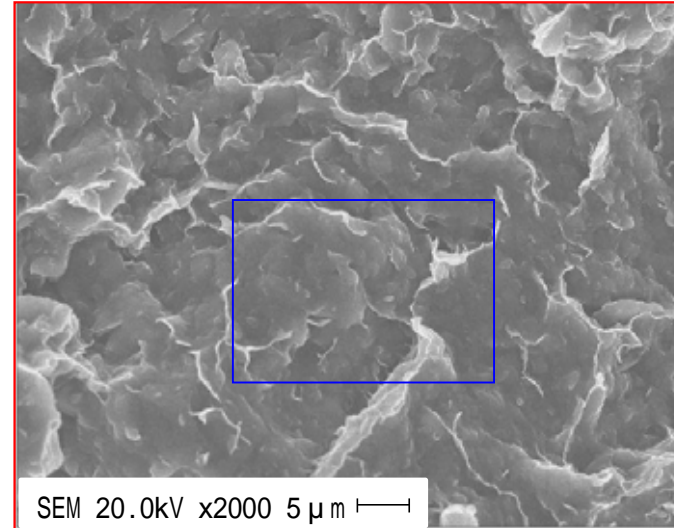
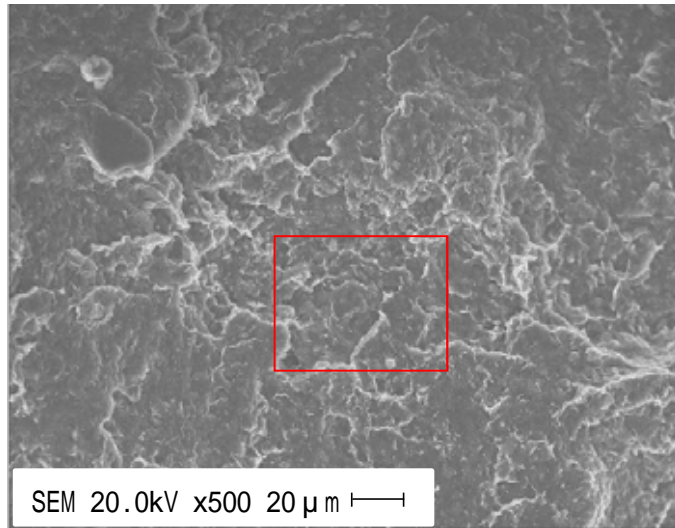
電子顕微鏡観察位置



0 10cm

2.2 (5) その他破砕帯

D - 5 破砕帯 電子顕微鏡観察( 1号炉原子炉建屋南方斜面(72m盤) )(その2)



スメクタイトがカードハウス状を呈する。

最新活動面について電子顕微鏡による観察を実施した結果、鉱物の結晶が多方向に向いており、それらの結晶に破砕は認められない。

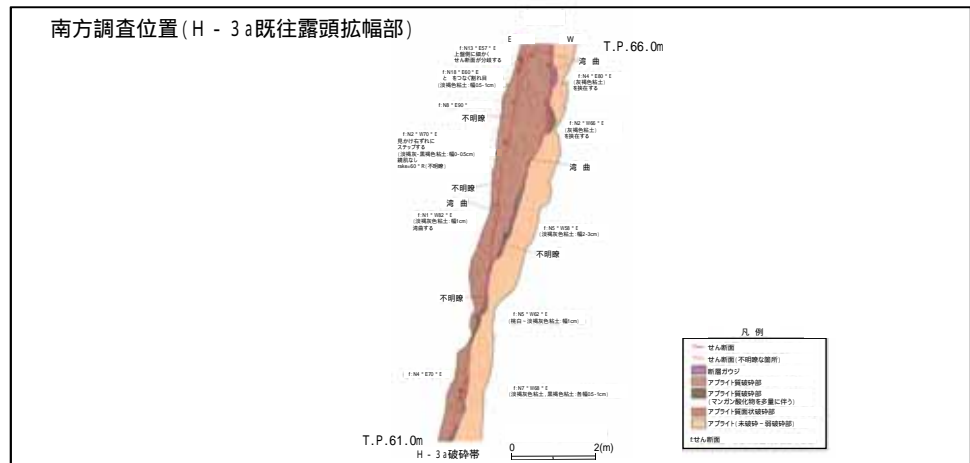
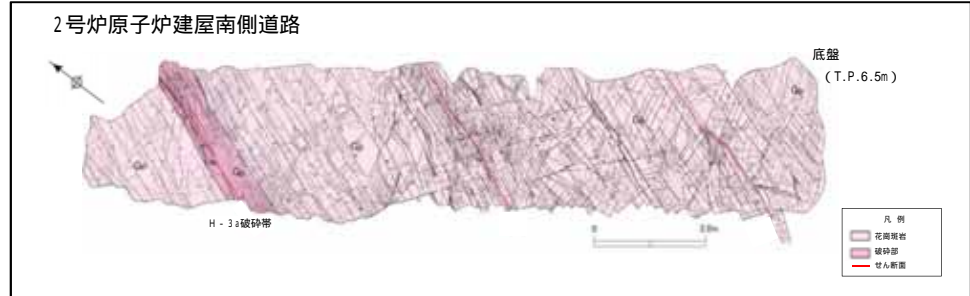
2.2(5)その他破砕帯

H - 3 a破砕帯 連続性評価の概要



H - 3 a破砕帯調査位置図

- H - 3 a破砕帯は、2号炉建設時に実施した試掘坑調査及び基礎掘削調査において確認された破砕帯であり、2号炉原子炉建屋南側道路に連続していることが確認された。
- 活動性評価に先立ち実施した連続性評価については、走向・傾斜、断層ガウジの有無、せん断構造・変形構造の有無、最新活動面の変位センス等に着目した。
- 2号炉原子炉建屋南側道路では概ねN-S ~ NNE-SSW方向、高角度の破砕帯であり、断層ガウジにはせん断構造・変形構造が認められ、最新活動面の変位センスは右ずれ成分が卓越する特徴を有している。
- 2号炉原子炉建屋南側道路の南方で確認されたいずれの破砕帯もH - 3 a破砕帯と同様、概ねN-S ~ NNE-SSW方向、高角度の破砕帯であり、断層ガウジにはせん断構造・変形構造が認められ、最新活動面の変位センスは右ずれ成分が卓越する特徴を有している。



2号炉原子炉建屋付近で確認されたH - 3 a破砕帯は、南方に一連の構造として分布していることを確認した。

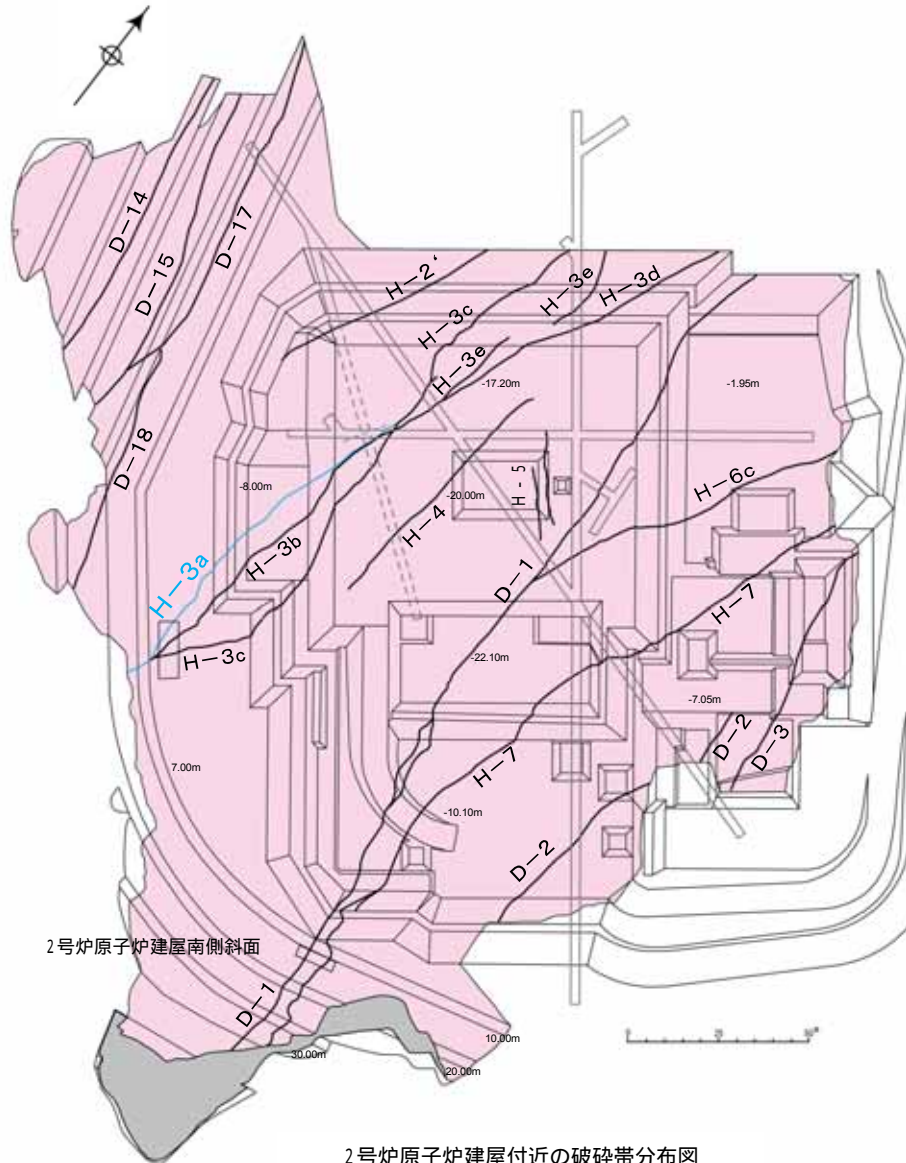
2.2(5)その他破砕帯

H - 3 a破砕帯 連続性評価

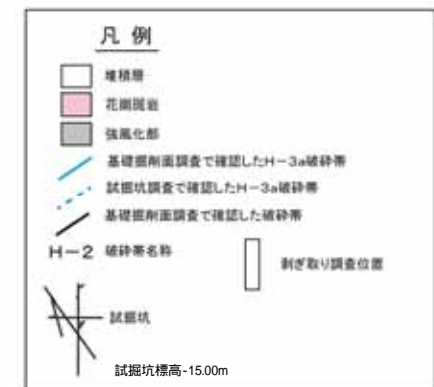
- H - 3 a破砕帯は2号炉建設時に実施した試掘坑調査及び基礎掘削調査において確認され、概ねN-S方向、高角度であり、断層ガウジを伴う破砕部からなる。
- H - 3 a破砕帯は2号炉原子炉建屋南側道路に連続していることから、当該道路の剥ぎ取り調査を実施し、H - 3 a破砕帯の性状を把握した。



H - 3 a破砕帯調査位置図



2号炉原子炉建屋付近の破砕帯分布図



2.2(5)その他破碎帯

H - 3 a 破碎帯 連続性評価(2号炉原子炉建屋南側道路 剥ぎ取り調査)

2号炉原子炉建屋南側道路での剥ぎ取り調査の結果によれば、H - 3 a 破碎帯はNNE-SSW方向、高角度傾斜であり、断層ガウジを伴う破碎部からなる。



H - 3 a 破碎帯調査位置図



H-3 a 破碎帯

- ① f: N15° E82° W
  - ② f: N14° E85° W
- ・断層ガウジ 幅 0.1 ~ 1.3 cm 程度  
(灰白色、暗灰色粘土からなる)
- ・破碎幅 15 ~ 20 cm 程度
- ・下盤側に角礫状破碎部を伴う。

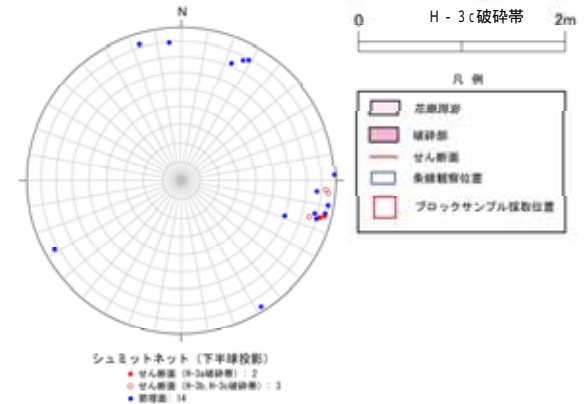
- ⑦ j: N10° E86° W
  - ⑧ j: N29° W83° E
  - ⑨ j: N67° W72° S
  - ⑩ f: N16° E80° W
  - ⑪ f: N13° E85° W
  - ⑫ j: N85° E79° S
  - ⑬ j: N14° E78° W
  - ⑭ j: N63° W77° S
  - ⑮ j: N61° W79° S
  - ⑯ j: N2° W89° W
  - ⑰ j: N19° W60° W
  - ⑱ j: N73° E82° S
  - ⑲ j: N5° E77° W
  - ⑳ j: N58° E87° N
- f: せん断面  
j: 節理面

H-3 b 破碎帯

- ③ f: N16° E75° W
- ・断層ガウジは認められない。  
f: せん断面

H-3 c 破碎帯

- ④ f: N4° E83° W
  - ⑤ f: N5° E85° W
- ・断層ガウジは認められない。  
f: せん断面



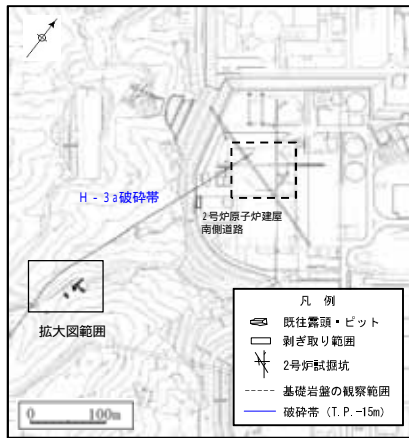
2号炉原子炉建屋南側道路底盤(T.P. 6.5m) スケッチ及び写真



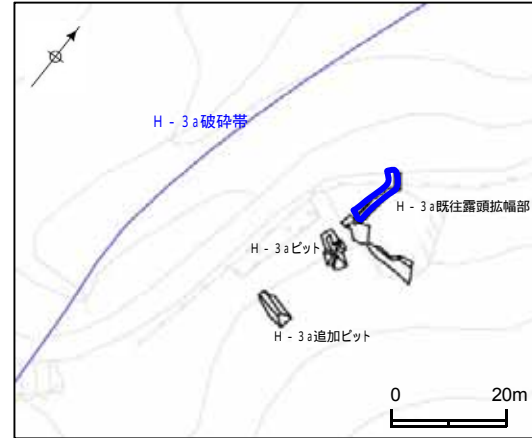
2.2(5)その他破砕帯

H - 3 a破砕帯 連続性評価(H - 3 a既往露頭 露頭調査)

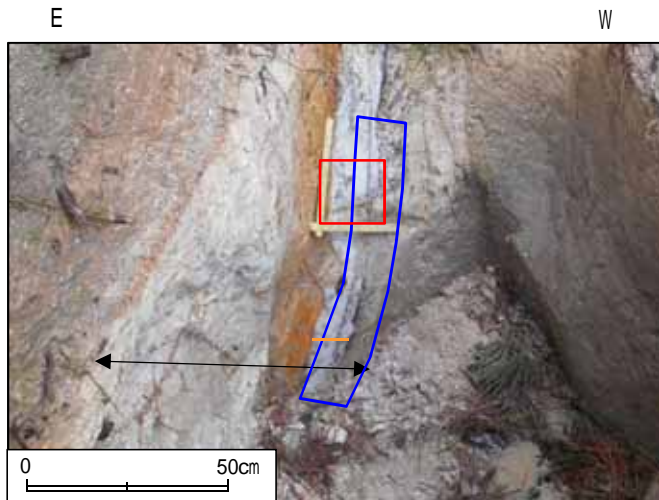
H - 3 a既往露頭での露頭調査の結果によれば、H - 3 a破砕帯はN-S方向、高角度傾斜を示し、断層ガウジを伴う破砕部からなる。



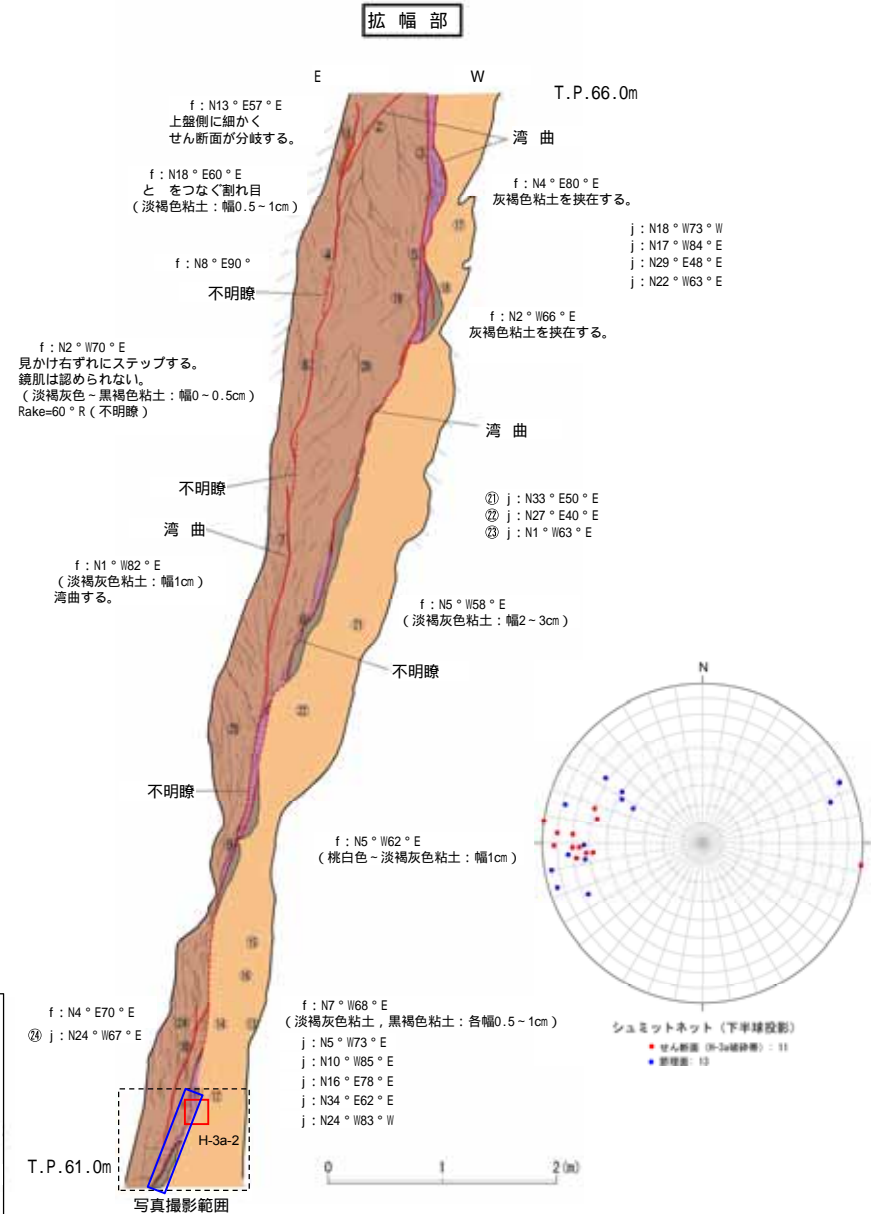
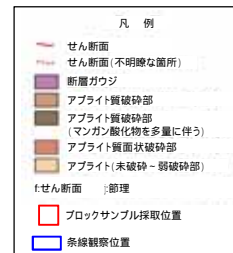
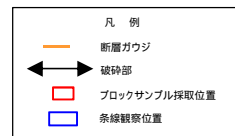
H - 3 a破砕帯調査位置図



拡大図



露頭拡幅部下部写真





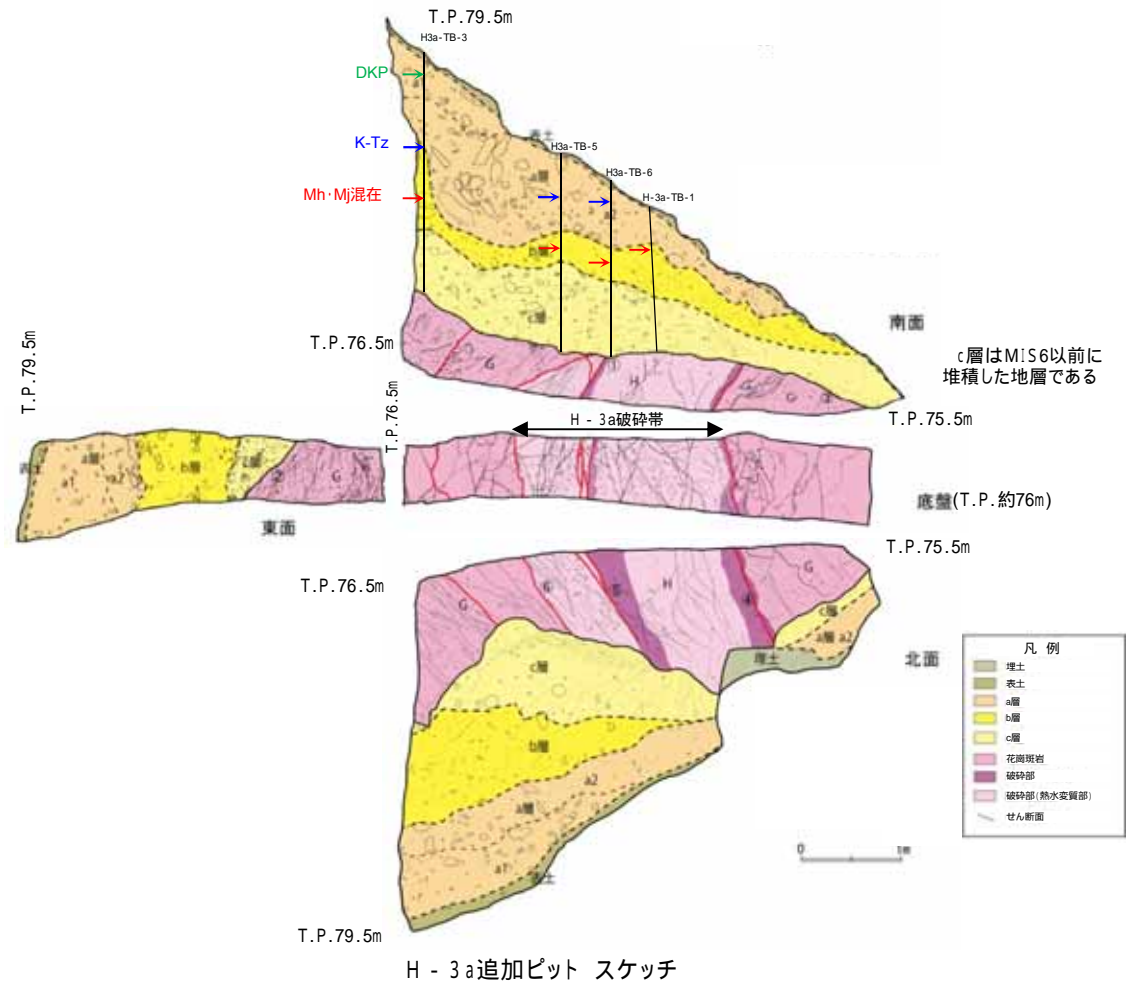
2.2(5)その他破砕帯

## H - 3a破砕帯 活動性評価の概要

- H - 3a破砕帯の活動性については、剥ぎ取り調査、ピット調査、テフラ分析、薄片観察等を実施し評価している。
- H - 3a破砕帯は概ねN-S方向、高角度の破砕帯であり、最新活動面の変位センスは右ずれ成分であることから、現在の広域応力場から想定される変位センスと調和しない。
- H - 3a追加ピットにおいて、H - 3a破砕帯を直接覆うMIS6以前の地層に変位・変形が認められない。



H - 3a破砕帯調査位置図



H - 3a追加ピット スケッチ

H - 3a破砕帯はMIS6以前の地層に変位・変形を与えていないことから、将来活動する可能性のある断層等ではない。

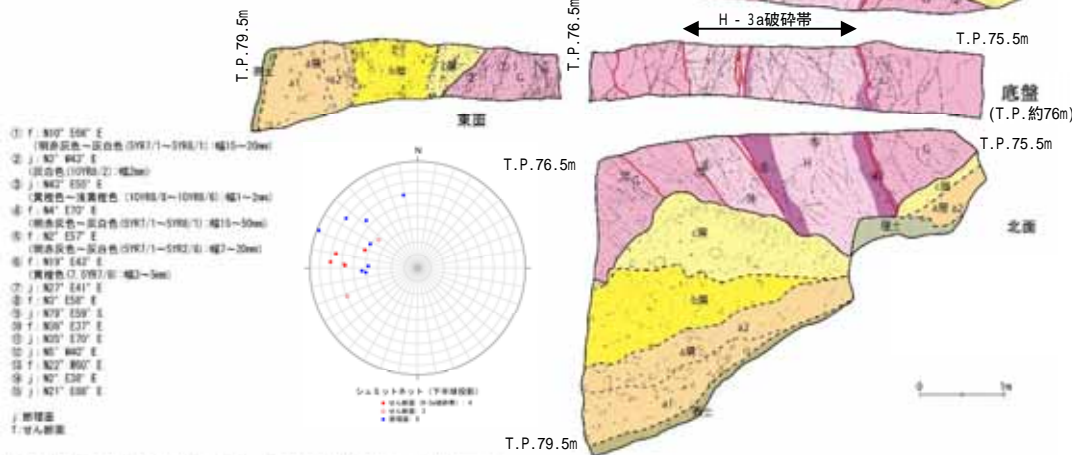
2.2(5)その他破砕帯

H - 3 a破砕帯 活動性評価(H - 3 a追加ピット ピット調査)

- H - 3 a追加ピットに分布する地層は、花崗斑岩とそれを覆う第四系からなり、第四系は層相から下位よりc層～a層に区分した。
- 本ピットでは、H - 3 a破砕帯を直接覆うc層に変位・変形が認められない。
- テフラ分析結果によれば、b層から検出されるテフラについては、普通角閃石及び微量の斜方輝石からなる。普通角閃石の主成分分析等の結果も踏まえると、美浜テフラに対比されるテフラの降灰層準が認められる。また、c層からは、テフラ起源の鉱物は検出されなかったため、c層はM1S6以前に堆積した地層と判断される。

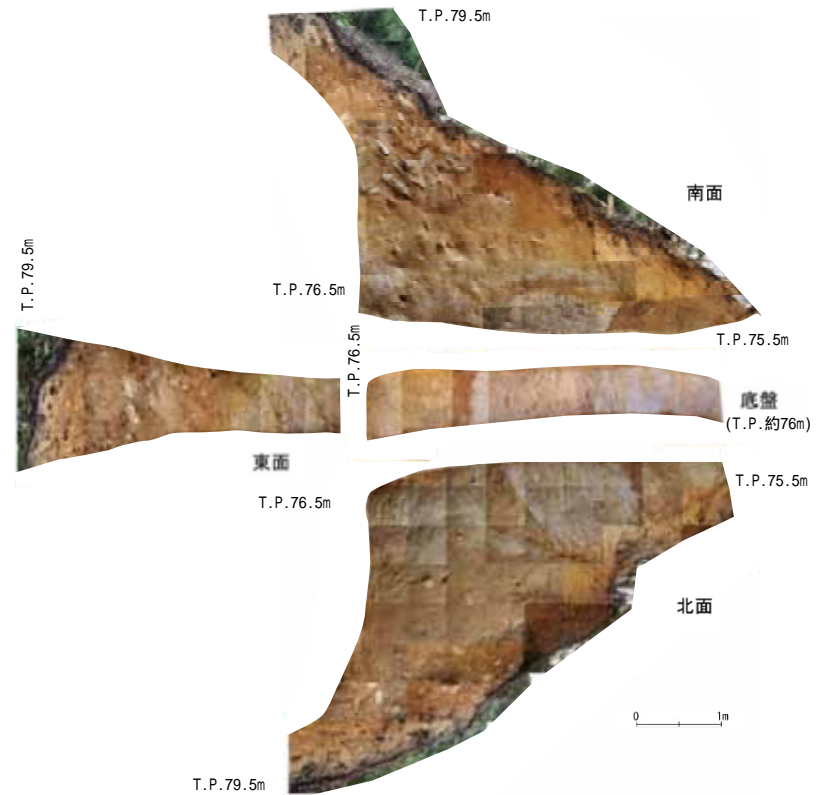


H - 3 a破砕帯調査位置図



H - 3 a追加ピット スケッチ

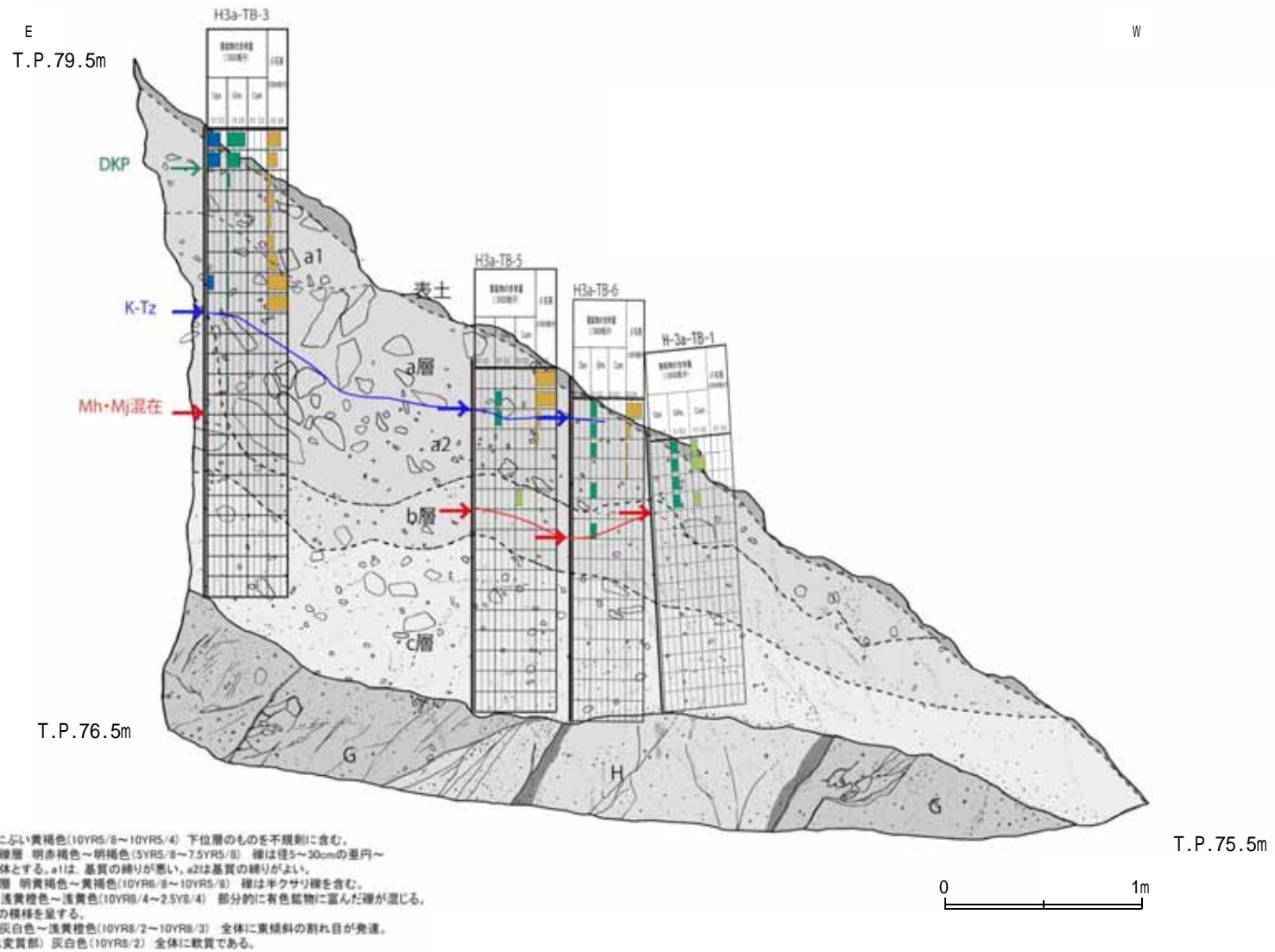
壤土: 黄褐色～にぶい黄褐色(10YR5/8～10YR5/4) 下位層のものを不規則に含む。  
 a層: シルト質砂礫層 明赤褐色～暗褐色(5YR5/8～7.5YR5/8) 礫は径5～30cmの重円～五角礫を主体とする。a1は、基質の締りが悪い。a2は基質の締りがよい。  
 b層: 凝縮じり砂層 明黄褐色～黄褐色(10YR6/8～10YR5/8) 礫は半クサリ礫を含む。  
 c層: 礫質砂層 浅黄褐色～浅黄色(10YR6/4～2.5YR/4) 部分的に有色鉱物に富んだ礫が混じる。下部は現状の模様を呈する。  
 G : 花崗斑岩 灰白色～浅黄褐色(10YR6/2～10YR6/3) 全体に東傾斜の割れ目が発達。  
 H : 破砕帯(熱水変質部) 灰白色(10YR8/2) 全体に軟質である。



H - 3 a追加ピット 写真

2.2(5)その他破砕帯

H - 3 a破砕帯 活動性評価(H - 3 a追加ピット テフラ分析)(その1)



H - 3 a追加ピット テフラ観察結果

2.2(5)その他破砕帯

H - 3 a破砕帯 活動性評価(H - 3 a追加ピット テフラ分析)(その2)

・b層では普通角閃石と微量の斜方輝石が認められた。  
 ・主成分分析結果によれば、普通角閃石については、美浜テフラと明神沖テフラの両者のMg及びFeの分布と重なっており、その他の元素についても両者のMg#の範囲と元素の含有量の範囲と重なっていることから、当該テフラは明神沖テフラ及び美浜テフラが混在したものであると判断される。

普通角閃石

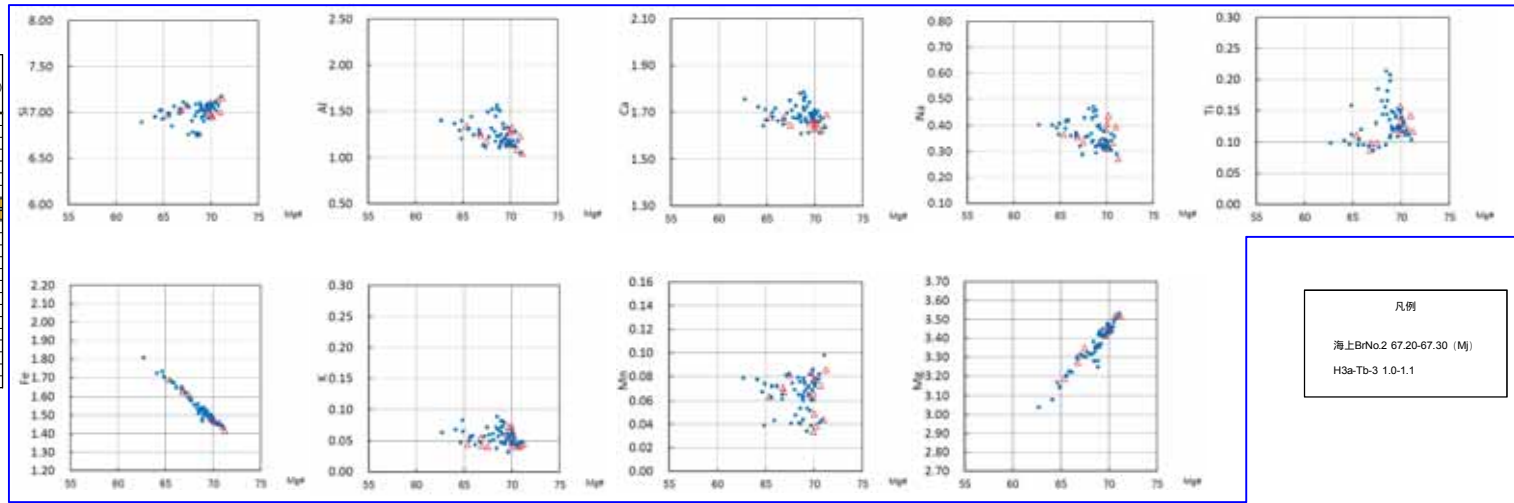
(試料番号) 1.0-1.1

H3a-TB-3

試料番号	重鉱物の含有量 (/3000粒子)			石英 (/3000粒子)
	Opx 1.02	GHo 10.20	Cum 0.102	
2.2-2.3				
2.1-2.2				
2.0-2.1				
1.9-2.0				
1.8-1.9				
1.7-1.8				
1.6-1.7				
1.5-1.6				
1.4-1.5				
1.3-1.4				
1.2-1.3				
1.1-1.2				
1.0-1.1				
0.9-1.0				
0.8-0.9				
0.7-0.8				
0.6-0.7				
0.5-0.6				
0.4-0.5				
0.3-0.4				
0.2-0.3				
0.1-0.2				
0.0-0.1				

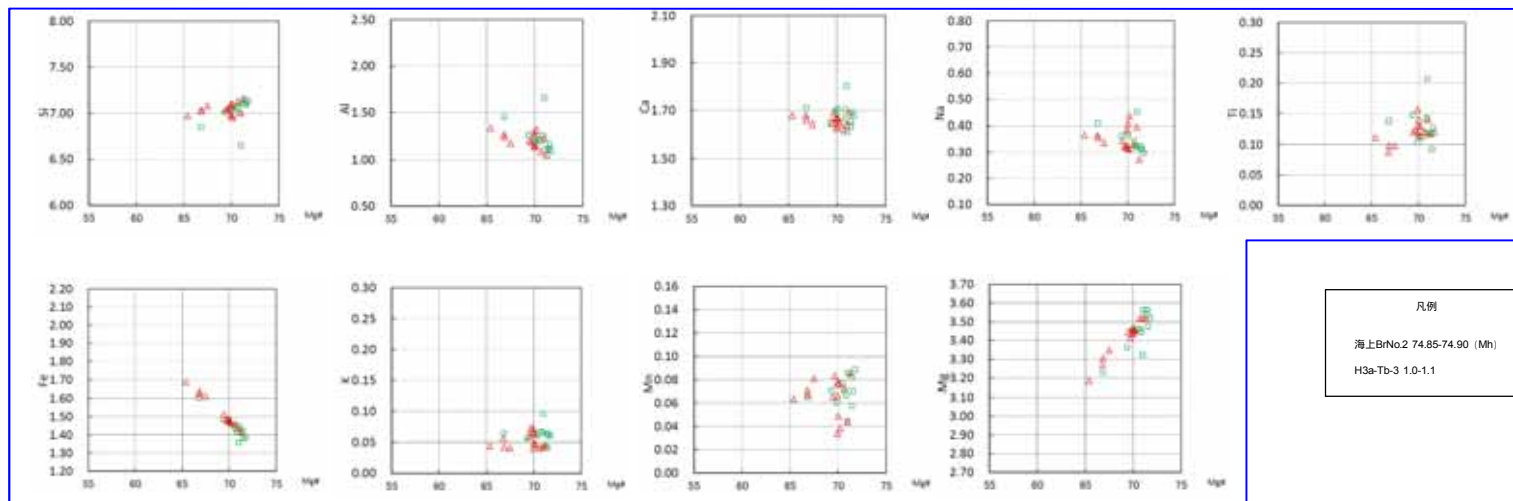
Mh・Mj

- :主成分分析実施箇所
- :主成分分析図作成位置
- :産出下限



元素の含有量の重なりが良いもの

(試料番号) 1.0-1.1



2.2(5)その他破砕帯

H - 3 a破砕帯 活動性評価(H - 3 a追加ピット テフラ分析)(その3)

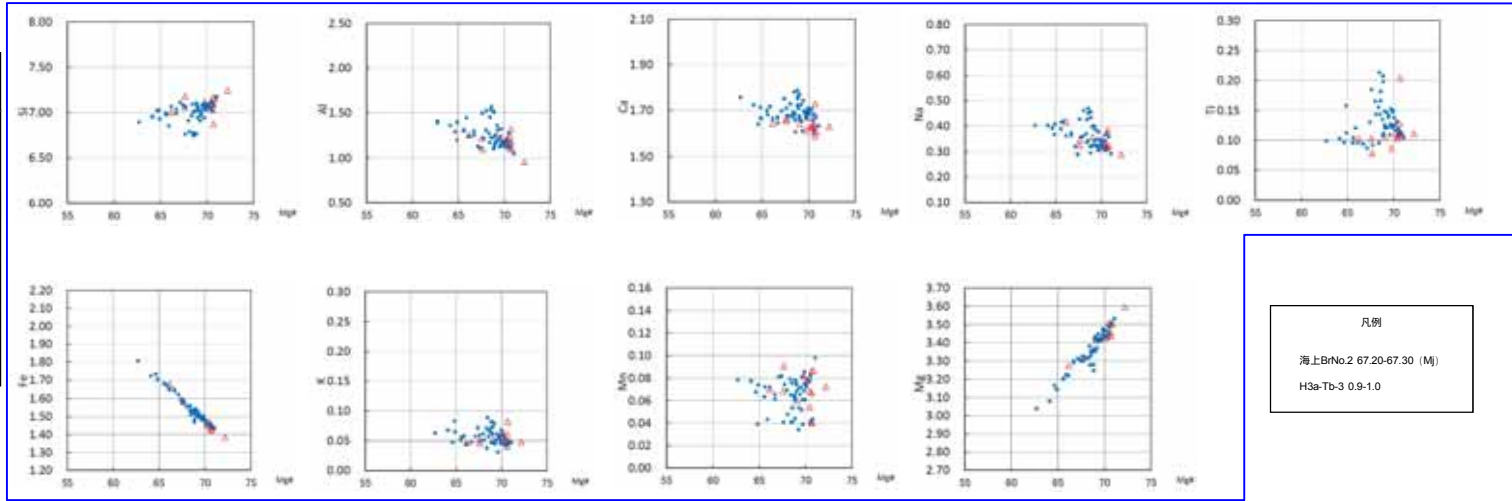
普通角閃石

(試料番号) 0.9-1.0

H3a-TB-3

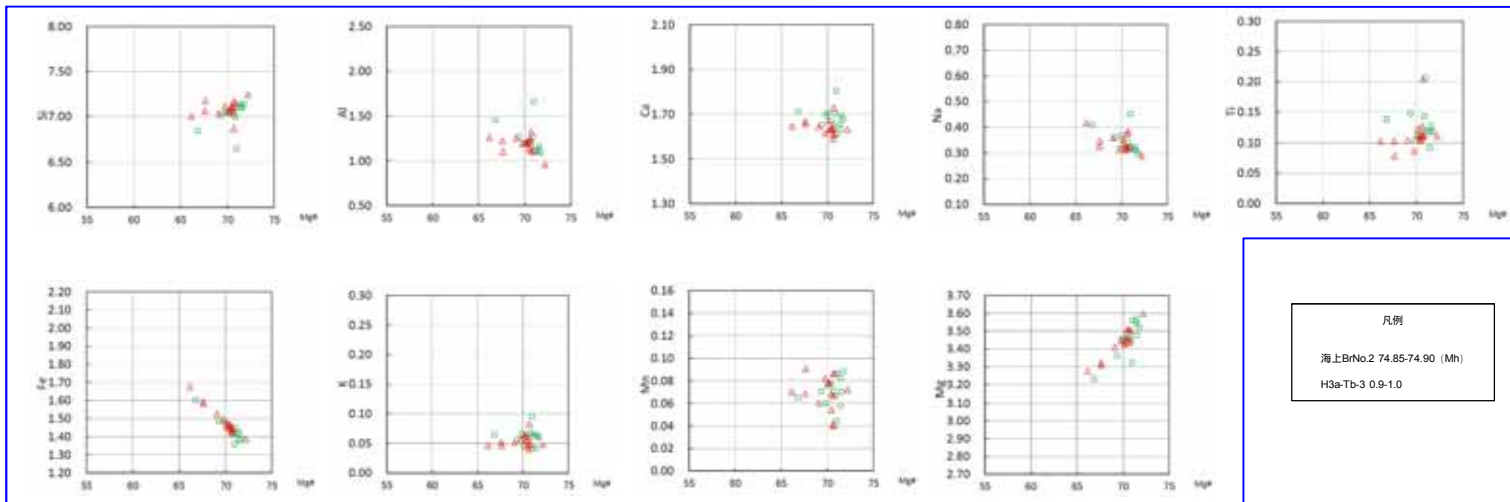
試料番号	重鉱物の含有量 (/3000粒子)			石英 (/3000粒子)
	Opx 1.02	GHo 10.20	Cum 0.102	
2.2-2.3				
2.1-2.2				
2.0-2.1				
1.9-2.0				
1.8-1.9				
1.7-1.8				
1.6-1.7				
1.5-1.6				
1.4-1.5				
1.3-1.4				
1.2-1.3				
1.1-1.2				
1.0-1.1				
0.9-1.0				
0.8-0.9				
0.7-0.8				
0.6-0.7				
0.5-0.6				
0.4-0.5				
0.3-0.4				
0.2-0.3				
0.1-0.2				
0.0-0.1				

- : 主成分分析実施箇所
- : 主成分分析図作成位置
- : 産出下限



元素の含有量の重なりが良いもの

(試料番号) 0.9-1.0

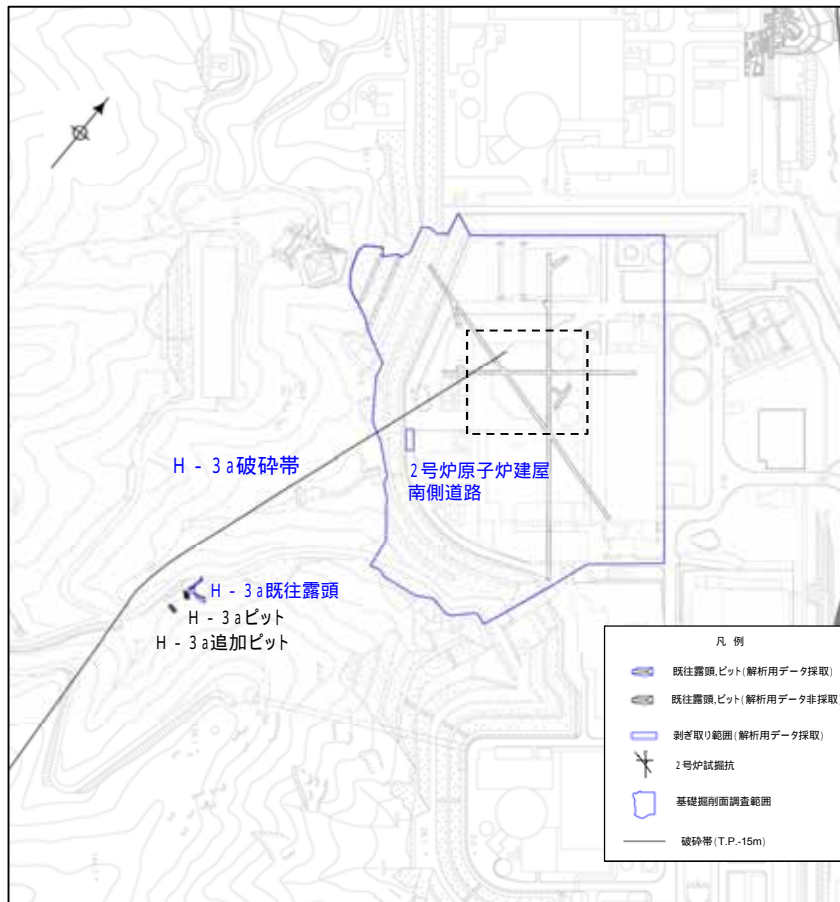


2.2(5)その他破砕帯

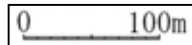
## H - 3 a破砕帯 現在の広域応力場に基づく活動性の評価

- 破砕帯の活動性評価にあたっては、現在の広域応力場との関連性についても検討を行った。
- 検討においては、震源メカニズム解に基づく現在の広域応力場(本編p.67参照)及び破砕帯の走向・傾斜から求められる最適すべり角と条線観察に基づく最新活動面のすべり角を比較した。
- その結果、最適すべり角と条線観察に基づくすべり角が成すミスフィット角は大きいことから、当該破砕帯は現在の広域応力場において活動したものではないと判断される。

破砕帯	孔名・位置	条線観察結果					最適すべり角(°)	ミスフィット角(°)
		走向(°)	傾斜角(°)	レイク角(°)	変位センス	すべり角(°)		
H-3a	2号炉原子炉建屋南側道路	N11E	75W	12L	右	192	124.3	67.7
	H - 3 a既往露頭	N12W	61E	14R	右	166	55.4	110.6



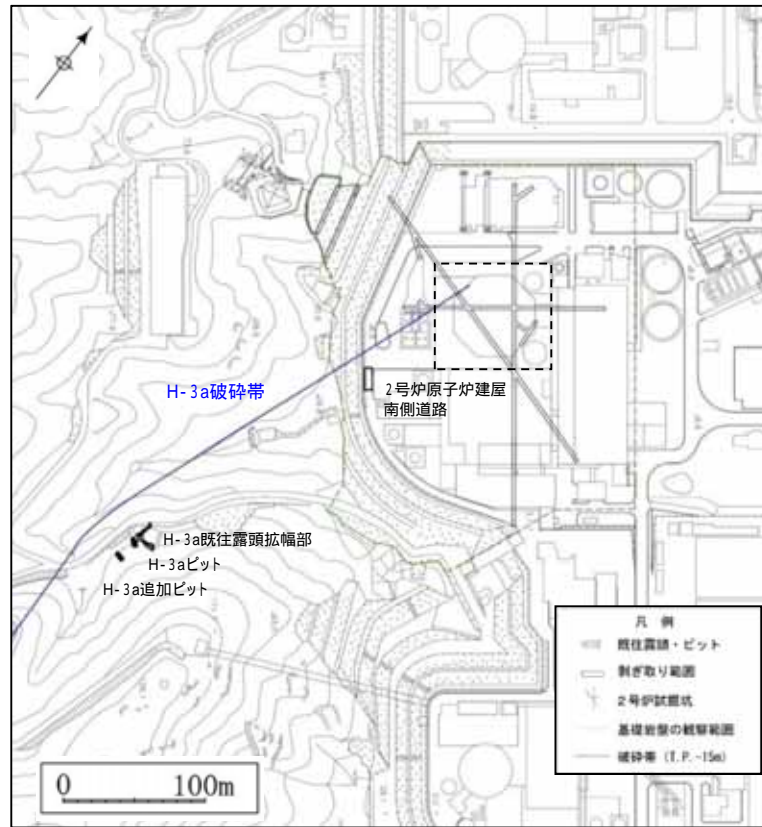
H - 3 a破砕帯調査位置図



2.2(5)その他破砕帯

H - 3 a破砕帯の評価

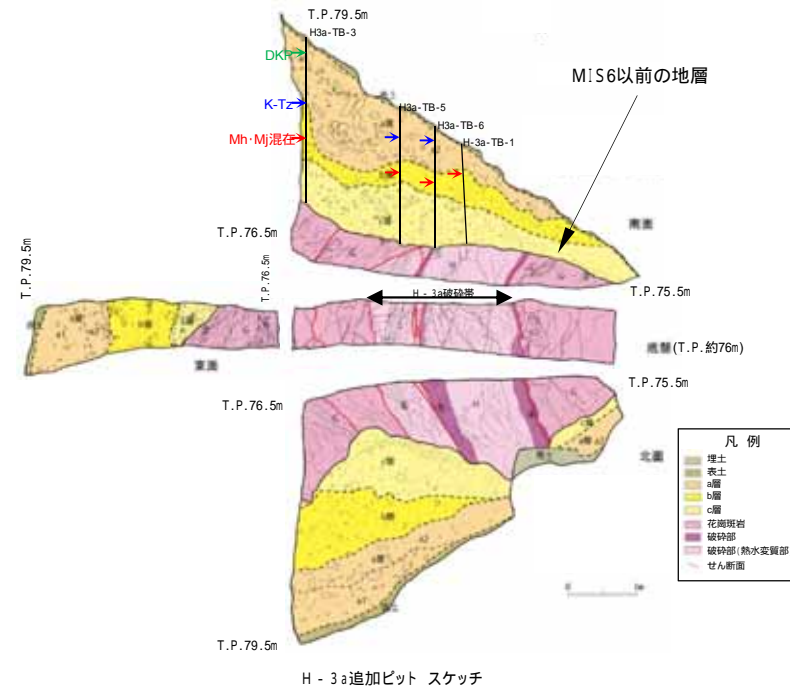
連続性



H - 3 a破砕帯調査位置図

- H - 3 a破砕帯の連続性については、試掘坑調査及び基礎掘削調査ならびに剥ぎ取り調査を実施し、最新活動面の変位センス等に注目して評価した。
- その結果、2号炉原子炉建屋付近で確認されたH - 3 a破砕帯は、南方に一連の構造として分布していることを確認した。

活動性

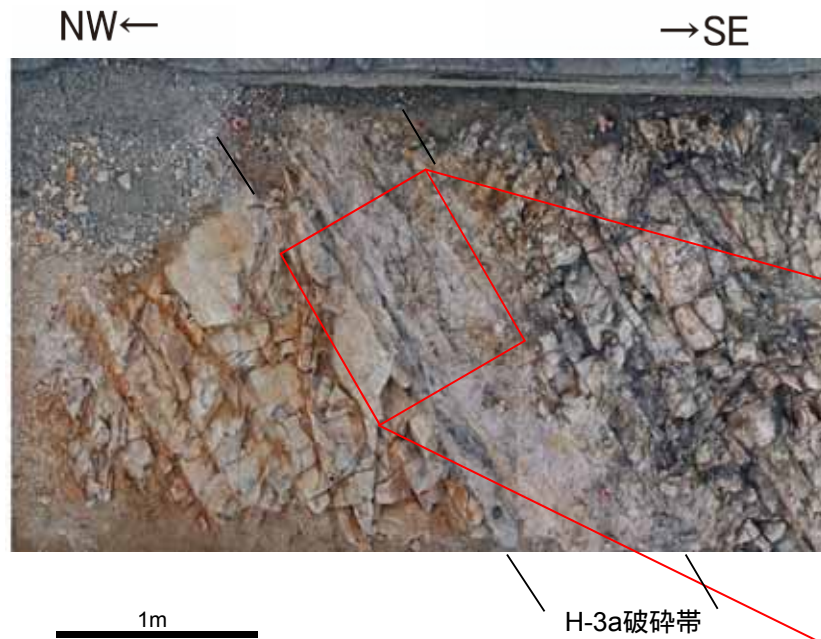


- H - 3 a破砕帯の活動性については、剥ぎ取り調査、ピット調査、テフラ分析、薄片観察等を実施し、上載地層法や現在の広域応力場から想定される最新活動面の変位センス等に注目して評価した。
- H - 3 a破砕帯を直接覆うMIS6以前の地層に変位・変形が認められない。
- H - 3 a破砕帯は概ねN-S方向、高角度の破砕帯であり、最新活動面の変位センスは右ずれ成分であることから、現在の広域応力場から想定される変位センスと調和しない。

H - 3 a破砕帯は、連続性評価の結果、重要施設の直下に分布しており、活動性評価の結果、地震活動に伴って永久変位が生じる断層及び震源として考慮する活断層ではない。

2.2(5)その他破碎帯

H - 3 a 破碎帯 剥ぎ取り調査(2号炉原子炉建屋南側道路)



調査位置図

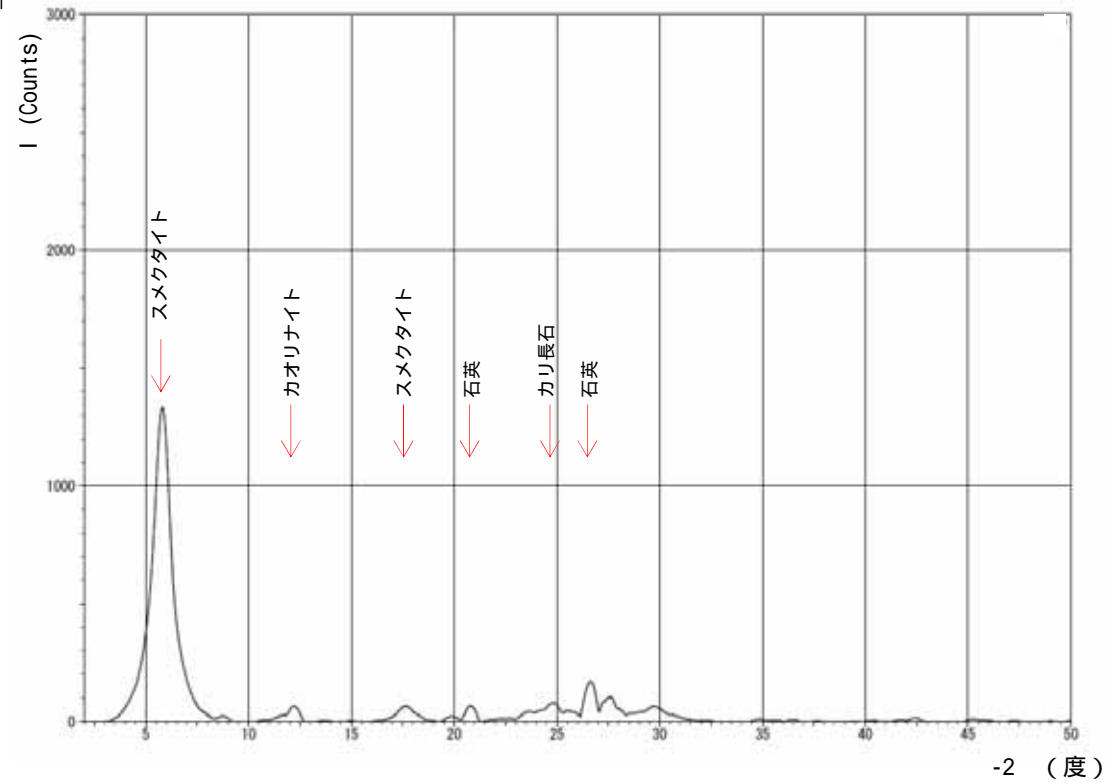
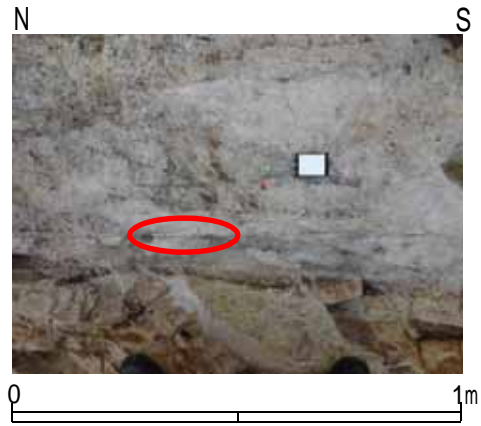


2号炉原子炉建屋南側道路での剥ぎ取り調査の結果によれば、H - 3 a 破碎帯はNNE - SSW方向で、高角度西傾斜を示し、断層ガウジを伴う破碎部からなる。



2.2(5)その他破碎帯

H - 3 a 破碎帯 X線回析分析(2号炉原子炉建屋南側道路)



2.2(5)その他破碎帯

H - 3 a 破碎帯 条線観察 (2号炉原子炉建屋南側道路) (その1)

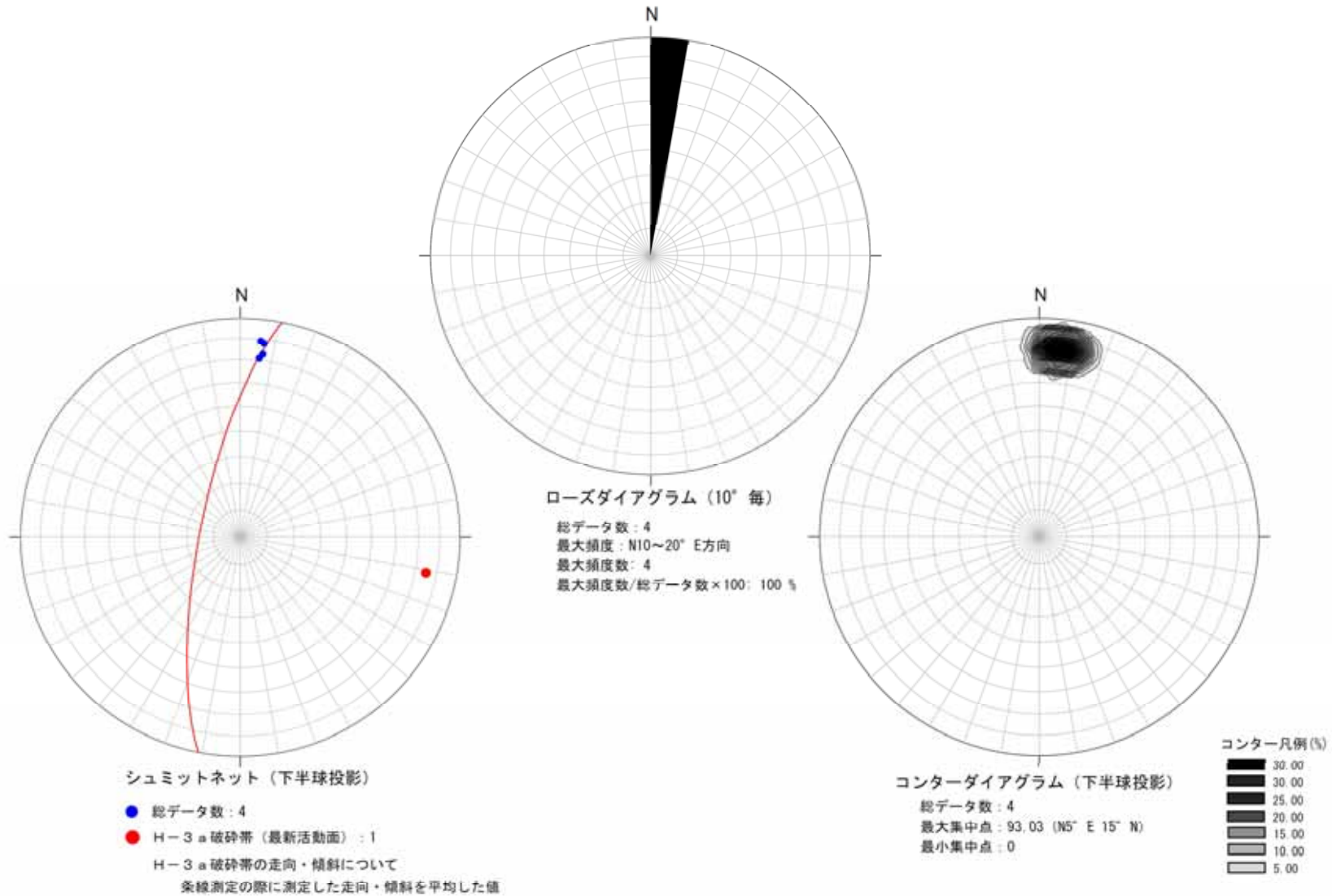


条線の例  
(上盤側から撮影)

- 平均走向・傾斜: N11° E75° W
- 平均レイク角: 12° 北傾斜

2.2(5)その他破碎帯

H - 3 a 破碎帯 条線観察 (2号炉原子炉建屋南側道路) (その2)

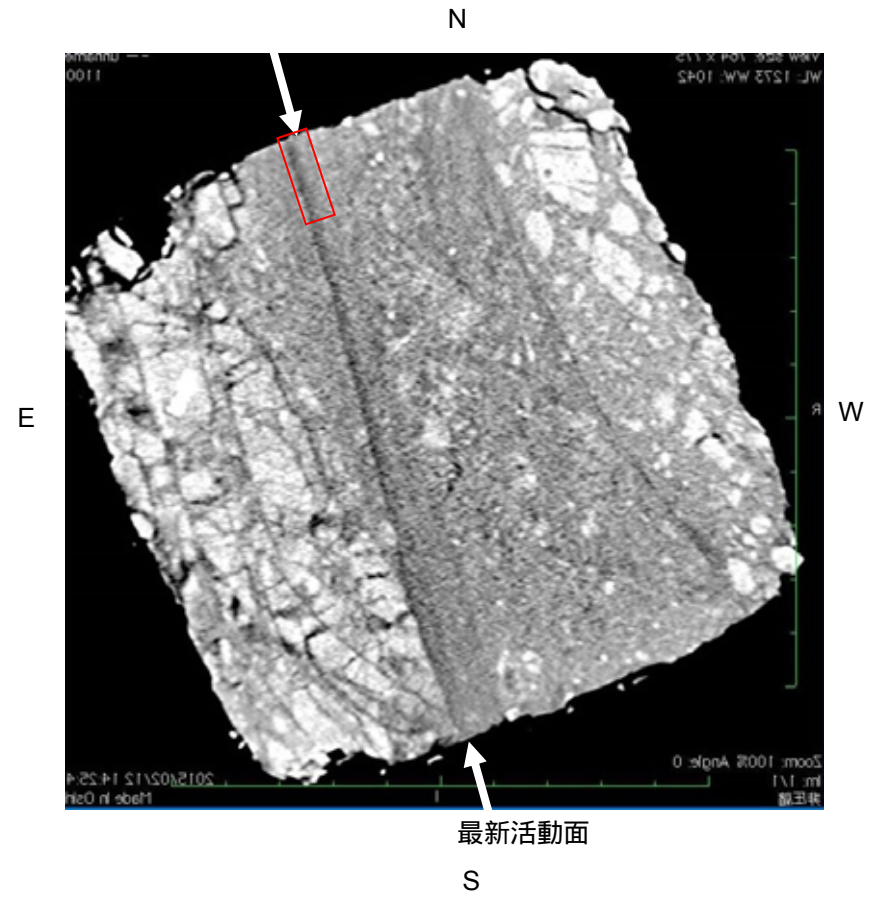
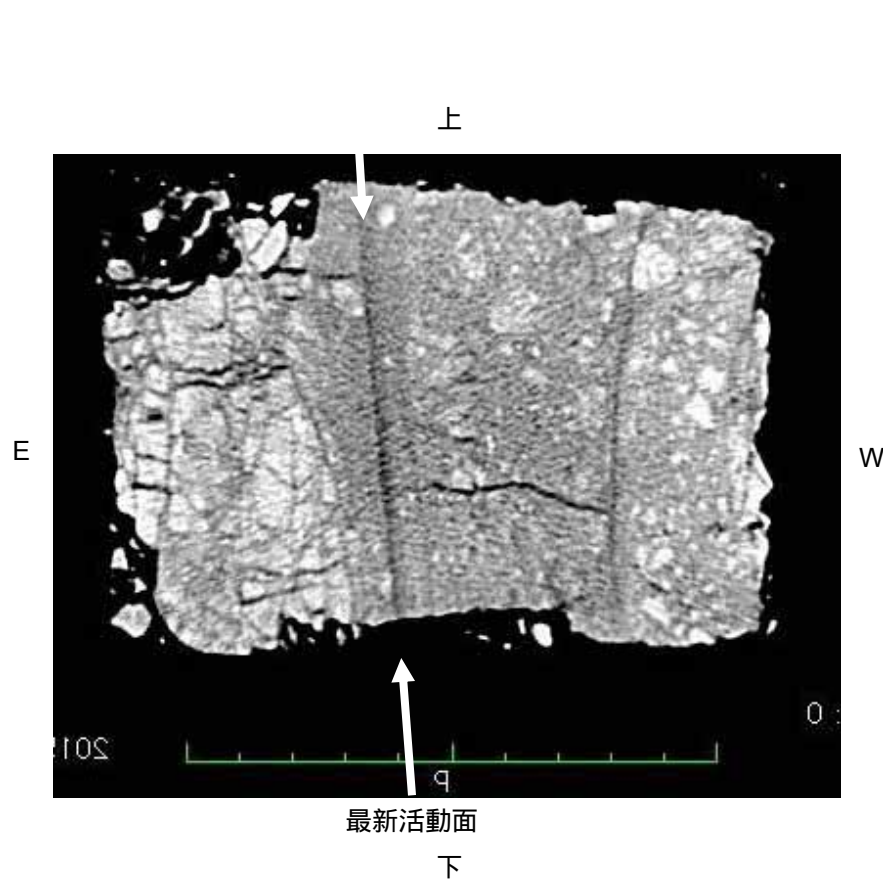


• 平均走向・傾斜 : N11° E75° W  
 • 平均レイク角 : 12° 北傾斜

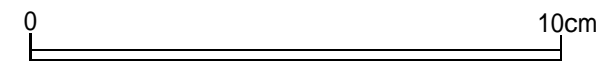
最新活動面について複数の条線方向を統計的に整理した結果, 横ずれ成分が卓越する。

2.2(5)その他破碎帯

H - 3 a 破碎帯 電子顕微鏡観察 (2号炉原子炉建屋南側道路) (その1)

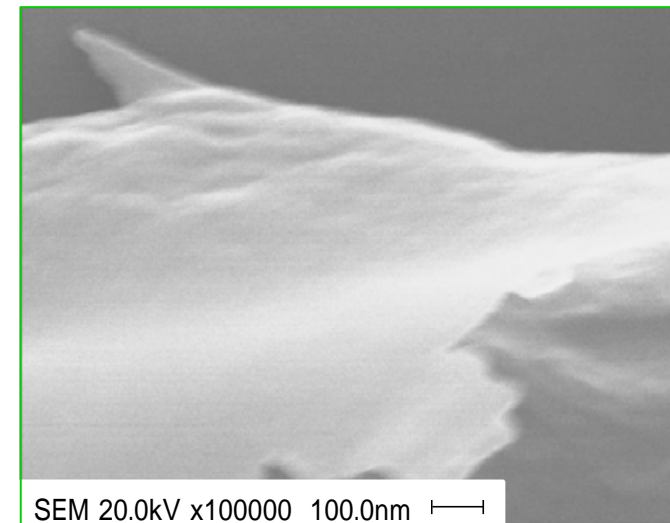
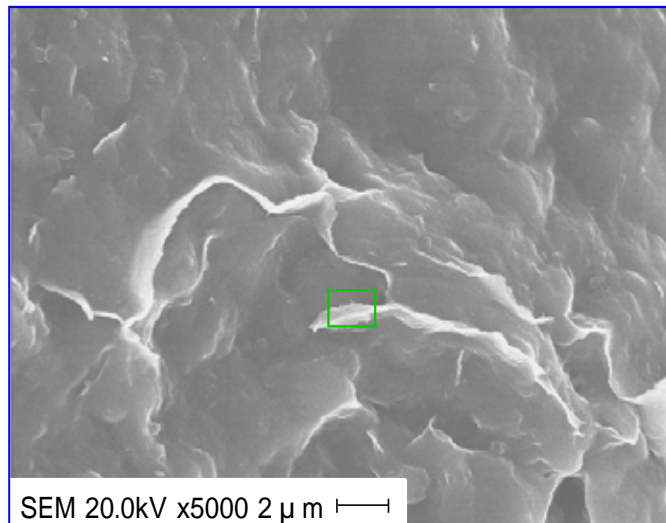
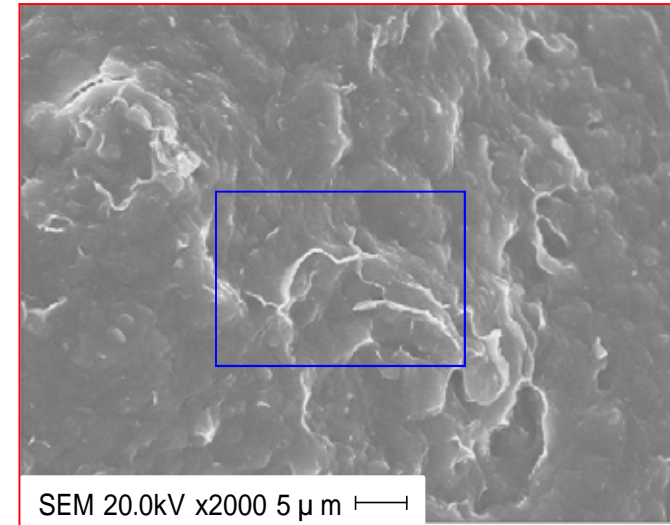
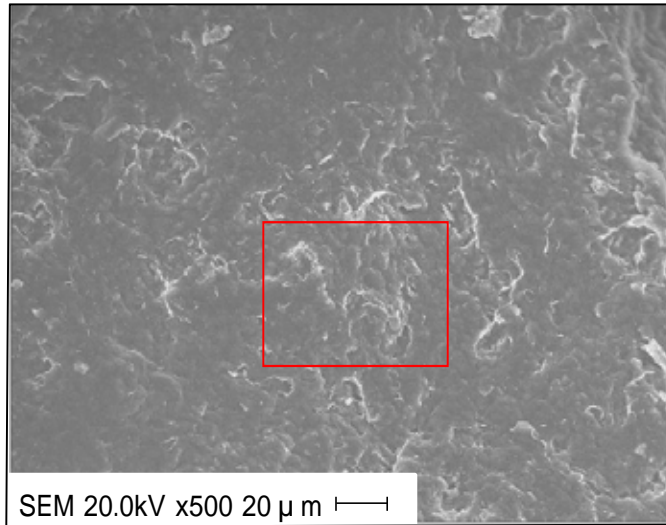


電子顕微鏡観察位置



2.2(5)その他破砕帯

H - 3 a 破砕帯 電子顕微鏡観察 (2号炉原子炉建屋南側道路) (その2)

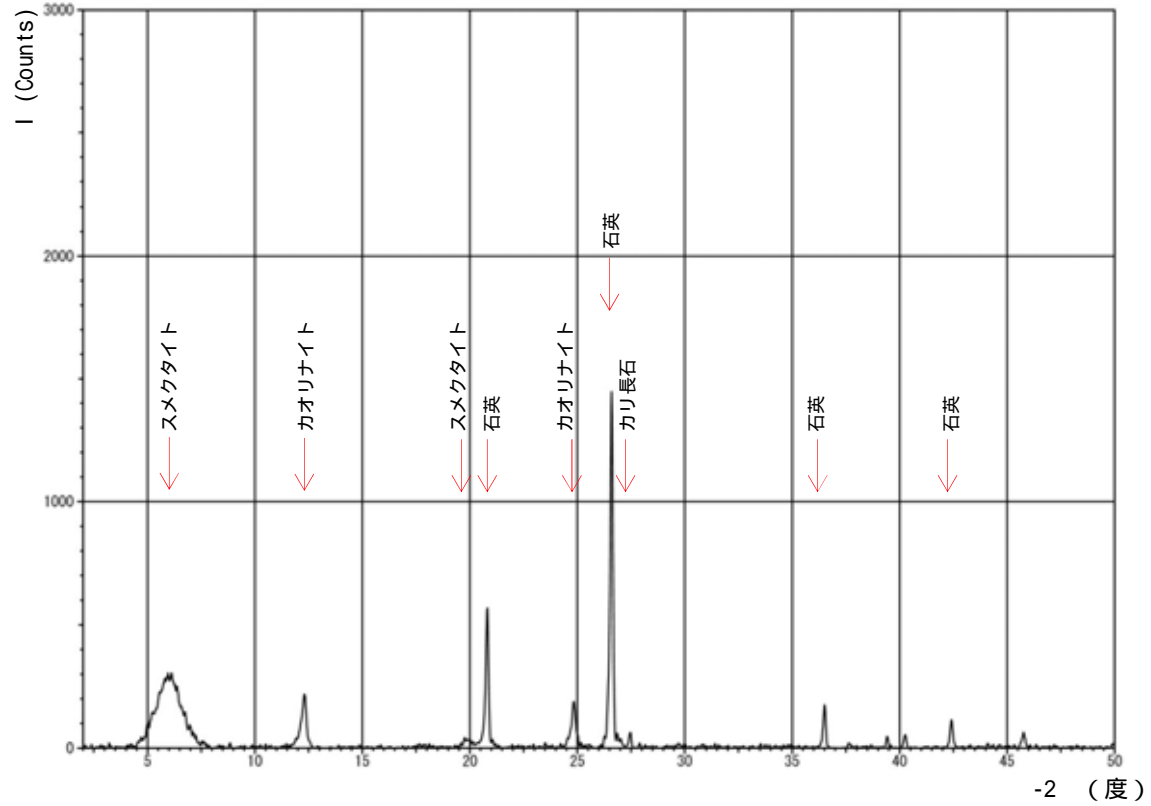


イライト、スメクタイトがカードハウス状を呈する

最新活動面について電子顕微鏡による観察を実施した結果、鉱物の結晶が多方向に向いており、それらの結晶に破砕は認められない。

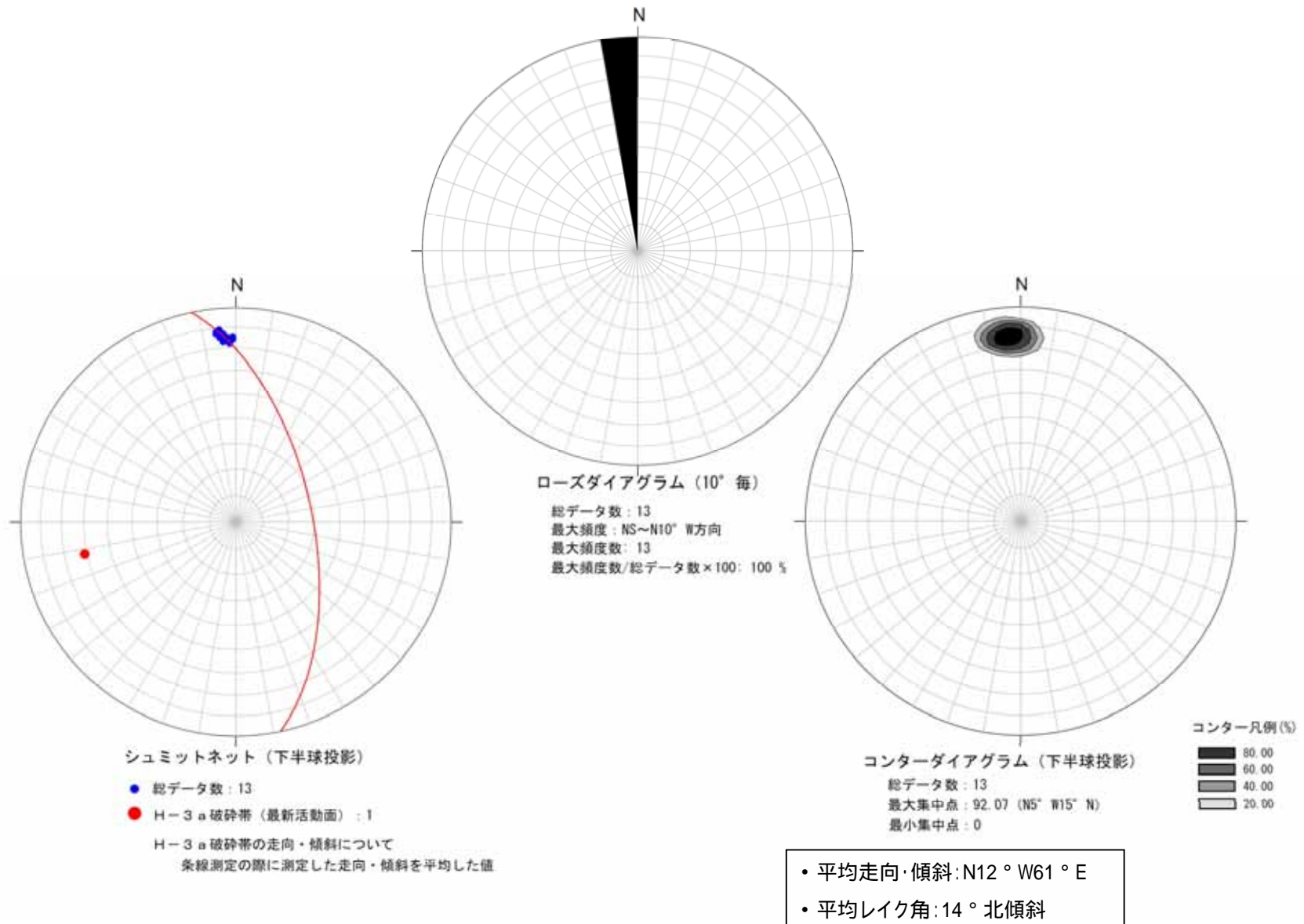
2.2(5)その他破碎帯

H - 3 a 破碎帯 X線回析分析(H - 3 a 既往露頭)



2.2(5)その他破砕帯

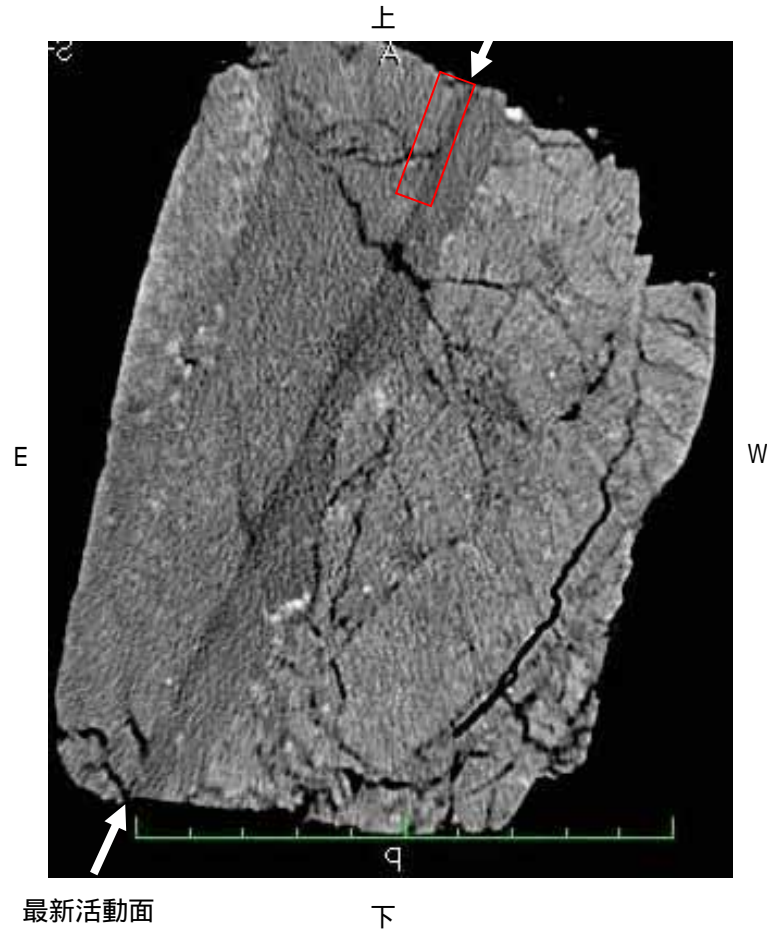
H - 3 a破砕帯 条線観察 (H - 3 a既往露頭)



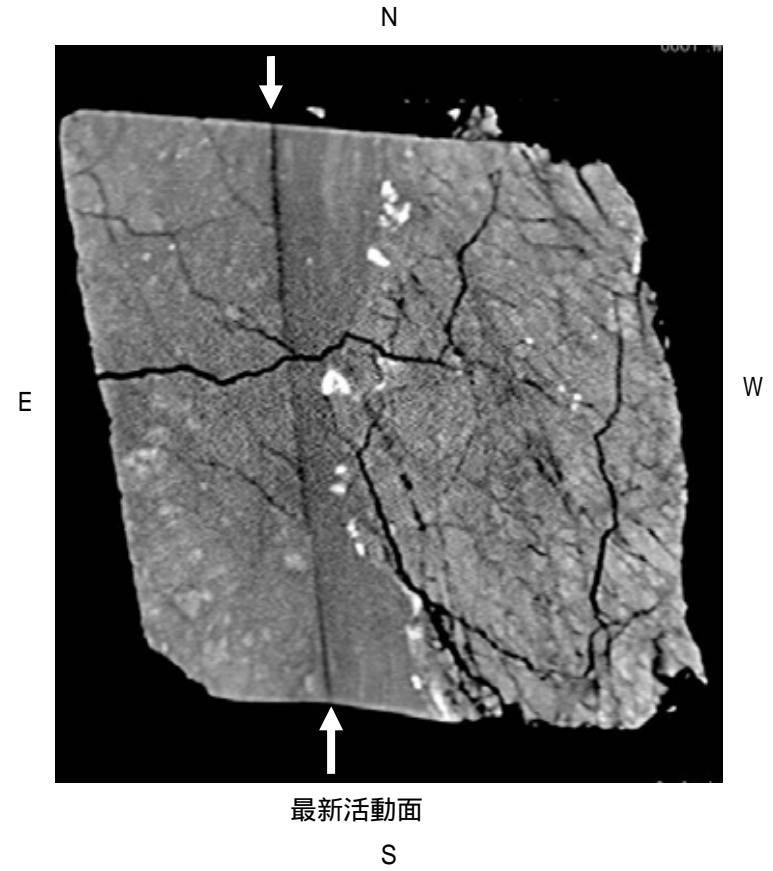
最新活動面について複数の条線方向を統計的に整理した結果、横ずれ成分が卓越する。

2.2(5)その他破碎帯

H - 3 a 破碎帯 電子顕微鏡観察 (H - 3 a 既往露頭) (その1)



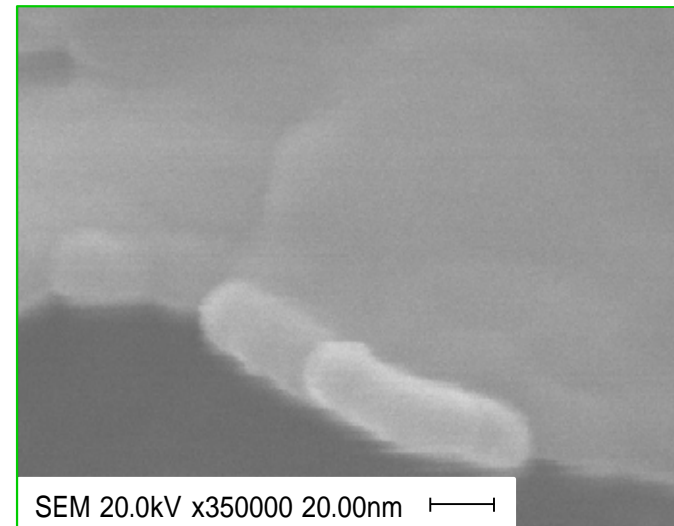
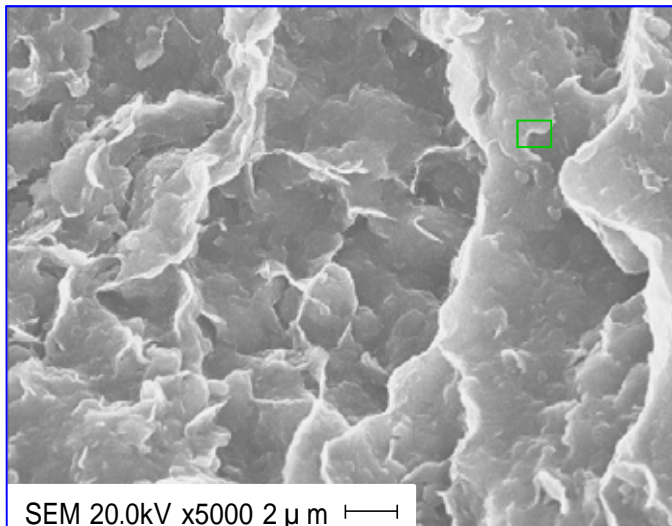
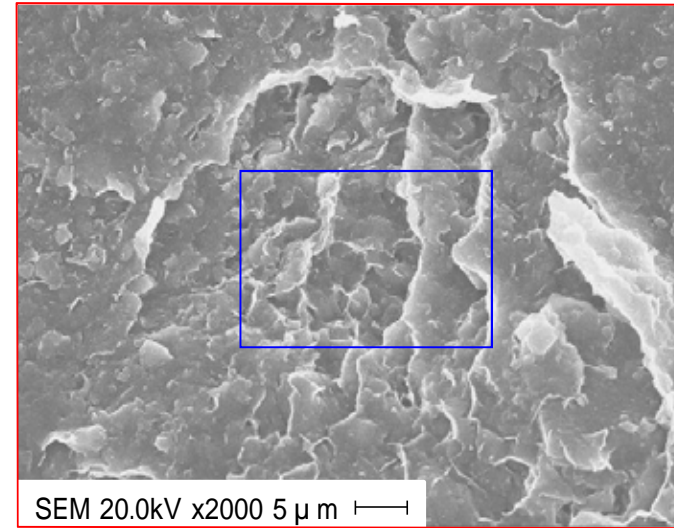
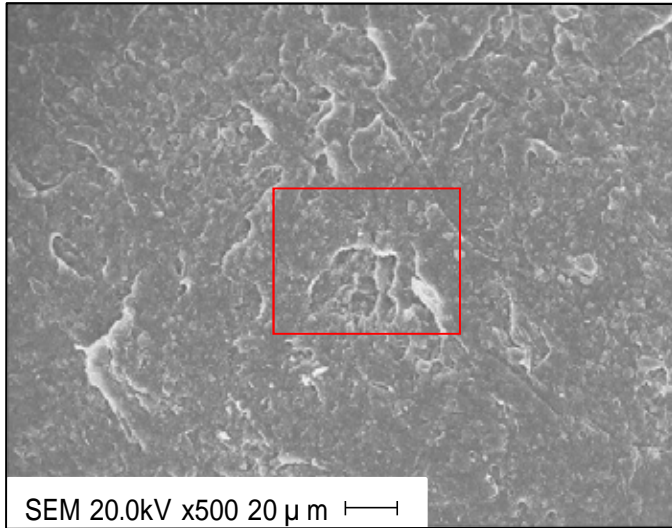
電子顕微鏡観察位置



0 10cm

2.2(5)その他破砕帯

H - 3 a破砕帯 電子顕微鏡観察(H - 3 a既往露頭)(その2)

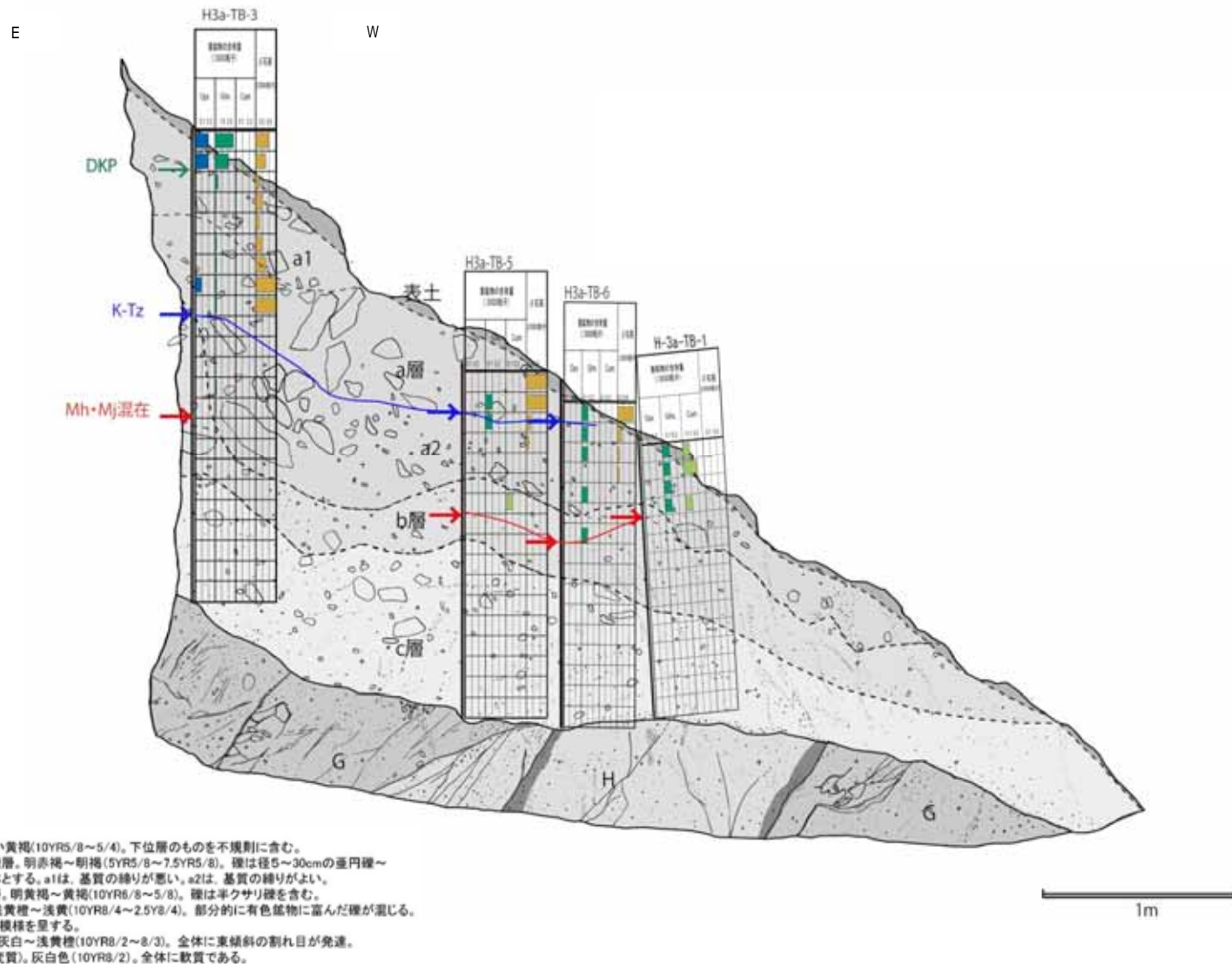


スメクタイト、イライトがカードハウス状を呈する。鉱物の二次成長が認められる。

最新活動面について電子顕微鏡による観察を実施した結果、鉱物の結晶が多方向に向いており、それらの結晶に破砕は認められない。

2.2(5)その他破砕帯

H - 3 a破砕帯 テフラ分析(H - 3 a追加ピット)(その1)



H - 3 a追加ピット テフラ観察結果

2.2(5)その他破砕帯

H - 3 a破砕帯 テフラ分析(H - 3 a追加ピット) (その2)

b層では普通角閃石と微量の斜方輝石が認められ、普通角閃石の主成分分析等の結果から美浜テフラと明神沖テフラが混在して確認された。

普通角閃石

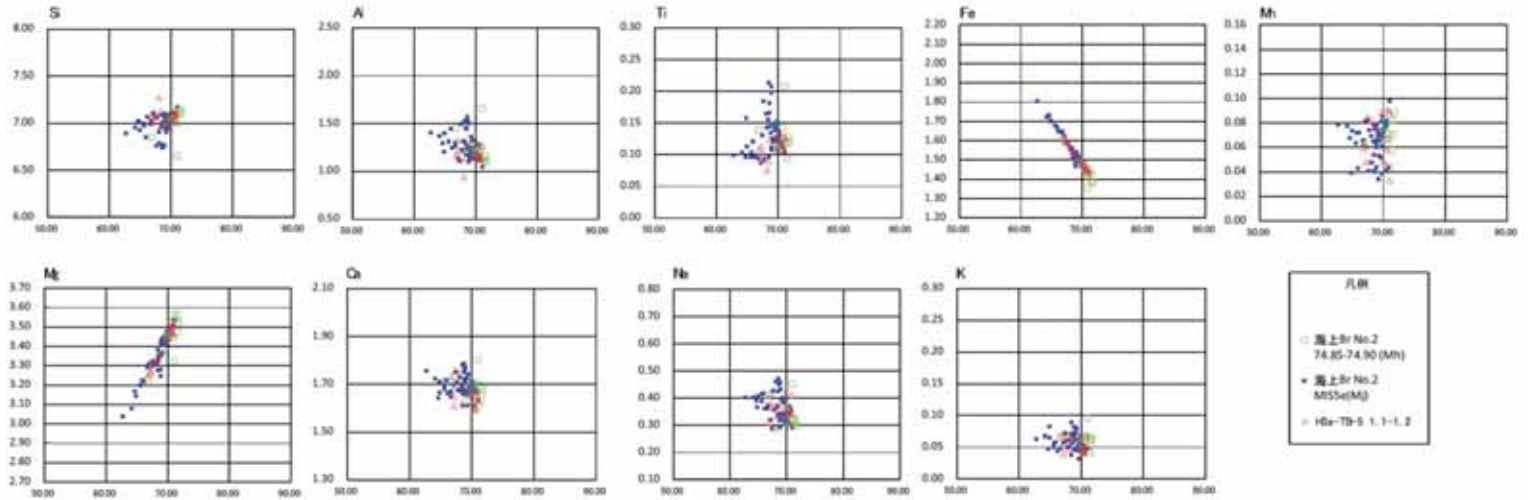
(試料番号)

1.1-1.2m

H3a-TB-5

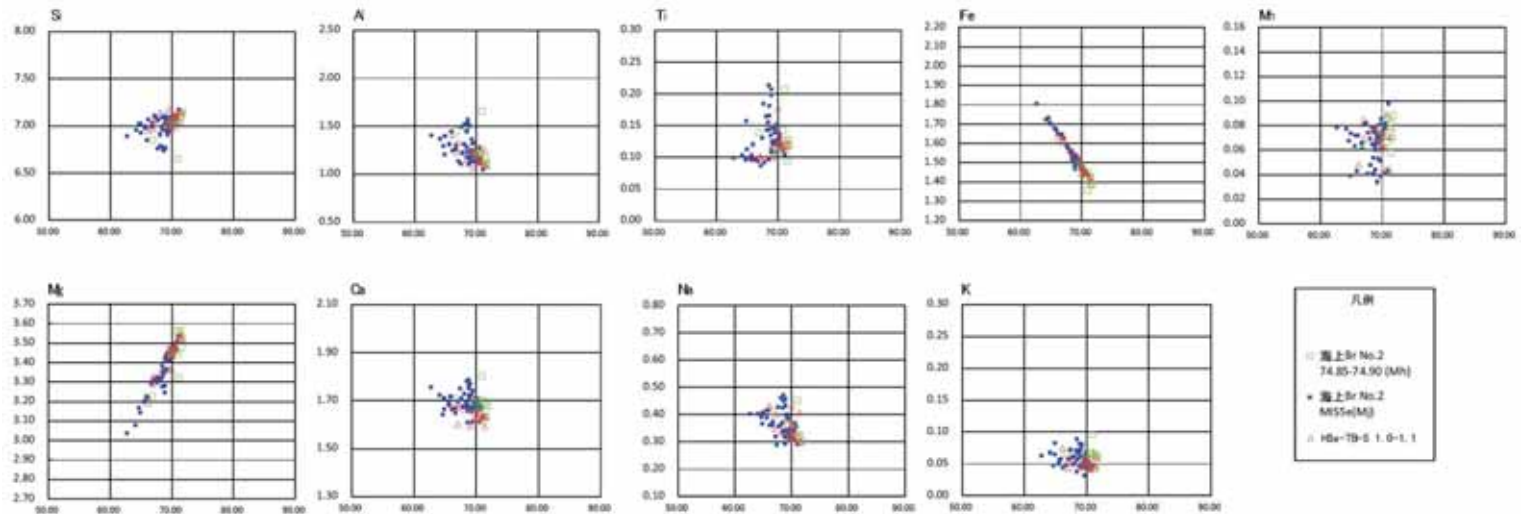
試料番号	重鉱物の含有量 (/3000粒子)						石英 (/3000粒子)
	Opx 0.1 0.2	GHo 0.1 0.2	Cum 0.1 0.2	0.3 0.6	0.1 0.2	0.3 0.6	
1.6-1.7							
1.5-1.6							
1.4-1.5							
1.3-1.4							
1.2-1.3							
1.1-1.2							
1.0-1.1							
0.9-1.0							
0.8-0.9							
0.7-0.8							
0.6-0.7							
0.5-0.6							
0.4-0.5							
0.3-0.4							
0.2-0.3							
0.1-0.2							
0.0-0.1							

Mh・Mj



1.0-1.1m

● :主成分分析実施箇所  
→ :降灰層準



2.2(5)その他破砕帯

H - 3 a破砕帯 テフラ分析(H - 3 a追加ピット) (その3)

b層では普通角閃石と微量の斜方輝石が認められ、普通角閃石の主成分分析等の結果から美浜テフラと明神沖テフラが混在して確認された。

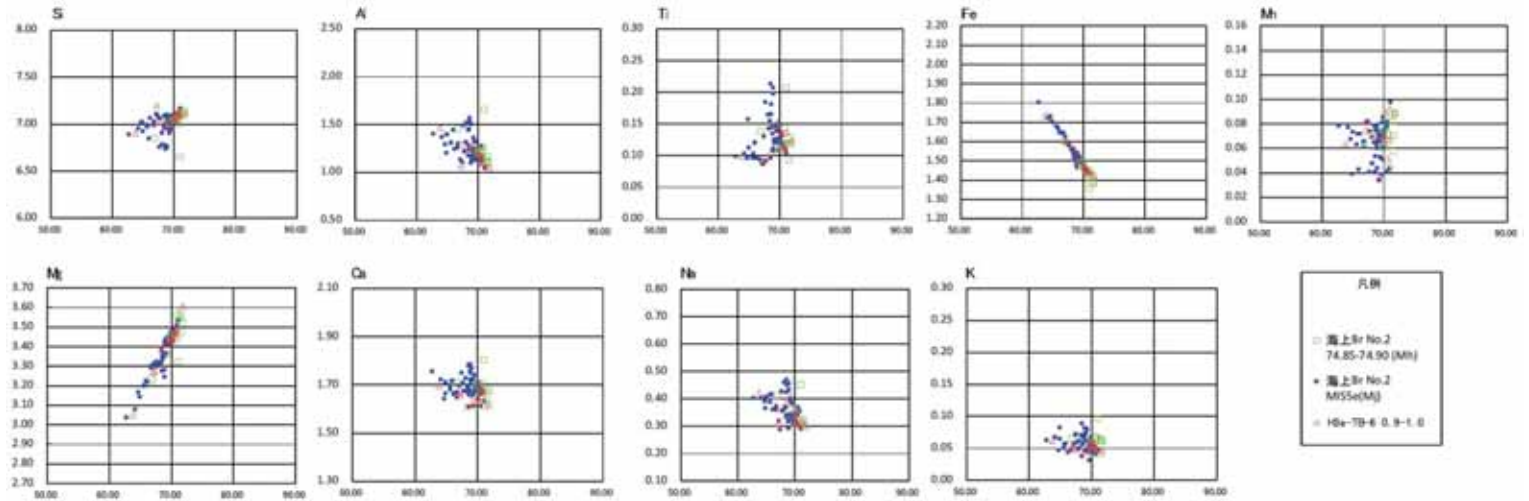
普通角閃石

H3a-TB-6

(試料番号)  
0.9-1.0m

試料番号	重鉱物の含有量 (/3000粒子)			石英 /3000粒子
	Opx 0.1 0.2	GHo 0.1 0.2	Cum 0.1 0.2	
1.5-1.6				
1.4-1.5				
1.3-1.4				
1.2-1.3				
1.1-1.2				
1.0-1.1				
0.9-1.0				
0.8-0.9				
0.7-0.8				
0.6-0.7				
0.5-0.6				
0.4-0.5				
0.3-0.4				
0.2-0.3				
0.1-0.2				
0.0-0.1				

Mh・Mj  
→



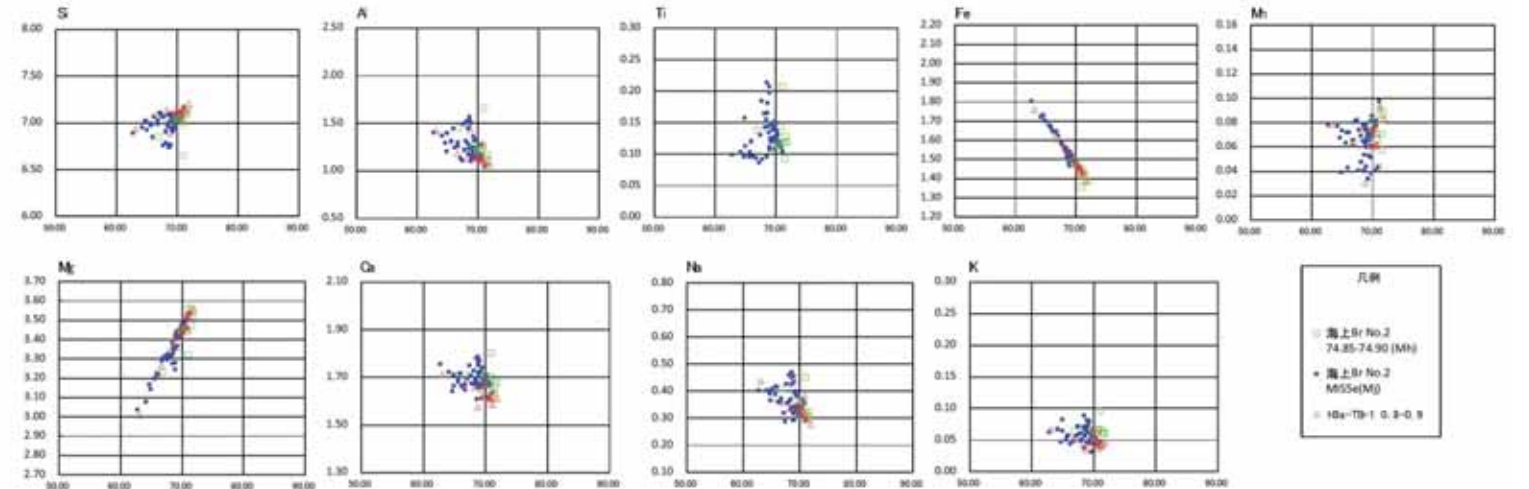
普通角閃石

H3a-TB-1

0.8-0.9m

試料番号	重鉱物の含有量 (/3000粒子)			石英 /3000粒子
	Opx 0.1 0.2	GHo 0.1 0.2	Cum 0.1 0.2	
1.10-1.20				
1.00-1.10				
0.90-1.00				
0.80-0.90				
0.70-0.80				
0.60-0.70				
0.50-0.60				
0.40-0.50				
0.30-0.40				
0.25-0.30				
0.20-0.25				
0.15-0.20				
0.10-0.15				
0.05-0.10				
0.00-0.05				

Mh・Mj  
→



● :主成分分析実施箇所  
→ :降灰層準

## 2. 敷地の地質構造

### 2.1 浦底断層

### 2.2 破碎帯

(1) D - 1 破碎帯

(2) K断層

(3) D - 6 破碎帯

(4) D - 14 破碎帯

**(5) その他破碎帯**

### 2.3 試掘坑・調査坑展開図

### 2.4 基礎掘削面調査

### 2.5 層相観察

### 2.6 テフラ分析(粒子数)

2.2(5)その他破砕帯

D - 3破砕帯, D - 4破砕帯, D - 39破砕帯, H - 7破砕帯 現在の広域応力場に基づく活動性の評価

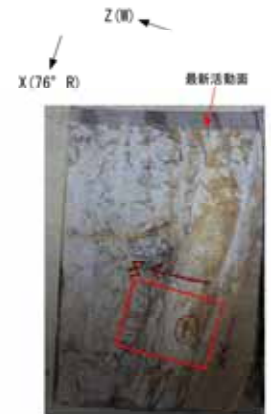
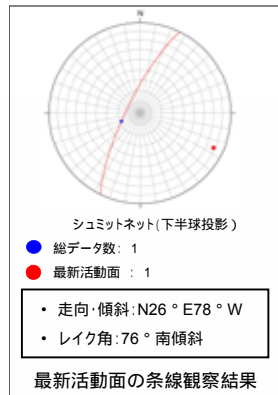
- 破砕帯の活動性評価にあたっては、現在の広域応力場との関連性についても検討を行った。
- 検討においては、震源メカニズム解に基づく現在の広域応力場(本編p.67参照)及び破砕帯の走向・傾斜から求められる最適すべり角と条線観察に基づく最新活動面のすべり角を比較した。
- その結果、最適すべり角と条線観察に基づくすべり角が成すミスフィット角は大きいことから、当該破砕帯は現在の広域応力場において活動したものではないと判断される。

破砕帯	孔名・位置	条線観察結果					最適すべり角(°)	ミスフィット角(°)
		走向(°)	傾斜角(°)	レイク角(°)	変位センス	すべり角(°)		
D-3	Br-1	N26E	78W	76R	正	284	154.0	130.0
D-4	D5-1	N35E	74W	90	正	270	155.8	114.2
D-24	No.	N5E	77W	80R	正	280	105.0	175.0
D-39	B11-1	N8E	84W	62R	正,左	298	135.8	162.2
H-7	H27-B-4	N10E	78W	40R	正,左	320	126.3	166.3
	2号法面	N5E	77W	6L	左	6	105.0	99.0

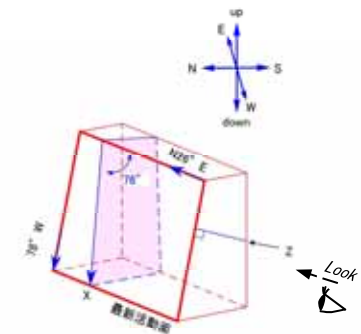
2.2(5)その他破砕帯

D - 3 破砕帯 薄片試料観察 (H27-Br-1 深度35.85m)

H27-Br-1のボーリングコア(深度35.85m)から採取した薄片試料の観察結果によれば最新活動面の変位センスは、正断層成分が卓越する。

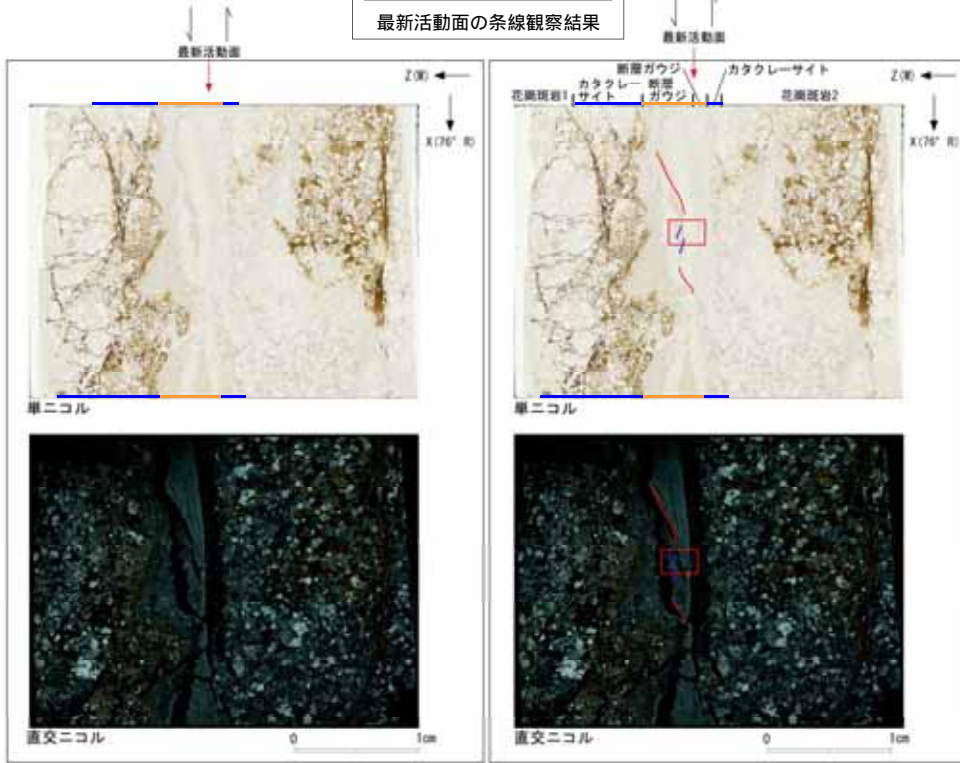


薄片の作成方向は最新活動面に  
直交方向かつ糸線方向に平行方向

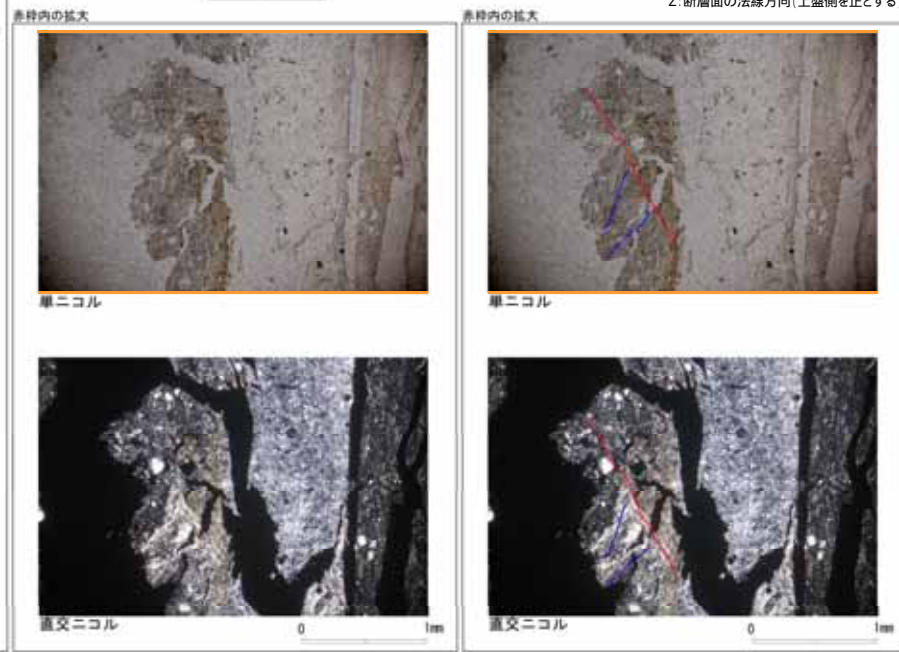


走向・傾斜 N26° E 78° W

X: 糸線方向(下向きを正とする)  
 Z: 断層面の糸線方向(上盤側を正とする)



ブロックサンプル

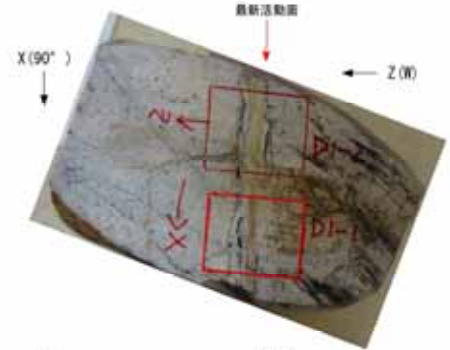
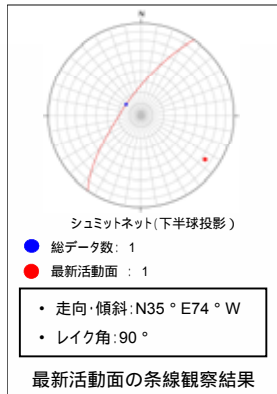


- 凡例
- 断層ガウジ
  - カタクレーサイト
  - R1面
  - P面

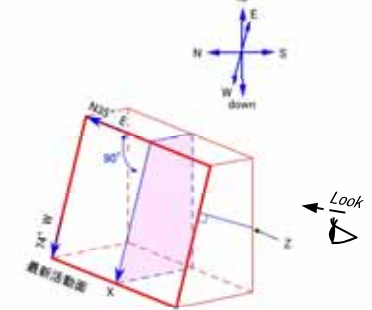
2.2(5)その他破砕帯

D - 4 破砕帯 薄片試料観察 (H27-D5-1 深度22.90m)

H27-D5-1のボーリングコア(深度22.90m)から採取した薄片試料の観察結果によれば最新活動面の変位センスは、正断層成分が卓越する。

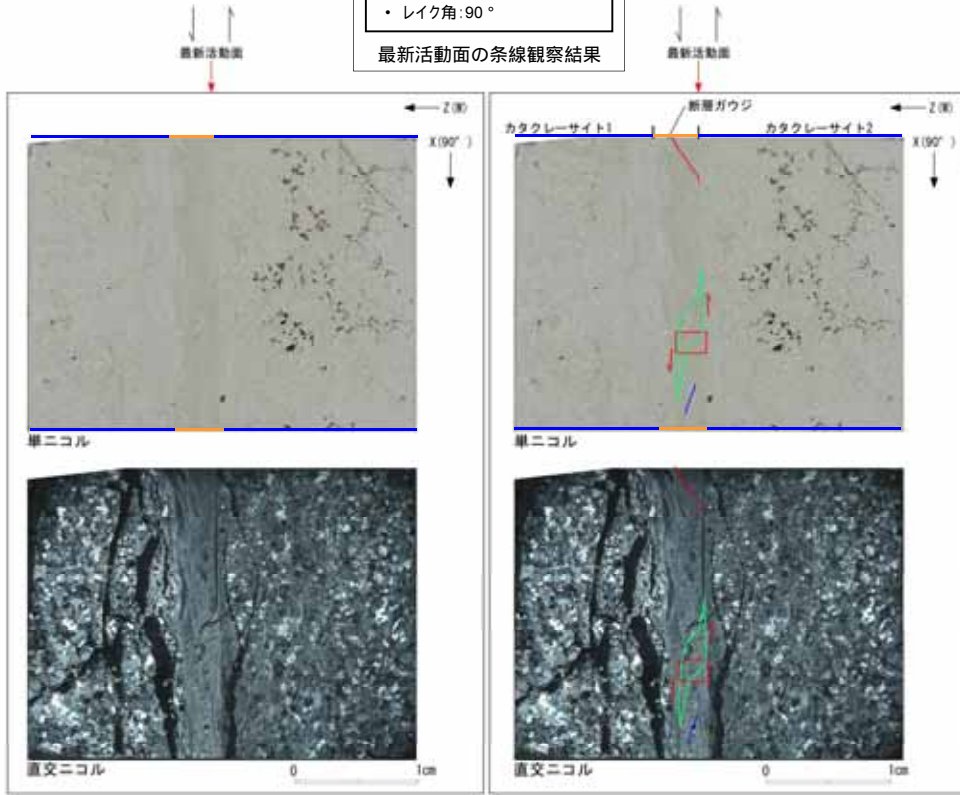


薄片の作成方向は最新活動面に  
直交方向かつ条線方向に平行方向



走向・傾斜 N35° E74° W  
 X: 条線方向(下向きを正とする)  
 Z: 断層面の法線方向(上盤側を正とする)

0 10cm  
ブロックサンプル



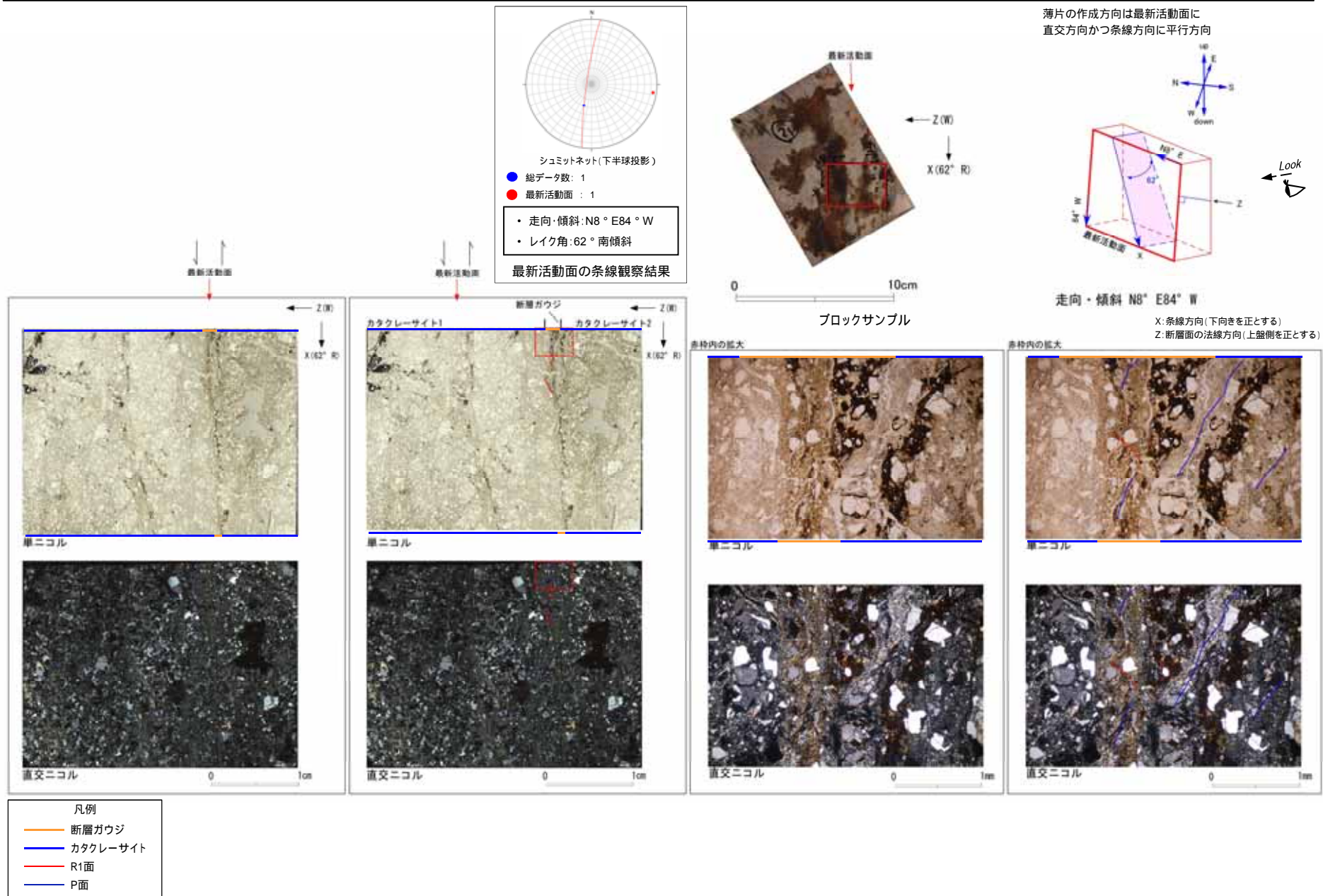
- 凡例
- 断層ガウジ
  - カタクレーサイト
  - R1面
  - P面



2.2(5)その他破砕帯

D - 39 破砕帯 薄片試料観察 (H24-B11-1 深度60.55m)

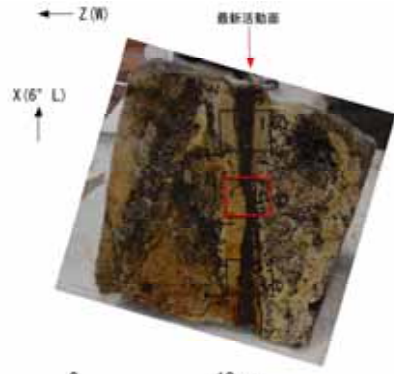
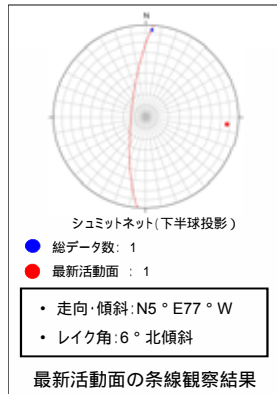
H24-B11-1のボーリングコア (深度60.55m) から採取した薄片試料の観察結果によれば最新活動面の変位センスは、左ずれを伴う正断層成分が卓越する。



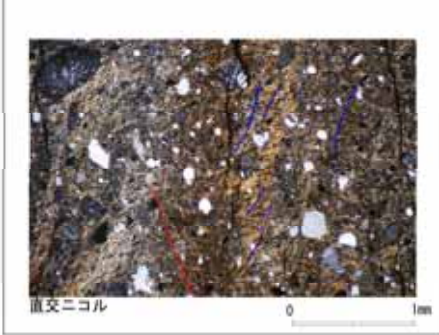
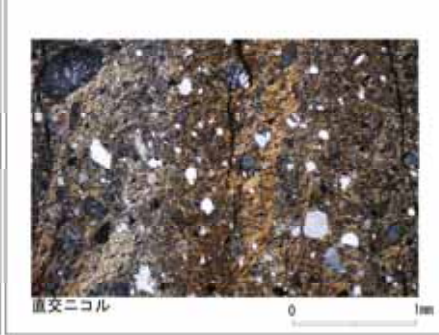
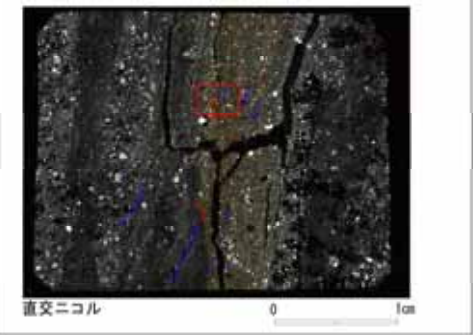
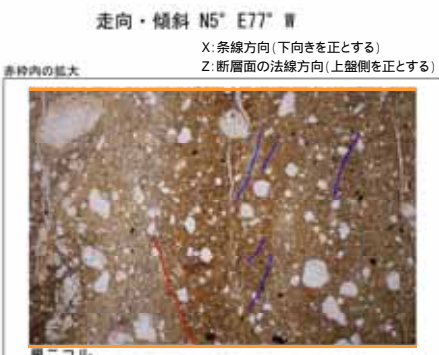
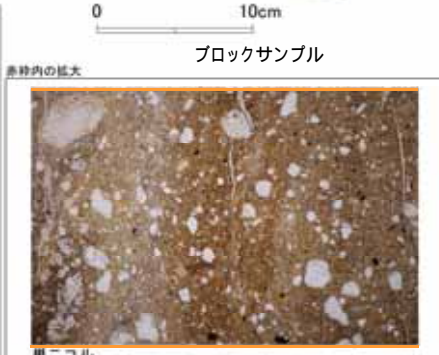
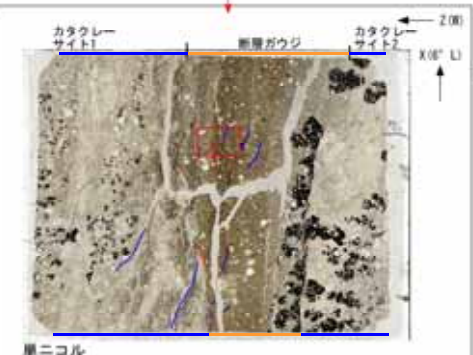
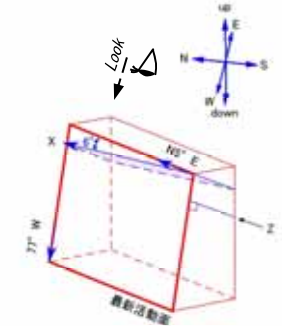
2.2(5)その他破砕帯

H - 7 破砕帯 薄片試料観察 (2号炉原子炉建屋南側斜面)

2号炉原子炉建屋南側斜面から採取した薄片試料の観察結果によれば最新活動面の変位センスは、左ずれ成分が卓越する。



薄片の作成方向は最新活動面に  
直交方向かつ条線方向に平行方向

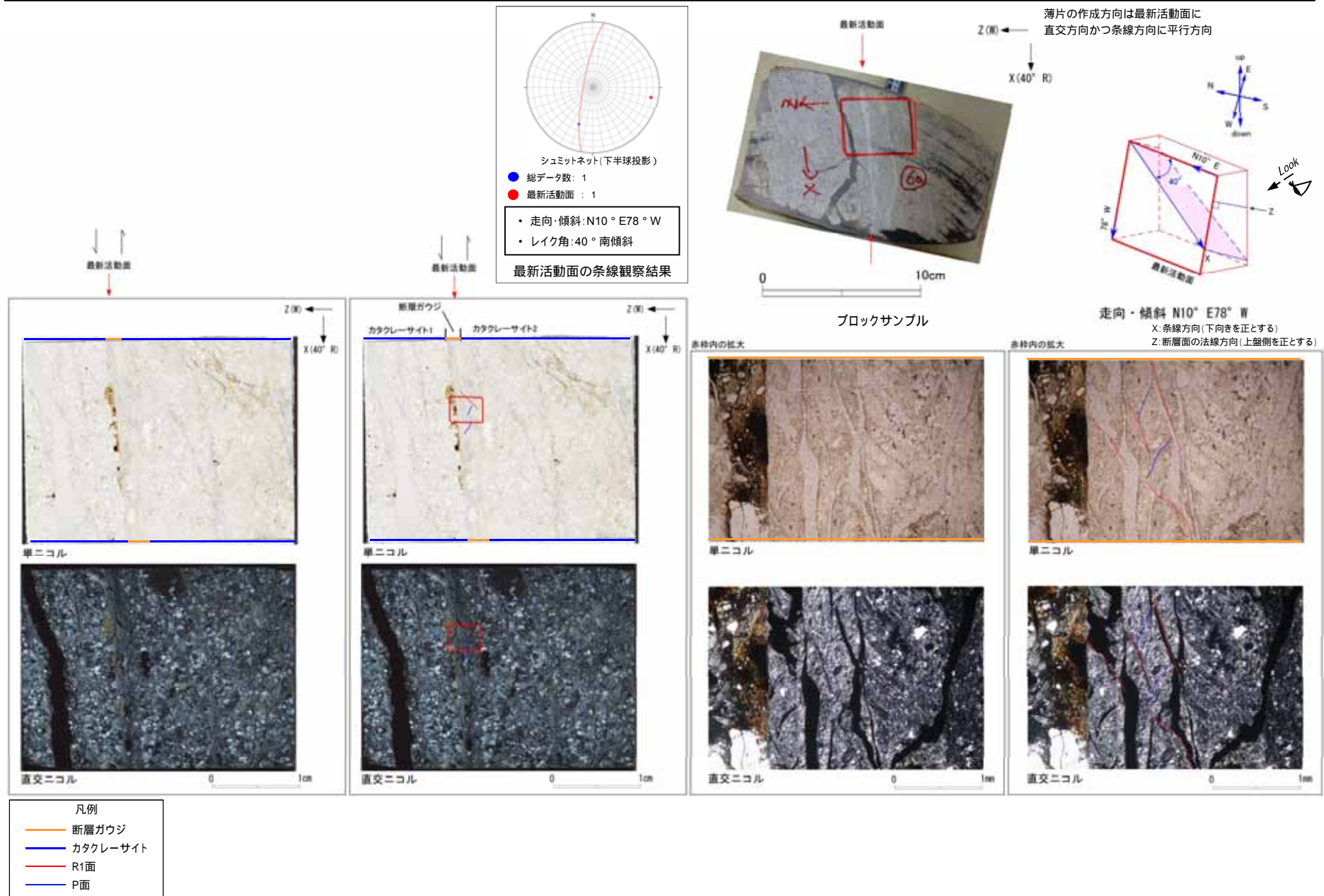


- 凡例
- 断層ガウジ
  - カタクレーサイト
  - R1面
  - P面

2.2(5)その他破砕帯

H - 7破砕帯 薄片試料観察 (H27-B-4 深度93.13m)

H27-B-4のボーリングコア(深度93.13m)から採取した薄片試料の観察結果によれば最新活動面の変位センスは、左ずれを伴う正断層成分が卓越する。



## 2. 敷地の地質構造

2.1 浦底断層

2.2 破碎帯

2.3 試掘坑・調査坑展開図

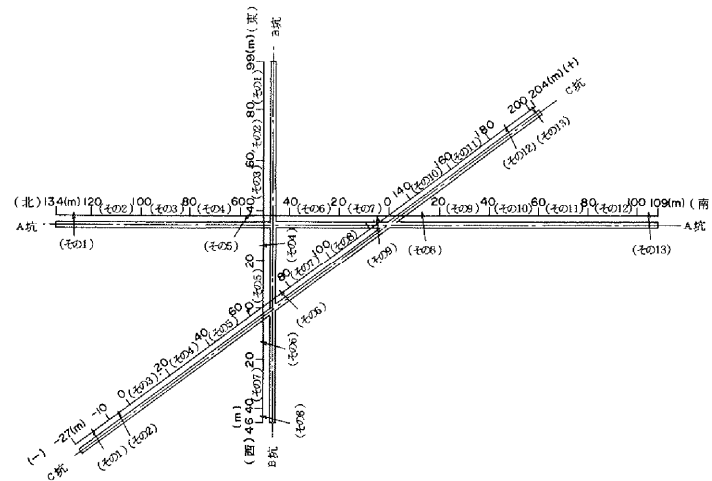
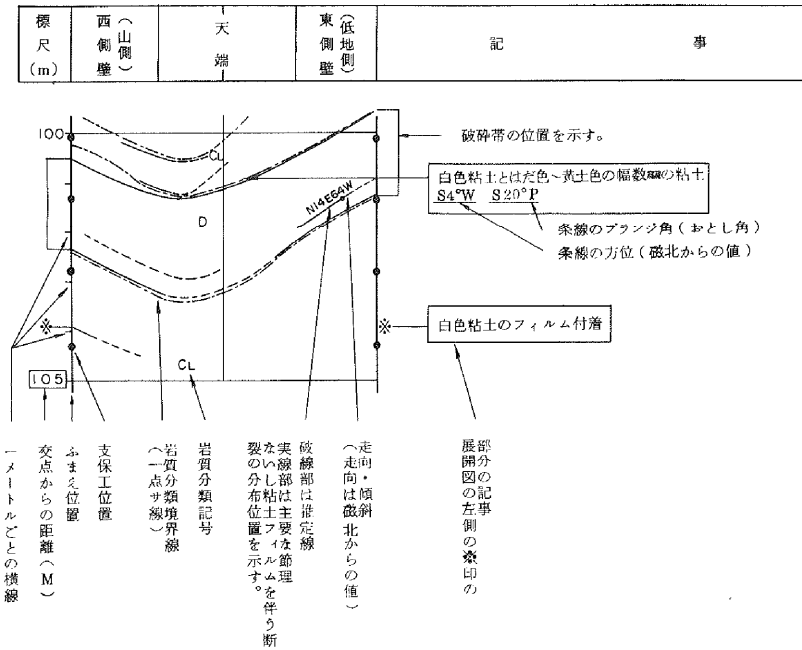
2.4 基礎掘削面調査

2.5 層相観察

2.6 テフラ分析(粒子数)

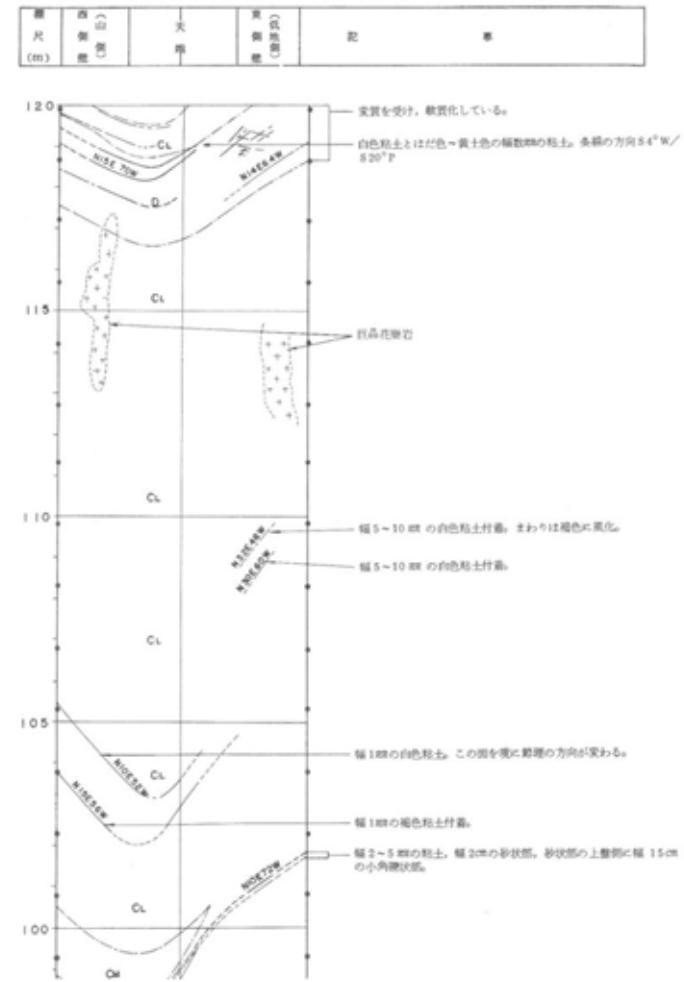
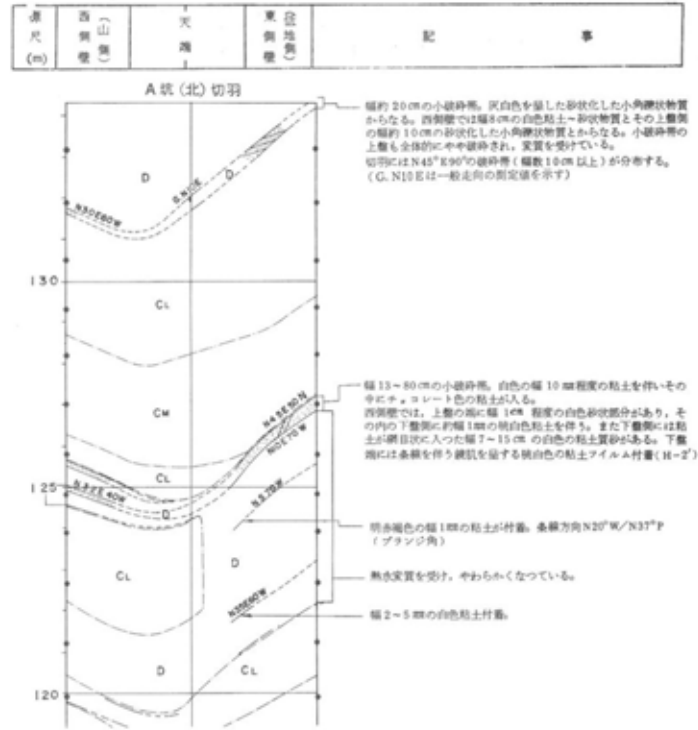
2.3 試掘坑・調査坑展開図

2号炉試掘坑展開図(凡例)



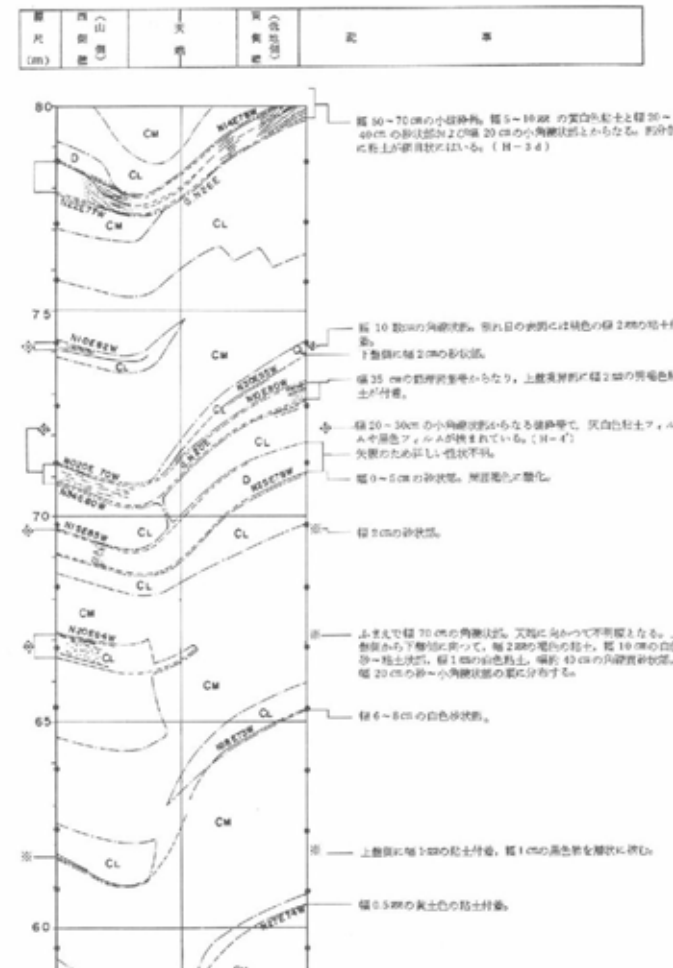
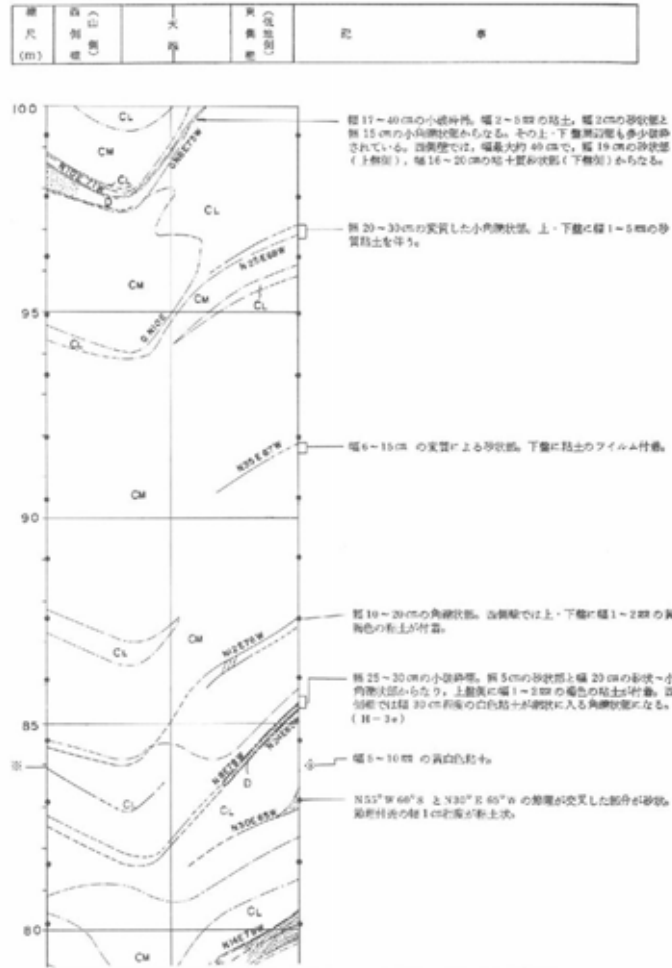
2.3 試掘坑・調査坑展開図

2号炉試掘坑展開図(A孔)(その1)



2.3 試掘坑・調査坑展開図

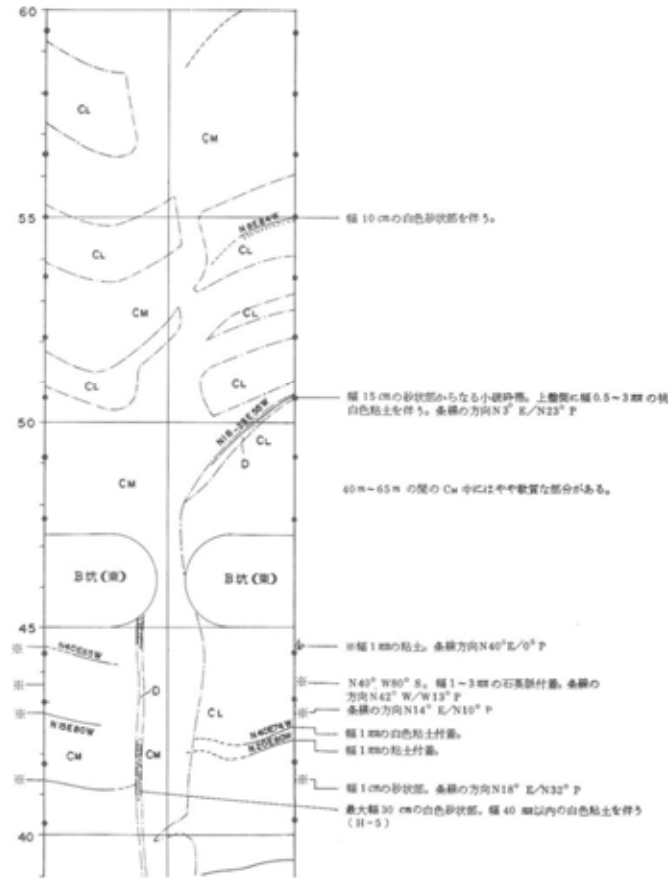
2号炉試掘坑展開図(A孔)(その2)



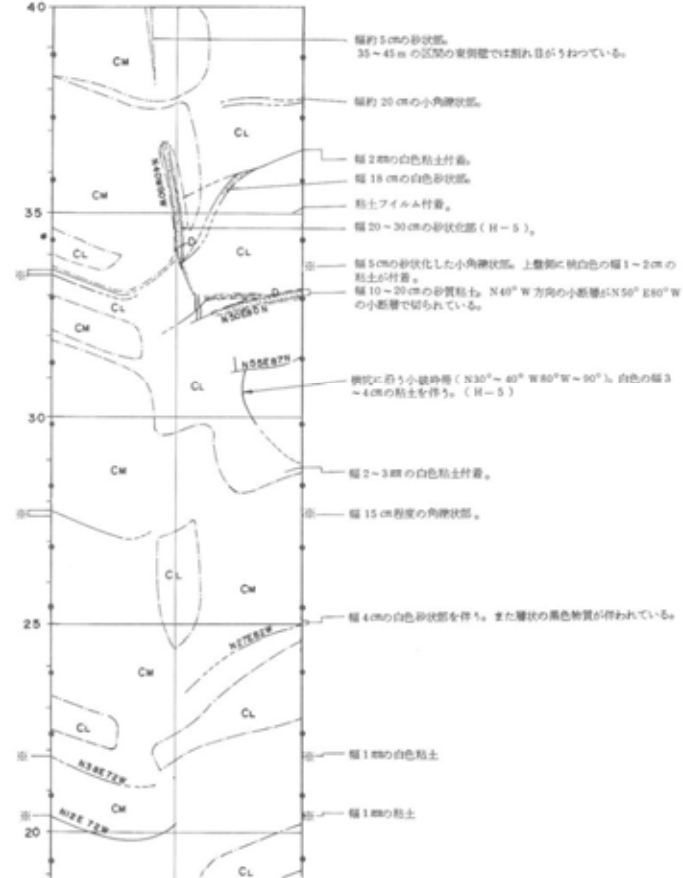
2.3 試掘坑・調査坑展開図

2号炉試掘坑展開図(A孔)(その3)

掘尺 (m)	西山 (m)	天 溝	東 側 地 盤 (m)	記 事
-----------	-----------	--------	-------------------------	--------

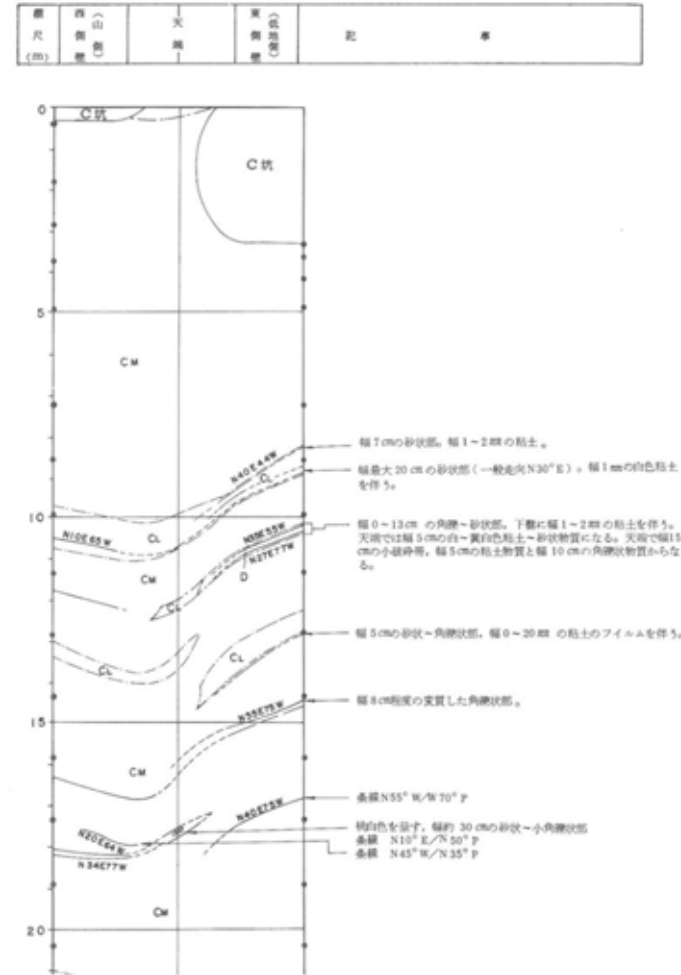
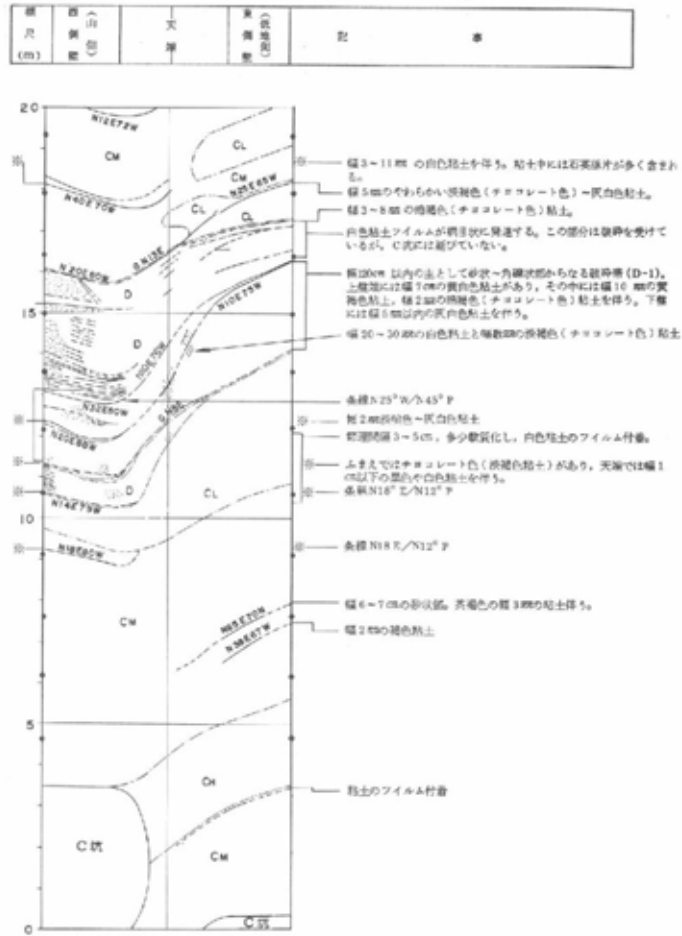


掘尺 (m)	西山 (m)	天 溝	東 側 地 盤 (m)	記 事
-----------	-----------	--------	-------------------------	--------



2.3 試掘坑・調査坑展開図

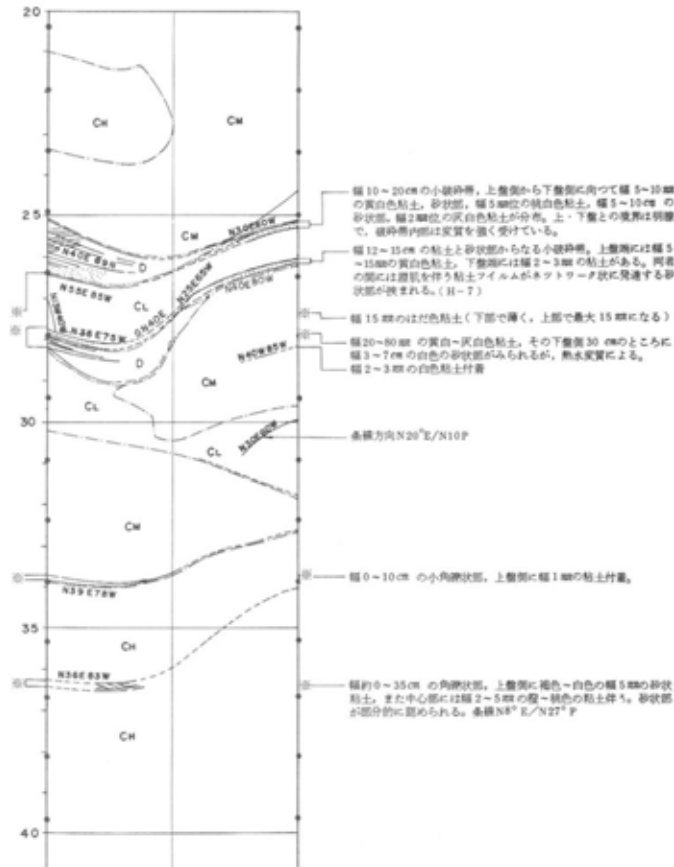
2号炉試掘坑展開図(A孔)(その4)



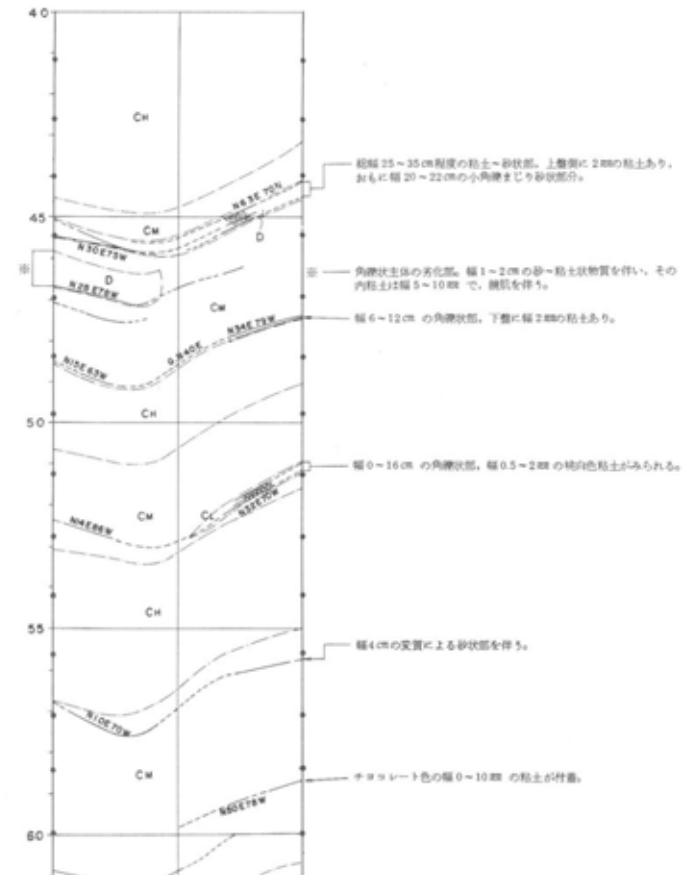
2.3 試掘坑・調査坑展開図

2号炉試掘坑展開図(A孔)(その5)

掘尺 (m)	西(山) 側 (m)	天 溝	東 側 (掘尺)	記 事
-----------	------------------	--------	----------------	--------



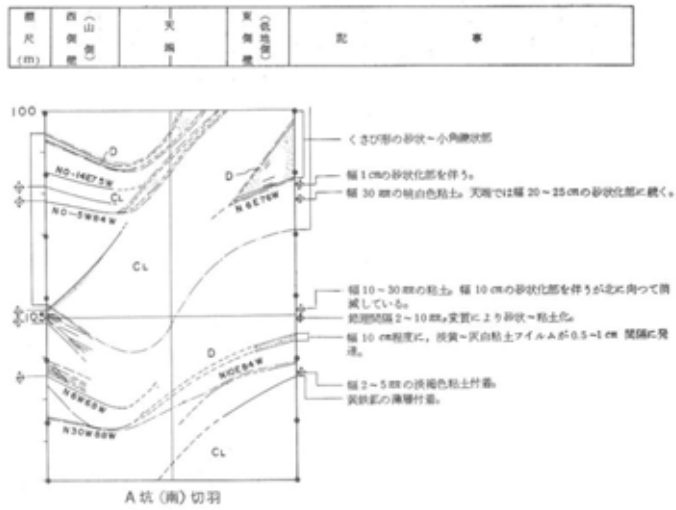
掘尺 (m)	西(山) 側 (m)	天 溝	東 側 (掘尺)	記 事
-----------	------------------	--------	----------------	--------





2.3 試掘坑・調査坑展開図

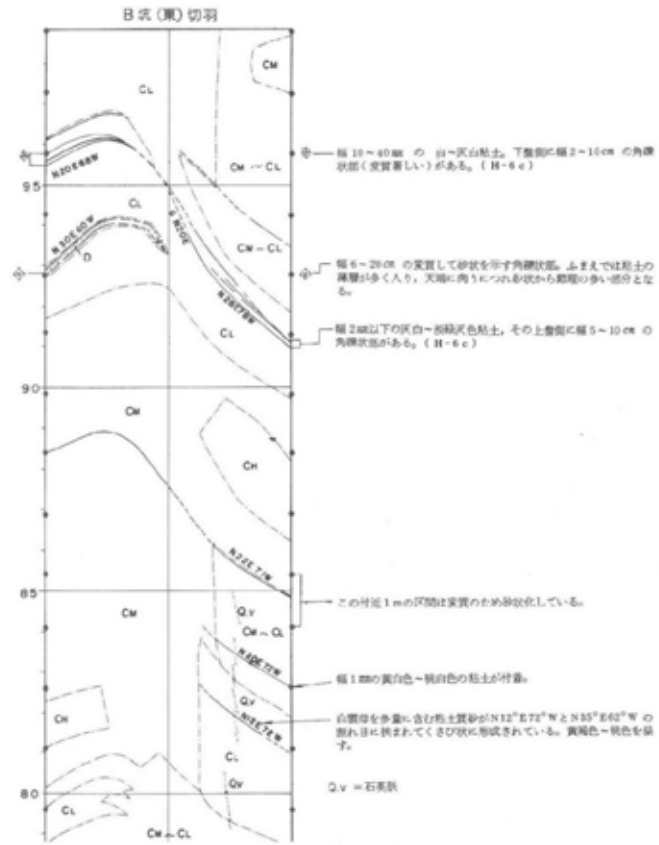
2号炉試掘坑展開図(A孔)(その7)



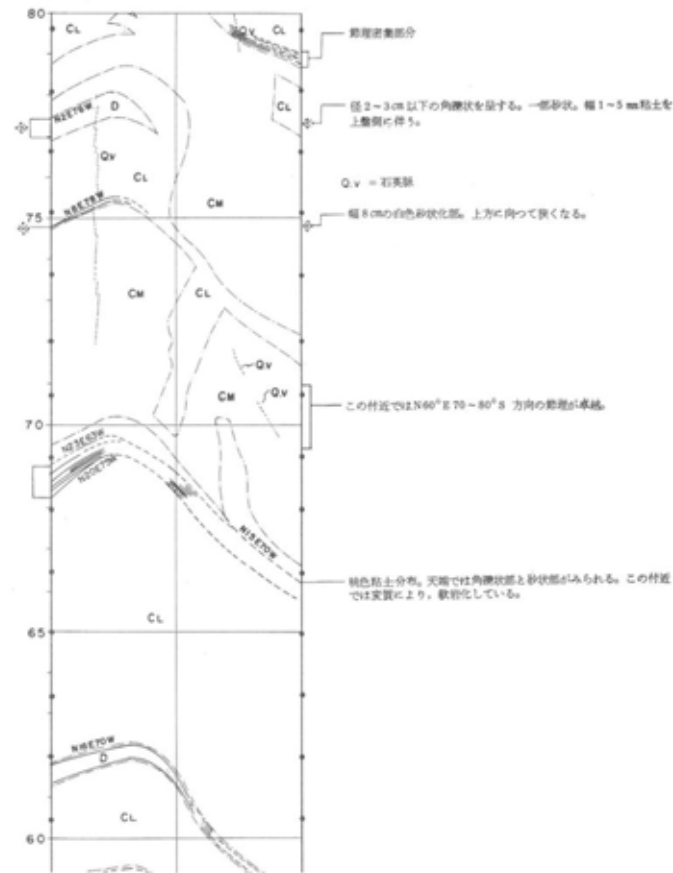
2.3 試掘坑・調査坑展開図

2号炉試掘坑展開図(B孔)(その1)

掘尺 (m)	北緯 (度)	大 隅	南緯 (度)	記 事
--------	--------	-----	--------	-----

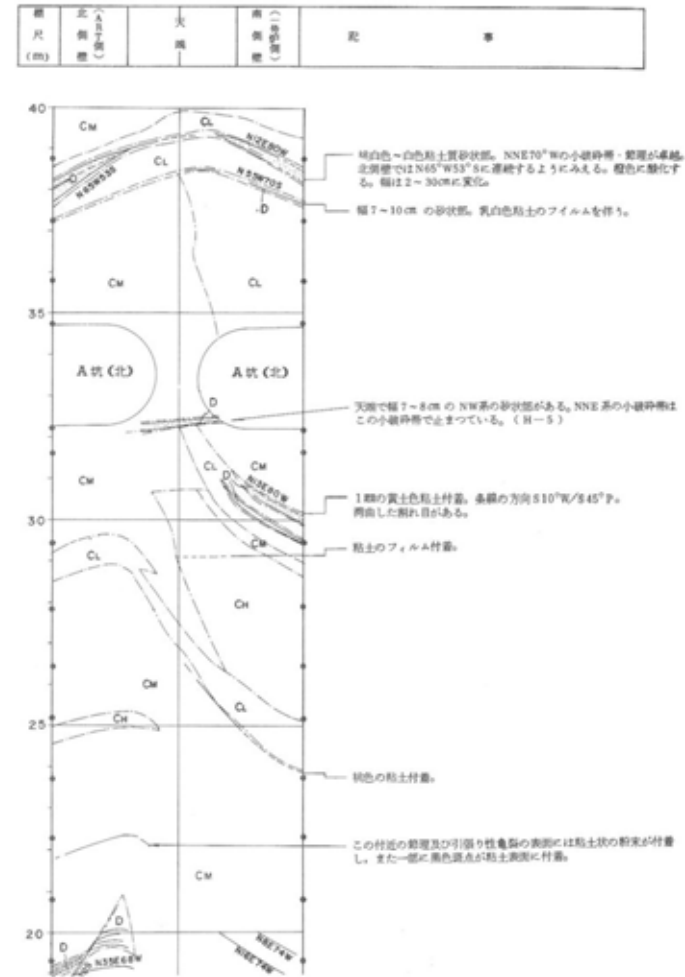
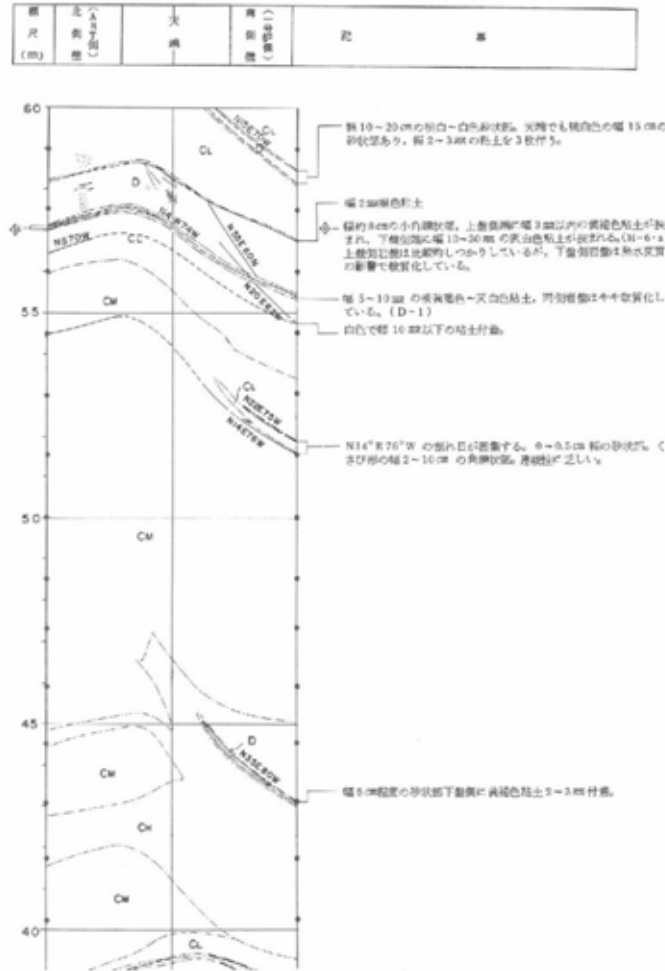


掘尺 (m)	北緯 (度)	大 隅	南緯 (度)	記 事
--------	--------	-----	--------	-----



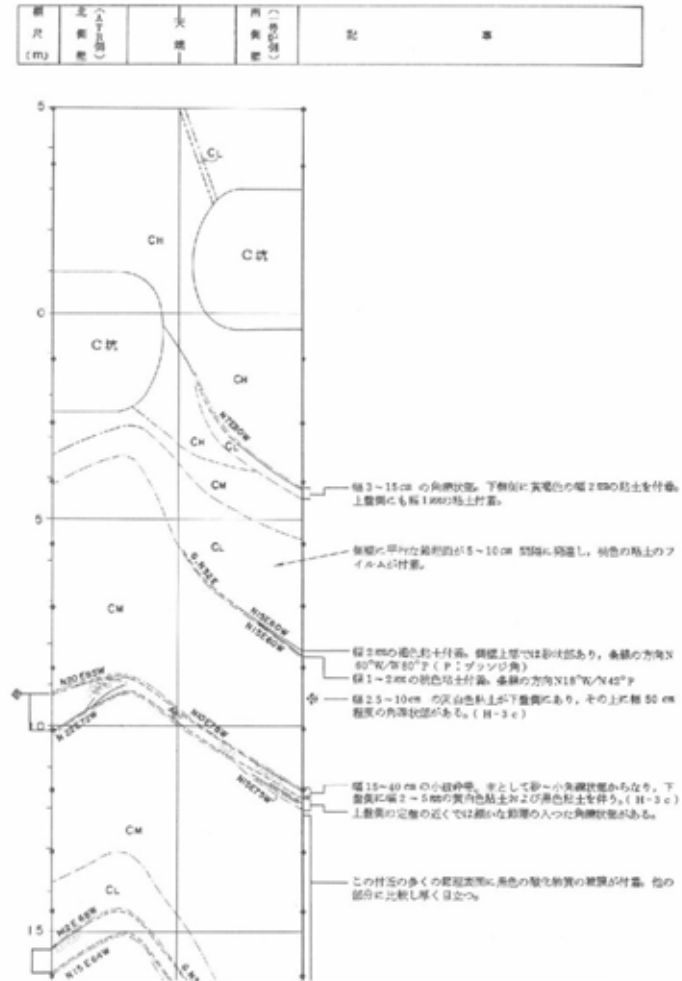
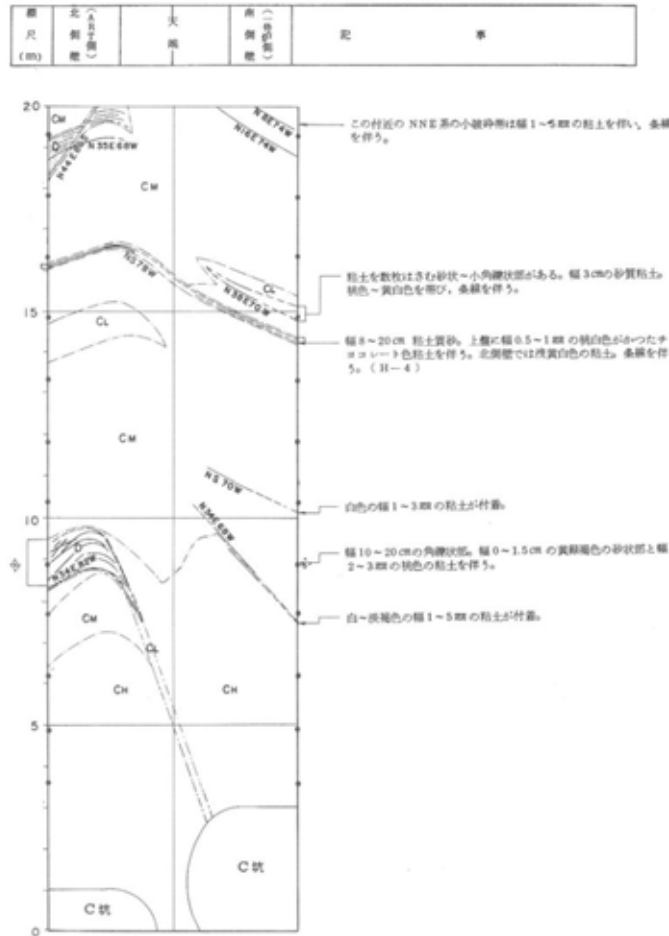
2.3 試掘坑・調査坑展開図

2号炉試掘坑展開図(B孔)(その2)



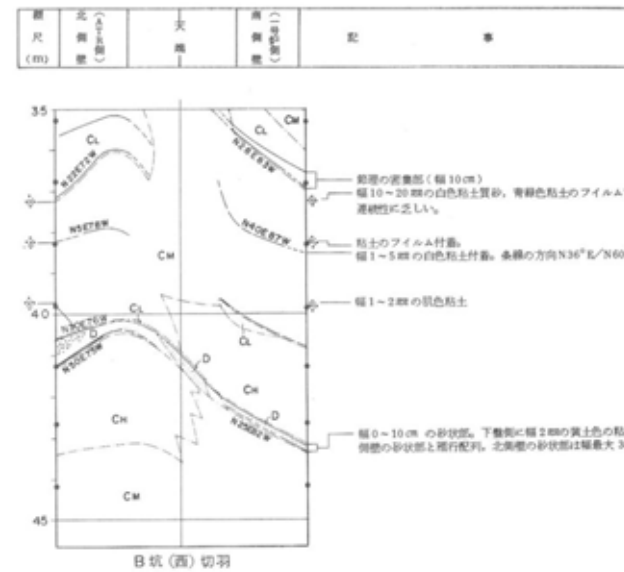
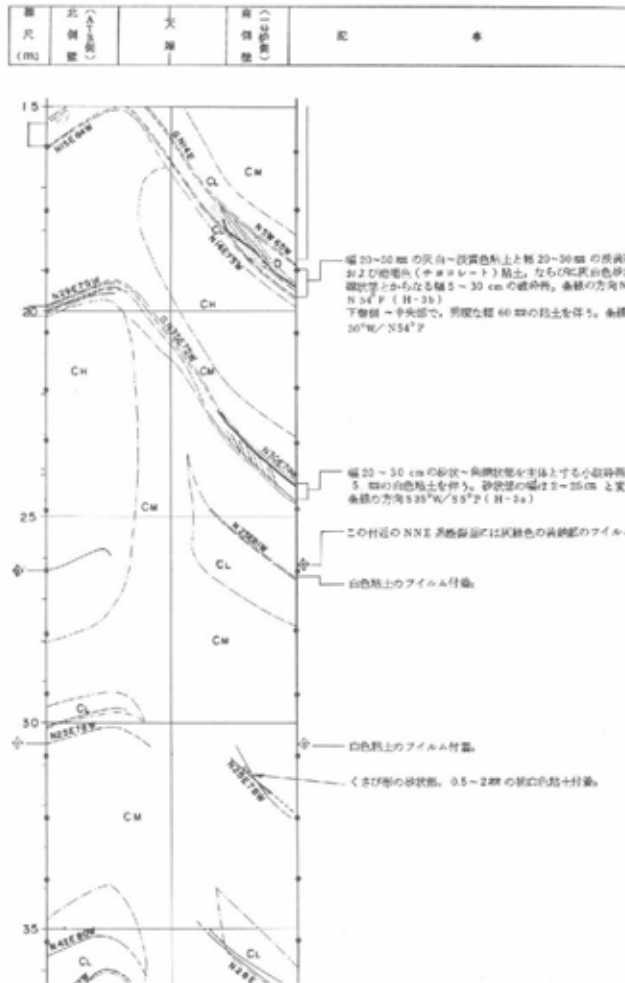
2.3 試掘坑・調査坑展開図

2号炉試掘坑展開図(B孔)(その3)



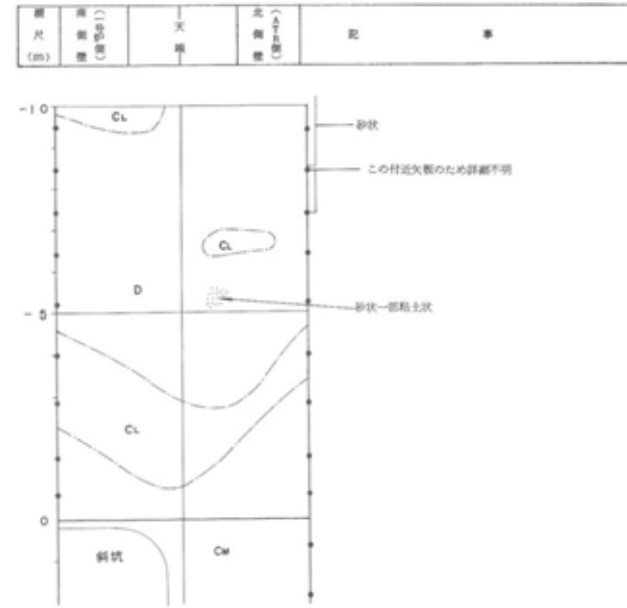
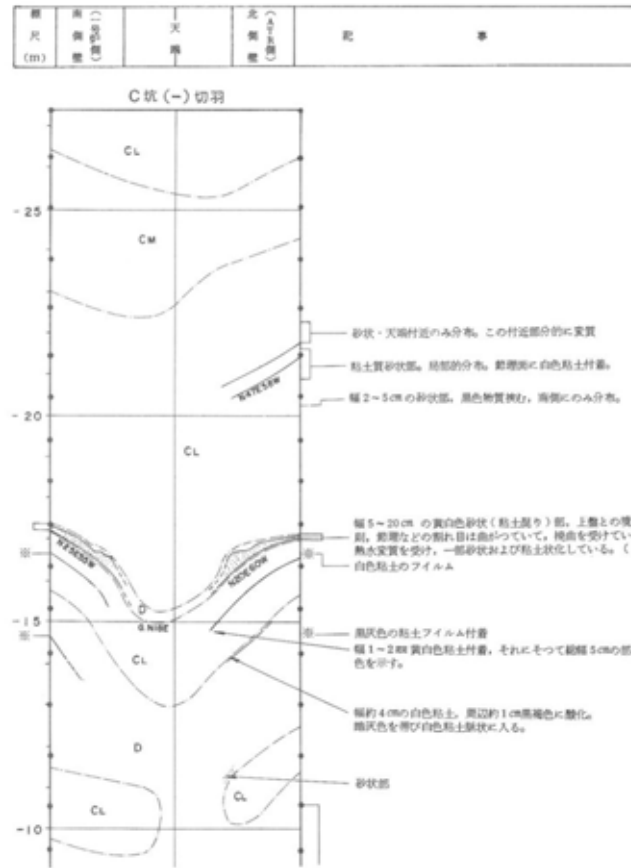
2.3 試掘坑・調査坑展開図

2号炉試掘坑展開図(B孔)(その4)



2.3 試掘坑・調査坑展開図

2号炉試掘坑展開図(C孔)(その1)

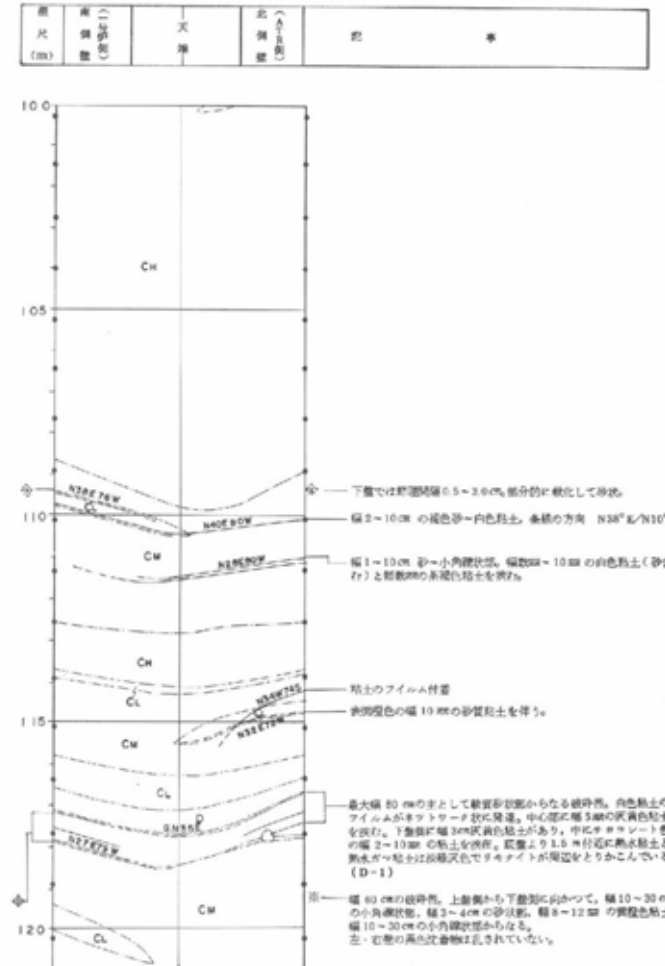
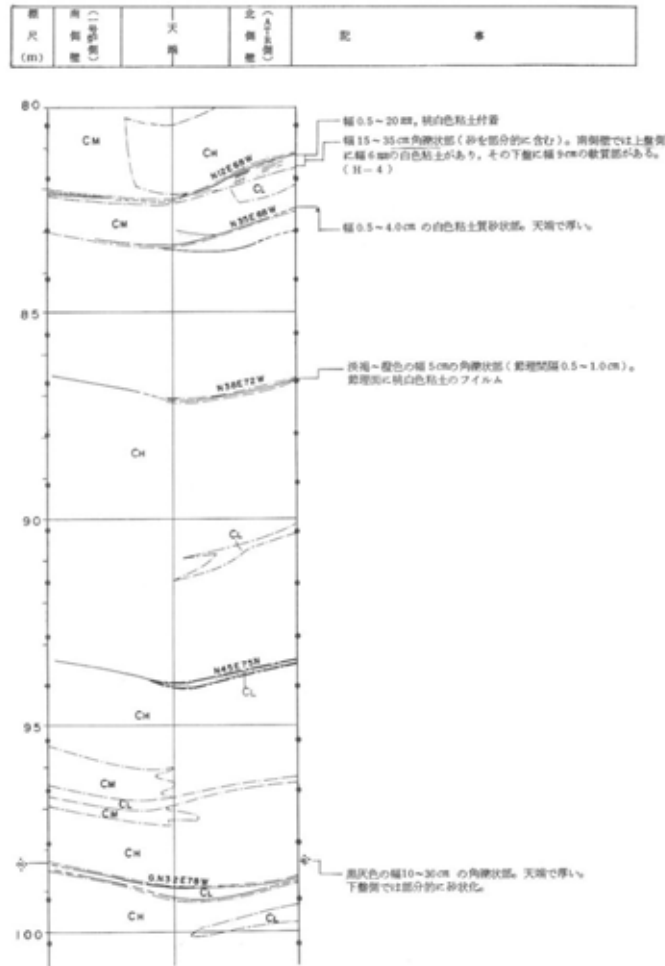






2.3 試掘坑・調査坑展開図

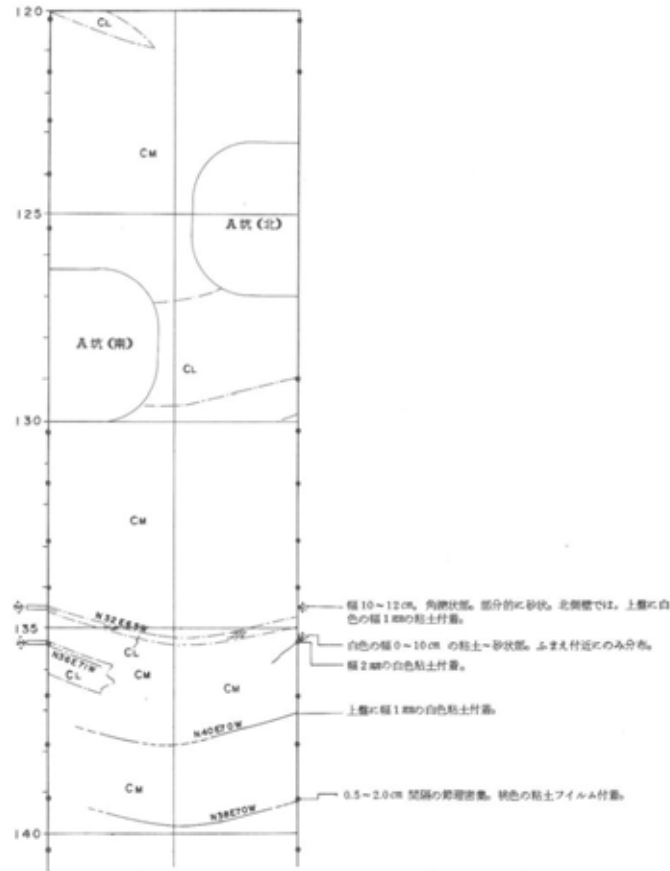
2号炉試掘坑展開図(C孔)(その4)



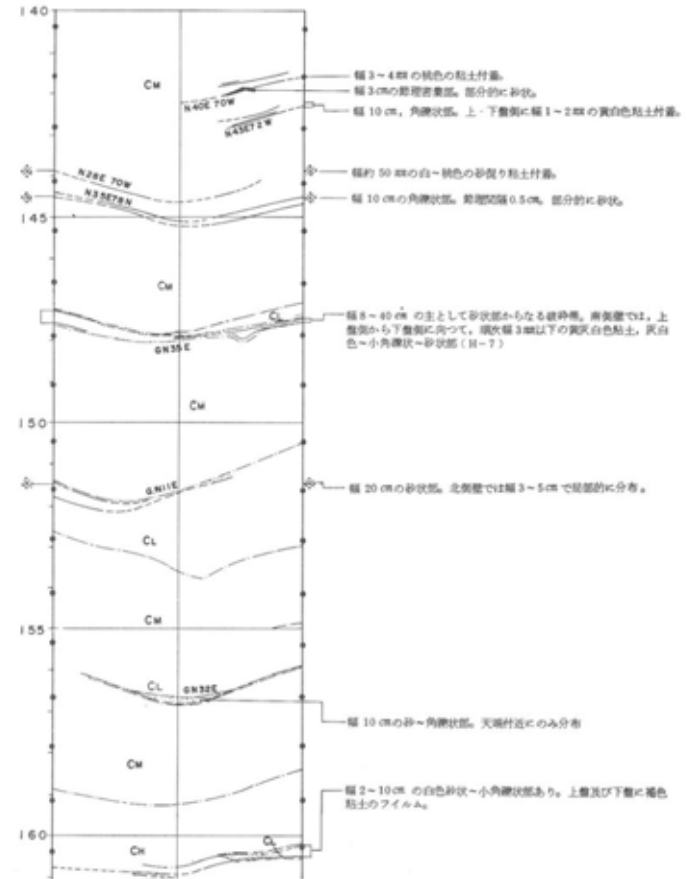
2.3 試掘坑・調査坑展開図

2号炉試掘坑展開図(C孔)(その5)

掘尺 (m)	南側壁 (掘尺)	天幕	北側壁 (掘尺)	記 事
--------	----------	----	----------	-----

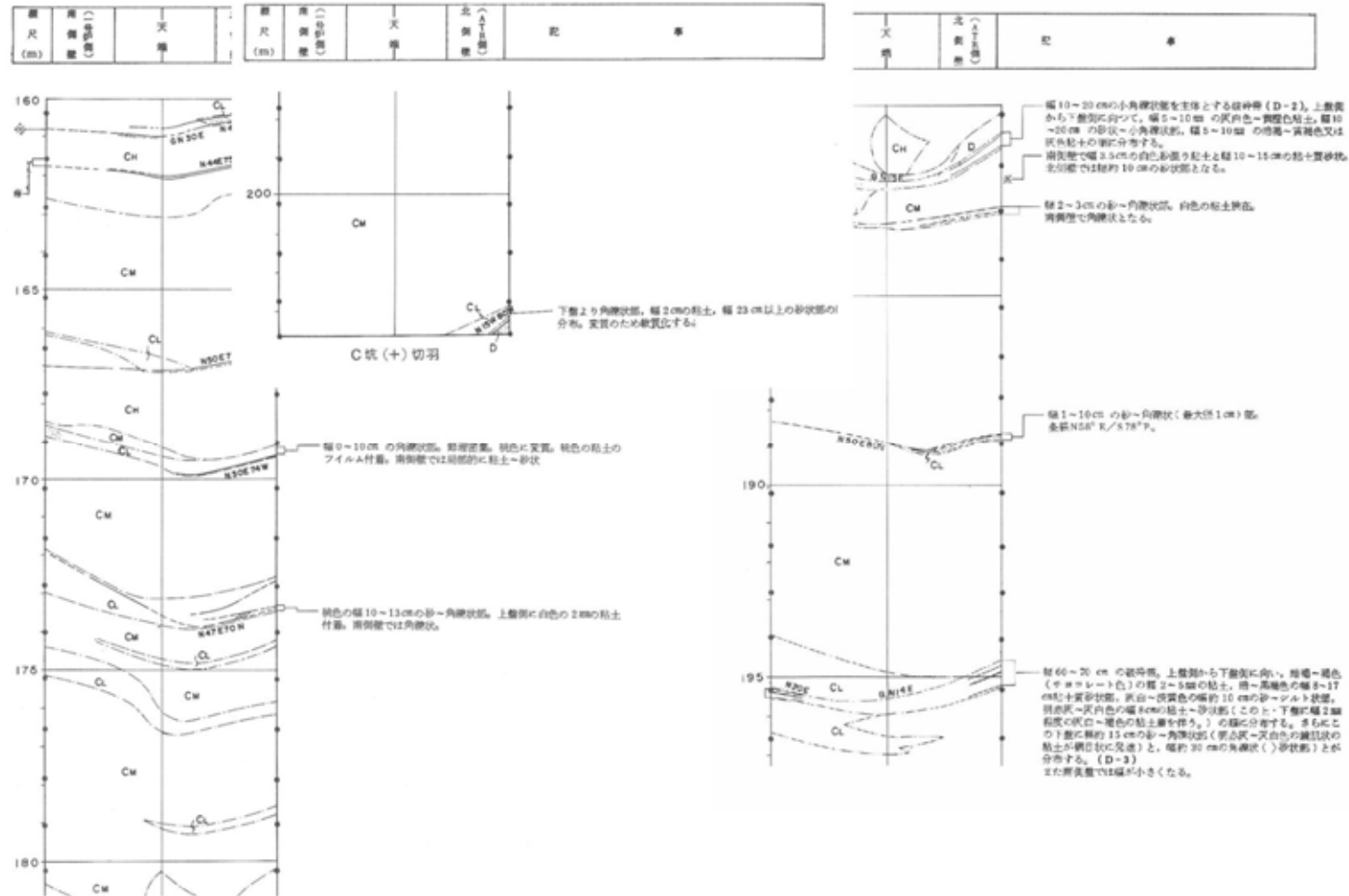


掘尺 (m)	南側壁 (掘尺)	天幕	北側壁 (掘尺)	記 事
--------	----------	----	----------	-----



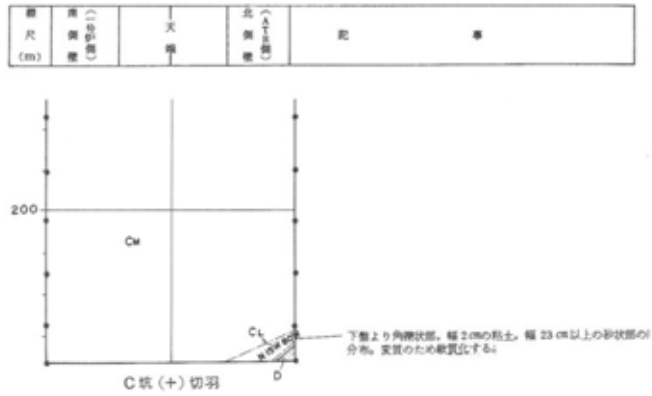
2.3 試掘坑・調査坑展開図

2号炉試掘坑展開図(C孔)(その6)



2.3 試掘坑・調査坑展開図

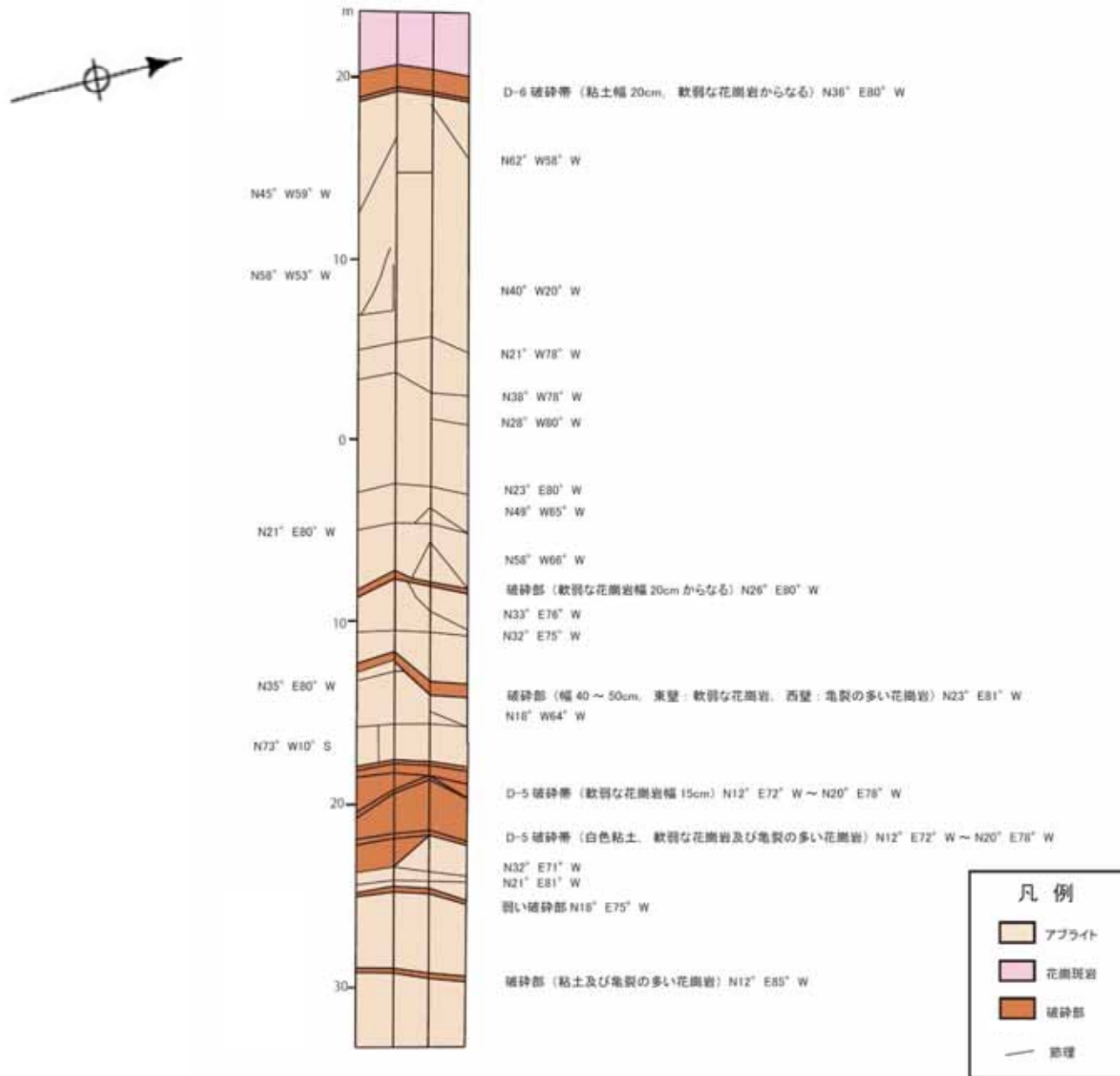
2号炉試掘坑展開図(C孔)(その7)





2.3 試掘坑・調査坑展開図

1号炉試掘坑展開図



## 2. 敷地の地質構造

2.1 浦底断層

2.2 破砕帯

2.3 試掘坑・調査坑展開図

2.4 **基礎掘削面調査**

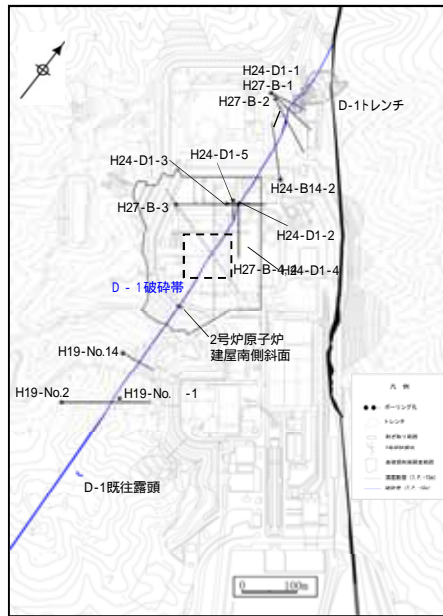
2.5 層相観察

2.6 テフラ分析(粒子数)

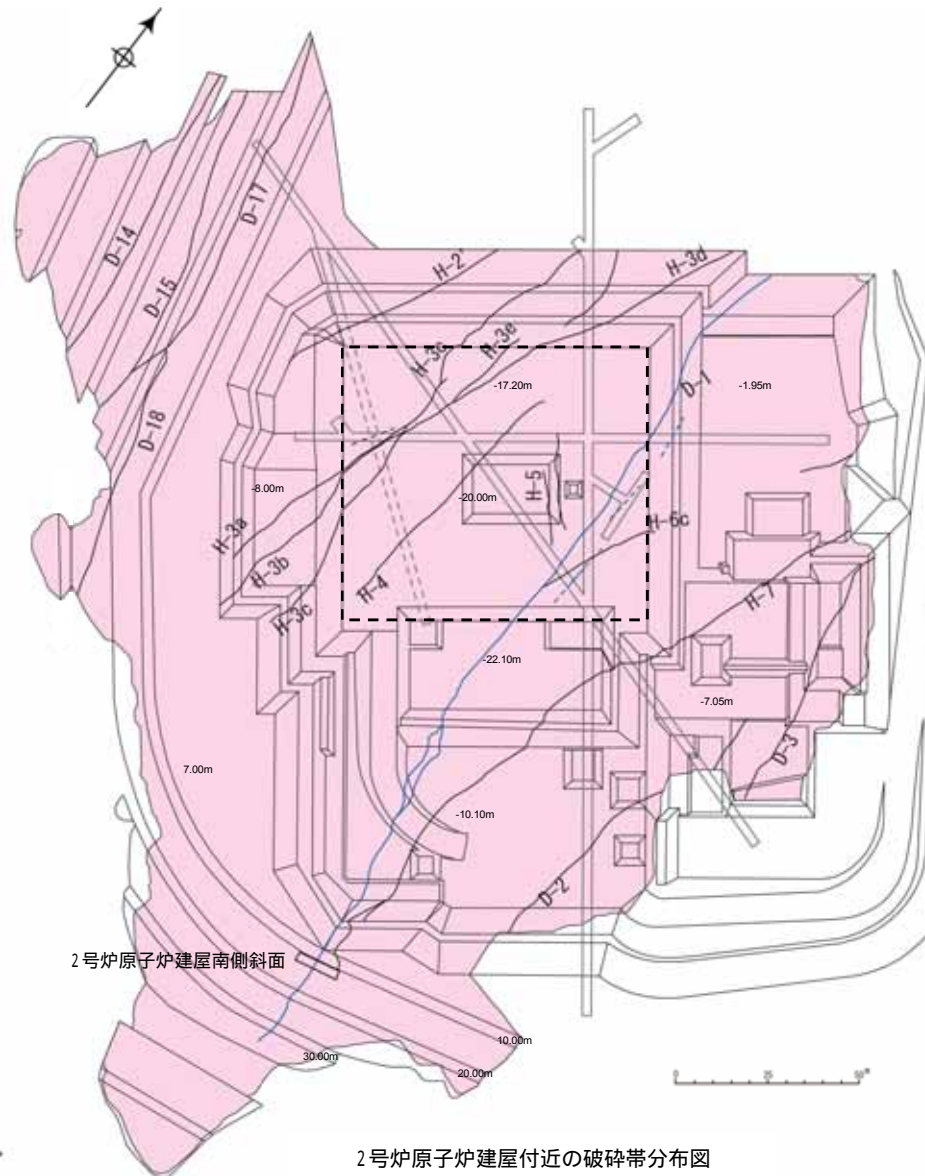
## 2.4 基礎掘削面調査

### 連続性評価(2号炉建設当時の試掘坑調査及び基礎掘削面調査)

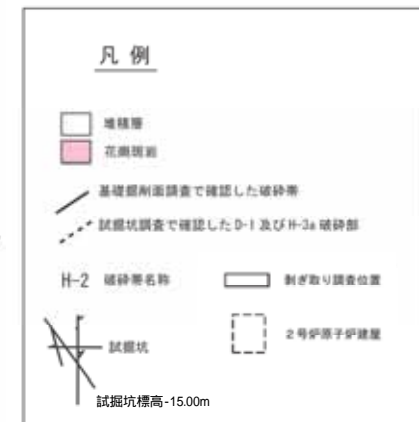
D - 1 破砕帯は2号炉建設当時に実施した試掘坑調査及び基礎掘削面調査において確認され、2号炉原子炉建屋南側斜面に連続していることから、当該斜面の剥ぎ取り調査を実施し、D - 1 破砕帯の性状を把握した。



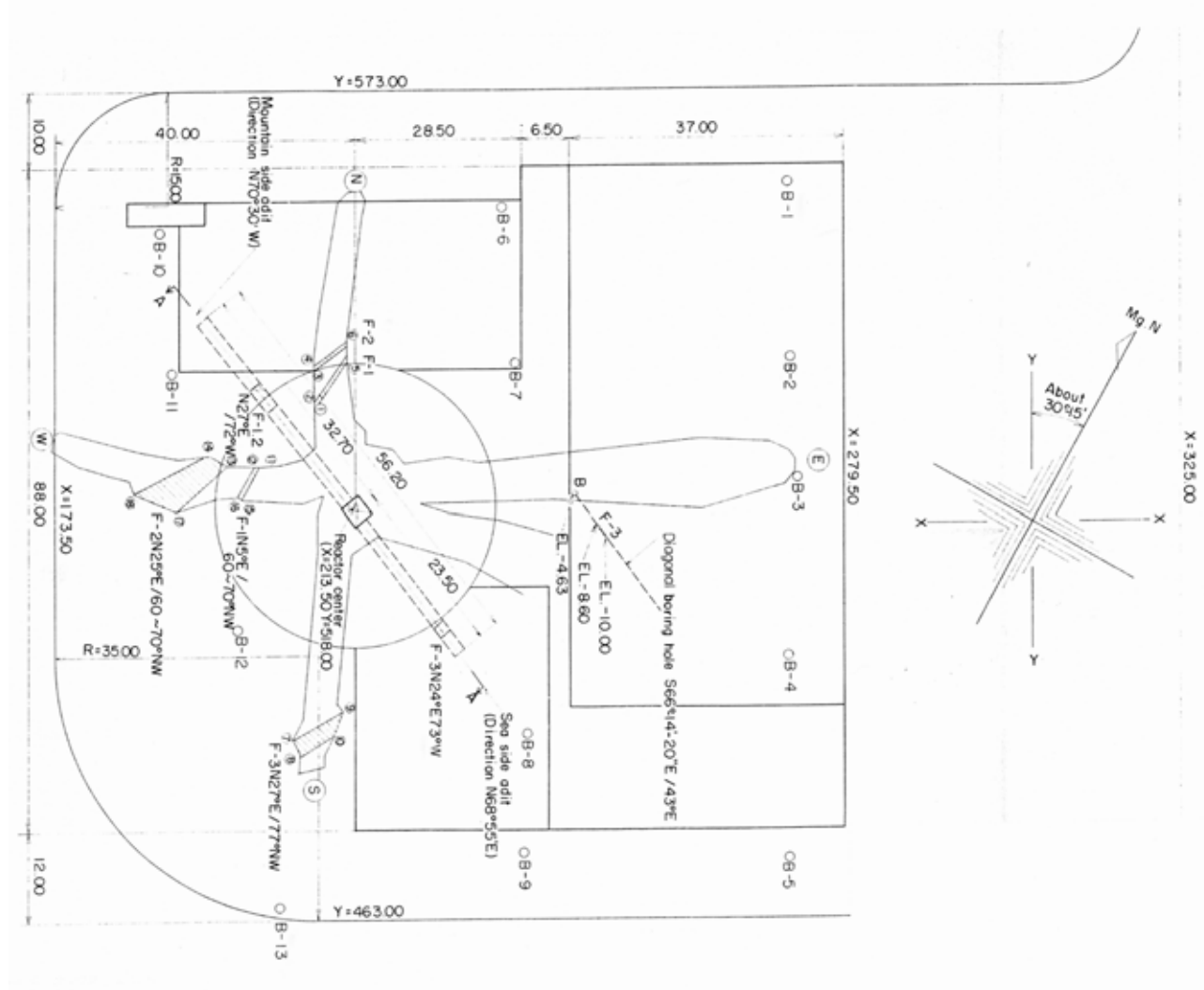
D - 1 破砕帯調査位置図



2号炉原子炉建屋付近の破砕帯分布図



## 2.4 基礎掘削面調査 1号炉基礎掘削面調査



## 2. 敷地の地質構造

### 2.1 浦底断層

### 2.2 破砕帯

### 2.3 試掘坑・調査坑展開図

### 2.4 基礎掘削面調査

### 2.5 層相観察結果

(1) D - 1 トレンチ北西法面

(2) D - 1 既往露頭

(3) D - 1 4 ピット

(4) D - 1 4 ピット

(5) D - 1 4 既往露頭

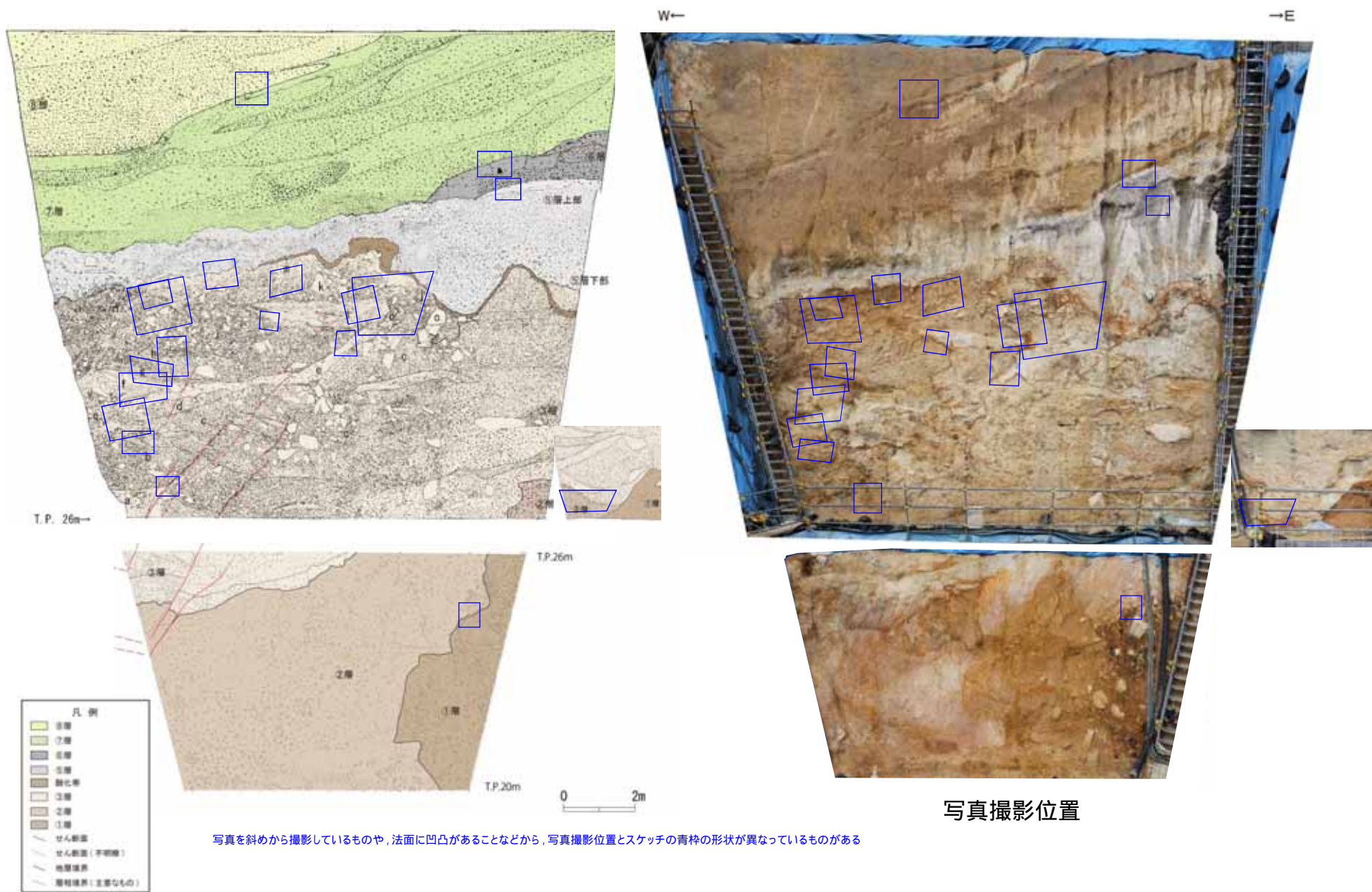
(6) H - 3 a 既往露頭

(7) H - 3 a 追加ピット

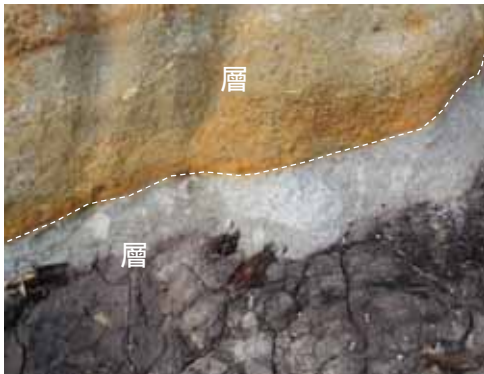
### 2.6 テフラ分析(粒子数)

2.5(1) D - 1トレンチ北西法面

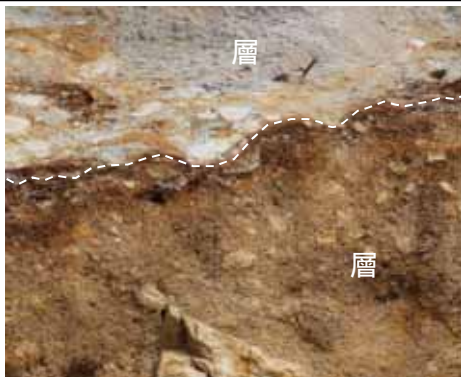
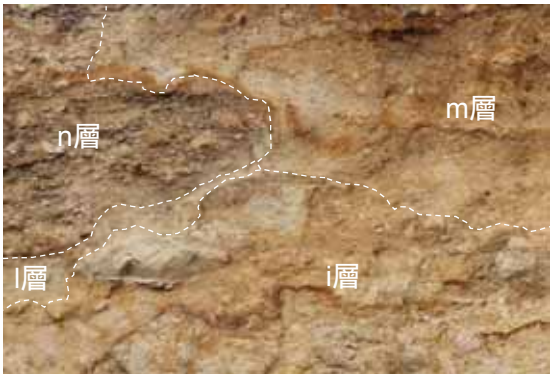
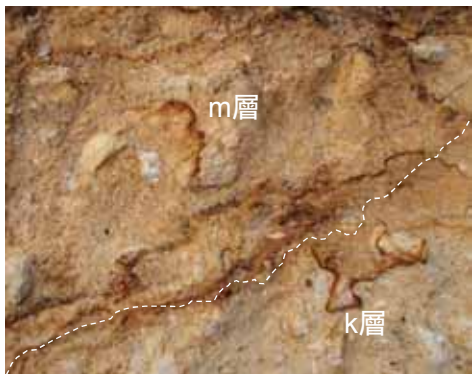
### D - 1トレンチ北西法面\_層相観察(その1)



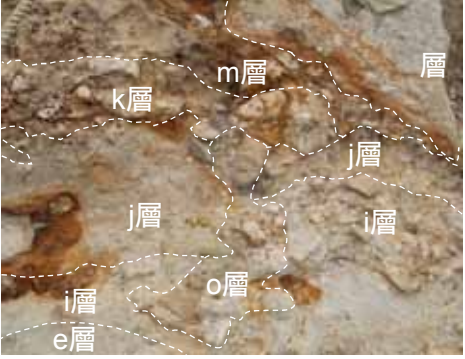
D - 1トレンチ北西法面\_層相観察(その2)

地層名	層相区分	写真(解釈線なし)	写真(解釈線あり)	性状
層層層層	層-層	写真 	写真 	<p>: 風化した細礫主体の砂礫 (褐色~黄橙色)</p> <p>⑥/⑦境界</p> <p>: 風化して土壌化した 礫混じりシルト質砂 (橙色~明黄褐色, 灰色)</p>
	層-層	写真 	写真 	<p>: 風化して土壌化した 礫混じりシルト質砂 (橙色~明黄褐色, 灰色)</p> <p>⑦/⑥境界</p> <p>: 木片を多数含む腐植質砂質シルト (暗灰色)</p>
	層-層	写真 	写真 	<p>: 木片を多数含む腐植質砂質シルト (暗灰色)</p> <p>⑥/⑤境界</p> <p>: 互層状を呈するシルト質砂礫 及び腐植を含むシルト質砂 (黄灰色~明オリブ灰色)</p>

D - 1トレンチ北西法面\_層相観察(その3)

地層名	層相区分	写真(解釈線なし)	写真(解釈線あり)	性状
層層	層-層	写真 	写真 	<p>: 互層状を呈するシルト質砂礫及び腐植を含むシルト質砂 (黄灰色~明オリーブ灰色)</p> <p>⑤/③境界</p> <p>: 砂礫, 最上部は土壌化する (浅黄橙色~橙色)</p>
層	n-m-l-i	写真 	写真 	<p>n: 締りの悪い砂礫 (橙色)</p> <p>m: 小さな礫の多い風化した締りの良い砂礫~礫混じり砂 (黄橙色~橙色)</p> <p>l: 締りの悪い礫混じり砂 (にぶい橙色)</p> <p>i: 東に傾斜する礫の大きい締まりの良い砂礫 (にぶい橙色)</p> <p>n/l境界</p> <p>m/l境界</p> <p>l/i境界</p> <p>m/i境界</p>
	k-m	写真 	写真 	<p>m: 小さな礫の多い風化した締りの良い砂礫~礫混じり砂 (黄橙色~橙色)</p> <p>k: 締りの良い砂礫 (にぶい橙色)</p> <p>m/k境界</p>

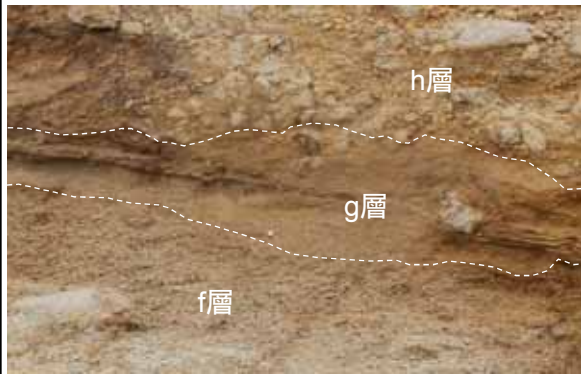
D - 1トレンチ北西法面\_層相観察(その4)

地層名	層相区分	写真(解釈線なし)	写真(解釈線あり)	性状
層	e-i-j-k-m-o-層	<p>写真</p> 		<p>⑤/m境界</p> <p>o: シルト質砂礫及び腐植を含むシルト質砂</p> <p>m: 風化した締りの良い砂礫</p> <p>m/k境界</p> <p>k: 締りの良い砂礫</p> <p>k/j境界</p> <p>o: 水平な地層 (e, i及びj) を削り込むチャネル状の締りの良い砂礫 (黄橙色~灰白色)</p> <p>m/j境界</p> <p>j: 締りの良い礫混じりシルト質砂</p> <p>j/o境界</p> <p>j/i境界</p> <p>i/o境界</p> <p>i: 礫の大きい締りの良い砂礫</p> <p>i/e境界</p> <p>e: 締りの良い礫混じりシルト質砂</p>
	n-m	<p>写真</p> 		<p>m: くさり礫の多い風化した締りの良い砂礫 - 礫混じり砂 (黄橙色~橙色)</p> <p>m/n境界</p> <p>n: 締りの悪い砂礫 (橙色)</p>
	j-k	<p>写真</p> 		<p>k: 締りの良い砂礫 (にぶい橙色)</p> <p>k/j傾斜不整合境界</p> <p>j: 東に傾斜する締りの良い腐植を含む礫混じりシルト質砂 (灰白色, にぶい橙色)</p>

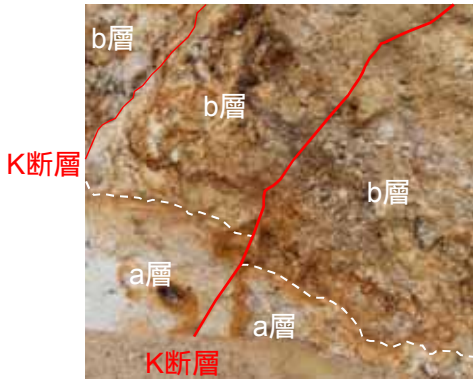
D - 1トレンチ北西法面\_層相観察(その5)

地層名	層相区分	写真(解釈線なし)	写真(解釈線あり)	性状
層	i-j	写真 	写真 	j: 東に傾斜する締りの良い腐植を含む 礫混じりシルト質砂 (灰白色, にぶい橙色)  j/i境界  i: 東に傾斜する礫の大きい 締まりの良い砂礫 (にぶい橙色)
	c-e-i	写真 	写真 	i: 東に傾斜する礫の大きい 締まりの良い砂礫 (にぶい橙色)  i/e境界  e: チャネル壁に沿った 締りの良い 礫混じりシルト質砂 (灰白色)  e/c境界 c: 締りの良い 砂礫 (にぶい 黄色, 灰白色)
	g-h-i	写真 	写真 	暗灰色) i: 礫の大きい締まりの良い砂礫 (にぶい橙色)  i/h境界  h: 礫の小さい締まった砂礫 (にぶい橙色)  h/g境界 g: 堆積構造が明瞭な 締りの良い砂 (にぶい橙色)

## D - 1トレンチ北西法面\_層相観察(その6)

地層名	層相区分	写真(解釈線なし)	写真(解釈線あり)	性状
層	f-g-h	写真 	写真 	h: 礫の小さい締まった砂礫 (にぶい橙色)  h/g境界  g: 堆積構造が明瞭な締りの良い砂 (にぶい橙色)  g/f境界  f: 堆積構造が認められる 締りの良い礫混じり砂 (浅黄橙色)
	e-f	写真 	写真 	f: 堆積構造が認められる 締りの良い礫混じり砂 (浅黄橙色)  f/e境界  e: チャネル壁に沿った締りの良い 礫混じりシルト質砂 (灰白色)
	c-d-e	写真 	写真 	e: チャネル壁に沿った締りの良い 礫混じりシルト質砂 (灰白色)  e/d境界  d: チャネル壁に沿った 締りの良い砂礫 (灰白色)  d/c境界  c: 締りの良い砂礫 (にぶい黄色, 灰白色, 暗灰色)

D - 1トレンチ北西法面\_層相観察(その7)

地層名	層相区分	写真(解釈線なし)	写真(解釈線あり)	性状
層	b-c	写真 	写真 	c: 砂層を挟む締りの良い砂及び砂礫 (にぶい黄色, 灰白色, 暗灰色)  c/b境界  b: 締りの良い砂礫(浅黄橙色)
	a-b	写真 	写真 	b b: 東に傾斜する 締りの良い砂礫 (浅黄橙色)  K断層  b/a境界  a a: 東に傾斜する締りの 良い礫混じりシルト質砂 (灰白色)  K断層  b/a境界
層層	層-層	写真 	写真 	: 砂礫(浅黄橙色~橙色)  ③/②境界  : くさり礫を多く含む 締まった砂質シルト (にぶい橙色~灰白色)

2.5(1) D - 1トレンチ北西法面

D - 1トレンチ北西法面\_層相観察(その8)

地層名	層相区分	写真(解釈線なし)	写真(解釈線あり)	性状
層層	層-層	<p>写真</p> 		<p>:くさり礫を多く含む 締まった砂質シルト (にぶい橙色~灰白色)</p> <p>②/①境界</p> <p>:くさり礫を多く含む よく締まった砂礫 (にぶい赤褐色)</p>

余白

## 2. 敷地の地質構造

### 2.1 浦底断層

### 2.2 破碎帯

### 2.3 試掘坑・調査坑展開図

### 2.4 基礎掘削面調査

### 2.5 層相観察

(1) D - 1 トレンチ北西法面

(2) D - 1 既往露頭

(3) D - 14 ピット

(4) D - 14 ピット

(5) D - 14 既往露頭

(6) H - 3 a 既往露頭

(7) H - 3 a 追加ピット

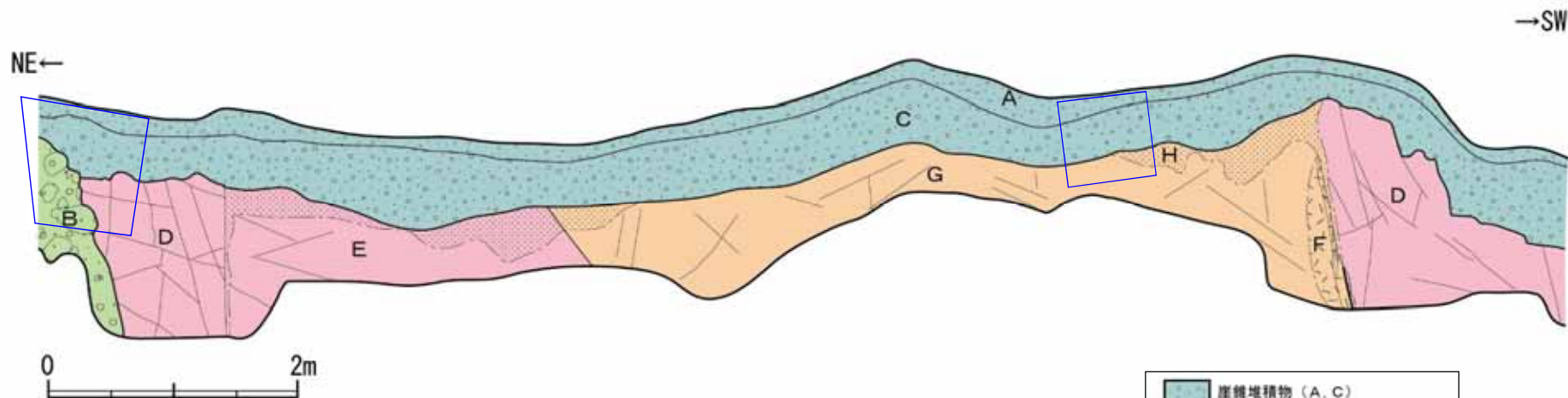
### 2.6 テフラ分析(粒子数)

2.5(2) D - 1 既往露頭

### D - 1 既往露頭\_層相観察(その1)



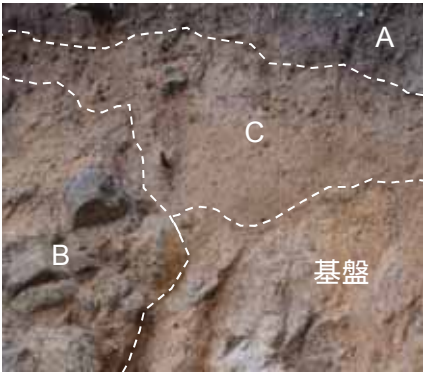
写真撮影位置



写真を斜めから撮影しているものや、法面に凹凸があることなどから、写真撮影位置とスケッチの青枠の形状が異なっているものがある

	崖錐堆積物 (A, C)
	古期扇状地堆積物 (B)
	花崗斑岩 (D, E, H)
	アブライト (F, G, H)
	破砕部
	強風化により組織が不明瞭な部分

D - 1 既往露頭\_層相観察(その2)

層相区分	写真(解釈線なし)	写真(解釈線あり)	性状
A-C	<p>写真</p> 		<p>A: 締りの悪い表土を含む 礫混じり腐植質砂(オリーブ褐色~暗褐色)</p> <p>A/C境界(漸移的)</p> <p>C: やや締まった礫混じりシルト質砂(明黄褐色)</p> <p>C/基盤境界</p> <p>基盤</p>
A-B-C- 基盤	<p>写真</p> 		<p>A: 締りの悪い表土を含む 礫混じり腐植質砂(オリーブ褐色~暗褐色)</p> <p>A/C境界(漸移的)</p> <p>C: やや締まった礫混じりシルト質砂(明黄褐色)</p> <p>C/B不整合境界</p> <p>C/基盤境界</p> <p>境界 B/基盤</p> <p>B: 新鮮な巨礫の 角礫からなる砂礫 (にぶい黄橙色)</p> <p>基盤</p>

余白

## 2. 敷地の地質構造

### 2.1 浦底断層

### 2.2 破碎帯

### 2.3 試掘坑・調査坑展開図

### 2.4 基礎掘削面調査

### 2.5 層相観察

(1) D - 1 トレンチ北西法面

(2) D - 1 既往露頭

(3) D - 14 ピット

(4) D - 14 ピット

(5) D - 14 既往露頭

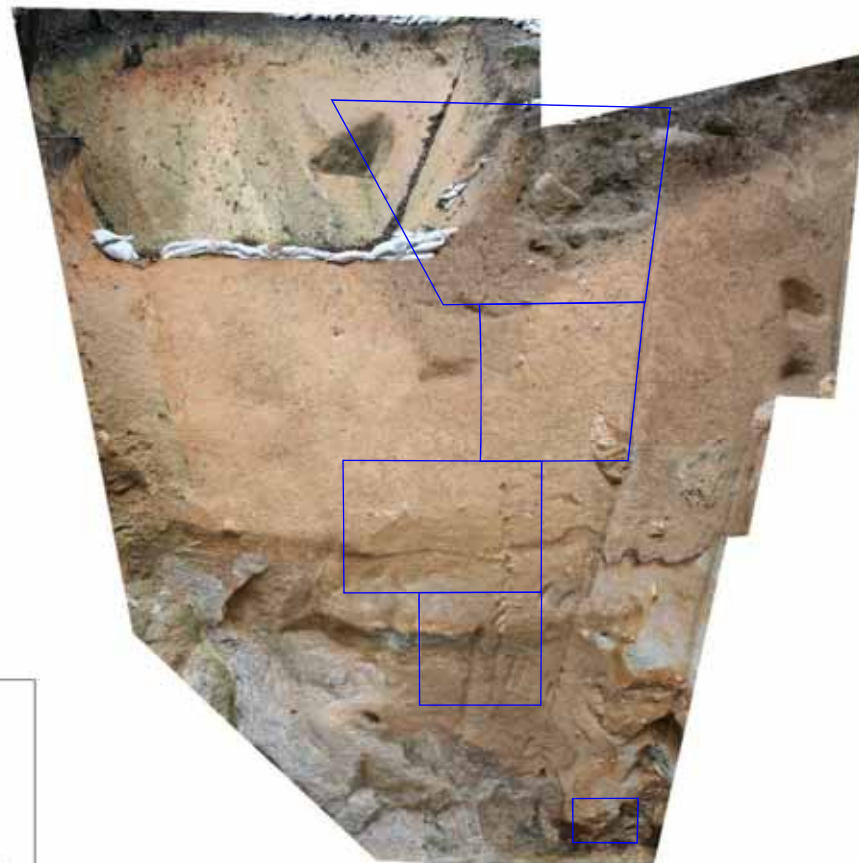
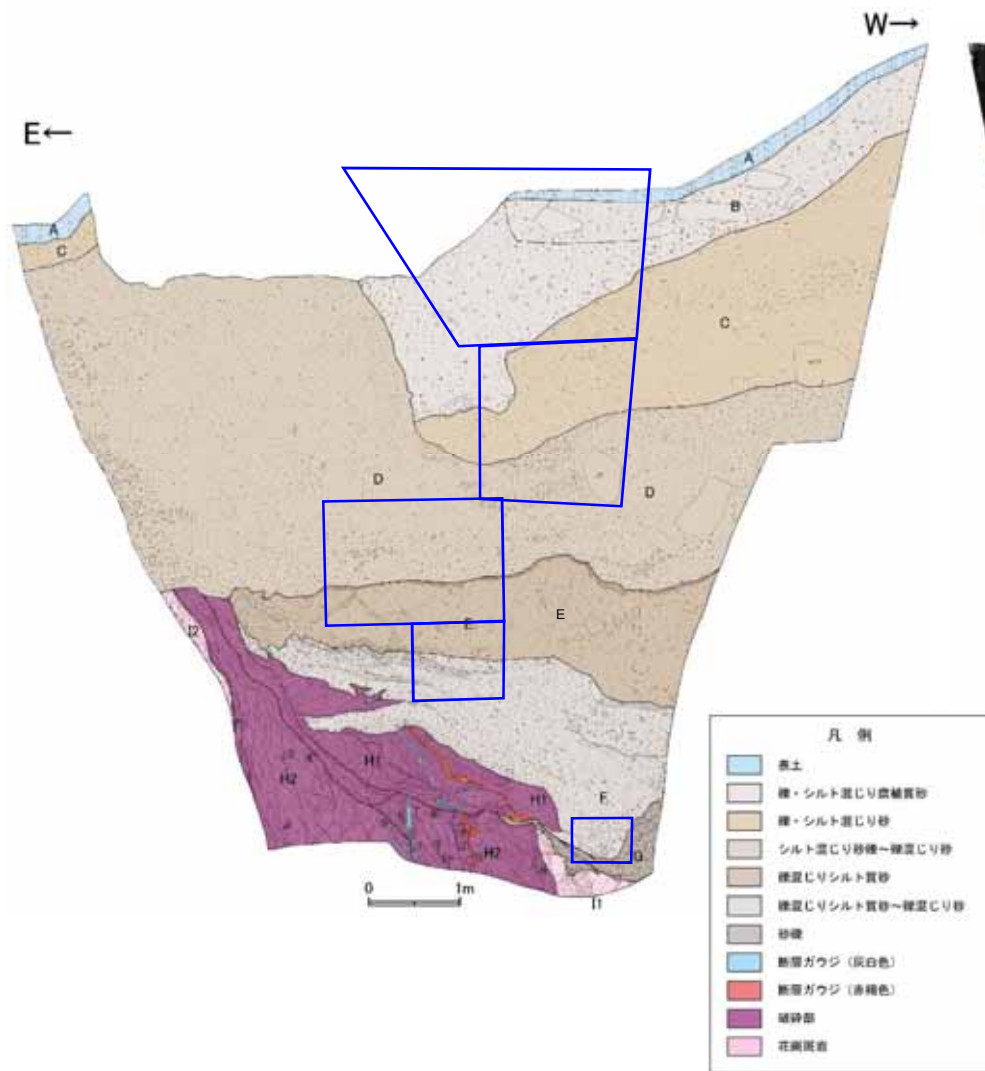
(6) H - 3 a 既往露頭

(7) H - 3 a 追加ピット

### 2.6 テフラ分析(粒子数)

2.5(3)D - 14 ピット

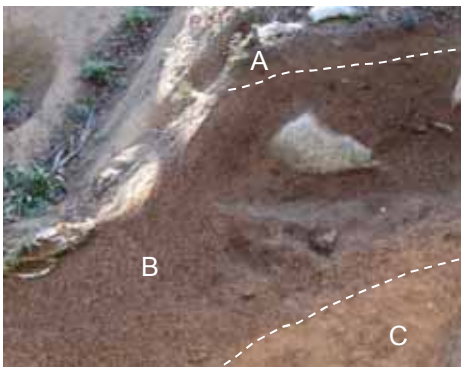
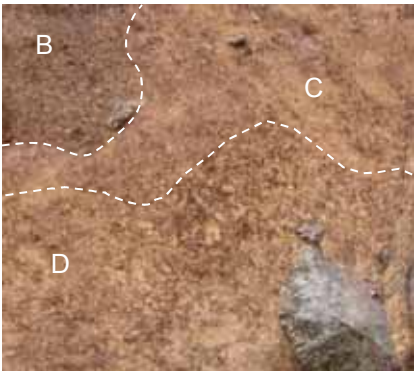
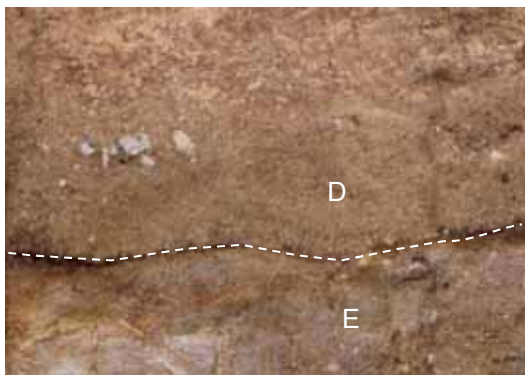
# D - 14 ピット\_層相観察(その1)



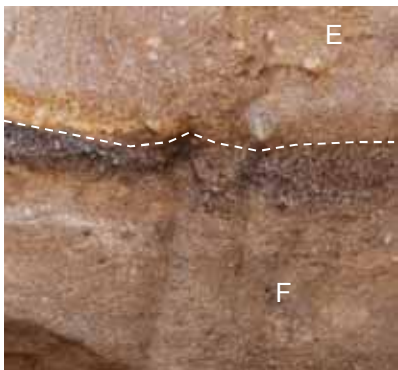
写真撮影位置

写真を斜めから撮影しているものや、法面に凹凸があることなどから、写真撮影位置とスケッチの青枠の形状が異なっているものがある

D - 14 ピット\_層相観察(その2)

層相区分	写真(解釈線なし)	写真(解釈線あり)	性状
A-B-C			<p>A: 締りの悪い表土を含む シルト混じり腐植質砂 (褐灰色)</p> <p>----- A/B境界 (漸移的)</p> <p>B: 締りの悪い 礫・シルト混じり腐植質砂 (にぶい褐色)</p> <p>----- B/C境界 (漸移的)</p> <p>C: 締りの悪い 礫・シルト混じり砂 (黄橙色)</p>
B-C-D			<p>B: 締りの悪い 礫・シルト混じり腐植質砂 (にぶい褐色)</p> <p>C: 締りの悪い礫・シルト混じり砂 (黄橙色)</p> <p>----- B/C境界 (漸移的)</p> <p>----- C/D境界 (漸移的)</p> <p>D: 締りの悪いシルト混じり砂礫～礫混じり砂 (にぶい橙色)</p>
D-E			<p>D: 締りの悪いシルト混じり砂礫～礫混じり砂 (にぶい橙色)</p> <p>----- D/E境界</p> <p>E: 締りの良い礫混じりシルト質砂 (橙色)</p>

D - 14 ピット\_層相観察(その3)

層相区分	写真(解釈線なし)	写真(解釈線あり)	性状
E-F	<p>写真</p> 		<p>E: 締りの良い礫混じりシルト質砂 (橙色)</p> <hr style="border-top: 1px dashed black;"/> <p>E/F境界</p> <p>F: 締りの良い礫混じりシルト質砂 (にぶい橙色)</p>
F-G	<p>写真</p> 		<p>F: 締りの良い礫混じりシルト質砂 (にぶい橙色)</p> <hr style="border-top: 1px dashed black;"/> <p>F/G境界</p> <p>G: 締りの悪い砂礫 (暗灰色)</p>

余白

## 2. 敷地の地質構造

### 2.1 浦底断層

### 2.2 破砕帯

### 2.3 試掘坑・調査坑展開図

### 2.4 基礎掘削面調査

### 2.5 層相観察

(1) D - 1 トレンチ北西法面

(2) D - 1 既往露頭

(3) D - 14 ピット

**(4) D - 14 ピット**

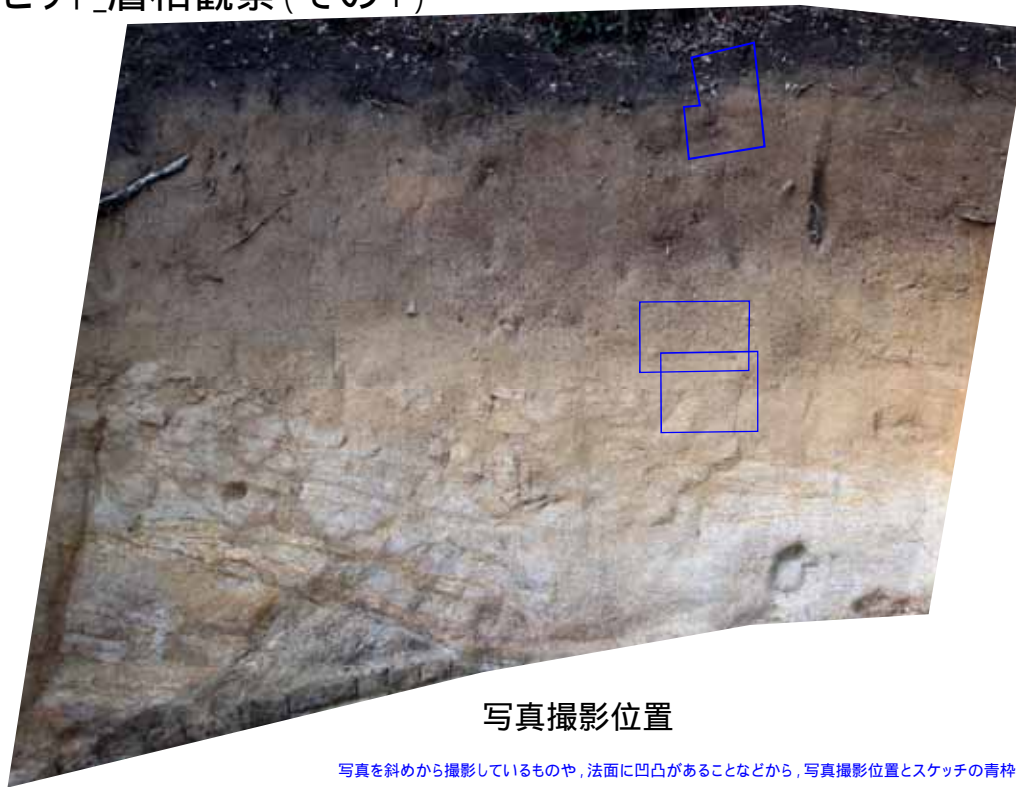
(5) D - 14 既往露頭

(6) H - 3 a 既往露頭

(7) H - 3 a 追加ピット

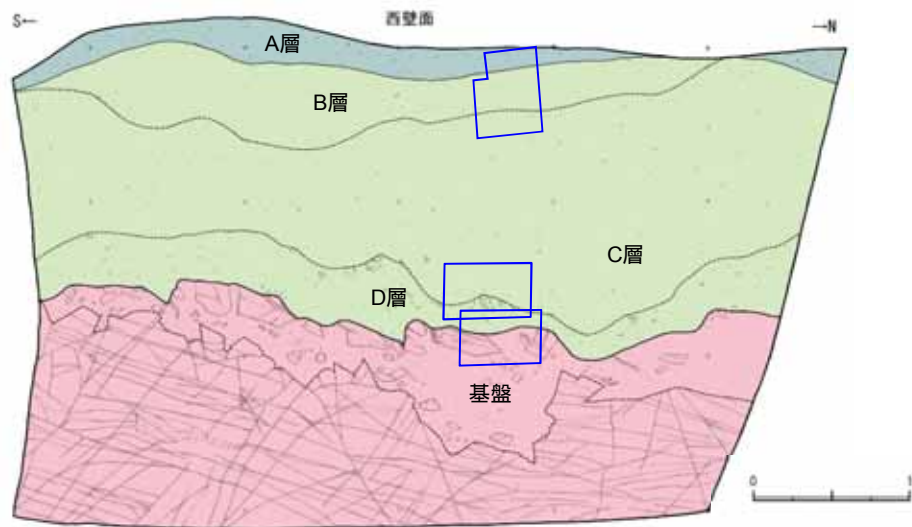
### 2.6 テフラ分析(粒子数)

2.5(4) D - 14 ピット  
D - 14 ピット\_層相観察(その1)

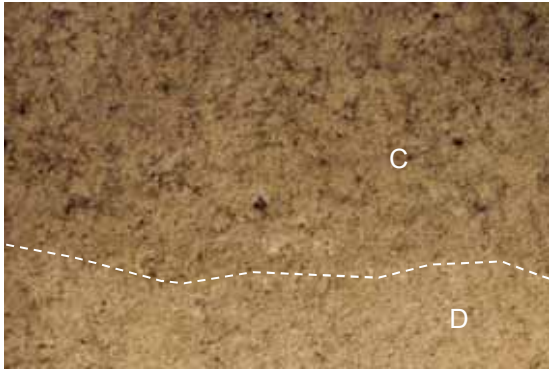


写真撮影位置

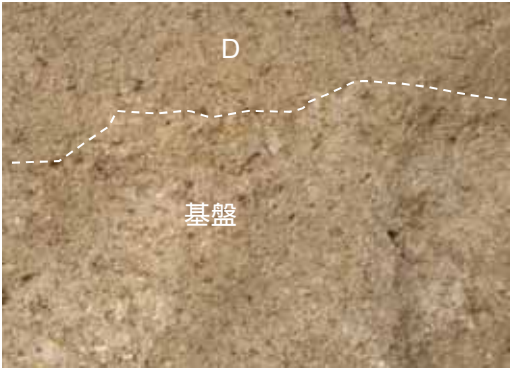
写真を斜めから撮影しているものや、法面に凹凸があることから、写真撮影位置とスケッチの青枠の形状が異なるものがある



D - 14 <sup>ピット</sup>層相観察(その2)

層相区分	写真(解釈線なし)	写真(解釈線あり)	性状
A-B-C	写真 		A: 締りの悪い表土を含む 礫混じり砂質シルト (褐色~暗褐色)  A/B境界 (漸移的)  B: 締りの悪い粗粒分の少ない シルト混じり砂 (褐色)  B/C境界 (漸移的)  C: 締りの良い粗粒分の多い 腐植物・シルト混じり砂 (褐色)
C-D	写真 		C: 締りの良い粗粒分の多い 腐植物・シルト混じり砂 (褐色)  C/D境界 (漸移的)  D: 締りの良い シルト混じり砂~砂礫 (明黄褐色)

2.5(4) D - 14 <sup>ピット</sup>  
 D - 14 <sup>ピット</sup>層相観察(その3)

層相区分	写真(解釈線なし)	写真(解釈線あり)	性状
D-基盤	<p>写真</p> 		<p>D: 締りの良い              シルト混じり砂～砂礫(明黄褐色)</p> <p>-----              D/基盤境界</p> <p>基盤: 強風化した花崗斑岩</p>

余白

## 2. 敷地の地質構造

### 2.1 浦底断層

### 2.2 破碎帯

### 2.3 試掘坑・調査坑展開図

### 2.4 基礎掘削面調査

### 2.5 層相観察

(1) D - 1 トレンチ北西法面

(2) D - 1 既往露頭

(3) D - 14 ピット

(4) D - 14 ピット

(5) D - 14 既往露頭

(6) H - 3 a 既往露頭

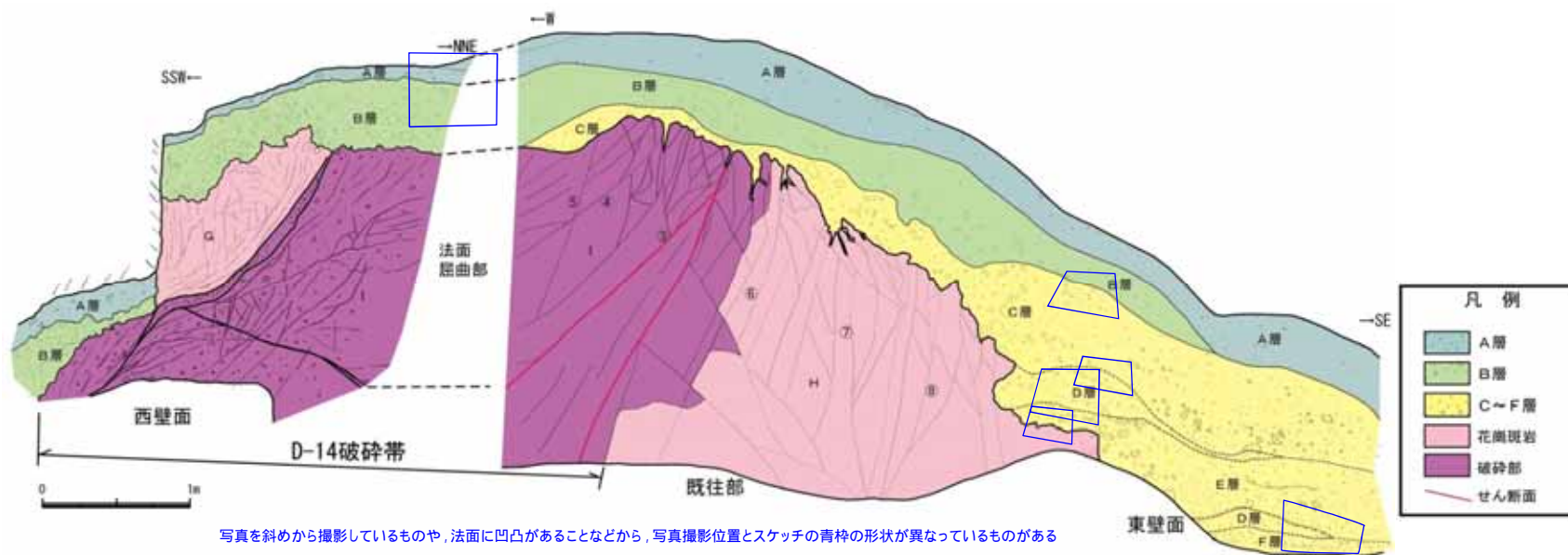
(7) H - 3 a 追加ピット

### 2.6 テフラ分析(粒子数)

2.5(5) D - 14 既往露頭  
 D - 14 既往露頭\_層相観察(その1)

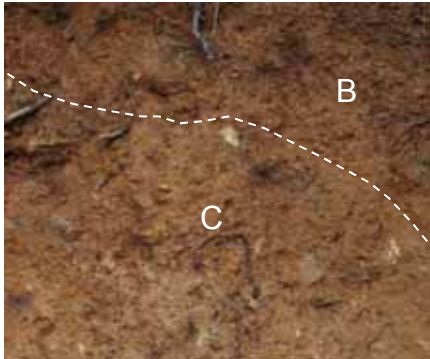
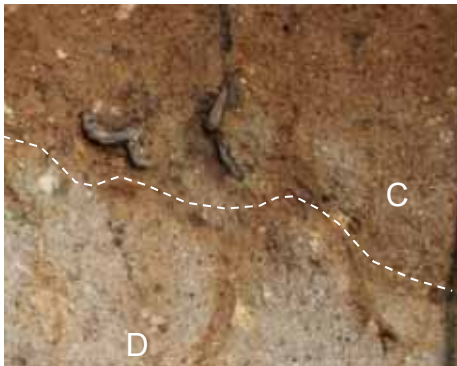


写真撮影位置

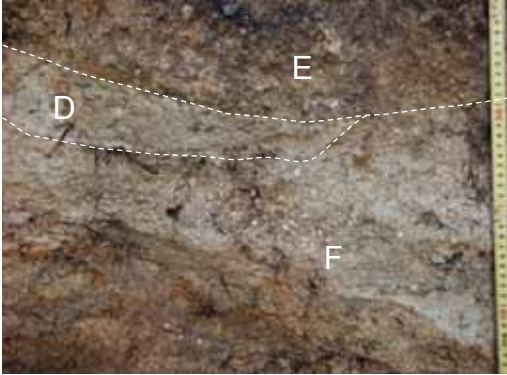
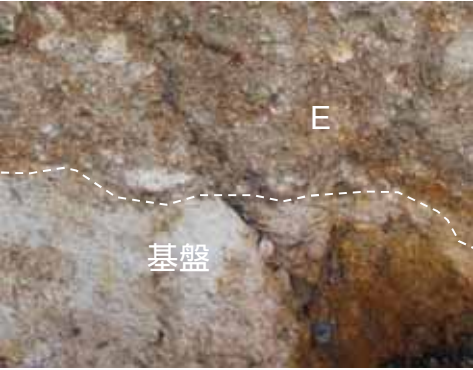


写真を斜めから撮影しているものや、法面に凹凸があることなどから、写真撮影位置とスケッチの青枠の形状が異なっているものがある

## D - 14 既往露頭\_層相観察(その2)

層相区分	写真(解釈線なし)	写真(解釈線あり)	性状
A-B	写真 	写真(解釈線あり) 	<p>A: 締りの悪い表土を含む砂質シルト(暗褐色~黄褐色)</p> <p>A/B境界(漸移的)</p> <p>B: 締りの悪い細礫混じり砂質シルト(赤褐色~褐灰色)</p>
B-C	写真 	写真(解釈線あり) 	<p>B: 締りの悪い細礫混じり砂質シルト(赤褐色~褐灰色)</p> <p>B/C境界(漸移的)</p> <p>C: 締りの良い細礫混じり砂質シルト(明褐色)</p>
C-D	写真 	写真(解釈線あり) 	<p>C: 締りの良い細礫混じり砂質シルト(明褐色)</p> <p>C/D境界</p> <p>D: 締まりの良い細礫混じりシルト(灰白色)</p>

D - 14 既往露頭\_層相観察(その3)

層相区分	写真(解釈線なし)	写真(解釈線あり)	性状
D-E	<p>写真</p> 		<p>D: 締りの良い細礫混じりシルト (灰白色)</p> <p>----- D/E境界 -----</p> <p>E: 締りの良い細礫混じり砂質シルト (にぶい黄橙色)</p>
D-E-F	<p>写真</p> 		<p>E: 締りの良い細礫混じり砂質シルト (にぶい黄橙色)</p> <p>----- E/D境界 -----</p> <p>D: 締りの良い細礫混じりシルト (灰白色)</p> <p>----- E/F境界 -----</p> <p>----- D/F境界 -----</p> <p>F: 堆積構造が認められる 締りの良い細礫混じり砂 (灰白色~明黄褐色)</p>
E-基盤	<p>写真</p> 		<p>E: 締りの良い細礫混じり砂質シルト (にぶい黄橙色)</p> <p>----- E/基盤境界 -----</p> <p>基盤</p>

余白

## 2. 敷地の地質構造

### 2.1 浦底断層

### 2.2 破碎帯

### 2.3 試掘坑・調査坑展開図

### 2.4 基礎掘削面調査

### 2.5 層相観察

(1) D - 1 トレンチ北西法面

(2) D - 1 既往露頭

(3) D - 14 ピット

(4) D - 14 ピット

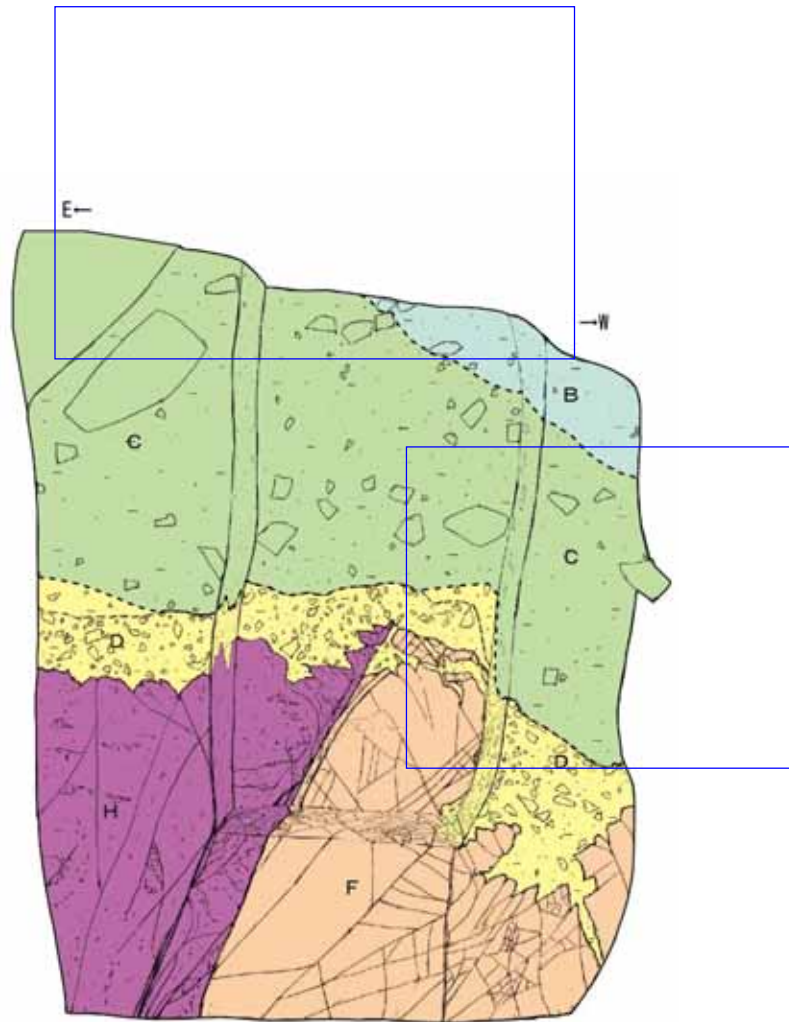
(5) D - 14 既往露頭

(6) H - 3 a 既往露頭

(7) H - 3 a 追加ピット

### 2.6 テフラ分析(粒子数)

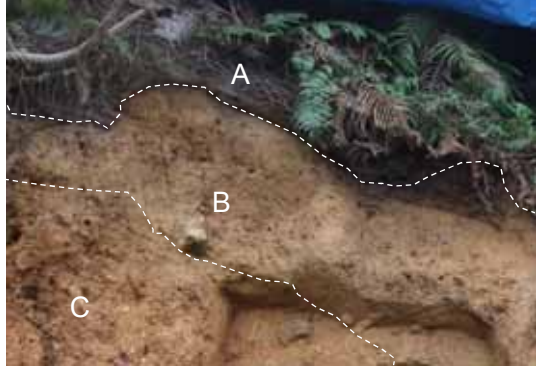
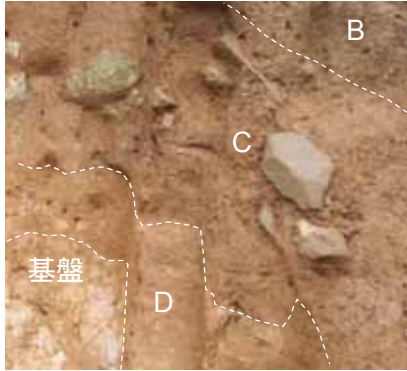
2.5(6) H - 3 a 既往露頭  
 H - 3 a 既往露頭\_層相観察(その1)



写真撮影位置

写真を斜めから撮影しているものや、法面に凹凸があることなどから、写真撮影位置とスケッチの青枠の形状が異なっているものがある

H - 3a 既往露頭\_層相観察(その2)

層相区分	写真(解釈線なし)	写真(解釈線あり)	性状
A-B-C	<p>写真</p> 		<p>A: 締りの悪い腐植質土壌 (褐灰色)</p> <p>A/B境界</p> <p>B: 締りの悪い礫混じり砂質シルト (黄褐色)</p> <p>B/C境界 (漸移的)</p> <p>C: 締りの悪い礫混じり砂質シルト (明褐色)</p>
C-D- 基盤	<p>写真</p> 		<p>B: 締りの悪い礫混じり砂質シルト (黄褐色)</p> <p>B/C境界</p> <p>C: 締りの悪い礫混じり砂質シルト (明褐色)</p> <p>C/D境界</p> <p>基盤</p> <p>D: 締りの良い礫混じり砂質シルト (黄橙色)</p>

余白

## 2. 敷地の地質構造

### 2.1 浦底断層

### 2.2 破碎帯

### 2.3 試掘坑・調査坑展開図

### 2.4 基礎掘削面調査

### 2.5 層相観察

(1) D - 1 トレンチ北西法面

(2) D - 1 既往露頭

(3) D - 14 ピット

(4) D - 14 ピット

(5) D - 14 既往露頭

(6) H - 3 a 既往露頭

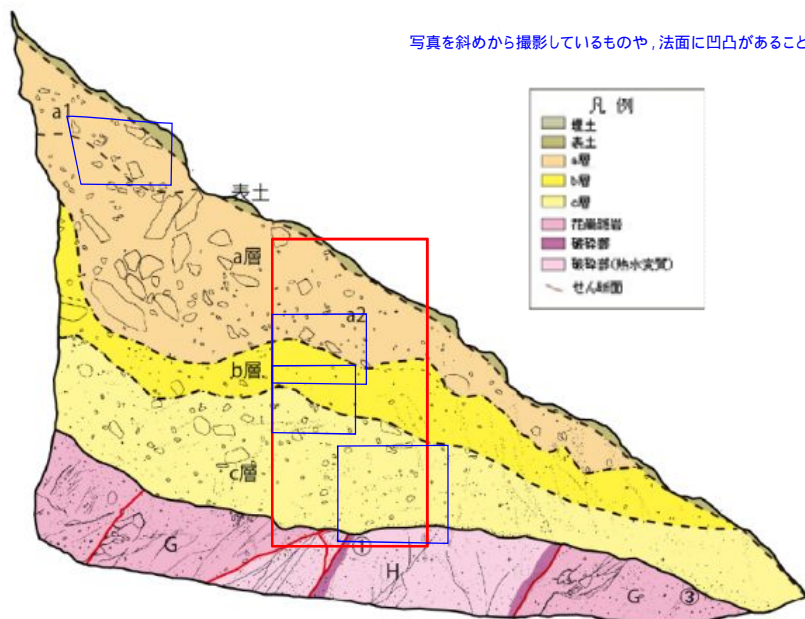
(7) H - 3 a 追加ピット

### 2.6 テフラ分析(粒子数)

2.5(7) H - 3a追加ピット  
 H - 3a追加ピット\_層相観察(その1)

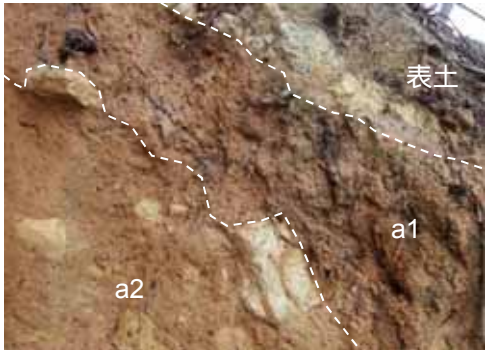
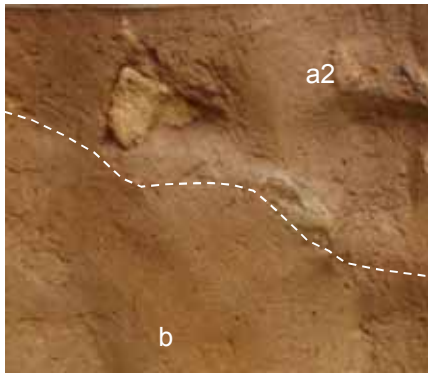
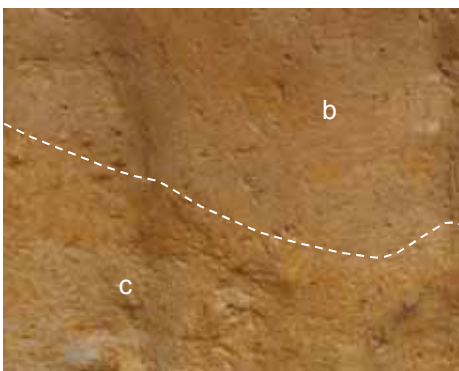


写真撮影位置



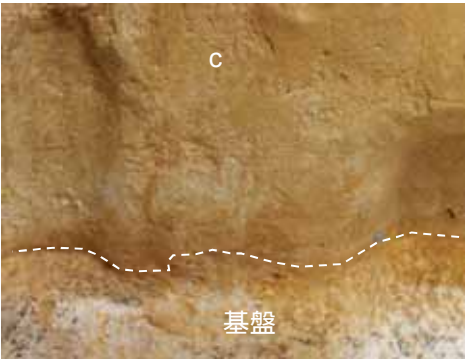
写真を斜めから撮影しているものや、法面に凹凸があることなどから、写真撮影位置とスケッチの青枠の形状が異なっているものがある

H - 3a追加ピット\_層相観察(その2)

層相区分	写真(解釈線なし)	写真(解釈線あり)	性状
表土-a1-a2	<p>写真</p> 	<p>写真(解釈線あり)</p> 	<p>表土</p> <p>表土/a1境界</p> <p>a1: 締りの悪いシルト質砂礫 (明赤褐色)</p> <p>a1/a2境界 (漸移的)</p> <p>a2: 締りの良いシルト質砂礫 (明赤褐色～明褐色)</p>
a2-b	<p>写真</p> 	<p>写真(解釈線あり)</p> 	<p>a2: 締りの良いシルト質砂礫 (明赤褐色～明褐色)</p> <p>a2/b境界</p> <p>b: 締りの良い礫混じり砂 (明黄褐色)</p>
b-c	<p>写真</p> 	<p>写真(解釈線あり)</p> 	<p>b: 締りの良い礫混じり砂 (明黄褐色)</p> <p>b/c境界</p> <p>c: 斑状を呈する締りの良い礫質砂 (浅黄色)</p>

2.5(7)H - 3a追加ピット

H - 3a追加ピット\_層相観察(その3)

層相区分	写真(解釈線なし)	写真(解釈線あり)	性状
c-基盤	<p>写真</p> 		<p>c:斑状を呈する締りの良い礫質砂(浅黄色)</p> <p>-----</p> <p>c/基盤境界</p> <p>-----</p> <p>基盤:強風化した花崗斑岩</p>

## 2. 敷地の地質構造

### 2.1 浦底断層

### 2.2 破砕帯

### 2.3 試掘坑・調査坑展開図

### 2.4 基礎掘削面調査

### 2.5 層相観察

### 2.6 テフラ分析(粒子数)

2.6 テフラ分析(粒子数)

美浜テフラ模式露頭

美浜テフラ模式露頭(通常分析)\_露頭北側測線

試料番号	Gho		観察粒子 母数	テフラ名
	粒子数 (個)	構成 比率 (%)		
3.10-3.15	3	0.010	30000	
3.05-3.10	1	0.003	30000	
3.00-3.05	0	0.000	30000	
2.95-3.00	3	0.010	30000	
2.90-2.95	0	0.000	30000	
2.85-2.90	3	0.010	30000	
2.80-2.85	2	0.007	30000	
2.75-2.80	11	0.037	30000	
2.70-2.75	5	0.017	30000	
2.65-2.70	83	0.277	30000	
2.60-2.65	62	0.207	30000	
2.55-2.60	36	0.120	30000	
2.50-2.55	34	0.113	30000	
2.45-2.50	53	0.177	30000	
2.40-2.45	42	0.140	30000	
2.35-2.40	43	0.143	30000	
2.30-2.35	23	0.077	30000	
2.25-2.30	21	0.070	30000	
2.20-2.25	40	0.133	30000	
2.15-2.20	60	0.200	30000	
2.10-2.15	60	0.200	30000	
2.05-2.10	77	0.257	30000	
2.00-2.05	86	0.287	30000	
1.95-2.00	100	0.333	30000	
1.90-1.95	170	0.567	30000	
1.85-1.90	300	1.000	30000	
1.80-1.85	58	0.193	30000	
1.75-1.80	68	0.227	30000	
1.70-1.75	340	1.133	30000	
1.65-1.70	680	2.267	30000	
1.60-1.65	380	1.267	30000	
1.55-1.60	23	0.077	30000	
1.50-1.55	110	0.367	30000	Mh
1.45-1.50	16	0.053	30000	
1.40-1.45	15	0.050	30000	
1.35-1.40	26	0.087	30000	
1.30-1.35	21	0.070	30000	
1.25-1.30	23	0.077	30000	
1.20-1.25	6	0.020	30000	
1.15-1.20	16	0.053	30000	
1.10-1.15	9	0.030	30000	
1.05-1.10	5	0.017	30000	
1.00-1.05	15	0.050	30000	
0.95-1.00	19	0.063	30000	
0.90-0.95	14	0.047	30000	
0.85-0.90	31	0.103	30000	
0.80-0.85	48	0.160	30000	hpm1
0.75-0.80	33	0.110	30000	
0.70-0.75	14	0.047	30000	
0.65-0.70	28	0.093	30000	
0.60-0.65	12	0.040	30000	
0.55-0.60	7	0.023	30000	
0.50-0.55	7	0.023	30000	
0.45-0.50	3	0.010	30000	
0.40-0.45	2	0.007	30000	
0.35-0.40	1	0.003	30000	
0.30-0.35	3	0.010	30000	
0.25-0.30	1	0.003	30000	
0.20-0.25	1	0.003	30000	
0.15-0.20	4	0.013	30000	
0.10-0.15	7	0.023	30000	
0.05-0.10	6	0.020	30000	
0.00-0.05	8	0.027	30000	

GHo: 普通角閃石

美浜テフラ模式露頭(濃集分析)\_露頭南側測線

試料番号	Gho		観察粒子 母数
	粒子数 (個)	構成 比率 (%)	
Mh-上 0508-1	1640	54.7	3000
Mh-中 0508-1	750	25.0	3000
Mh-下 0508-1	1840	61.3	3000

GHo: 普通角閃石

2.6 テフラ分析(粒子数)

D - 1トレンチ南法面

D-1トレンチ(通常分析)\_Y測線

試料番号	重鉱物の含有量						石英		観察粒子数	テフラ名
	Opx		GHo		Cum		粒子数(個)	構成比率(%)		
	粒子数(個)	構成比率(%)	粒子数(個)	構成比率(%)	粒子数(個)	構成比率(%)				
1.7-1.8	0	0.000	0	0.000	0	0.000	1	0.003	30000	
1.6-1.7	0	0.000	0	0.000	0	0.000	14	0.047	30000	K-Tz
1.5-1.6	0	0.000	0	0.000	0	0.000	0	0.000	30000	
1.4-1.5	0	0.000	0	0.000	0	0.000	0	0.000	30000	
1.3-1.4	0	0.000	0	0.000	0	0.000	0	0.000	30000	
1.2-1.3	0	0.000	1	0.003	0	0.000	0	0.000	30000	
1.1-1.2	0	0.000	1	0.003	0	0.000	0	0.000	30000	
1.0-1.1	0	0.000	2	0.007	0	0.000	0	0.000	30000	Mh
0.9-1.0	0	0.000	2	0.007	0	0.000	0	0.000	30000	Mh
0.8-0.9	0	0.000	0	0.000	0	0.000	0	0.000	30000	
0.7-0.8	0	0.000	0	0.000	0	0.000	0	0.000	30000	
0.6-0.7	0	0.000	0	0.000	0	0.000	0	0.000	30000	
0.5-0.6	0	0.000	0	0.000	0	0.000	0	0.000	30000	
0.4-0.5	0	0.000	0	0.000	0	0.000	0	0.000	30000	
0.3-0.4	0	0.000	0	0.000	0	0.000	0	0.000	30000	
0.2-0.3	0	0.000	0	0.000	0	0.000	0	0.000	30000	
0.1-0.2	0	0.000	0	0.000	0	0.000	0	0.000	30000	
0.0-0.1	0	0.000	0	0.000	0	0.000	0	0.000	30000	

Opx:斜方輝石 Gho:普通角閃石 Cum:カミングトン閃石

D-1トレンチ(濃集分析)\_Y測線

試料番号	重鉱物含有個数			粒度組成 総試料重量(g)	テフラ名
	Opx	GHo	Cum		
1.7-1.8	0	0	0	0.32	
1.6-1.7	0	0	0	0.30	
1.5-1.6	0	0	0	0.42	
1.4-1.5	0	1	0	0.30	
1.3-1.4	0	4	0	0.30	
1.2-1.3	0	36	0	0.43	
1.1-1.2	0	75	0	0.44	
1.0-1.1	0	63	0	0.61	
0.9-1.0	0	17	0	0.39	
0.8-0.9	0	4	0	0.37	
0.7-0.8	0	5	0	0.46	
0.6-0.7	0	1	0	0.35	
0.5-0.6	0	0	0	0.35	
0.4-0.5	0	0	0	0.38	
0.3-0.4	0	0	0	0.53	
0.2-0.3	0	0	0	0.38	
0.1-0.2	0	0	0	0.38	
0.0-0.1	0	0	0	0.47	

Opx:斜方輝石 Gho:普通角閃石 Cum:カミングトン閃石

2.6 テフラ分析(粒子数)

D - 1トレンチ北西面 - 北面(その1)

D-1トレンチ(通常分析)測線A上

試料番号	火山ガラスの含有量		重鉱物の含有量						石英		観察粒子数	テフラ名
	粒子数(個)	構成比率(%)	Opx		Gho		Cum		粒子数(個)	構成比率(%)		
			粒子数(個)	構成比率(%)	粒子数(個)	構成比率(%)	粒子数(個)	構成比率(%)				
14.3-14.4	0	0.000	0	0.000	0	0.000	0	0.000	0	0.000	30000	
14.2-14.3	0	0.000	0	0.000	0	0.000	0	0.000	0	0.000	30000	
14.1-14.2	0	0.000	0	0.000	0	0.000	0	0.000	0	0.000	30000	
14.0-14.1	0	0.000	0	0.000	0	0.000	0	0.000	0	0.000	30000	
13.9-14.0	0	0.000	0	0.000	0	0.000	0	0.000	0	0.000	30000	
13.8-13.9	0	0.000	0	0.000	0	0.000	0	0.000	0	0.000	30000	
13.7-13.8	0	0.000	0	0.000	0	0.000	0	0.000	0	0.000	30000	
13.6-13.7	0	0.000	0	0.000	0	0.000	0	0.000	0	0.000	30000	
13.5-13.6	0	0.000	0	0.000	0	0.000	0	0.000	0	0.000	30000	
13.4-13.5	0	0.000	0	0.000	0	0.000	0	0.000	0	0.000	30000	
13.3-13.4	0	0.000	0	0.000	0	0.000	0	0.000	0	0.000	30000	
13.2-13.3	0	0.000	0	0.000	0	0.000	0	0.000	0	0.000	30000	
13.1-13.2	0	0.000	0	0.000	7	0.023	0	0.000	0	0.000	30000	
13.0-13.1	0	0.000	0	0.000	1	0.003	0	0.000	0	0.000	30000	
12.9-13.0	0	0.000	0	0.000	2	0.007	0	0.000	0	0.000	30000	
12.8-12.9	0	0.000	0	0.000	0	0.000	0	0.000	0	0.000	30000	
12.7-12.8	0	0.000	0	0.000	0	0.000	0	0.000	0	0.000	30000	
12.6-12.7	0	0.000	0	0.000	1	0.003	0	0.000	0	0.000	30000	
12.5-12.6	0	0.000	1	0.003	3	0.010	0	0.000	0	0.000	30000	
12.4-12.5	0	0.000	0	0.000	7	0.023	0	0.000	0	0.000	30000	
12.3-12.4	0	0.000	0	0.000	5	0.017	0	0.000	0	0.000	30000	
12.2-12.3	0	0.000	0	0.000	9	0.030	0	0.000	0	0.000	30000	
12.1-12.2	0	0.000	0	0.000	3	0.010	0	0.000	0	0.000	30000	
12.0-12.1	0	0.000	0	0.000	1	0.003	0	0.000	0	0.000	30000	
11.9-12.0	0	0.000	0	0.000	0	0.000	0	0.000	0	0.000	30000	
11.8-11.9	0	0.000	0	0.000	2	0.007	0	0.000	0	0.000	30000	
11.7-11.8	0	0.000	0	0.000	3	0.010	0	0.000	0	0.000	30000	
11.6-11.7	0	0.000	0	0.000	0	0.000	0	0.000	0	0.000	30000	
11.5-11.6	0	0.000	0	0.000	0	0.000	0	0.000	0	0.000	30000	
11.4-11.5	0	0.000	0	0.000	8	0.027	0	0.000	0	0.000	30000	
11.3-11.4	0	0.000	1	0.003	4	0.013	1	0.003	0	0.000	30000	
11.2-11.3	0	0.000	0	0.000	5	0.017	0	0.000	0	0.000	30000	
11.1-11.2	0	0.000	0	0.000	2	0.007	0	0.000	0	0.000	30000	
11.0-11.1	1	0.003	0	0.000	7	0.023	0	0.000	0	0.000	30000	
10.9-11.0	0	0.000	0	0.000	4	0.013	0	0.000	0	0.000	30000	
10.8-10.9	0	0.000	0	0.000	5	0.017	0	0.000	0	0.000	30000	
10.7-10.8	0	0.000	0	0.000	4	0.013	0	0.000	0	0.000	30000	
10.6-10.7	0	0.000	0	0.000	9	0.030	0	0.000	0	0.000	30000	
10.5-10.6	0	0.000	2	0.007	7	0.023	0	0.000	0	0.000	30000	
10.4-10.5	0	0.000	0	0.000	17	0.057	0	0.000	0	0.000	30000	
10.3-10.4	0	0.000	0	0.000	20	0.067	0	0.000	1	0.003	30000	
10.2-10.3	0	0.000	0	0.000	20	0.067	0	0.000	0	0.000	30000	
10.1-10.2	0	0.000	1	0.003	10	0.033	0	0.000	0	0.000	30000	
10.0-10.1	0	0.000	0	0.000	11	0.037	0	0.000	0	0.000	30000	
9.9-10.0	0	0.000	0	0.000	6	0.020	0	0.000	0	0.000	30000	
9.8-9.9	0	0.000	0	0.000	8	0.027	0	0.000	1	0.003	30000	
9.7-9.8	0	0.000	0	0.000	3	0.010	0	0.000	0	0.000	30000	
9.6-9.7	0	0.000	0	0.000	6	0.020	0	0.000	1	0.003	30000	
9.5-9.6	0	0.000	0	0.000	10	0.033	0	0.000	0	0.000	30000	DKP
9.4-9.5	0	0.000	0	0.000	4	0.013	0	0.000	0	0.000	30000	
9.3-9.4	0	0.000	0	0.000	0	0.000	0	0.000	1	0.003	30000	
9.2-9.3	0	0.000	0	0.000	0	0.000	0	0.000	2	0.007	30000	
9.1-9.2	0	0.000	0	0.000	0	0.000	0	0.000	0	0.000	30000	
9.0-9.1	0	0.000	0	0.000	0	0.000	0	0.000	0	0.000	30000	
8.9-9.0	0	0.000	0	0.000	1	0.003	0	0.000	0	0.000	30000	
8.8-8.9	0	0.000	0	0.000	0	0.000	0	0.000	0	0.000	30000	
8.7-8.8	0	0.000	0	0.000	0	0.000	0	0.000	0	0.000	30000	
8.6-8.7	0	0.000	0	0.000	2	0.007	0	0.000	0	0.000	30000	
8.5-8.6	0	0.000	0	0.000	0	0.000	0	0.000	1	0.003	30000	
8.4-8.5	0	0.000	0	0.000	2	0.007	0	0.000	0	0.000	30000	
8.3-8.4	0	0.000	0	0.000	1	0.003	0	0.000	2	0.007	30000	
8.2-8.3	0	0.000	0	0.000	0	0.000	0	0.000	2	0.007	30000	
8.1-8.2	0	0.000	0	0.000	0	0.000	0	0.000	0	0.000	30000	
8.0-8.1	0	0.000	0	0.000	0	0.000	0	0.000	2	0.007	30000	
7.9-8.0	0	0.000	0	0.000	0	0.000	0	0.000	0	0.000	30000	
7.8-7.9	0	0.000	0	0.000	0	0.000	0	0.000	1	0.003	30000	
7.7-7.8	0	0.000	0	0.000	0	0.000	0	0.000	9	0.027	30000	
7.6-7.7	0	0.000	0	0.000	0	0.000	0	0.000	4	0.013	30000	
7.5-7.6	0	0.000	0	0.000	0	0.000	0	0.000	1	0.003	30000	
7.4-7.5	0	0.000	0	0.000	1	0.003	0	0.000	3	0.010	30000	
7.3-7.4	0	0.000	0	0.000	1	0.003	0	0.000	3	0.010	30000	
7.2-7.3	2	0.007	0	0.000	4	0.013	0	0.000	23	0.077	30000	K-Tz
7.1-7.2	0	0.000	0	0.000	0	0.000	0	0.000	3	0.010	30000	
7.0-7.1	0	0.000	0	0.000	0	0.000	0	0.000	2	0.007	30000	
6.9-7.0	0	0.000	0	0.000	0	0.000	0	0.000	0	0.000	30000	
6.8-6.9	0	0.000	0	0.000	0	0.000	0	0.000	0	0.000	30000	
6.7-6.8	0	0.000	0	0.000	0	0.000	0	0.000	0	0.000	30000	
6.6-6.7	0	0.000	0	0.000	0	0.000	0	0.000	0	0.000	30000	
6.5-6.6	0	0.000	0	0.000	0	0.000	0	0.000	0	0.000	30000	
6.4-6.5	0	0.000	0	0.000	0	0.000	0	0.000	0	0.000	30000	
6.3-6.4	0	0.000	0	0.000	0	0.000	0	0.000	0	0.000	30000	
6.2-6.3	0	0.000	0	0.000	0	0.000	0	0.000	9	0.027	30000	
6.1-6.2	0	0.000	0	0.000	1	0.003	0	0.000	0	0.000	30000	
6.0-6.1	0	0.000	0	0.000	0	0.000	0	0.000	0	0.000	30000	

試料番号	火山ガラスの含有量		重鉱物の含有量						石英		観察粒子数	テフラ名
	粒子数(個)	構成比率(%)	Opx		Gho		Cum		粒子数(個)	構成比率(%)		
			粒子数(個)	構成比率(%)	粒子数(個)	構成比率(%)	粒子数(個)	構成比率(%)				
5.9-6.0	0	0.000	0	0.000	1	0.003	0	0.000	0	0.000	30000	
5.8-5.9	0	0.000	0	0.000	0	0.000	0	0.000	0	0.000	30000	
5.7-5.8	0	0.000	0	0.000	0	0.000	0	0.000	0	0.000	30000	
5.6-5.7	0	0.000	0	0.000	0	0.000	0	0.000	0	0.000	30000	
5.5-5.6	0	0.000	0	0.000	0	0.000	0	0.000	0	0.000	30000	
5.4-5.5	0	0.000	0	0.000	0	0.000	0	0.000	0	0.000	30000	
5.3-5.4	0	0.000	0	0.000	0	0.000	0	0.000	0	0.000	30000	
5.2-5.3	0	0.000	0	0.000	0	0.000	0	0.000	0	0.000	30000	
5.1-5.2	0	0.000	0	0.000	0	0.000	0	0.000	0	0.000	30000	
5.0-5.1	0	0.000	0	0.000	0	0.000	0	0.000	0	0.000	30000	
4.9-5.0	0	0.000	0	0.000	0	0.000	0	0.000	0	0.000	30000	
4.8-4.9	0	0.000	0	0.000	0	0.000	0	0.000	0	0.000	30000	
4.7-4.8	0	0.000	0	0.000	0	0.000	0	0.000	0	0.000	30000	
4.6-4.7	0	0.000	0	0.000	0	0.000	0	0.000	0	0.000	30000	
4.5-4.6	0	0.000	0	0.000	0	0.000	0	0.000	0	0.000	30000	
4.4-4.5	0	0.000	0	0.000	0	0.000	0	0.000	0	0.000	30000	
4.3-4.4	0	0.000	0	0.000	0	0.000	0	0.000	0	0.000	30000	
4.2-4.3	0	0.000	0	0.000	0	0.000	0	0.000	0	0.000	30000	
4.1-4.2	0	0.000	0	0.000	1	0.003	0	0.000	0	0.000	30000	
4.0-4.1	0	0.000	0	0.000	7	0.023	0	0.000	0	0.000	30000	
3.9-4.0												

2.6 テフラ分析(粒子数)

D-1トレンチ北西面 - 北面(その2)

D-1トレンチ(通常分析) 測線B

試料番号	火山ガラスの含有量		重鉱物の含有量						石英		観察粒子数	テフラ名
	粒子数(個)	構成比率(%)	Opx		Gho		Cum		粒子数(個)	構成比率(%)		
			粒子数(個)	構成比率(%)	粒子数(個)	構成比率(%)	粒子数(個)	構成比率(%)				
7.3-7.4	620	2.167	0	0.000	100	0.333	20	0.067	0	0.000	30000	
7.2-7.3	0	0.000	0	0.000	1	0.003	0	0.000	0	0.000	30000	
7.1-7.2	0	0.000	0	0.000	0	0.000	0	0.000	0	0.000	30000	
7.0-7.1	1	0.003	0	0.000	1	0.003	0	0.000	0	0.000	30000	
6.9-7.0	0	0.000	0	0.000	0	0.000	0	0.000	0	0.000	30000	
6.8-6.9	0	0.000	0	0.000	0	0.000	0	0.000	0	0.000	30000	
6.69-6.8	0	0.000	0	0.000	0	0.000	0	0.000	0	0.000	30000	
6.6-6.69	0	0.000	0	0.000	0	0.000	0	0.000	0	0.000	30000	
6.53-6.6	0	0.000	0	0.000	0	0.000	0	0.000	0	0.000	30000	
6.4-6.53	0	0.000	0	0.000	1	0.003	0	0.000	0	0.000	30000	
6.34-6.4	0	0.000	0	0.000	0	0.000	0	0.000	0	0.000	30000	
6.17-6.34	0	0.000	0	0.000	8	0.027	0	0.000	0	0.000	30000	
6.1-6.17	0	0.000	0	0.000	1	0.003	0	0.000	0	0.000	30000	
6.0-6.1	0	0.000	0	0.000	6	0.020	0	0.000	0	0.000	30000	
5.9-6.0	0	0.000	0	0.000	0	0.000	0	0.000	0	0.000	30000	
5.8-5.9	0	0.000	0	0.000	1	0.003	0	0.000	1	0.003	30000	
5.7-5.8	0	0.000	0	0.000	1	0.003	0	0.000	0	0.000	30000	
5.6-5.7	0	0.000	0	0.000	1	0.003	0	0.000	0	0.000	30000	
5.5-5.6	0	0.000	0	0.000	0	0.000	0	0.000	0	0.000	30000	
5.4-5.5	0	0.000	0	0.000	0	0.000	0	0.000	0	0.000	30000	
5.3-5.4	0	0.000	0	0.000	8	0.027	1	0.003	0	0.000	30000	
5.2-5.3	0	0.000	0	0.000	20	0.067	1	0.003	0	0.000	30000	
5.1-5.2	0	0.000	0	0.000	6	0.020	0	0.000	0	0.000	30000	
5.0-5.1	0	0.000	0	0.000	8	0.027	2	0.007	0	0.000	30000	
4.9-5.0	0	0.000	0	0.000	14	0.047	2	0.007	0	0.000	30000	
4.8-4.9	0	0.000	0	0.000	8	0.027	1	0.003	0	0.000	30000	
4.7-4.8	0	0.000	0	0.000	2	0.007	0	0.000	0	0.000	30000	
4.6-4.7	0	0.000	0	0.000	1	0.003	0	0.000	0	0.000	30000	
4.5-4.6	0	0.000	0	0.000	6	0.020	0	0.000	0	0.000	30000	
4.4-4.5	0	0.000	0	0.000	14	0.047	0	0.000	0	0.000	30000	
4.2-4.3	0	0.000	0	0.000	24	0.080	1	0.003	0	0.000	30000	
4.1-4.2	0	0.000	0	0.000	60	0.200	1	0.003	1	0.003	30000	
4.0-4.1	1	0.003	0	0.000	83	0.277	0	0.000	0	0.000	30000	
3.9-4.0	0	0.000	1	0.003	75	0.250	0	0.000	0	0.000	30000	
3.8-3.9	0	0.000	1	0.003	75	0.250	0	0.000	0	0.000	30000	
3.7-3.8	0	0.000	0	0.000	62	0.207	0	0.000	0	0.000	30000	
3.6-3.7	0	0.000	2	0.007	54	0.180	0	0.000	0	0.000	30000	
3.5-3.6	0	0.000	1	0.003	71	0.237	0	0.000	0	0.000	30000	
3.4-3.5	0	0.000	0	0.000	78	0.260	0	0.000	0	0.000	30000	
3.3-3.4	0	0.000	1	0.003	74	0.247	0	0.000	0	0.000	30000	
3.2-3.3	0	0.000	0	0.000	66	0.220	0	0.000	0	0.000	30000	
3.1-3.2	0	0.000	1	0.003	45	0.150	0	0.000	1	0.003	30000	
3.0-3.1	0	0.000	0	0.000	45	0.150	1	0.003	0	0.000	30000	
2.9-3.0	0	0.000	0	0.000	47	0.157	0	0.000	0	0.000	30000	
2.8-2.9	0	0.000	0	0.000	57	0.190	0	0.000	0	0.000	30000	
2.7-2.8	0	0.000	2	0.007	12	0.040	0	0.000	1	0.003	30000	
2.6-2.7	0	0.000	0	0.000	92	0.307	0	0.000	0	0.000	30000	
2.53-2.6	0	0.000	0	0.000	47	0.157	0	0.000	0	0.000	30000	
2.4-2.53	0	0.000	0	0.000	6	0.020	0	0.000	0	0.000	30000	
2.3-2.4	0	0.000	0	0.000	0	0.000	0	0.000	0	0.000	30000	
2.2-2.3	0	0.000	0	0.000	0	0.000	0	0.000	0	0.000	30000	
2.1-2.2	0	0.000	0	0.000	0	0.000	0	0.000	1	0.003	30000	
2.0-2.1	0	0.000	0	0.000	0	0.000	0	0.000	0	0.000	30000	
1.87-2.0	0	0.000	0	0.000	0	0.000	0	0.000	0	0.000	30000	
1.8-1.87	0	0.000	0	0.000	1	0.003	0	0.000	0	0.000	30000	
1.7-1.8	0	0.000	0	0.000	0	0.000	0	0.000	1	0.003	30000	
1.6-1.7	0	0.000	0	0.000	0	0.000	0	0.000	0	0.000	30000	
1.5-1.6	0	0.000	0	0.000	0	0.000	0	0.000	0	0.000	30000	
1.4-1.5	0	0.000	0	0.000	1	0.003	0	0.000	0	0.000	30000	
1.3-1.4	0	0.000	0	0.000	0	0.000	0	0.000	0	0.000	30000	
1.2-1.3	0	0.000	0	0.000	1	0.003	0	0.000	6	0.020	30000	
1.1-1.2	0	0.000	0	0.000	6	0.020	0	0.000	14	0.047	30000	
1.0-1.1	1	0.003	0	0.000	2	0.007	0	0.000	36	0.120	30000	
0.89-1.0	0	0.000	0	0.000	2	0.007	0	0.000	23	0.077	30000	
0.8-0.89	0	0.000	0	0.000	1	0.003	0	0.000	11	0.037	30000	
0.7-0.8	1	0.003	0	0.000	2	0.007	0	0.000	6	0.020	30000	
0.6-0.7	0	0.000	0	0.000	0	0.000	0	0.000	0	0.000	30000	
0.5-0.6	0	0.000	0	0.000	2	0.007	0	0.000	0	0.000	30000	
0.4-0.5	0	0.000	0	0.000	27	0.090	0	0.000	0	0.000	30000	
0.3-0.4	0	0.000	0	0.000	1	0.003	0	0.000	0	0.000	30000	
0.2-0.3	0	0.000	0	0.000	1	0.003	0	0.000	0	0.000	30000	
0.1-0.2	0	0.000	0	0.000	1	0.003	0	0.000	0	0.000	30000	
0.0-0.1	0	0.000	0	0.000	1	0.003	0	0.000	0	0.000	30000	

D-1トレンチ(通常分析) 測線C

試料番号	火山ガラスの含有量		重鉱物の含有量						石英		観察粒子数	テフラ名
	粒子数(個)	構成比率(%)	Opx		Gho		Cum		粒子数(個)	構成比率(%)		
			粒子数(個)	構成比率(%)	粒子数(個)	構成比率(%)	粒子数(個)	構成比率(%)				
5.1-5.2	0	0.000	0	0.000	0	0.000	0	0.000	1	0.003	30000	
5.0-5.1	1	0.003	0	0.000	1	0.003	0	0.000	23	0.077	30000	
4.9-5.0	0	0.000	0	0.000	0	0.000	0	0.000	47	0.157	30000	
4.8-4.9	0	0.000	0	0.000	0	0.000	0	0.000	18	0.060	30000	
4.7-4.8	0	0.000	0	0.000	0	0.000	0	0.000	14	0.047	30000	
4.6-4.7	0	0.000	0	0.000	1	0.003	0	0.000	44	0.147	30000	
4.5-4.6	1	0.003	0	0.000	1	0.003	0	0.000	68	0.227	30000	
4.4-4.5	0	0.000	0	0.000	1	0.003	0	0.000	71	0.237	30000	K-Tz
4.3-4.4	1	0.003	0	0.000	2	0.007	0	0.000	68	0.227	30000	
4.2-4.3	0	0.000	0	0.000	0	0.000	0	0.000	11	0.037	30000	
4.1-4.2	0	0.000	0	0.000	2	0.007	0	0.000	1	0.003	30000	
4.0-4.1	0	0.000	0	0.000	17	0.057	0	0.000	1	0.003	30000	
3.9-4.0	0	0.000	0	0.000	6	0.020	0	0.000	0	0.000	30000	
3.8-3.9	0	0.000	0	0.000	5	0.017	0	0.000	0	0.000	30000	
3.7-3.8	0	0.000	0	0.000	2	0.007	0	0.000	0	0.000	30000	
3.6-3.7	0	0.000	0	0.000	2	0.007	0	0.000	0	0.000	30000	
3.5-3.6	0	0.000	0	0.000	5	0.017	0	0.000	0	0.000	30000	
3.4-3.5	0	0.000	0	0.000	1	0.003	0	0.000	0	0.000	30000	
3.3-3.4	0	0.000	0	0.000	2	0.007	0	0.000	0	0.000	30000	
3.2-3.3	0	0.000	0	0.000	1	0.003	0	0.000	0	0.000	30000	
3.1-3.2	0	0.000	0	0.000	0	0.000	0	0.000	0	0.000	30000	
3.0-3.1	0	0.000	0	0.000	1	0.003	0	0.000	0	0.000	30000	
2.9-3.0	0	0.000	0	0.000	1	0.003	0	0.000	0	0.000	30000	
2.8-2.9	0	0.000	0	0.000	0	0.000	0	0.000	0	0.000	30000	
2.7-2.8	0	0.000	0	0.000	2	0.007	0	0.000	0	0.000	30000	Mh
2.6-2.7	0	0.000	0	0.000	5	0.017	0	0.000	0	0.000	30000	
2.5-2.6	0	0.000	0	0.000	1	0.003	0	0.000	0	0.000	30000	
2.4-2.5	0	0.000	0	0.000	1	0.003	0	0.000	0	0.000	30000	
2.32-2.4	0	0.000	0	0.000	2	0.007	0	0.000	0	0.000	30000	
2.2-2.32	0	0.000	0	0.000	0	0.000	0	0.000	0	0.000	30000	
2.1-2.2	0	0.000	0	0.000	0	0.000	0	0.000	0	0.000	30000	
2.0												

2.6 テフラ分析(粒子数)

D - 1トレンチ北西面 - 北面(その3)

D-1トレンチ(通常分析)測線C

試料番号	火山ガラスの含有量		重鉱物の含有量			石英		観察粒子数	テフラ名			
	粒子数(個)	構成比率(%)	Opx	GHo	Cum	粒子数(個)	構成比率(%)					
14.1-14.2	0	0.000	0	0.000	8	0.027	0	0.000	0	0.000	30000	
14.0-14.1	0	0.000	0	0.000	6	0.020	0	0.000	0	0.000	30000	
13.9-14.0	0	0.000	0	0.000	4	0.013	0	0.000	0	0.000	30000	
13.8-13.9	0	0.000	0	0.000	0	0.000	0	0.000	0	0.000	30000	
13.7-13.8	0	0.000	0	0.000	0	0.000	0	0.000	0	0.000	30000	
13.6-13.7	0	0.000	0	0.000	1	0.003	0	0.000	0	0.000	30000	
13.5-13.6	0	0.000	0	0.000	0	0.000	0	0.000	0	0.000	30000	
13.4-13.5	0	0.000	0	0.000	2	0.007	0	0.000	0	0.000	30000	
13.3-13.4	0	0.000	0	0.000	0	0.000	0	0.000	0	0.000	30000	
13.2-13.3	0	0.000	0	0.000	6	0.020	0	0.000	2	0.007	30000	
13.1-13.2	0	0.000	0	0.000	11	0.037	0	0.000	1	0.003	30000	
13.0-13.1	0	0.000	0	0.000	5	0.017	0	0.000	1	0.003	30000	
12.9-13.0	0	0.000	0	0.000	2	0.007	0	0.000	0	0.000	30000	
12.8-12.9	0	0.000	0	0.000	1	0.003	0	0.000	0	0.000	30000	
12.7-12.8	0	0.000	0	0.000	3	0.010	0	0.000	1	0.003	30000	
12.6-12.7	0	0.000	0	0.000	3	0.010	0	0.000	1	0.003	30000	
12.5-12.6	0	0.000	0	0.000	8	0.027	0	0.000	0	0.000	30000	
12.4-12.5	0	0.000	1	0.003	9	0.030	0	0.000	1	0.003	30000	
12.3-12.4	0	0.000	0	0.000	310	0.933	0	0.000	1	0.003	30000	
12.2-12.3	0	0.000	0	0.000	5	0.017	0	0.000	1	0.003	30000	
12.1-12.2	0	0.000	0	0.000	12	0.040	0	0.000	0	0.000	30000	
12.0-12.1	0	0.000	0	0.000	14	0.047	0	0.000	0	0.000	30000	
11.9-12.0	0	0.000	0	0.000	24	0.080	0	0.000	0	0.000	30000	
11.8-11.9	0	0.000	0	0.000	8	0.027	0	0.000	0	0.000	30000	
11.7-11.8	0	0.000	1	0.003	60	0.200	0	0.000	1	0.003	30000	
11.6-11.7	0	0.000	1	0.003	310	0.933	0	0.000	1	0.003	30000	
11.5-11.6	0	0.000	0	0.000	38	0.117	0	0.000	0	0.000	30000	
11.4-11.5	0	0.000	0	0.000	19	0.063	0	0.000	0	0.000	30000	
11.3-11.4	0	0.000	0	0.000	4	0.013	0	0.000	0	0.000	30000	
11.2-11.3	0	0.000	0	0.000	120	0.400	0	0.000	0	0.000	30000	
11.1-11.2	0	0.000	2	0.007	60	0.200	0	0.000	0	0.000	30000	
11.0-11.1	0	0.000	5	0.017	350	1.167	0	0.000	0	0.000	30000	
10.9-11.0	0	0.000	0	0.000	350	1.000	0	0.000	0	0.000	30000	
10.8-10.9	0	0.000	5	0.017	300	1.000	0	0.000	0	0.000	30000	
10.7-10.8	0	0.000	2	0.007	60	0.200	0	0.000	1	0.003	30000	
10.6-10.7	0	0.000	0	0.000	0	0.000	0	0.000	0	0.000	30000	
10.5-10.6	0	0.000	0	0.000	0	0.000	0	0.000	0	0.000	30000	
10.4-10.5	0	0.000	0	0.000	1	0.003	0	0.000	2	0.007	30000	
10.3-10.4	0	0.000	0	0.000	0	0.000	0	0.000	3	0.010	30000	
10.2-10.3	0	0.000	0	0.000	0	0.000	0	0.000	6	0.020	30000	
10.1-10.2	0	0.000	0	0.000	0	0.000	0	0.000	17	0.057	30000	
10.0-10.1	0	0.000	0	0.000	0	0.000	0	0.000	2	0.007	30000	
9.9-10.0	0	0.000	0	0.000	0	0.000	0	0.000	0	0.000	30000	
9.8-9.9	0	0.000	0	0.000	0	0.000	0	0.000	1	0.003	30000	
9.7-9.8	0	0.000	0	0.000	0	0.000	0	0.000	1	0.003	30000	
9.6-9.7	0	0.000	0	0.000	0	0.000	0	0.000	1	0.003	30000	
9.5-9.6	0	0.000	0	0.000	0	0.000	0	0.000	6	0.020	30000	
9.4-9.5	0	0.000	0	0.000	0	0.000	0	0.000	3	0.010	30000	
9.3-9.4	0	0.000	0	0.000	0	0.000	0	0.000	1	0.003	30000	
9.2-9.3	0	0.000	1	0.003	1	0.003	0	0.000	4	0.013	30000	
9.1-9.2	0	0.000	0	0.000	0	0.000	0	0.000	2	0.007	30000	
9.0-9.1	0	0.000	0	0.000	0	0.000	0	0.000	18	0.060	30000	
8.9-9.0	0	0.000	0	0.000	0	0.000	0	0.000	8	0.027	30000	
8.8-8.9	0	0.000	0	0.000	0	0.000	0	0.000	7	0.023	30000	
8.7-8.8	0	0.000	0	0.000	1	0.003	0	0.000	17	0.057	30000	
8.6-8.7	0	0.000	0	0.000	0	0.000	0	0.000	18	0.060	30000	
8.5-8.6	0	0.000	0	0.000	1	0.003	0	0.000	27	0.090	30000	
8.4-8.5	0	0.000	0	0.000	0	0.000	0	0.000	29	0.097	30000	
8.3-8.4	0	0.000	0	0.000	0	0.000	0	0.000	24	0.080	30000	
8.2-8.3	0	0.000	0	0.000	1	0.003	0	0.000	38	0.127	30000	
8.1-8.2	0	0.000	0	0.000	5	0.017	0	0.000	11	0.037	30000	
8.0-8.1	0	0.000	0	0.000	2	0.007	0	0.000	8	0.027	30000	
7.9-8.0	0	0.000	0	0.000	1	0.003	0	0.000	0	0.000	30000	
7.8-7.9	0	0.000	0	0.000	5	0.017	0	0.000	0	0.000	30000	
7.7-7.8	0	0.000	0	0.000	3	0.010	0	0.000	0	0.000	30000	
7.6-7.7	0	0.000	0	0.000	2	0.007	0	0.000	0	0.000	30000	
7.5-7.6	0	0.000	0	0.000	1	0.003	0	0.000	0	0.000	30000	
7.4-7.5	0	0.000	0	0.000	3	0.010	0	0.000	0	0.000	30000	
7.3-7.4	0	0.000	0	0.000	2	0.007	0	0.000	0	0.000	30000	
7.2-7.3	0	0.000	0	0.000	1	0.003	0	0.000	0	0.000	30000	
7.1-7.2	0	0.000	0	0.000	1	0.003	0	0.000	0	0.000	30000	
7.0-7.1	0	0.000	0	0.000	2	0.007	0	0.000	0	0.000	30000	
6.9-7.0	0	0.000	0	0.000	0	0.000	0	0.000	0	0.000	30000	
6.8-6.9	0	0.000	0	0.000	2	0.007	0	0.000	0	0.000	30000	
6.7-6.8	0	0.000	0	0.000	1	0.003	0	0.000	0	0.000	30000	
6.6-6.7	0	0.000	0	0.000	0	0.000	0	0.000	0	0.000	30000	
6.5-6.6	0	0.000	0	0.000	0	0.000	0	0.000	0	0.000	30000	
6.4-6.5	0	0.000	0	0.000	1	0.003	0	0.000	0	0.000	30000	
6.3-6.4	0	0.000	0	0.000	0	0.000	0	0.000	0	0.000	30000	
6.2-6.3	0	0.000	0	0.000	0	0.000	0	0.000	0	0.000	30000	
6.1-6.2	0	0.000	0	0.000	2	0.007	0	0.000	0	0.000	30000	
6.0-6.1	0	0.000	0	0.000	0	0.000	0	0.000	0	0.000	30000	

D-1トレンチ(濃集分析)測線C

試料番号	火山ガラスの含有量		重鉱物の含有量			石英		観察粒子数	テフラ名			
	粒子数(個)	構成比率(%)	Opx	GHo	Cum	粒子数(個)	構成比率(%)					
5.9-6.0	0	0.000	0	0.000	0	0.000	0	0.000	0	0.000	30000	
5.8-5.9	0	0.000	0	0.000	0	0.000	0	0.000	1	0.003	30000	
5.7-5.8	0	0.000	0	0.000	0	0.000	0	0.000	0	0.000	30000	
5.6-5.7	0	0.000	0	0.000	0	0.000	0	0.000	0	0.000	30000	
5.5-5.6	0	0.000	0	0.000	0	0.000	0	0.000	0	0.000	30000	
5.4-5.5	0	0.000	0	0.000	0	0.000	0	0.000	0	0.000	30000	
5.3-5.4	0	0.000	0	0.000	0	0.000	0	0.000	0	0.000	30000	
5.2-5.3	0	0.000	0	0.000	0	0.000	0	0.000	0	0.000	30000	
5.1-5.2	0	0.000	0	0.000	0	0.000	0	0.000	0	0.000	30000	
5.0-5.1	0	0.000	0	0.000	0	0.000	0	0.000	0	0.000	30000	
4.9-5.0	0	0.000	0	0.000	0	0.000	0	0.000	0	0.000	30000	
4.8-4.9	0	0.000	0	0.000	0	0.000	0	0.000	0	0.000	30000	
4.7-4.8	0	0.000	0	0.000	0	0.000	0	0.000	0	0.000	30000	
4.6-4.7	0	0.000	0	0.000	0	0.000	0	0.000	0	0.000	30000	
4.5-4.6	0	0.000	0	0.000	0	0.000	0	0.000	0	0.000	30000	
4.4-4.5	0	0.000	0	0.000	0	0.000	0	0.000	0	0.000	30000	
4.3-4.4	0	0.000	0	0.000	1	0.003	0	0.000	0	0.000	30000	
4.2-4.3	0	0.000	0	0.000	0	0.000	0	0.000	0	0.000	30000	
4.1-4.2	0	0.000	0	0.000	5	0.017	0	0.000	1	0.003	30000	
4.0-4.1	0	0.000	0	0.000	0	0.000	0	0.000	0	0.000	30000	
3.9-4.0	0	0.000	0	0.000	0	0.000	0	0.000	0	0.000	30000	
3.8-3.9	0	0.000	0	0.000	0	0.000	0	0.000	0	0.000	30000	
3.7-3.8	0	0.000	0	0.000	1	0.003	0	0.000	0	0.000	30000	
3.6-3.7	0											

2.6 テフラ分析(粒子数)

D - 1トレンチ北西面 - 北面(その4)

D-1トレンチ(通常分析)測線D下

試料番号	火山ガラスの含有量		重鉱物の含有量			石英		観察粒子数	テフラ名			
	粒子数(個)	構成比率(%)	Opx	GHo	Cum	粒子数(個)	構成比率(%)					
114-11.5	0	0.000	2	0.007	71	0.237	0	0.000	30000			
113-11.4	0	0.000	1	0.003	81	0.270	0	0.000	30000			
112-11.3	0	0.000	1	0.003	31	0.103	0	0.000	30000			
111-11.2	0	0.000	0	0.000	1	0.003	0	0.000	30000			
110-11.1	0	0.000	0	0.000	0	0.000	0	0.000	30000			
109-11.0	0	0.000	0	0.000	0	0.000	0	0.000	30000			
108-10.9	0	0.000	0	0.000	0	0.000	0	0.000	30000			
1068-10.8	0	0.000	0	0.000	0	0.000	0	0.000	30000			
106-10.68	0	0.000	0	0.000	0	0.000	0	0.000	30000			
105-10.6	0	0.000	0	0.000	0	0.000	0	0.000	30000			
104-10.5	0	0.000	0	0.000	0	0.000	0	0.000	30000			
103-10.4	0	0.000	0	0.000	1	0.003	0	0.000	30000			
102-10.3	0	0.000	0	0.000	0	0.000	1	0.003	30000			
101-10.2	0	0.000	0	0.000	0	0.000	0	0.000	30000			
100-10.1	0	0.000	0	0.000	0	0.000	1	0.003	30000			
99-10.0	0	0.000	0	0.000	1	0.003	0	0.000	30000			
98-9.9	0	0.000	0	0.000	1	0.003	0	0.000	30000			
97-9.8	0	0.000	0	0.000	0	0.000	2	0.007	30000			
96-9.7	0	0.000	0	0.000	0	0.000	1	0.003	30000			
95-9.6	0	0.000	0	0.000	0	0.000	1	0.003	30000			
94-9.5	0	0.000	0	0.000	0	0.000	1	0.003	30000			
93-9.4	0	0.000	0	0.000	0	0.000	0	0.000	30000			
92-9.3	0	0.000	0	0.000	0	0.000	0	0.000	30000			
91-9.2	1	0.003	0	0.000	0	0.000	2	0.007	30000			
90-9.1	0	0.000	0	0.000	0	0.000	0	0.000	30000			
89-9.0	0	0.000	0	0.000	0	0.000	0	0.000	30000			
88-8.9	0	0.000	0	0.000	0	0.000	0	0.000	30000			
87-8.8	0	0.000	0	0.000	0	0.000	0	0.000	30000			
86-8.7	0	0.000	0	0.000	0	0.000	1	0.003	30000			
85-8.6	0	0.000	0	0.000	0	0.000	0	0.000	30000			
84-8.5	0	0.000	0	0.000	0	0.000	1	0.003	30000			
832-8.4	0	0.000	0	0.000	0	0.000	2	0.007	30000			
82-8.32	0	0.000	0	0.000	0	0.000	0	0.000	30000			
81-8.2	0	0.000	1	0.003	0	0.000	5	0.017	30000			
80-8.1	0	0.000	0	0.000	0	0.000	1	0.003	30000			
79-8.0	0	0.000	0	0.000	0	0.000	4	0.013	30000			
78-7.9	0	0.000	0	0.000	0	0.000	8	0.027	30000			
77-7.8	0	0.000	0	0.000	0	0.000	2	0.007	30000			
76-7.7	0	0.000	0	0.000	0	0.000	2	0.007	30000			
75-7.6	0	0.000	0	0.000	0	0.000	5	0.017	30000			
74-7.5	0	0.000	0	0.000	0	0.000	2	0.007	30000			
73-7.4	0	0.000	0	0.000	1	0.003	7	0.023	30000			
72-7.3	0	0.000	1	0.003	0	0.000	5	0.017	30000			
71-7.2	0	0.000	0	0.000	0	0.000	11	0.037	30000			
70-7.1	0	0.000	0	0.000	0	0.000	3	0.010	30000			
69-7.0	0	0.000	0	0.000	0	0.000	3	0.010	30000			
68-6.9	1	0.003	0	0.000	0	0.000	9	0.030	30000			
67-6.8	0	0.000	0	0.000	0	0.000	4	0.013	30000			
66-6.7	0	0.000	0	0.000	0	0.000	9	0.030	30000			
65-6.6	0	0.000	0	0.000	0	0.000	11	0.037	30000			
64-6.5	0	0.000	0	0.000	0	0.000	9	0.030	30000			
63-6.4	0	0.000	0	0.000	0	0.000	10	0.033	30000			
62-6.3	0	0.000	0	0.000	0	0.000	16	0.053	30000			
61-6.2	1	0.003	0	0.000	0	0.000	25	0.083	30000			
60-6.1	0	0.000	0	0.000	1	0.003	42	0.140	30000			
586-6.0	0	0.000	0	0.000	1	0.003	31	0.103	30000			
58-5.86	0	0.000	0	0.000	0	0.000	52	0.173	30000			
57-5.8	0	0.000	0	0.000	0	0.000	31	0.103	30000			
562-5.7	0	0.000	0	0.000	0	0.000	43	0.143	30000			
55-5.62	0	0.000	0	0.000	6	0.020	31	0.103	30000			
54-5.5	0	0.000	0	0.000	10	0.033	0	0.000	2	0.007	30000	Mh
53-5.4	0	0.000	0	0.000	2	0.007	0	0.000	0	0.000	30000	
52-5.3	0	0.000	0	0.000	1	0.003	0	0.000	0	0.000	30000	
51-5.2	0	0.000	0	0.000	0	0.000	0	0.000	0	0.000	30000	
50-5.1	0	0.000	0	0.000	0	0.000	0	0.000	0	0.000	30000	
49-5.0	0	0.000	0	0.000	0	0.000	0	0.000	0	0.000	30000	
48-4.9	0	0.000	0	0.000	0	0.000	0	0.000	0	0.000	30000	
468-4.8	0	0.000	0	0.000	0	0.000	0	0.000	0	0.000	30000	
46-4.68	0	0.000	0	0.000	0	0.000	0	0.000	0	0.000	30000	
45-4.6	0	0.000	0	0.000	0	0.000	0	0.000	0	0.000	30000	
443-4.5	0	0.000	0	0.000	0	0.000	0	0.000	0	0.000	30000	
43-4.43	0	0.000	0	0.000	0	0.000	0	0.000	0	0.000	30000	
42-4.3	0	0.000	0	0.000	0	0.000	0	0.000	0	0.000	30000	
41-4.2	0	0.000	0	0.000	0	0.000	0	0.000	0	0.000	30000	
40-4.1	0	0.000	0	0.000	0	0.000	0	0.000	0	0.000	30000	

D-1トレンチ(濃集分析)測線D下

試料番号	火山ガラスの含有量		重鉱物の含有量			石英		観察粒子数	テフラ名			
	粒子数(個)	構成比率(%)	Opx	GHo	Cum	粒子数(個)	構成比率(%)					
39-4.0	0	0.000	0	0.000	0	0.000	0	0.000	30000			
38-3.9	0	0.000	0	0.000	0	0.000	0	0.000	30000			
37-3.8	0	0.000	0	0.000	0	0.000	0	0.000	30000			
358-3.7	0	0.000	0	0.000	0	0.000	0	0.000	30000			
35-3.56	0	0.000	0	0.000	0	0.000	0	0.000	30000			
34-3.5	0	0.000	0	0.000	0	0.000	0	0.000	30000			
33-3.4	0	0.000	0	0.000	0	0.000	0	0.000	30000			
32-3.3	0	0.000	0	0.000	0	0.000	0	0.000	30000			
31-3.2	0	0.000	0	0.000	0	0.000	0	0.000	30000			
30-3.1	0	0.000	0	0.000	0	0.000	1	0.003	30000			
29-3.0	0	0.000	0	0.000	0	0.000	0	0.000	30000			
28-2.8	0	0.000	0	0.000	0	0.000	0	0.000	1	0.003	30000	
27-2.8	0	0.000	0	0.000	0	0.000	0	0.000	0	0.000	30000	
26-2.7	0	0.000	0	0.000	0	0.000	0	0.000	0	0.000	30000	
25-2.6	0	0.000	0	0.000	0	0.000	0	0.000	0	0.000	30000	
24-2.5	0	0.000	0	0.000	0	0.000	0	0.000	0	0.000	30000	
23-2.4	0	0.000	0	0.000	0	0.000	0	0.000	0	0.000	30000	
22-2.3	0	0.000	0	0.000	0	0.000	0	0.000	0	0.000	30000	
21-2.2	0	0.000	0	0.000	2	0.007	0	0.000	0	0.000	30000	
20-2.1	0	0.000	0	0.000	0	0.000	0	0.000	0	0.000	30000	
19-2.0	0	0.000	0	0.000	0	0.000	0	0.000	0	0.000	30000	
18-1.9	0	0.000	0	0.000	0	0.000	0	0.000	0	0.000	30000	
17-1.8	0	0.000	0	0.000	0	0.000	0	0.000	0	0.000	30000	
16-1.7	0	0.000	0	0.000	0	0.000	0	0.000	0	0.000	30000	
15-1.6	0	0.000	0	0.000	0	0.000	0	0.000	0	0.000	30000	
14-1.5	0	0.000	0	0.000	0	0.000	0	0.000	0	0.000	30000	
13-1.4	0	0.000	0	0.000	0	0.000	0	0.000	0	0.000	30000	
12-1.3	0	0.000	0	0.000	0	0.000	0	0.000	0	0.000	30000	
11-1.2	0	0.000	0	0.000	0	0.000	0	0.000	0	0.000	30000	
10-1.1	0	0.000	0	0.000	0	0.000	0	0.000	0	0.000	30000	
9-1.0	0	0.000	0	0.000	0	0.000	0	0.000	0	0.000	30000	
8-0.9	0	0.000	0	0.000	0	0.000	0	0.000	0	0.000	30000	
7-0.8	0	0.000	0	0.000	0	0.000	1	0.003	30000			
6-0.7	0	0.000	0	0.000	1	0.003	0	0.000	4	0.013	30000	
5-0.6	0	0.000	0	0.000	0	0.000	0	0.000	0	0.000	30000	
4-0.5	0	0.000	0	0.000	0	0.000	0	0.000	0	0.000	30000	
3-0.4	0	0.000	0	0.000	0	0.000	0	0.000	0	0.000	30000	
2-0.3	0	0.000	0	0.000	0	0.000	0	0.000	0	0.000	30000	
1-0.2	0	0.000	0	0.000	0	0.000	0	0.000	0	0.000	30000	
0-0.1	0	0.000	0	0.000	0	0.000	0	0.000	0	0.000	30000	

試料番号	GHo	粒度組成 総試料重量(g)	テフラ名
5.9-6.0	32	1.91	
5.8-5.9	56	1.37	
5.7-5.8	69	2.01	
5.6-5.7	684	2.	

2.6 テフラ分析(粒子数)

D-1トレンチ北西面 - 北面(その5)

D-1トレンチ(通常分析)測線E

試料番号	火山ガラスの含有量		塵埃物の含有量				石英		観察粒子数	テフラ名	
	試料中の火山ガラス含有率(%)	試料中の火山ガラス含有率(%)	Opx	GHo	Cum	石英	石英				
141-142	0	0.000	0	0.000	0	0.000	0	0.000	30000		
140-141	0	0.000	0	0.000	0	0.000	1	0.003	30000		
138-140	0	0.000	0	0.000	0	0.000	0	0.000	30000		
138-139	0	0.000	0	0.000	0	0.000	0	0.000	30000		
137-138	0	0.000	0	0.000	0	0.000	1	0.003	30000		
136-137	0	0.000	0	0.000	0	0.000	2	0.007	30000		
135-136	0	0.000	0	0.000	0	0.000	2	0.007	30000		
134-135	0	0.000	0	0.000	0	0.000	2	0.007	30000		
133-134	0	0.000	0	0.000	1	0.003	0	0.000	30000		
132-133	0	0.000	0	0.000	0	0.000	0	0.000	30000		
131-132	0	0.000	1	0.003	0	0.000	1	0.003	30000		
129-131	0	0.000	0	0.000	0	0.000	1	0.003	30000		
129-130	0	0.000	0	0.000	0	0.000	1	0.003	30000		
128-129	0	0.000	0	0.000	0	0.000	0	0.000	30000		
127-128	0	0.000	0	0.000	0	0.000	1	0.003	30000		
125-127	0	0.000	0	0.000	0	0.000	2	0.007	30000		
125-126	0	0.000	0	0.000	0	0.000	0	0.000	30000		
124-125	0	0.000	0	0.000	0	0.000	1	0.003	30000		
123-124	0	0.000	1	0.003	0	0.000	3	0.011	30000		
122-123	0	0.000	2	0.007	0	0.000	2	0.007	30000		
121-122	0	0.000	0	0.000	0	0.000	5	0.017	30000		
120-121	0	0.000	0	0.000	0	0.000	6	0.020	30000		
119-120	0	0.000	0	0.000	0	0.000	2	0.007	30000		
118-119	0	0.000	0	0.000	1	0.003	0	0.000	30000		
117-118	0	0.000	0	0.000	0	0.000	3	0.011	30000		
116-117	0	0.000	0	0.000	0	0.000	10	0.033	30000		
115-116	0	0.000	0	0.000	0	0.000	11	0.037	30000		
114-115	0	0.000	0	0.000	0	0.000	12	0.040	30000		
113-114	0	0.000	0	0.000	0	0.000	10	0.033	30000		
112-113	0	0.000	2	0.007	1	0.003	12	0.040	30000		
111-112	0	0.000	0	0.000	0	0.000	0	0.000	30000		
110-111	0	0.000	0	0.000	0	0.000	9	0.030	30000		
109-110	0	0.000	1	0.003	0	0.000	11	0.037	30000		
108-109	0	0.000	0	0.000	0	0.000	13	0.043	30000		
107-108	0	0.000	1	0.003	1	0.003	0	0.000	30000		
106-107	0	0.000	0	0.000	0	0.000	15	0.050	30000		
105-106	1	0.003	0	0.000	0	0.000	15	0.050	30000		
104-105	0	0.000	0	0.000	0	0.000	27	0.089	30000		
103-104	0	0.000	0	0.000	0	0.000	18	0.062	30000		
102-103	0	0.000	0	0.000	0	0.000	17	0.057	30000		
101-102	1	0.003	1	0.003	4	0.013	0	0.000	15	0.050	30000
99-101	0	0.000	0	0.000	0	0.000	21	0.063	30000		
99-100	2	0.007	0	0.000	0	0.000	37	0.123	30000		
98-99	0	0.000	0	0.000	0	0.000	0	0.000	30000		
97-98	0	0.000	0	0.000	0	0.000	0	0.000	30000		
96-97	0	0.000	0	0.000	0	0.000	0	0.000	30000		
95-96	0	0.000	0	0.000	0	0.000	0	0.000	30000		
94-95	0	0.000	0	0.000	0	0.000	0	0.000	30000		
93-94	0	0.000	0	0.000	0	0.000	1	0.003	30000		
92-93	0	0.000	0	0.000	0	0.000	0	0.000	30000		
91-92	0	0.000	0	0.000	1	0.003	0	0.000	30000		
90-91	0	0.000	0	0.000	0	0.000	1	0.003	30000		
89-90	0	0.000	0	0.000	2	0.007	0	0.000	30000		
88-89	0	0.000	0	0.000	2	0.007	0	0.000	30000		
87-88	0	0.000	0	0.000	0	0.000	0	0.000	30000		
86-87	0	0.000	0	0.000	8	0.027	0	0.000	30000		
85-86	0	0.000	0	0.000	12	0.040	0	0.000	30000		
84-85	0	0.000	0	0.000	7	0.023	0	0.000	30000		
83-84	0	0.000	0	0.000	15	0.050	0	0.000	30000		
82-83	0	0.000	0	0.000	7	0.023	0	0.000	30000		
81-82	0	0.000	0	0.000	9	0.030	0	0.000	30000		
80-81	0	0.000	0	0.000	4	0.013	0	0.000	30000		
79-80	0	0.000	0	0.000	0	0.000	0	0.000	30000		
78-79	0	0.000	0	0.000	0	0.000	0	0.000	30000		
77-78	0	0.000	0	0.000	0	0.000	0	0.000	30000		
76-77	0	0.000	0	0.000	0	0.000	0	0.000	30000		
75-76	0	0.000	0	0.000	0	0.000	0	0.000	30000		
74-75	0	0.000	0	0.000	0	0.000	0	0.000	30000		
73-74	0	0.000	0	0.000	0	0.000	0	0.000	30000		
72-73	0	0.000	0	0.000	0	0.000	0	0.000	30000		
71-72	0	0.000	0	0.000	0	0.000	0	0.000	30000		
70-71	0	0.000	0	0.000	0	0.000	0	0.000	30000		
69-70	0	0.000	0	0.000	0	0.000	0	0.000	30000		
68-69	0	0.000	0	0.000	0	0.000	0	0.000	30000		
67-68	0	0.000	0	0.000	0	0.000	0	0.000	30000		
66-67	0	0.000	0	0.000	0	0.000	0	0.000	30000		
65-66	0	0.000	0	0.000	0	0.000	0	0.000	30000		
64-65	0	0.000	0	0.000	0	0.000	0	0.000	30000		
63-64	0	0.000	0	0.000	0	0.000	0	0.000	30000		
62-63	0	0.000	0	0.000	0	0.000	0	0.000	30000		
61-62	0	0.000	0	0.000	0	0.000	0	0.000	30000		
60-61	0	0.000	0	0.000	0	0.000	0	0.000	30000		
59-60	0	0.000	0	0.000	0	0.000	0	0.000	30000		
58-59	0	0.000	0	0.000	0	0.000	0	0.000	30000		
57-58	0	0.000	0	0.000	0	0.000	0	0.000	30000		
56-57	0	0.000	0	0.000	0	0.000	0	0.000	30000		
55-56	0	0.000	0	0.000	0	0.000	0	0.000	30000		
54-55	0	0.000	0	0.000	0	0.000	0	0.000	30000		
53-54	0	0.000	0	0.000	0	0.000	0	0.000	30000		
52-53	0	0.000	0	0.000	0	0.000	0	0.000	30000		
51-52	0	0.000	0	0.000	0	0.000	0	0.000	30000		
50-51	0	0.000	0	0.000	0	0.000	0	0.000	30000		
49-50	0	0.000	0	0.000	0	0.000	0	0.000	30000		
48-49	0	0.000	0	0.000	0	0.000	0	0.000	30000		
47-48	0	0.000	0	0.000	0	0.000	0	0.000	30000		
46-47	0	0.000	0	0.000	0	0.000	0	0.000	30000		
45-46	0	0.000	0	0.000	0	0.000	0	0.000	30000		
44-45	0	0.000	0	0.000	0	0.000	0	0.000	30000		
43-44	0	0.000	0	0.000	0	0.000	0	0.000	30000		
42-43	0	0.000	0	0.000	0	0.000	0	0.000	30000		
41-42	0	0.000	0	0.000	0	0.000	0	0.000	30000		
40-41	0	0.000	0	0.000	0	0.000	0	0.000	30000		

D-1トレンチ(通常分析)測線E

試料番号	火山ガラスの含有量		塵埃物の含有量				石英		観察粒子数	テフラ名
	試料中の火山ガラス含有率(%)	試料中の火山ガラス含有率(%)	Opx	GHo	Cum	石英	石英			
39-40	0	0.000	0	0.000	0	0.000	0	0.000	30000	
38-39	0	0.000	0	0.000	0	0.000	0	0.000	30000	
37-38	0	0.000	0	0.000	0	0.000	0	0.000	30000	
36-37	0	0.000	0	0.000	0	0.000	0	0.000	30000	
35-36	0	0.000	0	0.000	0	0.000	0	0.000	30000	
34-35	0	0.000	0	0.000	0	0.000	0	0.000	30000	
33-34	0	0.000	0	0.000	0	0.000	0	0.000	30000	
32-33	0	0.000	0	0.000	0	0.000	0	0.000	30000	
31-32	0	0.000	0	0.000	0	0.000	0	0.000	30000	
30-31	0	0.000	0	0.000	0	0.000	0	0.000	30000	
29-30	0	0.000	0	0.000	0	0.000	0	0.000	30000	
28-29	0	0.000	0	0.000	0	0.000	0	0.000	30000	
27-28	0	0.000	0	0.000	0	0.000	0	0.000	30000	
26-27	0	0.000	0	0.000	0	0.000	0	0.000	30000	
25-26	0	0.000	0	0.000	0	0.000	0	0.000	30000	
24-25	0	0.000	0	0.000	0	0.000	0	0.000	30000	
23-24	0	0.000	0	0.000	0	0.000	0	0.000	30000	
22-23	0	0.000	0	0.000	0	0.000	0	0.000	30000	
21-22	0	0.000	0	0.000	0	0.000	0	0.000	30000	
20-21	0	0.000	0	0.000	0	0.000	0	0.000	30000	
19-20	0	0.000	0	0.000	0	0.000	0	0.000	30000	
18-19	0	0.000	0	0.000	0	0.000	0	0.000	30000	
17-18	0	0.000	0	0.000	0	0.000	0	0.000	30000	
16-17	0	0.000	0	0.000	0					

2.6 テフラ分析(粒子数)

D - 1トレンチ北西面 - 北面(その6)

D-1トレンチ(通常分析)測線F

試料番号	火山ガラスの含有量		重鉱物の含有量						石英		観察粒子数	テフラ名
	粒子数 (個)	構成比率 (%)	Opx		Gho		Cum		粒子数 (個)	構成比率 (%)		
			粒子数 (個)	構成比率 (%)	粒子数 (個)	構成比率 (%)	粒子数 (個)	構成比率 (%)				
119-12.0	0	0.000	0	0.000	0	0.000	0	0.000	0	0.000	30000	
118-11.9	0	0.000	0	0.000	0	0.000	0	0.000	0	0.000	30000	
117-11.8	0	0.000	0	0.000	0	0.000	0	0.000	0	0.000	30000	
116-11.7	0	0.000	0	0.000	0	0.000	0	0.000	0	0.000	30000	
115-11.6	0	0.000	0	0.000	0	0.000	0	0.000	0	0.000	30000	
1138-11.5	0	0.000	0	0.000	0	0.000	0	0.000	0	0.000	30000	
11.3-11.38	0	0.000	0	0.000	0	0.000	0	0.000	0	0.000	30000	
11.2-11.3	0	0.000	0	0.000	1	0.003	0	0.000	0	0.000	30000	
11.1-11.2	1	0.003	1	0.003	0	0.000	0	0.000	0	0.000	30000	
11.0-11.1	0	0.000	0	0.000	0	0.000	0	0.000	1	0.003	30000	
10.9-11.0	0	0.000	0	0.000	0	0.000	0	0.000	0	0.000	30000	
10.8-10.9	0	0.000	1	0.003	0	0.000	0	0.000	0	0.000	30000	
10.7-10.8	0	0.000	0	0.000	0	0.000	0	0.000	0	0.000	30000	
10.6-10.7	0	0.000	0	0.000	1	0.003	0	0.000	0	0.000	30000	
10.5-10.6	0	0.000	0	0.000	0	0.000	0	0.000	0	0.000	30000	
10.36-10.5	0	0.000	0	0.000	0	0.000	0	0.000	1	0.003	30000	
10.3-10.36	0	0.000	0	0.000	0	0.000	0	0.000	1	0.003	30000	
10.2-10.3	0	0.000	0	0.000	0	0.000	0	0.000	1	0.003	30000	
10.1-10.2	0	0.000	0	0.000	0	0.000	0	0.000	0	0.000	30000	
10.0-10.1	0	0.000	1	0.003	0	0.000	0	0.000	5	0.017	30000	
9.9-10.0	1	0.003	0	0.000	0	0.000	0	0.000	1	0.003	30000	
9.8-9.9	0	0.000	0	0.000	1	0.003	0	0.000	1	0.003	30000	
9.7-9.8	0	0.000	0	0.000	0	0.000	0	0.000	8	0.027	30000	
9.6-9.7	0	0.000	0	0.000	0	0.000	0	0.000	5	0.017	30000	
9.5-9.6	0	0.000	0	0.000	0	0.000	0	0.000	6	0.020	30000	
9.4-9.5	0	0.000	0	0.000	0	0.000	0	0.000	8	0.027	30000	
9.3-9.4	1	0.003	0	0.000	0	0.000	0	0.000	15	0.050	30000	
9.2-9.3	0	0.000	0	0.000	0	0.000	0	0.000	8	0.027	30000	
9.1-9.2	0	0.000	0	0.000	0	0.000	0	0.000	0	0.000	30000	
9.0-9.1	0	0.000	0	0.000	0	0.000	0	0.000	0	0.000	30000	
8.9-9.0	0	0.000	1	0.003	0	0.000	0	0.000	20	0.067	30000	
8.8-8.9	0	0.000	0	0.000	1	0.003	0	0.000	23	0.077	30000	
8.7-8.8	1	0.003	1	0.003	1	0.003	0	0.000	36	0.120	30000	
8.6-8.7	0	0.000	0	0.000	0	0.000	0	0.000	20	0.067	30000	
8.5-8.6	0	0.000	0	0.000	0	0.000	0	0.000	86	0.287	30000	
8.4-8.5	0	0.000	0	0.000	1	0.003	0	0.000	138	0.460	30000	
8.3-8.4	11	0.040	0	0.000	0	0.000	0	0.000	321	1.070	30000	
8.2-8.3	0	0.000	0	0.000	0	0.000	0	0.000	423	1.410	30000	K-Tz
8.1-8.2	0	0.000	0	0.000	0	0.000	0	0.000	9	0.030	30000	
8.02-8.1	0	0.000	0	0.000	0	0.000	0	0.000	0	0.000	30000	
7.9-8.02	0	0.000	0	0.000	0	0.000	0	0.000	0	0.000	30000	
7.8-7.9	0	0.000	0	0.000	0	0.000	0	0.000	0	0.000	30000	
7.7-7.8	0	0.000	0	0.000	0	0.000	0	0.000	0	0.000	30000	
7.6-7.7	0	0.000	0	0.000	0	0.000	0	0.000	0	0.000	30000	
7.5-7.6	0	0.000	0	0.000	0	0.000	0	0.000	0	0.000	30000	
7.4-7.5	0	0.000	0	0.000	0	0.000	0	0.000	0	0.000	30000	
7.3-7.4	0	0.000	0	0.000	0	0.000	0	0.000	0	0.000	30000	
7.2-7.3	0	0.000	0	0.000	0	0.000	0	0.000	0	0.000	30000	
7.1-7.2	0	0.000	0	0.000	0	0.000	0	0.000	0	0.000	30000	
7.0-7.1	0	0.000	0	0.000	0	0.000	0	0.000	0	0.000	30000	
6.9-7.0	0	0.000	0	0.000	1	0.003	0	0.000	0	0.000	30000	
6.8-6.9	0	0.000	0	0.000	1	0.003	0	0.000	0	0.000	30000	
6.67-6.8	0	0.000	0	0.000	5	0.017	0	0.000	0	0.000	30000	
6.6-6.67	0	0.000	0	0.000	2	0.007	0	0.000	0	0.000	30000	
6.5-6.6	0	0.000	0	0.000	5	0.017	0	0.000	1	0.003	30000	
6.4-6.5	0	0.000	0	0.000	2	0.007	0	0.000	0	0.000	30000	
6.3-6.4	0	0.000	0	0.000	6	0.020	0	0.000	0	0.000	30000	
6.2-6.3	0	0.000	0	0.000	6	0.020	0	0.000	5	0.017	30000	
6.1-6.2	0	0.000	0	0.000	5	0.017	0	0.000	0	0.000	30000	
6.0-6.1	0	0.000	0	0.000	12	0.040	0	0.000	0	0.000	30000	
5.9-6.0	0	0.000	0	0.000	9	0.030	0	0.000	0	0.000	30000	
5.8-5.9	0	0.000	0	0.000	29	0.097	2	0.007	0	0.000	30000	
5.7-5.8	0	0.000	0	0.000	27	0.090	0	0.000	0	0.000	30000	
5.6-5.7	0	0.000	0	0.000	39	0.130	1	0.003	0	0.000	30000	
5.5-5.6	0	0.000	0	0.000	66	0.220	1	0.003	0	0.000	30000	
5.4-5.5	0	0.000	0	0.000	25	0.083	0	0.000	0	0.000	30000	
5.26-5.4	0	0.000	0	0.000	35	0.117	0	0.000	0	0.000	30000	Mh
5.2-5.26	0	0.000	0	0.000	24	0.080	0	0.000	0	0.000	30000	
5.1-5.2	0	0.000	0	0.000	23	0.077	0	0.000	0	0.000	30000	
5.0-5.1	0	0.000	0	0.000	8	0.027	0	0.000	0	0.000	30000	
4.9-5.0	0	0.000	0	0.000	1	0.003	0	0.000	0	0.000	30000	
4.8-4.9	0	0.000	0	0.000	9	0.030	0	0.000	0	0.000	30000	
4.7-4.8	0	0.000	0	0.000	2	0.007	0	0.000	0	0.000	30000	
4.6-4.7	0	0.000	0	0.000	0	0.000	0	0.000	0	0.000	30000	
4.5-4.6	0	0.000	0	0.000	0	0.000	0	0.000	0	0.000	30000	
4.4-4.5	0	0.000	0	0.000	1	0.003	0	0.000	0	0.000	30000	
4.3-4.4	0	0.000	0	0.000	0	0.000	0	0.000	0	0.000	30000	
4.2-4.3	0	0.000	0	0.000	0	0.000	0	0.000	0	0.000	30000	
4.13-4.2	0	0.000	0	0.000	0	0.000	0	0.000	0	0.000	30000	
4.0-4.13	0	0.000	0	0.000	0	0.000	0	0.000	0	0.000	30000	

試料番号	火山ガラスの含有量		重鉱物の含有量						石英		観察粒子数	テフラ名
	粒子数 (個)	構成比率 (%)	Opx		Gho		Cum		粒子数 (個)	構成比率 (%)		
			粒子数 (個)	構成比率 (%)	粒子数 (個)	構成比率 (%)	粒子数 (個)	構成比率 (%)				
3.9-4.0	0	0.000	0	0.000	0	0.000	0	0.000	0	0.000	30000	
3.8-3.9	0	0.000	0	0.000	0	0.000	0	0.000	0	0.000	30000	
3.7-3.8	0	0.000	0	0.000	0	0.000	0	0.000	0	0.000	30000	
3.6-3.7	0	0.000	0	0.000	0	0.000	0	0.000	0	0.000	30000	
3.5-3.6	0	0.000	0	0.000	0	0.000	0	0.000	0	0.000	30000	
3.4-3.5	0	0.000	0	0.000	0	0.000	0	0.000	0	0.000	30000	
3.3-3.4	0	0.000	0	0.000	0	0.000	0	0.000	0	0.000	30000	
3.2-3.3	0	0.000	0	0.000	0	0.000	0	0.000	0	0.000	30000	
3.1-3.2	0	0.000	0	0.000	0	0.000	0	0.000	0	0.000	30000	
3.0-3.1	0	0.000	0	0.000	0	0.000	0	0.000	0	0.000	30000	
2.9-3.0	0	0.000	0	0.000	0	0.000	0	0.000	0	0.000	30000	
2.8-2.9	0	0.000	0	0.000	0	0.000	0	0.000	0	0.000	30000	
2.7-2.8	0	0.000	0	0.000	0	0.000	0	0.000	0	0.000	30000	
2.6-2.7	0	0.000	0	0.000	0	0.000	0	0.000	0	0.000	30000	
2.5-2.6	0	0.000	0	0.000	0	0.000	0	0.000	0	0.000	30000	
2.4-2.5	0	0.000	0	0.000	0	0.000	0	0.000	0	0.000	30000	
2.3-2.4	0	0.000	0	0.000	0	0.000	0	0.000	0	0.000	30000	
2.2-2.3	0	0.000	0	0.000	0	0.000	0	0.000	0	0.000	30000	
2.1-2.2	0	0.000	0	0.000	0	0.000	0	0.000	0	0.000	30000	
2.0-2.1	0	0.000	0	0.000	0	0.000	0	0.000	0	0.000	30000	
1.9-2.0	0	0.000	0	0.000	0	0.000	0	0.000	0	0.000	30000	
1.8-1.9	0	0.000	0	0.000	0	0.000	0	0.000	0	0.000	30000	
1.7-1.8	0	0.000	0	0.000	0	0.000	0	0.000	0	0.000	30000	
1.6-1.7	0	0.000	0	0.000	0	0.000	0	0.000	0	0.000	30000	



2.6 テフラ分析(粒子数)

D - 1トレンチ北西面 - 北面(その8)

D-1トレンチ(通常分析)測線H

試料番号	火山ガラスの含有量		重鉱物の含有量						石英		観察粒子数	テフラ名
	粒子数(個)	構成比率(%)	Opx		Gho		Cum		粒子数(個)	構成比率(%)		
			粒子数(個)	構成比率(%)	粒子数(個)	構成比率(%)	粒子数(個)	構成比率(%)				
79-8.0	0	0.000	0	0.000	0	0.000	0	0.000	0	0.000	30000	
78-7.9	0	0.000	0	0.000	0	0.000	0	0.000	0	0.000	30000	
77-7.8	0	0.000	0	0.000	0	0.000	0	0.000	0	0.000	30000	
76-7.7	0	0.000	0	0.000	0	0.000	0	0.000	0	0.000	30000	
75-7.6	0	0.000	0	0.000	0	0.000	0	0.000	0	0.000	30000	
74-7.5	0	0.000	0	0.000	0	0.000	0	0.000	0	0.000	30000	
73-7.4	0	0.000	0	0.000	0	0.000	0	0.000	0	0.000	30000	
72-7.3	0	0.000	0	0.000	0	0.000	0	0.000	0	0.000	30000	
71-7.2	0	0.000	0	0.000	0	0.000	0	0.000	0	0.000	30000	
70-7.1	0	0.000	0	0.000	1	0.003	0	0.000	0	0.000	30000	
69-7.0	0	0.000	0	0.000	1	0.003	0	0.000	0	0.000	30000	
68-6.9	0	0.000	0	0.000	2	0.007	0	0.000	0	0.000	30000	
67-6.8	0	0.000	0	0.000	2	0.007	1	0.003	0	0.000	30000	
66-6.7	0	0.000	0	0.000	1	0.003	0	0.000	1	0.003	30000	
65-6.6	0	0.000	0	0.000	0	0.000	0	0.000	0	0.000	30000	
64-6.5	0	0.000	0	0.000	0	0.000	0	0.000	0	0.000	30000	
63-6.4	0	0.000	0	0.000	0	0.000	0	0.000	0	0.000	30000	
62-6.3	0	0.000	0	0.000	0	0.000	0	0.000	0	0.000	30000	
61-6.2	0	0.000	0	0.000	0	0.000	0	0.000	0	0.000	30000	
60-6.1	0	0.000	0	0.000	0	0.000	0	0.000	0	0.000	30000	
59-6.0	0	0.000	0	0.000	1	0.003	0	0.000	0	0.000	30000	
58-5.9	0	0.000	0	0.000	0	0.000	0	0.000	0	0.000	30000	
57-5.8	0	0.000	0	0.000	0	0.000	0	0.000	0	0.000	30000	
56-5.7	0	0.000	0	0.000	1	0.003	0	0.000	0	0.000	30000	
55-5.6	0	0.000	0	0.000	0	0.000	0	0.000	0	0.000	30000	
54-5.5	0	0.000	0	0.000	1	0.003	0	0.000	0	0.000	30000	
53-5.4	0	0.000	0	0.000	1	0.003	0	0.000	0	0.000	30000	
52-5.3	0	0.000	0	0.000	1	0.003	0	0.000	0	0.000	30000	
51-5.2	0	0.000	0	0.000	0	0.000	0	0.000	0	0.000	30000	
50-5.1	0	0.000	0	0.000	0	0.000	0	0.000	0	0.000	30000	
49-5.0	0	0.000	0	0.000	0	0.000	0	0.000	0	0.000	30000	
48-4.9	0	0.000	0	0.000	0	0.000	0	0.000	0	0.000	30000	
47-4.8	0	0.000	0	0.000	0	0.000	0	0.000	0	0.000	30000	
46-4.7	0	0.000	0	0.000	0	0.000	0	0.000	0	0.000	30000	
45-4.6	0	0.000	0	0.000	1	0.003	0	0.000	0	0.000	30000	
44-4.5	0	0.000	0	0.000	0	0.000	0	0.000	0	0.000	30000	
43-4.4	0	0.000	0	0.000	0	0.000	0	0.000	0	0.000	30000	
42-4.3	0	0.000	0	0.000	0	0.000	0	0.000	0	0.000	30000	
41-4.2	0	0.000	0	0.000	0	0.000	0	0.000	0	0.000	30000	
40-4.1	0	0.000	0	0.000	0	0.000	0	0.000	0	0.000	30000	
39-4.0	0	0.000	0	0.000	0	0.000	0	0.000	0	0.000	30000	
38-3.9	0	0.000	0	0.000	0	0.000	0	0.000	0	0.000	30000	
37-3.8	0	0.000	0	0.000	1	0.003	0	0.000	0	0.000	30000	
36-3.7	0	0.000	0	0.000	0	0.000	0	0.000	0	0.000	30000	
35-3.6	0	0.000	0	0.000	0	0.000	0	0.000	0	0.000	30000	
34-3.5	0	0.000	0	0.000	0	0.000	0	0.000	0	0.000	30000	
33-3.4	0	0.000	0	0.000	0	0.000	0	0.000	0	0.000	30000	
32-3.3	0	0.000	0	0.000	0	0.000	0	0.000	0	0.000	30000	
31-3.2	0	0.000	0	0.000	0	0.000	0	0.000	0	0.000	30000	
30-3.1	0	0.000	0	0.000	0	0.000	0	0.000	0	0.000	30000	
29-3.0	0	0.000	0	0.000	0	0.000	0	0.000	0	0.000	30000	
28-2.9	0	0.000	0	0.000	0	0.000	0	0.000	0	0.000	30000	
27-2.8	0	0.000	0	0.000	0	0.000	0	0.000	0	0.000	30000	
26-2.7	0	0.000	0	0.000	0	0.000	0	0.000	0	0.000	30000	
25-2.6	0	0.000	0	0.000	0	0.000	0	0.000	0	0.000	30000	
24-2.5	0	0.000	0	0.000	0	0.000	0	0.000	0	0.000	30000	
23-2.4	0	0.000	0	0.000	0	0.000	0	0.000	0	0.000	30000	
22-2.3	0	0.000	0	0.000	0	0.000	0	0.000	0	0.000	30000	
21-2.2	0	0.000	0	0.000	0	0.000	0	0.000	0	0.000	30000	
20-2.1	0	0.000	0	0.000	0	0.000	0	0.000	0	0.000	30000	
19-2.0	0	0.000	0	0.000	0	0.000	0	0.000	0	0.000	30000	
18-1.9	0	0.000	0	0.000	0	0.000	0	0.000	0	0.000	30000	
17-1.8	0	0.000	0	0.000	0	0.000	0	0.000	0	0.000	30000	
16-1.7	0	0.000	0	0.000	0	0.000	0	0.000	0	0.000	30000	
15-1.6	0	0.000	0	0.000	0	0.000	0	0.000	0	0.000	30000	
14-1.5	0	0.000	0	0.000	0	0.000	0	0.000	0	0.000	30000	
13-1.4	0	0.000	0	0.000	0	0.000	0	0.000	0	0.000	30000	
12-1.3	0	0.000	0	0.000	0	0.000	0	0.000	0	0.000	30000	
11-1.2	0	0.000	0	0.000	0	0.000	0	0.000	0	0.000	30000	
10-1.1	0	0.000	0	0.000	0	0.000	0	0.000	0	0.000	30000	
09-1.0	0	0.000	0	0.000	0	0.000	0	0.000	0	0.000	30000	
08-0.9	0	0.000	0	0.000	0	0.000	0	0.000	0	0.000	30000	
07-0.8	0	0.000	0	0.000	0	0.000	0	0.000	0	0.000	30000	
06-0.7	0	0.000	0	0.000	0	0.000	0	0.000	0	0.000	30000	
05-0.6	0	0.000	0	0.000	0	0.000	0	0.000	0	0.000	30000	
04-0.5	0	0.000	0	0.000	0	0.000	0	0.000	0	0.000	30000	
03-0.4	0	0.000	0	0.000	0	0.000	0	0.000	0	0.000	30000	
02-0.3	0	0.000	0	0.000	0	0.000	0	0.000	0	0.000	30000	
01-0.2	0	0.000	0	0.000	0	0.000	0	0.000	0	0.000	30000	
00-0.1	0	0.000	0	0.000	0	0.000	0	0.000	0	0.000	30000	





## 2.6 テフラ分析(粒子数) 原電道路ピット東向き面

原電道路ピット(通常分析)\_測線 -1

試料番号	火山ガラスの含有量		重鉱物の含有量						石英		観察粒子母数	テフラ名
	粒子数(個)	濃度比率(%)	Opx 粒子数(個)	濃度比率(%)	GHo 粒子数(個)	濃度比率(%)	Cum 粒子数(個)	濃度比率(%)	粒子数(個)	濃度比率(%)		
3.0-3.1	0	0.0	0	0.0	0	0.0	0	0.0	0	0.0	30000	
2.9-3.0	0	0.0	0	0.0	0	0.0	0	0.0	0	0.0	30000	
2.8-2.9	0	0.0	0	0.0	0	0.0	0	0.0	0	0.0	30000	
2.7-2.8	0	0.0	0	0.0	0	0.0	0	0.0	0	0.0	30000	
2.6-2.7	0	0.0	0	0.0	0	0.0	0	0.0	0	0.0	30000	
2.5-2.6	0	0.0	0	0.0	0	0.0	0	0.0	0	0.0	30000	
2.4-2.5	0	0.0	0	0.0	0	0.0	0	0.0	0	0.0	30000	
2.3-2.4	0	0.0	0	0.0	0	0.0	0	0.0	0	0.0	30000	
2.2-2.3	0	0.0	0	0.0	0	0.0	0	0.0	0	0.0	30000	
2.18-2.2	0	0.0	0	0.0	0	0.0	0	0.0	0	0.0	30000	
2.1-2.16	0	0.0	0	0.0	0	0.0	0	0.0	0	0.0	30000	
2.0-2.1	0	0.0	0	0.0	0	0.0	0	0.0	0	0.0	30000	
1.9-2.0	0	0.0	0	0.0	0	0.0	0	0.0	0	0.0	30000	
1.8-1.9	0	0.0	0	0.0	0	0.0	0	0.0	0	0.0	30000	ゴミ混じりMh混在
1.7-1.8	0	0.0	0	0.0	0	0.0	0	0.0	0	0.0	30000	
1.6-1.7	0	0.0	0	0.0	0	0.0	0	0.0	0	0.0	30000	
1.5-1.6	0	0.0	0	0.0	0	0.0	0	0.0	0	0.0	30000	
1.4-1.5	0	0.0	0	0.0	0	0.0	0	0.0	0	0.0	30000	
1.3-1.4	0	0.0	0	0.0	0	0.0	0	0.0	0	0.0	30000	
1.2-1.3	0	0.0	0	0.0	0	0.0	0	0.0	0	0.0	30000	Mh混在
1.1-1.2	0	0.0	0	0.0	0	0.0	0	0.0	0	0.0	30000	
1.0-1.1	0	0.0	0	0.0	0	0.0	0	0.0	0	0.0	30000	
0.9-1.0	0	0.0	0	0.0	0	0.0	0	0.0	0	0.0	30000	
0.8-0.9	0	0.0	0	0.0	0	0.0	0	0.0	0	0.0	30000	
0.7-0.8	0	0.0	0	0.0	0	0.0	0	0.0	0	0.0	30000	
0.6-0.7	0	0.0	0	0.0	0	0.0	0	0.0	0	0.0	30000	
0.5-0.6	0	0.0	0	0.0	0	0.0	0	0.0	0	0.0	30000	
0.4-0.5	0	0.0	0	0.0	0	0.0	0	0.0	0	0.0	30000	
0.3-0.4	0	0.0	0	0.0	0	0.0	0	0.0	0	0.0	30000	
0.2-0.3	0	0.0	0	0.0	0	0.0	0	0.0	0	0.0	30000	
0.1-0.2	0	0.0	0	0.0	0	0.0	0	0.0	0	0.0	30000	
0.0-0.1	0	0.0	0	0.0	0	0.0	0	0.0	0	0.0	30000	

原電道路ピット(通常分析)\_測線 -2

試料番号	火山ガラスの含有量		重鉱物の含有量						石英		観察粒子母数	テフラ名
	粒子数(個)	濃度比率(%)	Opx 粒子数(個)	濃度比率(%)	GHo 粒子数(個)	濃度比率(%)	Cum 粒子数(個)	濃度比率(%)	粒子数(個)	濃度比率(%)		
2.6-2.7	0	0.0	0	0.0	0	0.0	0	0.0	0	0.0	30000	
2.5-2.6	0	0.0	0	0.0	0	0.0	0	0.0	0	0.0	30000	
2.4-2.5	0	0.0	0	0.0	0	0.0	0	0.0	0	0.0	30000	
2.3-2.4	0	0.0	0	0.0	0	0.0	0	0.0	0	0.0	30000	
2.2-2.3	0	0.0	0	0.0	0	0.0	0	0.0	0	0.0	30000	
2.1-2.2	0	0.0	0	0.0	0	0.0	0	0.0	0	0.0	30000	
2.0-2.1	0	0.0	0	0.0	0	0.0	0	0.0	0	0.0	30000	
1.9-2.0	0	0.0	0	0.0	0	0.0	0	0.0	0	0.0	30000	
1.8-1.9	0	0.0	0	0.0	0	0.0	0	0.0	0	0.0	30000	
1.7-1.8	0	0.0	0	0.0	0	0.0	0	0.0	0	0.0	30000	
1.6-1.7	0	0.0	0	0.0	0	0.0	0	0.0	0	0.0	30000	
1.5-1.6	0	0.0	0	0.0	0	0.0	0	0.0	0	0.0	30000	
1.4-1.5	0	0.0	0	0.0	0	0.0	0	0.0	0	0.0	30000	
1.3-1.4	0	0.0	0	0.0	0	0.0	0	0.0	0	0.0	30000	
1.2-1.3	0	0.0	0	0.0	0	0.0	0	0.0	0	0.0	30000	
1.1-1.2	0	0.0	0	0.0	0	0.0	0	0.0	0	0.0	30000	
1.0-1.1	0	0.0	0	0.0	0	0.0	0	0.0	0	0.0	30000	
0.9-1.0	0	0.0	0	0.0	0	0.0	0	0.0	0	0.0	30000	
0.8-0.9	0	0.0	0	0.0	0	0.0	0	0.0	0	0.0	30000	
0.7-0.8	0	0.0	0	0.0	0	0.0	0	0.0	0	0.0	30000	
0.6-0.7	0	0.0	0	0.0	0	0.0	0	0.0	0	0.0	30000	
0.5-0.6	0	0.0	0	0.0	0	0.0	0	0.0	0	0.0	30000	
0.4-0.5	0	0.0	0	0.0	0	0.0	0	0.0	0	0.0	30000	
0.3-0.4	0	0.0	0	0.0	0	0.0	0	0.0	0	0.0	30000	
0.2-0.3	0	0.0	0	0.0	0	0.0	0	0.0	0	0.0	30000	
0.1-0.2	0	0.0	0	0.0	0	0.0	0	0.0	0	0.0	30000	
0.0-0.1	0	0.0	0	0.0	0	0.0	0	0.0	0	0.0	30000	

原電道路ピット(通常分析)\_測線 -3

試料番号	火山ガラスの含有量		重鉱物の含有量						石英		観察粒子母数	テフラ名
	粒子数(個)	濃度比率(%)	Opx 粒子数(個)	濃度比率(%)	GHo 粒子数(個)	濃度比率(%)	Cum 粒子数(個)	濃度比率(%)	粒子数(個)	濃度比率(%)		
1.1-1.2	0	0.0	0	0.0	0	0.0	0	0.0	0	0.0	30000	
1.0-1.1	0	0.0	0	0.0	0	0.0	0	0.0	0	0.0	30000	
0.9-1.0	0	0.0	0	0.0	0	0.0	0	0.0	0	0.0	30000	
0.8-0.9	0	0.0	0	0.0	0	0.0	0	0.0	0	0.0	30000	
0.7-0.8	0	0.0	0	0.0	0	0.0	0	0.0	0	0.0	30000	
0.6-0.7	0	0.0	0	0.0	0	0.0	0	0.0	0	0.0	30000	
0.5-0.6	0	0.0	0	0.0	0	0.0	0	0.0	0	0.0	30000	
0.4-0.5	0	0.0	0	0.0	0	0.0	0	0.0	0	0.0	30000	
0.3-0.4	0	0.0	0	0.0	0	0.0	0	0.0	0	0.0	30000	
0.2-0.3	0	0.0	0	0.0	0	0.0	0	0.0	0	0.0	30000	
0.1-0.2	0	0.0	0	0.0	0	0.0	0	0.0	0	0.0	30000	
0.0-0.1	0	0.0	0	0.0	0	0.0	0	0.0	0	0.0	30000	

Opx:斜方輝石 GHo:普通角閃石 Cum:カミングトン閃石

## 2.6 テフラ分析(粒子数) D - 1トレンチ南面

D-1トレンチ南面(通常分析)\_測線a

試料番号	火山ガラスの含有量		重鉱物の含有量						石英		観察粒子母数	テフラ名
	粒子数 (個)	構成 比率 (%)	Opx		GHo		Cum		粒子数 (個)	構成 比率 (%)		
			粒子数 (個)	構成 比率 (%)	粒子数 (個)	構成 比率 (%)	粒子数 (個)	構成 比率 (%)				
27-2.8	1	0.003	0	0.000	2	0.007	0	0.000	6	0.020	30000	
2.6-2.7	1	0.003	0	0.000	0	0.000	0	0.000	2	0.007	30000	
2.5-2.6	0	0.000	0	0.000	1	0.003	0	0.000	2	0.007	30000	
2.4-2.5	0	0.000	0	0.000	0	0.000	0	0.000	0	0.000	30000	
2.3-2.4	0	0.000	0	0.000	0	0.000	0	0.000	0	0.000	30000	
2.2-2.3	0	0.000	0	0.000	1	0.003	0	0.000	0	0.000	30000	
2.1-2.2	0	0.000	0	0.000	0	0.000	0	0.000	0	0.000	30000	
2.0-2.1	0	0.000	0	0.000	0	0.000	0	0.000	0	0.000	30000	
1.9-2.0	0	0.000	0	0.000	0	0.000	0	0.000	0	0.000	30000	
1.8-1.9	0	0.000	0	0.000	1	0.003	0	0.000	0	0.000	30000	
1.7-1.8	0	0.000	0	0.000	0	0.000	0	0.000	0	0.000	30000	
1.6-1.7	0	0.000	0	0.000	0	0.000	0	0.000	0	0.000	30000	
1.5-1.6	0	0.000	0	0.000	0	0.000	0	0.000	0	0.000	30000	
1.4-1.5	0	0.000	0	0.000	0	0.000	0	0.000	0	0.000	30000	
1.3-1.4	0	0.000	1	0.003	0	0.000	0	0.000	0	0.000	30000	
1.2-1.3	0	0.000	0	0.000	0	0.000	0	0.000	0	0.000	30000	
1.1-1.2	0	0.000	1	0.003	1	0.003	0	0.000	0	0.000	30000	
1.0-1.1	0	0.000	0	0.000	0	0.000	0	0.000	0	0.000	30000	
0.9-1.0	0	0.000	0	0.000	0	0.000	0	0.000	0	0.000	30000	
0.8-0.9	0	0.000	0	0.000	1	0.003	0	0.000	0	0.000	30000	
0.7-0.8	0	0.000	0	0.000	0	0.000	1	0.003	0	0.000	30000	
0.6-0.7	0	0.000	1	0.003	0	0.000	0	0.000	0	0.000	30000	
0.5-0.6	0	0.000	0	0.000	0	0.000	0	0.000	0	0.000	30000	
0.4-0.5	0	0.000	0	0.000	1	0.003	0	0.000	0	0.000	30000	
0.3-0.4	0	0.000	0	0.000	1	0.003	0	0.000	0	0.000	30000	
0.2-0.3	0	0.000	0	0.000	0	0.000	0	0.000	0	0.000	30000	
0.1-0.2	0	0.000	0	0.000	0	0.000	0	0.000	0	0.000	30000	
0.0-0.1	0	0.000	0	0.000	0	0.000	0	0.000	0	0.000	30000	

D-1トレンチ南面(通常分析)\_測線b

試料番号	火山ガラスの含有量		重鉱物の含有量						石英		観察粒子母数	テフラ名
	粒子数 (個)	構成 比率 (%)	Opx		GHo		Cum		粒子数 (個)	構成 比率 (%)		
			粒子数 (個)	構成 比率 (%)	粒子数 (個)	構成 比率 (%)	粒子数 (個)	構成 比率 (%)				
2.2-2.3	0	0.000	0	0.000	1	0.003	0	0.000	1	0.003	30000	
2.1-2.2	0	0.000	0	0.000	1	0.003	0	0.000	1	0.003	30000	
2.0-2.1	0	0.000	0	0.000	2	0.007	0	0.000	0	0.000	30000	
1.9-2.0	0	0.000	0	0.000	1	0.003	0	0.000	3	0.010	30000	
1.8-1.9	0	0.000	0	0.000	2	0.007	0	0.000	3	0.010	30000	
1.7-1.8	0	0.000	0	0.000	0	0.000	0	0.000	3	0.010	30000	
1.6-1.7	0	0.000	0	0.000	1	0.003	0	0.000	1	0.003	30000	
1.5-1.6	0	0.000	0	0.000	1	0.003	0	0.000	1	0.003	30000	
1.4-1.5	0	0.000	2	0.007	78	0.260	0	0.000	4	0.013	30000	
1.3-1.4	0	0.000	2	0.007	54	0.180	0	0.000	1	0.003	30000	
1.2-1.3	0	0.000	1	0.003	48	0.160	0	0.000	4	0.013	30000	K-Tz
1.1-1.2	0	0.000	0	0.000	3	0.010	0	0.000	1	0.003	30000	
1.0-1.1	0	0.000	0	0.000	2	0.007	0	0.000	1	0.003	30000	
0.9-1.0	0	0.000	0	0.000	2	0.007	0	0.000	1	0.003	30000	Mh(14/15)
0.8-0.9	0	0.000	0	0.000	0	0.000	0	0.000	0	0.000	30000	
0.7-0.8	0	0.000	0	0.000	2	0.007	0	0.000	0	0.000	30000	Mh(7/8)
0.6-0.7	0	0.000	0	0.000	0	0.000	0	0.000	0	0.000	30000	
0.5-0.6	0	0.000	0	0.000	4	0.013	0	0.000	0	0.000	30000	Mh(11/15)
0.4-0.5	0	0.000	0	0.000	1	0.003	0	0.000	0	0.000	30000	Mh(13/15)
0.3-0.4	0	0.000	0	0.000	0	0.000	0	0.000	0	0.000	30000	
0.2-0.3	0	0.000	0	0.000	0	0.000	0	0.000	0	0.000	30000	
0.1-0.2	0	0.000	0	0.000	1	0.003	0	0.000	0	0.000	30000	Mh(13/15)
0.0-0.1	0	0.000	0	0.000	1	0.003	0	0.000	0	0.000	30000	対比不明(No含粒)

Opx: 斜方輝石 GHo: 普通角閃石 Cum: カミングトン閃石

D-1トレンチ南面(通常分析)\_測線U

試料番号	火山ガラスの含有量		重鉱物の含有量						石英		観察粒子母数	テフラ名
	粒子数 (個)	構成 比率 (%)	Opx		GHo		Cum		粒子数 (個)	構成 比率 (%)		
			粒子数 (個)	構成 比率 (%)	粒子数 (個)	構成 比率 (%)	粒子数 (個)	構成 比率 (%)				
7.1-7.2	11	0.037	2	0.007	5	0.017	1	0.003	0	0.000	30000	
7.0-7.1	9	0.030	0	0.000	2	0.007	0	0.000	0	0.000	30000	
6.9-7.0	7	0.023	1	0.003	3	0.010	0	0.000	0	0.000	30000	
6.8-6.9	9	0.030	1	0.003	5	0.017	0	0.000	0	0.000	30000	
6.7-6.8	15	0.050	0	0.000	3	0.010	0	0.000	0	0.000	30000	
6.6-6.7	25	0.083	0	0.000	3	0.010	0	0.000	0	0.000	30000	
6.5-6.6	75	0.250	2	0.007	12	0.040	1	0.003	0	0.000	30000	
6.4-6.5	170	0.567	3	0.010	46	0.153	3	0.010	0	0.000	30000	
6.3-6.4	365	1.217	3	0.010	39	0.130	0	0.000	1	0.003	30000	
6.2-6.3	265	0.883	4	0.013	39	0.130	3	0.010	0	0.000	30000	
6.1-6.2	195	0.650	0	0.000	11	0.037	2	0.007	0	0.000	30000	
6.0-6.1	180	0.600	2	0.007	12	0.040	0	0.000	1	0.003	30000	
5.9-6.0	450	1.500	0	0.000	23	0.077	2	0.007	1	0.003	30000	
5.8-5.9	240	0.800	1	0.003	6	0.020	0	0.000	0	0.000	30000	
5.7-5.8	220	0.733	0	0.000	10	0.033	2	0.007	0	0.000	30000	
5.6-5.7	5	0.017	0	0.000	4	0.013	0	0.000	0	0.000	30000	
5.5-5.6	0	0.000	0	0.000	0	0.000	0	0.000	0	0.000	30000	
5.4-5.5	0	0.000	0	0.000	0	0.000	0	0.000	0	0.000	30000	
5.3-5.4	0	0.000	0	0.000	0	0.000	0	0.000	0	0.000	30000	
5.2-5.3	0	0.000	0	0.000	0	0.000	0	0.000	0	0.000	30000	
5.1-5.2	0	0.000	0	0.000	0	0.000	0	0.000	0	0.000	30000	
5.0-5.1	0	0.000	0	0.000	0	0.000	0	0.000	1	0.003	30000	
4.9-5.0	0	0.000	0	0.000	0	0.000	0	0.000	0	0.000	30000	
4.8-4.9	0	0.000	0	0.000	0	0.000	0	0.000	0	0.000	30000	
4.7-4.8	0	0.000	0	0.000	1	0.003	0	0.000	0	0.000	30000	
4.6-4.7	0	0.000	0	0.000	0	0.000	0	0.000	0	0.000	30000	
4.5-4.6	0	0.000	0	0.000	3	0.010	0	0.000	5	0.017	30000	
4.4-4.5	0	0.000	0	0.000	0	0.000	0	0.000	2	0.007	30000	
4.3-4.4	0	0.000	0	0.000	1	0.003	0	0.000	1	0.003	30000	
4.2-4.3	0	0.000	0	0.000	0	0.000	0	0.000	1	0.003	30000	
4.1-4.2	0	0.000	0	0.000	1	0.003	0	0.000	2	0.007	30000	
4.0-4.1	0	0.000	0	0.000	2	0.007	0	0.000	1	0.003	30000	
3.9-4.0	0	0.000	0	0.000	1	0.003	0	0.000	0	0.000	30000	
3.8-3.9	0	0.000	0	0.000	1	0.003	0	0.000	1	0.003	30000	
3.7-3.8	0	0.000	0	0.000	4	0.013	0	0.000	0	0.000	30000	
3.6-3.7	0	0.000	0	0.000	6	0.020	0	0.000	0	0.000	30000	
3.5-3.6	0	0.000	0	0.000	2	0.007	0	0.000	0	0.000	30000	
3.4-3.5	0	0.000	0	0.000	2	0.007	0	0.000	0	0.000	30000	
3.3-3.4	0	0.000	0	0.000	1	0.003	0	0.000	0	0.000	30000	
3.2-3.3	0	0.000	0	0.000	3	0.010	0	0.000	0	0.000	30000	
3.1-3.2	0	0.000	0	0.000	19	0.063	0	0.000	1	0.003	30000	
3.0-3.1	0	0.000	1	0.003	9	0.030	1	0.003	1	0.003	30000	
2.9-3.0	0	0.000	0	0.000	9	0.030	0	0.000	3	0.010	30000	
2.8-2.9	0	0.000	0	0.000	6	0.020	0	0.000	3	0.010	30000	
2.7-2.8	0	0.000	0	0.000	13	0.043	0	0.000	2	0.007	30000	
2.6-2.7	0	0.000	0	0.000	12	0.040	1	0.003	2	0.007	30000	
2.5-2.6	0	0.000	0	0.000	6	0.020	0	0.000	1	0.003	30000	
2.4-2.5	0	0.000	0	0.000	3	0.010	0	0.000	0	0.000	30000	
2.3-2.4	0	0.000	0	0.000	11	0.037	0	0.000	0			

## 2.6 テフラ分析(粒子数) D - 1既往露頭

D-1既往露頭\_測線 -1

試料番号	火山ガラスの含有量		重鉱物の含有量						石英		観察粒子母数	テフラ名
	粒子数 (個)	構成 比率 (%)	Opx		Gho		Cum		粒子数 (個)	構成 比率 (%)		
			粒子数 (個)	構成 比率 (%)	粒子数 (個)	構成 比率 (%)	粒子数 (個)	構成 比率 (%)				
1-0	8	0.027	0	0.000	3	0.010					30000	
1-2	8	0.027	0	0.000	0	0.000					30000	
1-4	9	0.030	1	0.003	1	0.003					30000	
1-6	5	0.017	0	0.000	2	0.007					30000	
1-8	13	0.043	0	0.000	2	0.007					30000	
1-10	6	0.020	0	0.000	0	0.000					30000	
1-12	11	0.037	1	0.003	3	0.010					30000	
1-14	17	0.057	0	0.000	2	0.007					30000	
1-16	14	0.047	0	0.000	1	0.003					30000	K-Ah
1-18	7	0.023	0	0.000	2	0.007					30000	
1-20	12	0.040	1	0.003	1	0.003					30000	
1-22	6	0.020	1	0.003	1	0.003					30000	
1-24	4	0.013	0	0.000	3	0.010					30000	
1-26	3	0.010	0	0.000	1	0.003					30000	
1-28	10	0.033	0	0.000	3	0.010					30000	
1-30	8	0.027	0	0.000	0	0.000					30000	
1-32	6	0.020	0	0.000	2	0.007					30000	
1-34	4	0.013	0	0.000	1	0.003					30000	
1-36	2	0.007	0	0.000	0	0.000					30000	
1-38	2	0.007	0	0.000	3	0.010					30000	
1-40	7	0.023	0	0.000	2	0.007					30000	
1-42	1	0.003	0	0.000	0	0.000					30000	
1-44	3	0.010	0	0.000	0	0.000					30000	
1-46	5	0.017	0	0.000	0	0.000					30000	
1-48	4	0.013	0	0.000	1	0.003					30000	
1-50	0	0.000	0	0.000	0	0.000					30000	
1-52	0	0.000	0	0.000	0	0.000					30000	
1-54	0	0.000	0	0.000	0	0.000					30000	
1-56	2	0.007	0	0.000	0	0.000					30000	
1-58	1	0.003	0	0.000	0	0.000					30000	AT?
1-60	1	0.003	0	0.000	0	0.000					30000	
1-62	0	0.000	0	0.000	0	0.000					30000	
1-64	0	0.000	0	0.000	0	0.000					30000	
1-66	0	0.000	0	0.000	0	0.000					30000	
1-68	0	0.000	0	0.000	0	0.000					30000	
1-70	0	0.000	0	0.000	0	0.000					30000	
1-72	0	0.000	0	0.000	0	0.000					30000	
1-74	0	0.000	0	0.000	0	0.000					30000	
1-76	0	0.000	0	0.000	0	0.000					30000	
1-78	0	0.000	0	0.000	0	0.000					30000	

D-1既往露頭\_測線 -3

試料番号	火山ガラスの含有量		重鉱物の含有量						石英		観察粒子母数	テフラ名
	粒子数 (個)	構成 比率 (%)	Opx		Gho		Cum		粒子数 (個)	構成 比率 (%)		
			粒子数 (個)	構成 比率 (%)	粒子数 (個)	構成 比率 (%)	粒子数 (個)	構成 比率 (%)				
3-0	14	0.047	2	0.007	4	0.013					30000	
3-2	6	0.020	1	0.003	0	0.000					30000	
3-4	11	0.037	1	0.003	0	0.000					30000	
3-6	13	0.043	0	0.000	1	0.003					30000	
3-8	6	0.020	0	0.000	5	0.017					30000	
3-10	9	0.030	1	0.003	0	0.000					30000	
3-12	16	0.053	1	0.003	3	0.010					30000	
3-14	13	0.043	0	0.000	2	0.007					30000	
3-16	6	0.020	1	0.003	2	0.007					30000	
3-18	13	0.043	0	0.000	4	0.013					30000	
3-20	16	0.053	1	0.003	3	0.010					30000	
3-22	9	0.030	0	0.000	2	0.007					30000	
3-24	12	0.040	1	0.003	1	0.003					30000	
3-26	11	0.037	0	0.000	2	0.007					30000	
3-28	14	0.047	0	0.000	5	0.017					30000	
3-30	10	0.033	2	0.007	2	0.007					30000	
3-32	9	0.030	1	0.003	2	0.007					30000	
3-34	14	0.047	0	0.000	0	0.000					30000	K-Ah

D-1既往露頭\_測線 -2

試料番号	火山ガラスの含有量		重鉱物の含有量						石英		観察粒子母数	テフラ名
	粒子数 (個)	構成 比率 (%)	Opx		Gho		Cum		粒子数 (個)	構成 比率 (%)		
			粒子数 (個)	構成 比率 (%)	粒子数 (個)	構成 比率 (%)	粒子数 (個)	構成 比率 (%)				
2-0	5	0.017	0	0.000	1	0.003					30000	
2-2	6	0.020	0	0.000	2	0.007					30000	
2-4	6	0.020	1	0.003	2	0.007					30000	
2-6	14	0.047	1	0.003	0	0.000					30000	
2-8	14	0.047	0	0.000	2	0.007					30000	
2-10	8	0.027	0	0.000	5	0.017					30000	
2-12	12	0.040	1	0.003	0	0.000					30000	
2-14	4	0.013	1	0.003	4	0.013					30000	
2-16	10	0.033	0	0.000	2	0.007					30000	
2-18	14	0.047	0	0.000	1	0.003					30000	
2-20	14	0.047	2	0.007	1	0.003					30000	
2-22	21	0.070	0	0.000	3	0.010					30000	
2-24	14	0.047	0	0.000	1	0.003					30000	
2-26	8	0.027	0	0.000	1	0.003					30000	
2-28	27	0.090	0	0.000	1	0.003					30000	
2-30	17	0.057	2	0.007	3	0.010					30000	
2-32	17	0.057	0	0.000	3	0.010					30000	
2-34	14	0.047	0	0.000	1	0.003					30000	
2-36	19	0.063	1	0.003	3	0.010					30000	
2-38	25	0.083	1	0.003	0	0.000					30000	
2-40	10	0.033	0	0.000	1	0.003					30000	K-Ah
2-42	15	0.050	1	0.003	2	0.007					30000	
2-44	3	0.010	0	0.000	2	0.007					30000	
2-46	9	0.030	0	0.000	1	0.003					30000	
2-48	6	0.020	0	0.000	1	0.003					30000	
2-50	1	0.003	0	0.000	1	0.003					30000	
2-52	4	0.013	0	0.000	0	0.000					30000	
2-54	6	0.020	0	0.000	0	0.000					30000	
2-56	2	0.007	1	0.003	0	0.000					30000	
2-58	8	0.027	0	0.000	0	0.000					30000	
2-60	3	0.010	1	0.003	0	0.000					30000	
2-62	10	0.033	0	0.000	0	0.000					30000	
2-64	3	0.010	1	0.003	0	0.000					30000	
2-66	4	0.013	0	0.000	2	0.007					30000	
2-68	0	0.000	0	0.000	0	0.000					30000	
2-70	2	0.007	0	0.000	0	0.000					30000	AT?
2-72	0	0.000	0	0.000	0	0.000					30000	

Opx:斜方輝石 GHo:普通角閃石 Cum:カミングトン閃石

## 2.6 テフラ分析(粒子数) B8 - 19, B8 - 18

B8-19(通常分析)

試料番号	重鉱物の含有量						石英		観察粒子 母数	テフラ名
	Opx		Gho		Cum		観察粒子 母数			
	粒子数 (個)	構成 比率 (%)	粒子数 (個)	構成 比率 (%)	粒子数 (個)	構成 比率 (%)				
28.54-28.6	5	0.017	72	0.240	0	0.000	0	0.000	30000	
28.6-28.7	6	0.020	12	0.040	0	0.000	0	0.000	30000	
28.7-28.8	18	0.060	50	0.167	0	0.000	0	0.000	30000	
28.8-28.9	8	0.027	24	0.080	0	0.000	0	0.000	30000	
28.9-29.0	14	0.047	50	0.167	0	0.000	0	0.000	30000	
29.0-29.1	2	0.007	35	0.117	0	0.000	0	0.000	30000	
29.2-29.3	1	0.003	29	0.097	0	0.000	1	0.003	30000	
29.3-29.4	1	0.003	33	0.110	0	0.000	0	0.000	30000	
29.4-29.5	0	0.000	24	0.080	0	0.000	0	0.000	30000	
29.7-29.8	12	0.040	71	0.237	1	0.003	0	0.000	30000	
29.8-29.9	11	0.037	60	0.200	0	0.000	0	0.000	30000	
29.9-30.0	15	0.050	83	0.277	0	0.000	0	0.000	30000	
30.1-30.2	8	0.027	50	0.167	0	0.000	0	0.000	30000	
30.2-30.3	18	0.060	101	0.337	0	0.000	0	0.000	30000	
30.3-30.4	2	0.007	26	0.087	0	0.000	0	0.000	30000	
30.4-30.5	2	0.007	9	0.030	0	0.000	0	0.000	30000	
30.5-30.6	14	0.047	32	0.107	0	0.000	0	0.000	30000	
30.6-30.7	1	0.003	6	0.020	0	0.000	0	0.000	30000	
30.7-30.8	2	0.007	11	0.037	0	0.000	0	0.000	30000	
30.8-30.9	17	0.057	114	0.380	0	0.000	0	0.000	30000	
30.9-31.0	9	0.030	146	0.487	0	0.000	0	0.000	30000	
31.0-31.1	54	0.180	220	0.733	0	0.000	1	0.003	30000	
31.1-31.2	27	0.090	111	0.370	0	0.000	0	0.000	30000	
31.2-31.3	18	0.060	102	0.340	0	0.000	0	0.000	30000	
31.7-31.8	2	0.007	35	0.117	0	0.000	0	0.000	30000	
31.8-31.9	1	0.003	32	0.107	0	0.000	0	0.000	30000	
31.9-32.0	0	0.000	12	0.040	0	0.000	0	0.000	30000	
32.35-32.45	11	0.037	77	0.257	1	0.003	0	0.000	30000	
32.8-32.9	2	0.007	92	0.307	1	0.003	0	0.000	30000	
32.9-33.0	0	0.000	68	0.227	0	0.000	0	0.000	30000	
33.0-33.1	2	0.007	42	0.140	0	0.000	0	0.000	30000	
33.1-33.2	6	0.020	104	0.347	0	0.000	0	0.000	30000	
33.25-33.32	18	0.060	228	0.760	0	0.000	0	0.000	30000	
33.8-33.9	0	0.000	0	0.000	0	0.000	0	0.000	30000	
33.9-34.0	0	0.000	1	0.003	0	0.000	0	0.000	30000	
34.1-34.2	0	0.000	2	0.007	0	0.000	0	0.000	30000	
34.2-34.3	0	0.000	1	0.003	0	0.000	0	0.000	30000	
34.7-34.8	0	0.000	1	0.003	0	0.000	1	0.003	30000	
34.8-34.9	2	0.007	2	0.007	0	0.000	0	0.000	30000	
34.9-35.0	0	0.000	2	0.007	0	0.000	0	0.000	30000	
35.0-35.1	1	0.003	2	0.007	0	0.000	6	0.020	30000	
35.1-35.2	1	0.003	2	0.007	0	0.000	11	0.037	30000	
35.4-35.5	0	0.000	1	0.003	0	0.000	0	0.000	30000	
35.5-35.53	0	0.000	0	0.000	0	0.000	0	0.000	30000	
35.78-35.87	0	0.000	0	0.000	0	0.000	0	0.000	30000	
36.1-36.2	0	0.000	0	0.000	0	0.000	0	0.000	30000	
37.1-37.2	0	0.000	5	0.017	0	0.000	2	0.007	30000	
37.2-37.3	2	0.007	0	0.000	0	0.000	1	0.003	30000	
37.47-37.5	0	0.000	26	0.087	0	0.000	0	0.000	30000	
37.7-37.8	0	0.000	0	0.000	0	0.000	0	0.000	30000	
37.8-37.9	0	0.000	0	0.000	0	0.000	0	0.000	30000	
37.9-38.0	0	0.000	0	0.000	0	0.000	0	0.000	30000	
38.2-38.3	0	0.000	0	0.000	0	0.000	0	0.000	30000	
38.3-38.4	0	0.000	0	0.000	0	0.000	0	0.000	30000	
38.4-38.5	0	0.000	0	0.000	0	0.000	0	0.000	30000	
38.5-38.6	0	0.000	0	0.000	0	0.000	0	0.000	30000	
38.6-38.7	0	0.000	1	0.003	0	0.000	0	0.000	30000	
38.8-38.9	0	0.000	0	0.000	0	0.000	0	0.000	30000	
39.1-39.15	0	0.000	0	0.000	0	0.000	0	0.000	30000	
39.55-39.62	0	0.000	1	0.003	0	0.000	0	0.000	30000	
40.3-40.4	0	0.000	0	0.000	0	0.000	0	0.000	30000	
40.4-40.5	0	0.000	0	0.000	0	0.000	0	0.000	30000	
40.68-40.76	0	0.000	1	0.003	0	0.000	0	0.000	30000	
41.15-41.17	0	0.000	2	0.007	0	0.000	0	0.000	30000	

B8-18(通常分析)

試料番号	重鉱物の含有量						石英		観察粒子 母数	テフラ名
	Opx		Gho		Cum		観察粒子 母数			
	粒子数 (個)	構成 比率 (%)	粒子数 (個)	構成 比率 (%)	粒子数 (個)	構成 比率 (%)				
30.0-30.1	5	0.017	18	0.060	0	0.000	0	0.000	30000	
30.1-30.2	7	0.023	19	0.063	0	0.000	0	0.000	30000	
30.2-30.3	5	0.017	12	0.040	0	0.000	0	0.000	30000	
30.3-30.4	10	0.033	29	0.097	0	0.000	0	0.000	30000	
30.4-30.5	3	0.010	11	0.037	0	0.000	0	0.000	30000	
30.5-30.6	2	0.007	23	0.077	0	0.000	0	0.000	30000	
30.6-30.7	2	0.007	12	0.040	0	0.000	0	0.000	30000	
30.9-31.0	2	0.007	12	0.040	0	0.000	0	0.000	30000	
31.0-31.1	11	0.037	40	0.133	0	0.000	1	0.003	30000	
31.1-31.2	11	0.037	38	0.127	0	0.000	0	0.000	30000	
31.2-31.3	6	0.020	23	0.077	0	0.000	0	0.000	30000	
31.3-31.4	4	0.013	21	0.070	0	0.000	0	0.000	30000	
31.4-31.5	3	0.010	25	0.083	0	0.000	0	0.000	30000	
31.7-31.8	5	0.017	57	0.190	0	0.000	0	0.000	30000	
31.8-31.9	0	0.000	31	0.103	0	0.000	0	0.000	30000	
32.1-32.2	1	0.003	34	0.113	0	0.000	0	0.000	30000	
32.2-32.3	1	0.003	20	0.067	0	0.000	0	0.000	30000	
32.3-32.4	4	0.013	15	0.050	0	0.000	0	0.000	30000	
32.4-32.5	0	0.000	0	0.000	0	0.000	3	0.010	30000	
32.7-32.8	0	0.000	0	0.000	0	0.000	0	0.000	30000	
32.8-32.9	0	0.000	0	0.000	0	0.000	2	0.007	30000	
33.0-33.1	0	0.000	0	0.000	0	0.000	0	0.000	30000	
33.2-33.3	0	0.000	0	0.000	0	0.000	1	0.003	30000	
33.3-33.4	0	0.000	0	0.000	0	0.000	1	0.003	30000	
33.4-33.5	0	0.000	0	0.000	0	0.000	0	0.000	30000	
33.6-33.7	0	0.000	0	0.000	0	0.000	1	0.003	30000	
33.8-33.9	0	0.000	3	0.010	0	0.000	0	0.000	30000	
33.9-34.0	0	0.000	0	0.000	0	0.000	0	0.000	30000	
34.5-34.6	0	0.000	1	0.003	0	0.000	1	0.003	30000	
34.6-34.7	0	0.000	0	0.000	0	0.000	3	0.010	30000	
34.7-34.8	0	0.000	2	0.007	0	0.000	2	0.007	30000	
35.2-35.3	0	0.000	1	0.003	0	0.000	1	0.003	30000	
35.3-35.4	0	0.000	1	0.003	0	0.000	1	0.003	30000	
35.5-35.6	0	0.000	1	0.003	0	0.000	2	0.007	30000	
35.7-35.8	0	0.000	9	0.030	0	0.000	7	0.023	30000	
35.8-35.9	0	0.000	7	0.023	0	0.000	6	0.020	30000	
35.9-36.0	0	0.000	0	0.000	0	0.000	2	0.007	30000	
36.6-36.7	0	0.000	0	0.000	0	0.000	0	0.000	30000	
36.7-36.8	0	0.000	0	0.000	0	0.000	0	0.000	30000	
36.9-37.0	0	0.000	0	0.000	0	0.000	0	0.000	30000	
37.8-37.9	0	0.000	0	0.000	0	0.000	0	0.000	30000	
37.9-38.0	0	0.000	0	0.000	0	0.000	0	0.000	30000	
38.3-38.4	0	0.000	0	0.000	0	0.000	0	0.000	30000	
38.4-38.5	0	0.000	0	0.000	0	0.000	0	0.000	30000	
38.5-38.6	0	0.000	0	0.000	0	0.000	0	0.000	30000	
38.6-38.7	0	0.000	1	0.003	0	0.000	0	0.000	30000	
38.8-38.9	0	0.000	0	0.000	0	0.000	0	0.000	30000	
39.1-39.15	0	0.000	0	0.000	0	0.000	0	0.000	30000	
39.55-39.62	0	0.000	1	0.003	0	0.000	0	0.000	30000	
40.3-40.4	0	0.000	0	0.000	0	0.000	0	0.000	30000	
40.4-40.5	0	0.000	0	0.000	0	0.000	0	0.000	30000	
40.68-40.76	0	0.000	1	0.003	0	0.000	0	0.000	30000	
41.15-41.17	0	0.000	2	0.007	0	0.000	0	0.000	30000	

B8-18(濃集分析)

試料番号	重鉱物含有個数			粒度組成 総試料重量(g)	テフラ名
	Opx	Gho	Cum		
36.65-36.70	0	1	0	0.28	
36.70-36.80	0				

2.6 テフラ分析(粒子数)  
D - 14 既往露頭

D-14既往露頭(通常分析)\_ -1

試料番号	火山ガラスの含有量		重鉱物の含有量				観察粒子母数	テフラ名
			Opx		GHo			
	粒子数(個)	構成比率(%)	粒子数(個)	構成比率(%)	粒子数(個)	構成比率(%)		
0	480	1.600	1	0.003	20	0.067	30000	
2	550	1.833	4	0.013	27	0.090	30000	
4	1040	3.533	2	0.007	14	0.047	30000	
6	990	3.300	4	0.013	37	0.123	30000	
8	970	3.233	0	0.000	20	0.067	30000	
10	1010	3.367	1	0.003	17	0.057	30000	
12	1330	4.433	2	0.007	25	0.083	30000	
14	780	2.600	3	0.010	40	0.133	30000	
16	1510	5.033	2	0.007	24	0.080	30000	
18	1210	4.033	5	0.017	17	0.057	30000	
20	1470	4.900	3	0.010	33	0.110	30000	
22	1420	4.733	0	0.000	25	0.083	30000	
24	670	2.233	1	0.003	15	0.050	30000	
26	350	1.167	1	0.003	16	0.053	30000	
28	310	1.033	1	0.003	14	0.047	30000	
30	145	0.483	3	0.010	15	0.050	30000	
32	85	0.283	0	0.000	11	0.037	30000	
34	86	0.287	0	0.000	6	0.020	30000	
36	68	0.227	0	0.000	4	0.013	30000	
38	94	0.313	1	0.003	3	0.010	30000	
40	27	0.090	0	0.000	9	0.030	30000	
42	14	0.047	0	0.000	1	0.003	30000	
44	12	0.040	0	0.000	3	0.010	30000	
46	15	0.050	0	0.000	3	0.010	30000	
48	4	0.013	0	0.000	0	0.000	30000	
50	8	0.027	0	0.000	0	0.000	30000	
52	8	0.027	0	0.000	0	0.000	30000	
54	2	0.007	0	0.000	0	0.000	30000	
56	1	0.003	0	0.000	2	0.007	30000	
58	3	0.010	0	0.000	0	0.000	30000	
60	5	0.017	0	0.000	0	0.000	30000	
62	1	0.003	0	0.000	0	0.000	30000	
64	1	0.003	0	0.000	1	0.003	30000	
66	0	0.000	0	0.000	0	0.000	30000	
68	2	0.007	0	0.000	0	0.000	30000	
70	0	0.000	0	0.000	0	0.000	30000	
72	0	0.000	0	0.000	0	0.000	30000	
74	1	0.003	0	0.000	0	0.000	30000	
76	1	0.003	0	0.000	0	0.000	30000	
78	0	0.000	0	0.000	0	0.000	30000	

D-14既往露頭(通常分析)\_ -3

試料番号	火山ガラスの含有量		重鉱物の含有量				観察粒子母数	テフラ名
			Opx		GHo			
	粒子数(個)	構成比率(%)	粒子数(個)	構成比率(%)	粒子数(個)	構成比率(%)		
0	280	0.933	0	0.000	70	0.233	30000	
2	300	1.000	0	0.000	25	0.083	30000	
4	200	0.667	0	0.000	20	0.067	30000	
6	160	0.533	0	0.000	20	0.067	30000	
8	80	0.267	2	0.007	1	0.003	30000	
10	150	0.500	0	0.000	7	0.023	30000	
12	50	0.167	0	0.000	5	0.017	30000	
14	90	0.300	0	0.000	10	0.033	30000	
16	23	0.077	0	0.000	10	0.033	30000	
18	110	0.367	0	0.000	3	0.010	30000	
20	22	0.073	0	0.000	4	0.013	30000	
22	11	0.037	1	0.003	2	0.007	30000	
24	6	0.020	1	0.003	0	0.000	30000	
26	7	0.023	0	0.000	0	0.000	30000	
28	10	0.033	0	0.000	0	0.000	30000	
30	3	0.010	0	0.000	1	0.003	30000	
32	14	0.047	1	0.003	1	0.003	30000	
34	11	0.037	0	0.000	1	0.003	30000	
36	6	0.020	0	0.000	0	0.000	30000	
38	3	0.010	0	0.000	1	0.003	30000	
40	8	0.027	0	0.000	0	0.000	30000	
42	18	0.060	0	0.000	0	0.000	30000	
44	7	0.023	0	0.000	0	0.000	30000	
46	4	0.013	0	0.000	0	0.000	30000	
48	0	0.000	0	0.000	0	0.000	30000	

D-14既往露頭(通常分析)\_ -2

試料番号	火山ガラスの含有量		重鉱物の含有量				観察粒子母数	テフラ名
			Opx		GHo			
	粒子数(個)	構成比率(%)	粒子数(個)	構成比率(%)	粒子数(個)	構成比率(%)		
0	380	1.267	5	0.017	70	0.233	30000	
2	370	1.233	30	0.100	70	0.233	30000	
4	330	1.133	5	0.017	50	0.167	30000	
6	280	0.933	15	0.050	100	0.333	30000	
8	390	1.300	10	0.033	100	0.333	30000	
10	430	1.433	10	0.033	105	0.350	30000	
12	370	1.233	10	0.033	95	0.317	30000	
14	320	1.067	10	0.033	85	0.283	30000	
16	270	0.900	0	0.000	90	0.300	30000	
18	270	0.900	10	0.033	50	0.167	30000	
20	490	1.633	15	0.050	40	0.133	30000	
22	440	1.467	0	0.000	50	0.167	30000	
24	270	0.900	0	0.000	50	0.167	30000	
26	210	0.700	0	0.000	35	0.117	30000	
28	260	0.867	0	0.000	50	0.167	30000	
30	390	1.300	0	0.000	50	0.167	30000	AT-K-Ah
32	90	0.300	0	0.000	45	0.150	30000	AT
34	220	0.733	0	0.000	40	0.133	30000	AT
36	210	0.700	0	0.000	35	0.117	30000	AT
38	120	0.400	0	0.000	50	0.167	30000	AT
40	160	0.533	0	0.000	20	0.067	30000	AT
42	170	0.567	0	0.000	15	0.050	30000	AT
44	110	0.367	0	0.000	25	0.083	30000	AT
46	340	1.133	0	0.000	30	0.100	30000	AT
48	160	0.533	0	0.000	5	0.017	30000	AT
50	150	0.500	0	0.000	4	0.013	30000	AT
52	40	0.133	0	0.000	4	0.013	30000	AT
54	23	0.077	0	0.000	4	0.013	30000	AT
56	12	0.040	0	0.000	8	0.027	30000	AT
58	14	0.047	0	0.000	3	0.010	30000	AT
60	26	0.087	0	0.000	3	0.010	30000	AT
62	7	0.023	0	0.000	0	0.000	30000	
64	5	0.017	0	0.000	0	0.000	30000	
66	5	0.017	0	0.000	1	0.003	30000	
68	5	0.017	0	0.000	0	0.000	30000	
70	1	0.003	0	0.000	0	0.000	30000	
72	0	0.000	0	0.000	0	0.000	30000	
74	13	0.043	0	0.000	2	0.007	30000	
76	10	0.033	0	0.000	2	0.007	30000	
78	1	0.003	0	0.000	1	0.003	30000	
80	0	0.000	0	0.000	0	0.000	30000	
82	0	0.000	0	0.000	0	0.000	30000	
84	1	0.003	0	0.000	0	0.000	30000	
86	0	0.000	0	0.000	0	0.000	30000	
88	0	0.000	0	0.000	0	0.000	30000	
90	1	0.003	0	0.000	0	0.000	30000	
92	4	0.013	0	0.000	0	0.000	30000	
94	2	0.007	0	0.000	0	0.000	30000	
96	3	0.010	0	0.000	0	0.000	30000	
98	0	0.000	0	0.000	0	0.000	30000	

Opx:斜方輝石 GHo:普通角閃石

## 2.6 テフラ分析(粒子数) 海上ボーリングNo.2

海上ボーリングNo.2(通常分析) 63.60m-67.00m

試料番号	重鉱物の含有量						石英		観察粒子 母数	テフラ名
	Opx		Gho		Cum		観察粒子 母数			
	粒子数 (個)	構成 比率 (%)	粒子数 (個)	構成 比率 (%)	粒子数 (個)	構成 比率 (%)				
63.60-63.65	0	0.000	2	0.007	0	0.000	0	0.000	30000	
63.65-63.70	0	0.000	4	0.013	0	0.000	0	0.000	30000	
63.70-63.75	0	0.000	2	0.007	0	0.000	0	0.000	30000	
63.75-63.80	1	0.003	1	0.003	0	0.000	0	0.000	30000	
63.80-63.85	3	0.010	6	0.020	0	0.000	0	0.000	30000	
63.85-63.90	1	0.003	6	0.020	0	0.000	0	0.000	30000	
63.90-63.95	3	0.010	3	0.010	0	0.000	0	0.000	30000	
63.95-64.00	2	0.007	1	0.003	0	0.000	0	0.000	30000	
64.00-64.05	1	0.003	7	0.023	0	0.000	0	0.000	30000	
64.05-64.10	1	0.003	1	0.003	0	0.000	0	0.000	30000	
64.10-64.15	1	0.003	2	0.007	0	0.000	0	0.000	30000	
64.15-64.20	0	0.000	0	0.000	0	0.000	0	0.000	30000	
64.20-64.25	0	0.000	0	0.000	0	0.000	0	0.000	30000	
64.25-64.30	0	0.000	1	0.003	0	0.000	0	0.000	30000	
64.30-64.35	0	0.000	1	0.003	0	0.000	0	0.000	30000	
64.35-64.40	1	0.003	2	0.007	0	0.000	0	0.000	30000	
64.40-64.45	1	0.003	3	0.010	0	0.000	0	0.000	30000	
64.45-64.50	3	0.010	3	0.010	0	0.000	0	0.000	30000	
64.50-64.55	1	0.003	6	0.020	2	0.007	0	0.000	30000	
64.55-64.60	2	0.007	3	0.010	0	0.000	0	0.000	30000	
64.60-64.65	0	0.000	3	0.010	0	0.000	0	0.000	30000	
64.65-64.70	0	0.000	1	0.003	0	0.000	0	0.000	30000	
64.70-64.75	0	0.000	4	0.013	0	0.000	0	0.000	30000	
64.75-64.80	1	0.003	0	0.000	0	0.000	0	0.000	30000	
64.80-64.85	0	0.000	3	0.010	0	0.000	0	0.000	30000	
64.85-64.90	2	0.007	6	0.020	0	0.000	0	0.000	30000	
64.90-64.95	2	0.007	7	0.023	0	0.000	0	0.000	30000	
64.95-65.00	0	0.000	7	0.023	0	0.000	0	0.000	30000	
65.00-65.05	2	0.007	3	0.010	1	0.003	0	0.000	30000	
65.05-65.10	3	0.010	6	0.020	0	0.000	0	0.000	30000	
65.10-65.15	1	0.003	6	0.020	0	0.000	0	0.000	30000	
65.15-65.20	1	0.003	9	0.030	0	0.000	0	0.000	30000	
65.20-65.25	1	0.003	7	0.023	0	0.000	0	0.000	30000	
65.25-65.30	3	0.010	4	0.013	0	0.000	0	0.000	30000	
65.30-65.35	2	0.007	4	0.013	0	0.000	0	0.000	30000	
65.35-65.40	2	0.007	7	0.023	0	0.000	0	0.000	30000	
65.40-65.45	0	0.000	4	0.013	0	0.000	0	0.000	30000	
65.45-65.50	0	0.000	0	0.000	0	0.000	0	0.000	30000	
65.50-65.55	1	0.003	3	0.010	0	0.000	0	0.000	30000	
65.55-65.60	0	0.000	0	0.000	0	0.000	0	0.000	30000	
65.60-65.65	0	0.000	2	0.007	0	0.000	0	0.000	30000	
65.65-65.70	1	0.003	2	0.007	0	0.000	0	0.000	30000	
65.70-65.75	0	0.000	1	0.003	0	0.000	0	0.000	30000	
65.75-65.80	2	0.007	2	0.007	0	0.000	0	0.000	30000	
65.80-65.85	2	0.007	2	0.007	0	0.000	0	0.000	30000	
65.85-65.90	0	0.000	5	0.017	0	0.000	0	0.000	30000	
65.90-65.95	0	0.000	1	0.003	0	0.000	0	0.000	30000	
65.95-66.00	0	0.000	5	0.017	0	0.000	0	0.000	30000	
66.00-66.05	1	0.003	2	0.007	0	0.000	0	0.000	30000	
66.05-66.10	1	0.003	4	0.013	0	0.000	0	0.000	30000	
66.10-66.15	5	0.017	3	0.010	0	0.000	0	0.000	30000	
66.15-66.20	2	0.007	2	0.007	0	0.000	0	0.000	30000	
66.20-66.25	1	0.003	4	0.013	0	0.000	0	0.000	30000	
66.25-66.30	3	0.010	8	0.027	0	0.000	0	0.000	30000	
66.30-66.35	3	0.010	3	0.010	0	0.000	0	0.000	30000	
66.35-66.40	5	0.017	9	0.030	0	0.000	0	0.000	30000	
66.40-66.45	1	0.003	5	0.017	0	0.000	0	0.000	30000	
66.45-66.50	1	0.003	2	0.007	0	0.000	0	0.000	30000	
66.50-66.55	3	0.010	4	0.013	0	0.000	0	0.000	30000	
66.55-66.60	5	0.017	3	0.010	0	0.000	0	0.000	30000	
66.60-66.65	7	0.023	1	0.003	0	0.000	0	0.000	30000	
66.65-66.70	5	0.017	5	0.017	0	0.000	0	0.000	30000	
66.70-66.75	3	0.010	1	0.003	0	0.000	0	0.000	30000	
66.75-66.80	6	0.020	4	0.013	0	0.000	0	0.000	30000	
66.80-66.85	3	0.010	3	0.010	0	0.000	0	0.000	30000	
66.85-66.90	0	0.000	2	0.007	0	0.000	0	0.000	30000	
66.90-66.95	2	0.007	2	0.007	0	0.000	0	0.000	30000	
66.95-67.00	3	0.010	1	0.003	0	0.000	0	0.000	30000	

Opx: 斜方輝石 Gho: 普通角閃石 Cum: カミングトン閃石

海上ボーリングNo.2(通常分析) 67.00m-70.00m

試料番号	重鉱物の含有量						石英		観察粒子 母数	テフラ名
	Opx		Gho		Cum		観察粒子 母数			
	粒子数 (個)	構成 比率 (%)	粒子数 (個)	構成 比率 (%)	粒子数 (個)	構成 比率 (%)				
67.00-67.05	2	0.007	9	0.030	0	0.000	0	0.000	30000	
67.05-67.10	3	0.010	16	0.053	0	0.000	0	0.000	30000	
67.10-67.15	5	0.017	9	0.030	0	0.000	0	0.000	30000	
67.15-67.20	5	0.017	17	0.057	1	0.003	0	0.000	30000	
67.20-67.25	1	0.003	12	0.040	1	0.003	0	0.000	30000	
67.25-67.30	2	0.007	7	0.023	1	0.003	0	0.000	30000	
67.30-67.35	1	0.003	5	0.017	0	0.000	0	0.000	30000	
67.35-67.40	1	0.003	5	0.017	0	0.000	0	0.000	30000	
67.40-67.45	2	0.007	10	0.033	0	0.000	0	0.000	30000	
67.45-67.50	0	0.000	3	0.010	0	0.000	0	0.000	30000	
67.50-67.55	0	0.000	0	0.000	0	0.000	0	0.000	30000	
67.55-67.60	1	0.003	2	0.007	1	0.003	0	0.000	30000	
67.60-67.65	1	0.003	3	0.010	0	0.000	0	0.000	30000	
67.65-67.70	2	0.007	0	0.000	0	0.000	0	0.000	30000	
67.70-67.75	0	0.000	0	0.000	0	0.000	0	0.000	30000	
67.75-67.80	1	0.003	0	0.000	0	0.000	0	0.000	30000	
67.80-67.85	0	0.000	1	0.003	0	0.000	0	0.000	30000	
67.85-67.90	1	0.003	1	0.003	0	0.000	0	0.000	30000	
67.90-67.95	1	0.003	1	0.003	0	0.000	0	0.000	30000	
67.95-68.00	0	0.000	0	0.000	0	0.000	0	0.000	30000	
68.00-68.05	1	0.003	1	0.003	0	0.000	0	0.000	30000	
68.05-68.10	0	0.000	0	0.000	0	0.000	0	0.000	30000	
68.10-68.15	1	0.003	0	0.000	0	0.000	0	0.000	30000	
68.15-68.20	0	0.000	0	0.000	0	0.000	0	0.000	30000	
68.20-68.25	1	0.003	1	0.003	0	0.000	0	0.000	30000	
68.25-68.30	2	0.007	3	0.010	0	0.000	0	0.000	30000	
68.30-68.35	0	0.000	1	0.003	0	0.000	0	0.000	30000	
68.35-68.40	1	0.003	0	0.000	0	0.000	0	0.000	30000	
68.40-68.45	1	0.003	2	0.007	0	0.000	0	0.000	30000	
68.45-68.50	1	0.003	3	0.010	0	0.000	0	0.000	30000	
68.50-68.55	2	0.007	1	0.003	0	0.000	0	0.000	30000	
68.55-68.60	0	0.000	2	0.007	0	0.000	0	0.000	30000	
68.60-68.65	2	0.007	1	0.003	0	0.000	0	0.000	30000	
68.65-68.70	0	0.000	4	0.013	0	0.000	0	0.000	30000	
68.70-68.75	2	0.007	3	0.010	0	0.000	0	0.000	30000	
68.75-68.80	4	0.013	3	0.010	0	0.000	0	0.000	30000	
68.80-68.85	0	0.000	1	0.003	0	0.000	0	0.000	30000	
68.85-68.90	0	0.000	1	0.003	0	0.000	0	0.000	30000	
68.90-68.95	0	0.000	0	0.000	0	0.000	0	0.000	30000	
68.95-69.00	0	0.000	0	0.000	0	0.000	0	0.000	30000	
69.00-69.05	0	0.000	0	0.000	0	0.000	0	0.000	30000	
69.05-69.10	0	0.000	3	0.010	0	0.000	0	0.000	30000	
69.10-69.15	0	0.000	3	0.010	0	0.000	0	0.000	30000	
69.15-69.20	0	0.000	1	0.003	0	0.000	0	0.000	30000	
69.20-69.25	1	0.003	1	0.003	0	0.000	0	0.000	30000	
69.25-69.30	0	0.000	1	0.003	0	0.000	0	0.000	30000	
69.30-69.35	0	0.000	1	0.003	0	0.000	0	0.000	30000	
69.35-69.40	1	0.003	8	0.027	0	0.000	0	0.000	30000	
69.40-69.45	0	0.000	3	0.010	0	0.000	0	0.000	30000	
69.45-69.50	0	0.000	4	0						

## 2.6 テフラ分析(粒子数) H - 3a追加ピット

H-3a追加ピット(通常分析)\_TB-3

試料番号	重結物の含有量						石英		観察粒子 母数	テフラ名
	Opx		GHo		Cum					
	粒子数 (個)	構成 比率 (%)	粒子数 (個)	構成 比率 (%)	粒子数 (個)	構成 比率 (%)	粒子数 (個)	構成 比率 (%)		
2.2-2.3	2	0.007	27	0.090	0	0.000	4	0.013	30000	
2.1-2.2	2	0.007	19	0.063	0	0.000	3	0.010	30000	
2.0-2.1	0	0.000	4	0.013	0	0.000	1	0.003	30000	
1.9-2.0	0	0.000	1	0.003	0	0.000	2	0.007	30000	
1.8-1.9	0	0.000	0	0.000	0	0.000	1	0.003	30000	
1.7-1.8	0	0.000	2	0.007	0	0.000	2	0.007	30000	
1.6-1.7	0	0.000	2	0.007	0	0.000	3	0.010	30000	
1.5-1.6	1	0.003	2	0.007	0	0.000	6	0.020	30000	
1.4-1.5	0	0.000	2	0.007	0	0.000	6	0.020	30000	
1.3-1.4	0	0.000	0	0.000	0	0.000	0	0.000	30000	
1.2-1.3	0	0.000	0	0.000	0	0.000	0	0.000	30000	
1.1-1.2	0	0.000	1	0.003	0	0.000	0	0.000	30000	
1.0-1.1	0	0.000	2	0.007	0	0.000	0	0.000	30000	美浜テフラ起源Gho 含む(4/9)
0.9-1.0	0	0.000	1	0.003	0	0.000	0	0.000	30000	
0.8-0.9	0	0.000	0	0.000	0	0.000	0	0.000	30000	
0.7-0.8	0	0.000	0	0.000	0	0.000	0	0.000	30000	
0.6-0.7	0	0.000	0	0.000	0	0.000	0	0.000	30000	
0.5-0.6	0	0.000	0	0.000	0	0.000	0	0.000	30000	
0.4-0.5	0	0.000	0	0.000	0	0.000	0	0.000	30000	
0.3-0.4	0	0.000	0	0.000	0	0.000	0	0.000	30000	
0.2-0.3	0	0.000	0	0.000	0	0.000	0	0.000	30000	
0.1-0.2	0	0.000	0	0.000	0	0.000	0	0.000	30000	
0.0-0.1	0	0.000	0	0.000	0	0.000	0	0.000	30000	

H-3a追加ピット(通常分析)\_TB-5

試料番号	重結物の含有量						石英		観察粒子 母数	テフラ名
	Opx		GHo		Cum					
	粒子数 (個)	構成 比率 (%)	粒子数 (個)	構成 比率 (%)	粒子数 (個)	構成 比率 (%)	粒子数 (個)	構成 比率 (%)		
1.6-1.7	0	0.000	0	0.000	0	0.000	9	0.030	30000	
1.5-1.6	0	0.000	1	0.003	0	0.000	9	0.030	30000	
1.4-1.5	0	0.000	1	0.003	0	0.000	2	0.007	30000	
1.3-1.4	0	0.000	0	0.000	0	0.000	1	0.003	30000	
1.2-1.3	0	0.000	0	0.000	0	0.000	0	0.000	30000	
1.1-1.2	0	0.000	0	0.000	0	0.000	0	0.000	30000	
1.0-1.1	0	0.000	0	0.000	1	0.003	0	0.000	30000	
0.9-1.0	0	0.000	0	0.000	0	0.000	0	0.000	30000	
0.8-0.9	0	0.000	0	0.000	0	0.000	0	0.000	30000	
0.7-0.8	0	0.000	0	0.000	0	0.000	0	0.000	30000	
0.6-0.7	0	0.000	0	0.000	0	0.000	0	0.000	30000	
0.5-0.6	0	0.000	0	0.000	0	0.000	0	0.000	30000	
0.4-0.5	0	0.000	0	0.000	0	0.000	0	0.000	30000	
0.3-0.4	0	0.000	0	0.000	0	0.000	0	0.000	30000	
0.2-0.3	0	0.000	0	0.000	0	0.000	0	0.000	30000	
0.1-0.2	0	0.000	0	0.000	0	0.000	0	0.000	30000	
0.0-0.1	0	0.000	0	0.000	0	0.000	1	0.003	30000	

H-3a追加ピット(通常分析)\_TB-6

試料番号	重結物の含有量						石英		観察粒子 母数	テフラ名
	Opx		GHo		Cum					
	粒子数 (個)	構成 比率 (%)	粒子数 (個)	構成 比率 (%)	粒子数 (個)	構成 比率 (%)	粒子数 (個)	構成 比率 (%)		
1.5-1.6	0	0.000	1	0.003	0	0.000	8	0.027	30000	
1.4-1.5	0	0.000	1	0.003	0	0.000	2	0.007	30000	
1.3-1.4	0	0.000	1	0.003	0	0.000	1	0.003	30000	
1.2-1.3	0	0.000	0	0.000	0	0.000	1	0.003	30000	
1.1-1.2	0	0.000	1	0.003	0	0.000	0	0.000	30000	
1.0-1.1	0	0.000	0	0.000	0	0.000	0	0.000	30000	
0.9-1.0	0	0.000	1	0.003	0	0.000	0	0.000	30000	美浜テフラ起源Gho 含む(13/13)
0.8-0.9	0	0.000	0	0.000	0	0.000	0	0.000	30000	
0.7-0.8	0	0.000	0	0.000	0	0.000	0	0.000	30000	
0.6-0.7	0	0.000	0	0.000	0	0.000	0	0.000	30000	
0.5-0.6	0	0.000	0	0.000	0	0.000	0	0.000	30000	
0.4-0.5	0	0.000	0	0.000	0	0.000	0	0.000	30000	
0.3-0.4	0	0.000	0	0.000	0	0.000	0	0.000	30000	
0.2-0.3	0	0.000	0	0.000	0	0.000	0	0.000	30000	美浜テフラ起源Gho 含む(2/2)
0.1-0.2	0	0.000	0	0.000	0	0.000	0	0.000	30000	
0.0-0.1	0	0.000	0	0.000	0	0.000	0	0.000	30000	

H-3a追加ピット(通常分析)\_TB-1

試料番号	重結物の含有量						石英		観察粒子 母数	テフラ名
	Opx		GHo		Cum					
	粒子数 (個)	構成 比率 (%)	粒子数 (個)	構成 比率 (%)	粒子数 (個)	構成 比率 (%)	粒子数 (個)	構成 比率 (%)		
1.10-1.20	0	0.000	1	0.003	1	0.003	0	0.000	30000	
1.00-1.10	0	0.000	1	0.003	2	0.007	0	0.000	30000	明神沖? Hgm1?
0.90-1.00	0	0.000	1	0.003	0	0.000	0	0.000	30000	
0.80-0.90	0	0.000	1	0.003	1	0.003	0	0.000	30000	
0.70-0.80	0	0.000	0	0.000	0	0.000	0	0.000	30000	
0.60-0.70	0	0.000	0	0.000	0	0.000	0	0.000	30000	
0.50-0.60	0	0.000	0	0.000	0	0.000	0	0.000	30000	
0.40-0.50	0	0.000	0	0.000	0	0.000	0	0.000	30000	
0.30-0.40	0	0.000	0	0.000	0	0.000	0	0.000	30000	
0.25-0.30	0	0.000	0	0.000	0	0.000	0	0.000	30000	
0.20-0.25	0	0.000	0	0.000	0	0.000	0	0.000	30000	
0.15-0.20	0	0.000	0	0.000	0	0.000	0	0.000	30000	
0.10-0.15	0	0.000	0	0.000	0	0.000	0	0.000	30000	
0.05-0.10	0	0.000	0	0.000	0	0.000	0	0.000	30000	
0.00-0.05	0	0.000	0	0.000	0	0.000	0	0.000	30000	

Opx:斜方輝石 GHo:普通角閃石 Cum:カミングトン閃石